

เครื่องรับส่งสัญญาณวิทยุย่านความถี่ UHF  
UHF RADIO TRANSCEIVER



โดย  
นายชัชวดี พลอยนิลเพชร  
นายประยุทธ์ จันทระเดชวงดี

ปริญญานิพนธ์นี้เป็นส่วนหนึ่งของการศึกษาตามหลักสูตรปริญญาวิศวกรรมศาสตรบัณฑิต

รพ.

สาขาวิศวกรรมโทรคมนาคม

ร 43 LA  
2544

สถาบันเทคโนโลยีพระจอมเกล้าเจ้าคุณทหารลาดกระบัง

ปีการศึกษา 2544

เลขหมู่.....  
เลขทะเบียน 46566  
วัน, เดือน, ปี 4 เม.ย. 2546

.b.....  
.i.....

เอกสารนี้เป็นเอกสารที่สงวนไว้สำหรับการใช้งานเพื่อการศึกษาเท่านั้น ไม่อนุญาตให้นำไปใช้ประโยชน์ด้านการค้า  
ไม่ว่ากรณีใดๆ ทั้งสิ้น อีกทั้งห้ามมิให้ดัดแปลงเนื้อหา และต้องอ้างอิงถึงเจ้าของเอกสารทุกครั้งที่มีการนำไปใช้

เครื่องรับส่งสัญญาณวิทยุย่านความถี่ UHF

UHF RADIO TRANSCEIVER



ปริญญานิพนธ์นี้เป็นส่วนหนึ่งของการศึกษาตามหลักสูตรปริญญาวิศวกรรมศาสตรบัณฑิต

สาขาวิศวกรรมโทรคมนาคม

สถาบันเทคโนโลยีพระจอมเกล้าเจ้าคุณทหารลาดกระบัง

ปีการศึกษา 2544

เอกสารนี้เป็นเอกสารที่สงวนไว้สำหรับการใช้งานเพื่อการศึกษาเท่านั้น ไม่อนุญาตให้นำไปใช้ประโยชน์ด้านการค้า  
ไม่ว่ากรณีใดๆ ทั้งสิ้น อีกทั้งห้ามมิให้ดัดแปลงเนื้อหา และต้องอ้างอิงถึงเจ้าของเอกสารทุกครั้งที่มีการนำไปใช้

ปริญญาโทปีการศึกษา 2544

ภาควิชาวิศวกรรมโทรคมนาคม

คณะวิศวกรรมศาสตร์ สถาบันเทคโนโลยีพระจอมเกล้าเจ้าคุณทหารลาดกระบัง

เรื่อง เครื่องรับส่งสัญญาณวิทยุย่านความถี่ UHF

UHF RADIO TRANSCEIVER

ผู้จัดทำ

1. นายชัยวุฒิ พลอยนิลเพชร 41014101

2. นายประยุทธ์ จันทระเดชวงดี 41014253



เครื่องรับส่งสัญญาณวิทยุย่านความถี่ UHF  
UHF RADIO TRANSCEIVER

โดย นายชัชวฒิ พลอยนิลเพชร 41014101  
นายประยุทธ์ จันทร์เศรษฐ์ 41014253

อาจารย์ที่ปรึกษา ดร. ทองทศ วาณิชศรี

**บทคัดย่อ**

โครงการนี้นำเสนอการออกแบบและการสร้างเครื่องรับส่งสัญญาณวิทยุย่านความถี่ UHF ที่ 435 ถึง 438 เมกะเฮิรตซ์เพื่อใช้ในการรับส่งสัญญาณเสียง เครื่องรับส่งใช้เทคนิคการมอดูเลตแบบเอฟเอ็ม มีความถี่เบี่ยงเบนของสัญญาณที่ถูกมอดูเลต  $\pm 5$  กิโลเฮิรตซ์ และเครื่องส่งมีกำลังส่งประมาณ 1 วัตต์

**ABSTRACT**

This project presents a designed of radio frequency transceiver operate in UHF frequency band at 435 to 438 MHz for transmitting voice signal by using frequency modulation technique,  $\pm 5$  kHz frequency deviation and output power of 1 W.

## สารบัญ

|   | หน้า |
|---|------|
| บทที่ 1 บทนำ  | 1    |
| บทที่ 2 ทฤษฎีหรือหลักการ  | 6    |
| 2.1 วงจรสังเคราะห์ความถี่โดยใช้เฟสล็อกกลูป (Frequency Synthesizer)    | 6    |
| 2.1.1 วงจรกำเนิดสัญญาณแบบปรับค่าความถี่ได้ตามแรงดันไฟฟ้า(VCO)         | 6    |
| 2.1.2 การออกแบบวงจรสังเคราะห์ความถี่                                  | 13   |
| 2.1.3 การเลือกใช้งานวงจรพรีสเกลเลอร์                                  | 15   |
| 2.1.4 การออกแบบวงจรรูปฟิลเตอร์  | 15   |
| 2.2 การมอดูเลตทางความถี่ (Frequency Modulation : FM)                  | 21   |
| 2.3 วงจรขยายสัญญาณอาร์เอฟขนาดเล็ก (Small Signal RF Amplifier)         | 25   |
| 2.3.1 การไบอัสทรานซิสเตอร์  | 25   |
| 2.3.2 การคำนวณวงจขยายโดยใช้เอสพารามิเตอร์ (S Parameter)               | 26   |
| 2.3.2.1 เสถียรภาพ (Stability)   | 26   |
| 2.3.2.2 ค่าการขยายสูงสุด (Maximum Available Gain: MAG)                | 26   |
| 2.3.2.3 การคอนจูเกตแมตซิ่ง (Simultaneous Conjugate Match)             | 27   |
| 2.3.2.4 สัมประสิทธิ์การสะท้อนของซอร์ส (source reflection coefficient) | 27   |
| 2.3.2.5 การคำนวณโดยการกำหนดค่าเกินใดๆ (Design for a Special Gain)     | 28   |
| 2.3.2.6 วงกลมเสถียรภาพ (Stability Circles)                            | 28   |
| 2.3.3 อิมพีแดนซ์แมตซิ่ง (Impedance Matching)                          | 29   |
| 2.4 วงจรขยายกำลัง (Power Amplifier)                                   | 31   |
| 2.4.1 การไบอัสทรานซิสเตอร์  | 31   |
| 2.4.2 วงจรขยายแบบคลาสเอและความเป็นเชิงเส้น                            | 31   |
| 2.4.3 วงจรขยายแบบคลาสบี   | 34   |
| 2.4.4 วงจรขยายแบบคลาสซี   | 36   |
| 2.4.5 การออกแบบวงจขยายกำลัง   | 37   |
| 2.5 วงจรมิกเซอร์  | 41   |
| 2.6 เซรามิกฟิลเตอร์ (Ceramic Filter)                                  | 42   |
| 2.7 วงจรคริสตอลออสซิลเลเตอร์ (Crystal Oscillator)                     | 43   |
| 2.7.1 หลักการเบื้องต้นของการออสซิลเลเตอร์                             | 44   |
| 2.7.2 วงจรออสซิลเลเตอร์ใช้ผลึกควอตซ์หรือคริสตอล (Crystal Oscillator)  | 46   |
| 2.7.3 การออกแบบวงจคริสตอลออสซิลเลเตอร์                                | 48   |

|                |   |           |
|----------------|---|-----------|
| 2.7.4          | ชนิดของวงจรรอสซซิลเลเตอร์ที่ใช้ควอตซ์คริสตอล                                      | 49        |
| 2.8            | ควอดราเจอร์ตี้เทกชัน (Quadrature Detection)                                       | 49        |
| 2.9            | วงจรรองความถี่ต่ำผ่าน (Low Pass Filter)   | 51        |
| 2.9.1          | $\omega$ และเซนต์วิตตี้ของ $Q$  | 53        |
| 2.9.2          | วงจรรองความถี่ต่ำแบบบัตเทอร์เวิร์ท  | 54        |
| 2.9.3          | วงจรรองความถี่ต่ำแบบเชบีเชฟ   | 59        |
| 2.9.4          | วงจรรองความถี่ต่ำแบบ Sallen and Key   | 62        |
| 2.10           | วงจรรขยายสัญญาณแบบกลับเฟส (Inverting Amplifier)                                   | 65        |
| <b>บทที่ 3</b> | <b>การคำนวณและการสร้าง</b>  | <b>68</b> |
| 3.1            | วงจรมicrophone  | 68        |
| 3.2            | การออกแบบวงจรรขยายสัญญาณเสียง (Audio Amplifier)                                   | 68        |
| 3.3            | การออกแบบวงจรรองความถี่ต่ำผ่านแบบแอคทีฟ (Active Low Pass Filter)                  | 69        |
| 3.4            | การออกแบบวงจรรสังเคราะห์ความถี่โดยใช้เฟสล็อกลูปที่ความถี่ 436.5 เมกะเฮิร์ตซ์      | 71        |
| 3.4.1          | การออกแบบวงจรมีคสัญญาณแบบปรับค่าความถี่ได้ตามแรงดันไฟฟ้า                          | 72        |
| 3.4.2          | การออกแบบวงจรมีสเกลเลเตอร์แบบสองโมดูลัส   | 75        |
| 3.4.3          | การออกแบบวงจรมีสเกลเลเตอร์และการตั้งโปรแกรมหารความถี่                             | 76        |
| 3.4.4          | การออกแบบวงจรมีสเกลเลเตอร์ (Loop Filter)  | 77        |
| 3.5            | วงจรมอดูเลตความถี่เอฟเอ็ม   | 80        |
| 3.6            | วงจรมอดูเลตความถี่วิทยุที่ความถี่ 436.5 เมกะเฮิร์ตซ์                              | 80        |
| 3.7            | การออกแบบวงจรรองความถี่ต่ำผ่านแบบเชบีเชฟ (Chebyshev)                              | 80        |
| 3.8            | การออกแบบวงจรรขยายสัญญาณที่มีระดับสัญญาณรบกวนต่ำ (Low Noise Amplifier)            | 81        |
| 3.9            | การออกแบบวงจรรสังเคราะห์ความถี่โดยใช้เฟสล็อกลูปที่ความถี่ 447.2 เมกะเฮิร์ตซ์      | 82        |
| 3.10           | การออกแบบวงจรมิกเซอร์ (Mixer)   | 83        |
| 3.11           | การออกแบบวงจรมิกเซอร์ที่ 10.7 เมกะเฮิร์ตซ์  | 83        |
| 3.12           | การออกแบบวงจรรขยายความถี่กลางที่ความถี่ 10.7 เมกะเฮิร์ตซ์ (IF Amplifier 10.7 MHz) | 84        |
| 3.13           | การออกแบบวงจรมอดูเลตเตอร์ (FM Demodulator)  | 85        |
| 3.13.1         | วงจรมอดูเลตเตอร์ 10.436.5 เมกะเฮิร์ตซ์ (Crystal Oscillator)                       | 85        |
| 3.13.2         | วงจรมิกเซอร์ (Mixer)  | 85        |
| 3.13.3         | วงจรรขยายสัญญาณความถี่กลาง 455 กิโลเฮิร์ตซ์ (IF Amplifier)                        | 85        |
| 3.13.4         | วงจรรองสัญญาณความถี่กลาง 455 กิโลเฮิร์ตซ์ (IF Filter)                             | 85        |
| 3.13.5         | วงจรมอดูเลตเตอร์ (FM Demodulator)   | 85        |

|                |   |           |
|----------------|---|-----------|
| 3.14           | การออกแบบวงจรกรองความถี่ต่ำผ่านแบบแอคทีฟ (Active Low Pass Filter)   | 86        |
| 3.15           | การออกแบบวงจรขยายสัญญาณเสียง (Audio Amplifier)  | 87        |
| 3.16           | การออกแบบวงจรขยายกำลังสัญญาณเสียง (Power Audio Amplifier)   | 87        |
| <b>บทที่ 4</b> | <b>การทดลองและผลการทดลอง</b>  | <b>92</b> |
|                | <b>ภาคส่ง(Transmitter)</b>  |           |
| 4.1            | ผลการทดลองของวงจรขยายสัญญาณเสียง (Audio Amplifier)  | 92        |
| 4.2            | ผลการทดลองของวงจรกรองความถี่ต่ำผ่านแบบบัตเทอร์เวิร์ทชนิดแอคทีฟ<br>อันดับที่ 8 ความถี่คัทออฟที่ 5 กิโลเฮิรตซ์ (Active Low Pass Filter) | 93        |
| 4.3            | ผลการทดลองของวงจรสังเคราะห์ความถี่ด้วยเฟสล็อกลูป 436.5 เมกะเฮิรตซ์<br>(436.5 MHz Phase Lock Loop - Frequency Synthesizer)             | 94        |
| 4.3.1          | ผลการทดลองของวงจรถ่ายสัญญาณแบบปรับค่าความถี่ได้<br>ตามแรงดันไฟฟ้า (Voltage Controlled Oscillator : VCO)                               | 95        |
| 4.3.2          | ผลการทดลองจากวงจรพรีสเกลเลอร์ (Prescaler)   | 97        |
| 4.3.3          | ผลการทดลองจากวงจรสังเคราะห์ความถี่ด้วยเฟสล็อกลูป<br>436.5 เมกะเฮิรตซ์   | 97        |
| -              | คริสตัลลออสซิลเลเตอร์ 10.24 เมกะเฮิรตซ์   | 97        |
| -              | สัญญาณ $\phi_R$ และ $\phi_V$  | 98        |
| -              | สัญญาณล็อกคิเทก (LD : Lock Detect)  | 99        |
| -              | สัญญาณ โมดูลัสคอนโทรล (MC : Modulus Control)  | 99        |
| 4.3.4          | ผลการทดลองจากวงจรรูปฟิลเตอร์ (Loop Filter)  | 100       |
| 4.3.5          | ผลการทดลองวงจรรวมของการสังเคราะห์ความถี่ที่ 436.5 เมกะเฮิรตซ์   | 100       |
| 4.4            | ผลการทดลองเมื่อผ่านการมอดูเลตสัญญาณแบบเอฟเอ็ม (FM Modulator)  | 102       |
| 4.5            | ผลการทดลองของวงจรขับกำลังความถี่วิทยุ (RF Driver Amplifier)   | 102       |
|                | <b>ภาครับ(Receiver)</b>   |           |
| 4.6            | ผลการทดลองเมื่อผ่านวงจรกรองความถี่ต่ำผ่าน 500 เมกะเฮิรตซ์   | 104       |
| 4.7            | การทดลองของวงจรขยายที่มีระดับสัญญาณรบกวนต่ำ (Low Noise Amplifier)   | 105       |
| 4.8            | วงจรมิกเซอร์ (Mixer)  | 108       |
| 4.9            | วงจรกรองแถบความถี่ 10.7 เมกะเฮิรตซ์ (Band Pass Filter 10.7 MHz)   | 109       |
| 4.10           | วงจรขยายสัญญาณความถี่กลางที่ 10.7 เมกะเฮิรตซ์ (IF Amplifier 10.7 MHz)   | 111       |
| 4.11           | ผลการทดลองจากวงจรมอดูเลเตอร์โดยใช้ไอซี MC3363   | 114       |
| 4.11.1         | คริสตัลลออสซิลเลเตอร์ความถี่ 10.245 เมกะเฮิรตซ์   | 114       |

|   | หน้า       |
|---|------------|
| 4.11.2 วงจรมิกเซอร์   | 114        |
| 4.11.3 วงจรกรองแถบความถี่ผ่าน (Band Pass Filter ที่ 455 กิโลเฮิร์ตซ์)   | 115        |
| 4.11.4 วงจรคีมอคูเลเตอร์  | 117        |
| 4.12 วงจรกรองความถี่ต่ำผ่านแบบบัตเทอร์เวิร์ทชนิดแอกทีฟอันดับที่ 8<br>ความถี่คัทออฟที่ 5 กิโลเฮิร์ตซ์ (Active Low Pass Filter) | 118        |
| 4.13 วงจรขยายสัญญาณเสียง (Audio Amplifier)  | 119        |
| 4.14 วงจรขยายกำลังสัญญาณเสียง (Power Audio Amplifier)   | 120        |
| <b>บทที่ 5 บทวิจารณ์และบทสรุป</b>   | <b>121</b> |
| <b>กิตติกรรมประกาศ</b>  |            |
| <b>หนังสืออ้างอิง</b>   |            |



## สารบัญญภาพ

|  | หน้า |
|--|------|
| <b>บทที่ 1 บทนำ</b>  |      |
| รูปที่ 1.1 บล็อกไดอะแกรมด้านภาคส่งของเครื่องรับส่งสัญญาณวิทยุ<br>ย่านความถี่ 435-438 เมกะเฮิรตซ์ | 1    |
| รูปที่ 1.2 บล็อกไดอะแกรมด้านภาครับของเครื่องรับส่งสัญญาณวิทยุ<br>ย่านความถี่ 435-438 เมกะเฮิรตซ์ | 4    |
| <b>บทที่ 2 ทฤษฎีหรือหลักการ</b>  |      |
| รูปที่ 2.1 แสดงบล็อกไดอะแกรมของระบบป้อนกลับแบบบวก  | 6    |
| รูปที่ 2.2 วงจรเรโซแนนซ์แบบอนุกรม  | 6    |
| รูปที่ 2.3 วงจรเรโซแนนซ์แบบขนาน  | 7    |
| รูปที่ 2.4 วงจรกำเนิดสัญญาณที่ใช้วงจรขยายแบบคิฟเฟอร์เรเนียนเซียล                                 | 7    |
| รูปที่ 2.5 วงจรกำเนิดสัญญาณแบบปรับค่าความถี่ได้ตามแรงดันไฟฟ้า (VCO)                              | 8    |
| รูปที่ 2.6 วงจรเฟดออสซิลเลเตอร์  | 8    |
| รูปที่ 2.7 วงจรกำเนิดสัญญาณโคสใช้ทรานซิสเตอร์ชนิดไบโพลาร์  | 9    |
| รูปที่ 2.8 วงจรกำเนิดสัญญาณปรับค่าความถี่ได้ตามแรงดันไฟฟ้าที่ใช้ทรานซิสเตอร์<br>ชนิดไบโพลาร์     | 10   |
| รูปที่ 2.9 วงจรกำเนิดสัญญาณแบบแคลป์-กอร์เรียท  | 11   |
| รูปที่ 2.10 วงจรกำเนิดสัญญาณแบบโคลพิตตส์   | 11   |
| รูปที่ 2.11 วงจรกำเนิดสัญญาณแบบโคลพิตตส์ ที่ปรับค่าความถี่ได้ตามแรงดันควบคุม                     | 12   |
| รูปที่ 2.12 วงจรลูปีลเลเตอร์อันดับที่ 1  | 16   |
| รูปที่ 2.13 วงจรลูปีลเลเตอร์อันดับที่ 2  | 17   |
| รูปที่ 2.14 วงจรลูปีลเลเตอร์อันดับที่ 3  | 19   |
| รูปที่ 2.15 สัญญาณเอฟเอ็ม  | 21   |
| รูปที่ 2.16 แอมพลิจูดของคลื่นพาหะและไซด์แบนด์ของการมอดูเลตแบบเอฟเอ็ม                             | 24   |
| รูปที่ 2.17 สเปกตรัมของคลื่นมอดูเลตแบบเอฟเอ็ม เมื่อ $m_f = 0.5, 1.0, 2.5$ และ 4.0                | 24   |
| รูปที่ 2.18 ตัวอย่างวงจรไบอัสทรานซิสเตอร์  | 28   |
| รูปที่ 2.19 การแมตซ์อิมพีแดนซ์   | 30   |
| รูปที่ 2.20 วงจรแมตซ์อิมพีแดนซ์จากตัวอย่าง   | 31   |
| รูปที่ 2.21 คุณสมบัติฟังก์ชันถ่ายโอนของวงจรขยายสัญญาณเชิงเส้น                                    | 31   |
| รูปที่ 2.22 คุณสมบัติของวงจรขยายที่ไม่เป็นเชิงเส้น   | 33   |
| รูปที่ 2.23 จุดตัดอันดับที่ 2 งานเพื่อการศึกษาเท่านั้น ไม่อนุญาตให้นำไปใช้ประโยชน์ด้านการค้า     | 33   |

|             | หน้า   |
|-------------|--|
| รูปที่ 2.24 | วงจรรขยายคลาสบีแบบพุง-พูล 34                             |
| รูปที่ 2.25 | การไบอัสอย่างง่ายโดยใช้ไดโอดของวงจรรขยายคลาสบี 35        |
| รูปที่ 2.26 | การไบอัสแบบอิมิตเตอร์ฟอลโลเวอร์ของวงจรรขยายคลาสบี 35     |
| รูปที่ 2.27 | การใช้อปแอมป์ในการไบอัสของวงจรรขยายคลาสบี 36             |
| รูปที่ 2.28 | การไบอัสตัวเองของวงจรรขยายคลาสซี 36                      |
| รูปที่ 2.29 | วงจรรแสดงการไบอัสตัวเองของวงจรรขยายคลาสซี 37             |
| รูปที่ 2.30 | ระบบการขับสัญญาณในการส่งกำลัง 15 วัตต์ 38                |
| รูปที่ 2.31 | การต่ออิมพีแดนซ์แมตชิ่งเนตเวิร์ก 38                      |
| รูปที่ 2.32 | ความต้านทานการแพร่กระจายสายอากาศที่เรโซแนนซ์ 39          |
| รูปที่ 2.33 | การแพร่กระจายความต้านทานของสายอากาศ 40                   |
| รูปที่ 2.34 | การเปลี่ยนแปลงค่าในสายโคแอกเชียลของแมตชิ่งเนตเวิร์ก 40   |
| รูปที่ 2.35 | บล็อกไดอะแกรมหลักการทำงานของวงจรมิกเซอร์ 41              |
| รูปที่ 2.36 | วงจรมิกเซอร์แบบ single – diode 42                        |
| รูปที่ 2.37 | วงจรมิกเซอร์ไดโอดมิกเซอร์ 42                             |
| รูปที่ 2.38 | หม้อแปลงเรโซแนนซ์และเซรามิกฟิลเตอร์ 43                   |
| รูปที่ 2.39 | แสดงการออสซิลเลตทางกล 44                                 |
| รูปที่ 2.40 | แสดงการเกิดออสซิลเลตทางค่านวงจรไฟฟ้า 45                  |
| รูปที่ 2.41 | วงจรรออสซิลเลตอร์แบบเลือกความถี่จากเกด 45                |
| รูปที่ 2.42 | การออสซิลเลตในช่วงเริ่มแรกและการออสซิลเลตแบบต่อเนื่อง 46 |
| รูปที่ 2.43 | วงจรรวมมูลของผลึกคริสตอล 47                              |
| รูปที่ 2.44 | แสดงผลึกควอตซ์และการตัดผลึก 48                           |
| รูปที่ 2.45 | บล็อกไดอะแกรมของระบบควอดราเจอร์รีเทกชัน 50               |
| รูปที่ 2.46 | วงจรรองความถี่ต่ำผ่านที่คั้งการ 51                       |
| รูปที่ 2.47 | วงจรรองความถี่ต่ำผ่านที่มีช่วงหยุดไม่ราบเรียบ 52         |
| รูปที่ 2.48 | ความสัมพันธ์ระหว่างความถี่และการสูญเสีย 52               |
| รูปที่ 2.49 | ผลตอบสนองทางความถี่ของวงจรรองความถี่ต่ำ 55               |
| รูปที่ 2.50 | กราฟความสัมพันธ์ระหว่างความถี่และอัตราสูญเสีย 57         |
| รูปที่ 2.51 | ค่าการสูญเสียในเทอมของความถี่นอร์แมลไลซ์ 57              |
| รูปที่ 2.52 | การลดทอนของวงจรรองความถี่ต่ำผ่านแบบเชบีเชฟ 60            |
| รูปที่ 2.53 | ริบเบิลและฟังก์ชันการลดทอน 61                            |
| รูปที่ 2.54 | วงจรรองความถี่ต่ำประกอบด้วยตัวต้านทานและตัวเก็บประจุ 62  |

|  | หน้า |
|--|------|
| รูปที่ 2.56 วงจรขยายสัญญาณกลับเฟส (Inverting Amplifier)                                | 65   |
| รูปที่ 2.57 วงจรสมมูลของวงจขยายสัญญาณแบบกลับเฟส 180 องศา                               | 66   |
| รูปที่ 2.58 วงจรสมมูลในรูปที่ 2.57 เมื่อแทนด้วยแหล่งกำเนิดกระแส<br>ความทฤษฎีของนอร์ตัน | 66   |

### บทที่ 3 การคำนวณและการสร้าง

|  |    |
|--|----|
| รูปที่ 3.1 วงจรไมโครโฟน  | 68 |
| รูปที่ 3.2 วงจรขยายสัญญาณแบบกลับเฟส  | 69 |
| รูปที่ 3.3 วงจรขยายสัญญาณแบบกลับเฟสที่อัตราขยาย 100 เท่า                           | 56 |
| รูปที่ 3.4 วงจรคั่นแบบของวงจรรองความถี่ต่ำผ่านแบบ Sallen and Key                   | 70 |
| รูปที่ 3.5 วงจรรองความถี่ต่ำผ่านแบบแอกทีฟทางภาคส่งความถี่คัทออฟ 5 กิโลเฮิร์ตซ์     | 71 |
| รูปที่ 3.6 วงจรกำเนิดสัญญาณแบบโคลพิตต์ส (Colpitts Oscillator)                      | 72 |
| รูปที่ 3.7 วงจรสมมูลทางคิซีของวงจรถูกกำเนิดสัญญาณ                                  | 72 |
| รูปที่ 3.8 วงจรสมมูลที่ขาเบสของทรานซิสเตอร์ที่ต้องการออกแบบ                        | 73 |
| รูปที่ 3.9 วงจรสมมูลเมื่อรวม $C_{in}$ กับ $C_V$                                    | 73 |
| รูปที่ 3.10 วงจรกำเนิดสัญญาณ   | 74 |
| รูปที่ 3.11 วงจรกำเนิดสัญญาณแบบปรับความถี่ได้ตามแรงดันไฟฟ้า                        | 75 |
| รูปที่ 3.12 การต่อวงจรของไอซี MC12032  | 75 |
| รูปที่ 3.13 ส่วนประกอบต่างๆภายใน MC145152-2  | 76 |
| รูปที่ 3.14 โครงสร้างวงจรรูปฟิลเตอร์   | 77 |
| รูปที่ 3.15 วงจรรูปฟิลเตอร์ที่ใช้งานจริง   | 79 |
| รูปที่ 3.16 วงจรสังเคราะห์ความถี่ด้วยเฟสล็อกความถี่ 436.5 เมกะเฮิร์ตซ์             | 79 |
| รูปที่ 3.17 วงจรขับกำลังสัญญาณความถี่วิทยุที่ความถี่ 436.5 เมกะเฮิร์ตซ์            | 80 |
| รูปที่ 3.18 วงจรคั่นแบบของวงจรรองความถี่ต่ำผ่านแบบเชบีเชฟ อันดับที่ 5              | 80 |
| รูปที่ 3.19 วงจรรองความถี่ต่ำผ่านแบบเชบีเชฟ อันดับที่ 5 คัทออฟที่ 500 เมกะเฮิร์ตซ์ | 81 |
| รูปที่ 3.20 วงจรขยายสัญญาณที่มีระดับสัญญาณรบกวนต่ำที่ความถี่ 436.5 เมกะเฮิร์ตซ์    | 82 |
| รูปที่ 3.21 วงจรสังเคราะห์ความถี่ด้วยเฟสล็อกความถี่ 447.2 เมกะเฮิร์ตซ์             | 82 |
| รูปที่ 3.22 วงจรภายในของ JMS-11X   | 83 |
| รูปที่ 3.23 วงจรมิกเซอร์ที่ให้ความถี่กลาง 10.7 เมกะเฮิร์ตซ์                        | 83 |
| รูปที่ 3.24 วงจรเซรามิกฟิลเตอร์ที่ 10.7 เมกะเฮิร์ตซ์                               | 84 |
| รูปที่ 3.25 วงจรสมมูลทางคิซีของวงจรรวมมอนอิมิตเตอร์                                | 84 |
| รูปที่ 3.26 วงจรขยายสัญญาณความถี่กลาง 10.7 เมกะเฮิร์ตซ์ ที่ใช้งานจริง              | 85 |

|                | หน้า   |     |
|----------------|--|-----|
| รูปที่ 3.27    | วงจรถ่ายเฟรมคิมอคูเลเตอร์  | 86  |
| รูปที่ 3.28    | วงจรถองความถี่ต่ำผ่านแบบแอกทีฟความถี่คัทออฟที่ 5 กิโลเฮิร์ตซ์  | 87  |
| รูปที่ 3.29    | วงจรถายสัญญาณเสียงแบบกลับเฟส   | 87  |
| รูปที่ 3.30    | วงจรถายกำลังสัญญาณเสียง  | 88  |
| รูปที่ 3.31    | วงจรรวมค่านั่งของเครื่องรับ-ส่งวิทยุย่านความถี่ UHF  | 89  |
| รูปที่ 3.32    | วงจรรวมค่านั่งของเครื่องรับ-ส่งวิทยุย่านความถี่ UHF  | 90  |
| รูปที่ 3.33    | วงจรรวมค่านั่งของเครื่องรับ-ส่งวิทยุย่านความถี่ UHF (ต่อ)  | 91  |
| <br>           |  |     |
| <b>บทที่ 4</b> | <b>การทดลองและผลการทดลอง</b>   |     |
| รูปที่ 4.1     | เปรียบเทียบสัญญาณอินพุตและเอาต์พุตของวงจรถายสัญญาณเสียง  | 92  |
| รูปที่ 4.2     | กราฟแสดงผลตอบสนองทางความถี่ของวงจรถองความถี่ต่ำผ่านแบบแอกทีฟ   | 94  |
| รูปที่ 4.3     | กราฟความสัมพันธ์ระหว่างแรงดันควบคุมกับความถี่ที่ได้จากวงจรถายสัญญาณแบบปรับค่าความถี่ได้ตามแรงดันไฟฟ้า                                | 96  |
| รูปที่ 4.4     | กราฟความสัมพันธ์ระหว่างความถี่กับกำลังงานเอาต์พุตที่ได้จากวงจรถายสัญญาณแบบปรับค่าความถี่ได้ตามแรงดันไฟฟ้า                            | 96  |
| รูปที่ 4.5     | สัญญาณเอาต์พุตจากวงจรถายสัญญาณ   | 97  |
| รูปที่ 4.6     | สัญญาณจากคริสตอลออสซิลเลเตอร์ความถี่ 10.24 เมกะเฮิร์ตซ์ (ขา 26) ของ MC 145152  | 98  |
| รูปที่ 4.7     | แสดงสัญญาณที่ขา $\phi_R$ (ขาที่ 7), $\phi_V$ (ขาที่ 8) ของ MC145152  | 98  |
| รูปที่ 4.8     | รูปสัญญาณที่ได้จากขา Lock Detect (ขาที่ 28) ของ MC145152   | 99  |
| รูปที่ 4.9     | สัญญาณที่ได้จากขา MC (ขาที่ 9) ของ MC145152  | 99  |
| รูปที่ 4.10    | ระดับแรงดันไฟตรงที่ได้จากฟิลเตอร์ที่ความถี่ 436.5 เมกะเฮิร์ตซ์   | 100 |
| รูปที่ 4.11    | สเปกตรัมแสดงฮาร์โมนิกของสัญญาณเอาต์พุตที่ได้จากวงจรถายสัญญาณที่ความถี่ด้วยเฟสล็อกที่ 436.5 เมกะเฮิร์ตซ์ (20 dB External Attenuation) | 101 |
| รูปที่ 4.12    | สเปกตรัมของสัญญาณจากวงจรถายสัญญาณที่ความถี่ที่ 436.5 เมกะเฮิร์ตซ์  | 101 |
| รูปที่ 4.13    | สเปกตรัมของสัญญาณที่ถูกมอดูเลตแล้วกับความถี่ 1 กิโลเฮิร์ตซ์  | 102 |
| รูปที่ 4.14    | กราฟแสดงความสัมพันธ์ระหว่างความถี่กับกำลังงานสูงสุด  | 103 |
| รูปที่ 4.15    | กราฟแสดงความสัมพันธ์ระหว่างความถี่และอัตราการใช้พลังงาน  | 105 |
| รูปที่ 4.16    | กราฟแสดงผลตอบสนองทางความถี่ของวงจรถายที่มีระดับสัญญาณรบกวนต่ำ  | 106 |
| รูปที่ 4.17    | กราฟเปรียบเทียบระหว่างระดับสัญญาณอินพุตกับสัญญาณเอาต์พุตที่ความถี่ 436.5 เมกะเฮิร์ตซ์  | 107 |

|   | หน้า |
|---|------|
| รูปที่ 4.18 สเปกตรัมของสัญญาณวิทยุความถี่ 436.5 เมกะเฮิร์ตซ์ซึ่งใช้เป็นสัญญาณวิทยุ (20 dB Ext. Att.)                        | 108  |
| รูปที่ 4.19 สเปกตรัมของวงจรสังเคราะห์ความถี่ 447.2 เมกะเฮิร์ตซ์ ซึ่งใช้เป็นโลคอลลอสซิงลิเตเตอร์ (20 dB Ext. Att.)           | 108  |
| รูปที่ 4.20 สเปกตรัมของสัญญาณเอาต์พุตที่ได้จากวงจรมิกเซอร์ (20 dB Ext. Att.)  | 109  |
| รูปที่ 4.21 กราฟผลตอบสนองทางความถี่ของวงจรกรองความถี่ที่ 10.7 เมกะเฮิร์ตซ์  | 110  |
| รูปที่ 4.22 สเปกตรัมสัญญาณเอาต์พุตเมื่อนำสัญญาณจากวงจรมิกเซอร์ ผ่านวงจรกรองแถบความถี่ (20 dB Ext. Att.)                     | 110  |
| รูปที่ 4.23 กราฟผลตอบสนองทางความถี่ของวงจรขยายสัญญาณความถี่กลาง ที่ 10.7 เมกะเฮิร์ตซ์                                       | 111  |
| รูปที่ 4.24 กราฟเปรียบเทียบระหว่างระดับสัญญาณอินพุตกับสัญญาณเอาต์พุต ที่ความถี่ 10.7 เมกะเฮิร์ตซ์                           | 112  |
| รูปที่ 4.25 แสดงสเปกตรัมสัญญาณเอาต์พุตที่ได้จากวงจรขยายสัญญาณความถี่กลาง ที่ 10.7 เมกะเฮิร์ตซ์ (20 dB External Attenuation) | 113  |
| รูปที่ 4.26 สัญญาณจากคริสตอลลออสซิลเลเตอร์ความถี่ 10.245 เมกะเฮิร์ตซ์ (ขา 4) ของ MC3362                                     | 114  |
| รูปที่ 4.27 สัญญาณเอาต์พุตจากวงจรมิกเซอร์ (ขา 7) ของ MC3362   | 115  |
| รูปที่ 4.28 กราฟผลตอบสนองทางความถี่ของวงจรกรองความถี่ที่ 455 กิโลเฮิร์ตซ์   | 116  |
| รูปที่ 4.29 สัญญาณอินพุตและเอาต์พุตของวงจรกรองแถบความถี่ที่ 455 กิโลเฮิร์ตซ์  | 116  |
| รูปที่ 4.30 สัญญาณก่อนทำการมอดูเลตและสัญญาณเอาต์พุต ของวงจรคีมอดูเลเตอร์(ขา 13)ของMC3363                                    | 117  |
| รูปที่ 4.31 กราฟผลตอบสนองทางความถี่ของวงจรกรองความถี่ต่ำผ่านแบบแอกทีฟ   | 119  |
| รูปที่ 4.32 สัญญาณที่ผ่านวงจรกรองความถี่ต่ำผ่านเทียบกับสัญญาณเอาต์พุตของวงจร ขยายเสียง                                      | 119  |
| รูปที่ 4.33 กราฟผลตอบสนองทางความถี่ของวงจรขยายกำลังเสียง  | 120  |

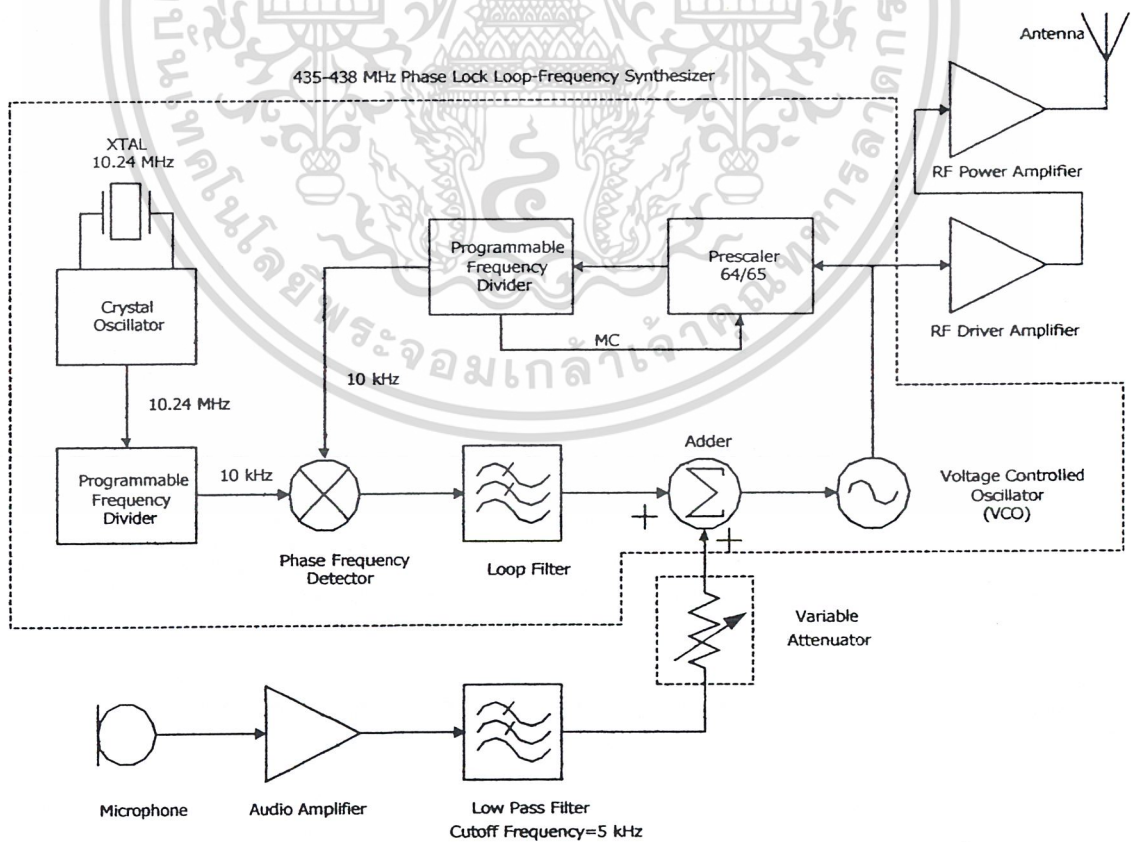


# บทที่ 1 บทนำ

ในปัจจุบันนี้การติดต่อสื่อสารนั้นนับว่าเป็นสิ่งจำเป็นอย่างมากสำหรับบุคคลทุกคน การติดต่อสื่อสารที่มีประสิทธิภาพย่อมได้เปรียบและนำมาซึ่งผลสำเร็จของการติดต่อสื่อสารนั้นๆ ในปัจจุบันนี้ได้เกิดรูปแบบและวิธีการที่ใช้ในการติดต่อสื่อสารขึ้นมากมายเนื่องจากความก้าวหน้าของเทคโนโลยี ซึ่งการติดต่อสื่อสารแต่ละวิธีก็มีข้อดีและข้อเสียที่แตกต่างกัน การสื่อสารข้อมูลด้วยคลื่นวิทยุมีบทบาทสูงชันในปัจจุบันเนื่องจากการสื่อสารด้วยคลื่นวิทยุนี้ไม่จำเป็นต้องมีสายนำสัญญาณก็สามารถที่จะติดต่อสื่อสารกันได้และยังสะดวกในการเคลื่อนที่ ในโครงการนี้จึงเป็นการนำเสนอการออกแบบและการสร้างเครื่องรับส่งสัญญาณวิทยุแบบเอฟเอ็มย่านความถี่ 435-438 เมกะเฮิร์ตซ์ เพื่อใช้ในการรับส่งสัญญาณเสียงพูดระหว่างกันและกัน โดยสามารถแยกอธิบายทั้งภาคส่งและภาครับแบบพอสังเขปเพื่อให้เห็นโครงสร้างและขอบเขตของโครงการได้ดังนี้คือ

## ภาคส่ง (Transmitter)

ภาคส่งของเครื่องรับส่งสัญญาณวิทยุแบบเอฟเอ็มย่านความถี่ 435-438 เมกะเฮิร์ตซ์ แสดงได้ตามบล็อกไดอะแกรมในรูปที่ 1.1



รูปที่ 1.1 บล็อกไดอะแกรมด้านภาคส่งของเครื่องรับส่งสัญญาณวิทยุย่านความถี่ 435-438 เมกะเฮิร์ตซ์  
เอกสารนี้เป็นเอกสารที่สงวนไว้สำหรับอาจารย์และบุคลากรในมหาวิทยาลัยเท่านั้น ไม่ควรเผยแพร่ไปใช้ประโยชน์อื่นใด  
ไม่ว่ากรณีใดๆ ทั้งสิ้น อีกทั้งห้ามมิให้คัดแปลงเนื้อหา และต้องอ้างอิงถึงเจ้าของเอกสารทุกครั้งที่มีการนำไปใช้

ส่วนประกอบต่างๆตามบล็อกไดอะแกรมสามารถอธิบายหน้าที่การทำงานแบบพอสังเขปได้ดังนี้คือ

1. ไมโครโฟน (Microphone) เป็นไมโครโฟนชนิดคอนเดนเซอร์ซึ่งทำหน้าที่เปลี่ยนพลังงานเสียงให้เป็นพลังงานไฟฟ้าโดยสัญญาณไฟฟ้าที่ได้จะมีขนาดของสัญญาณที่ต่ำ
2. วงจรกรองความถี่แบบต่ำผ่านที่มีความถี่คutoffที่ 5 กิโลเฮิร์ตซ์ (5 kHz Cutoff Frequency Low Pass Filter) ทำหน้าที่จำกัดแถบความถี่ของสัญญาณเสียงที่รับได้จากไมโครโฟนให้เหลือช่วงความถี่ของสัญญาณเสียงไม่เกิน 5 กิโลเฮิร์ตซ์ โดยใช้วงจรกรองความถี่ต่ำผ่านแบบแอกทีฟชนิดบัตเทอร์เวิร์ทอันดับที่ 8 (Butterworth order 8<sup>th</sup>) มีความถี่คutoffที่ 5 กิโลเฮิร์ตซ์
3. วงจรขยายสัญญาณเสียง (Audio Amplifier) ทำหน้าที่ขยายสัญญาณเสียงซึ่งมีขนาดสัญญาณต่ำที่ผ่านการจำกัดแถบความถี่จากวงจรกรองความถี่ต่ำผ่านมาแล้วให้มีขนาดสัญญาณสูงขึ้นโดยใช้วงจรขยายสัญญาณที่สร้างจากออปแอมป์
4. วงจรลดทอนขนาดสัญญาณ (Attenuator) ทำหน้าที่ลดทอนขนาดสัญญาณก่อนส่งไปทำการมอดูเลชันแบบเอฟเอ็มเพื่อให้มีขนาดสัญญาณที่เหมาะสม โดยใช้ความต้านทานแบบปรับค่าได้เป็นตัวลดทอนขนาดสัญญาณ
5. วงจรสังเคราะห์ความถี่ด้วยเฟสล็อกลูปความถี่ 435-438 เมกะเฮิร์ตซ์ ทำหน้าที่สังเคราะห์ความถี่ในช่วงความถี่ 435-438 เมกะเฮิร์ตซ์ และทำการมอดูเลตแบบเอฟเอ็มโดยประกอบด้วยส่วนต่างๆดังต่อไปนี้คือ

#### 5.1 วงจรคริสตัลลออสซิลเลเตอร์ความถี่ 10.24 เมกะเฮิร์ตซ์ (Crystal Oscillator 10.24 MHz)

ทำหน้าที่สร้างสัญญาณอ้างอิงเพื่อใช้ในการเปรียบเทียบเฟสกับสัญญาณที่ได้จากวงจรกำเนิดสัญญาณแบบปรับค่าความถี่ได้ตามแรงดันไฟฟ้า (VCO) โดยใช้คริสตัลเป็นตัวเรโซแนนซ์ความถี่ เนื่องจากมีเสถียรภาพสูงและมีการเปลี่ยนแปลงความถี่ที่ต่ำ วงจรกำเนิดสัญญาณจะอยู่ในไอซีเบอร์ MC145152 ทำงานได้โดยต่อคริสตัลจากภายนอก

#### 5.2 วงจรหารความถี่คริสตัลแบบโปรแกรมได้ (Programmable Frequency Divider) ทำหน้าที่หารความถี่จากคริสตัลลออสซิลเลเตอร์ความถี่ 10.24 เมกะเฮิร์ตซ์ให้เหลือความถี่เพียง 10 กิโลเฮิร์ตซ์ ซึ่งเป็นค่าความถี่ที่จะใช้ในการเปรียบเทียบเฟสและยังเป็นค่าความละเอียดในการปรับเปลี่ยนความถี่ด้วยสวิตช์อีกด้วย การโปรแกรมค่าการหารสามารถโปรแกรมผ่านขา R0, R1 และ R2 ซึ่งในโครงงานนี้มีการโปรแกรมค่าเป็น 1, 0 และ 1 ตามลำดับเพื่อให้ความถี่ 10.24 เมกะเฮิร์ตซ์จากคริสตัลลออสซิลเลเตอร์ถูกหารด้วย 1024

#### 5.3 วงจรกำเนิดสัญญาณแบบปรับค่าความถี่ได้ตามแรงดันไฟฟ้า (Voltage Controlled Oscillator:VCO) ทำหน้าที่กำเนิดสัญญาณความถี่วิทยุที่มีการปรับค่าความถี่ได้ตามแรงดันไฟฟ้าควบคุม (VCO) เพื่อใช้ในการสังเคราะห์ความถี่ด้วยเฟสล็อกลูปโดยต้องการล็อกความถี่ในช่วง 435-438 เมกะเฮิร์ตซ์

#### 5.4 วงจรพรีสเกลเลอร์ (Prescaler) ทำหน้าที่หารความถี่ลงมาเพื่อไม่ให้เกินช่วงความถี่ที่ไอซีเบอร์ MC145152 สามารถทำงานได้ (ความถี่อินพุตน้อยกว่า 25 เมกะเฮิร์ตซ์) พรีสเกลเลอร์ใช้แบบ

คูัลโมดูลัส (Dual Modulus Prescaler) ซึ่งสามารถหาร 64 หรือ 65 ได้โดยการกำหนดค่าลอจิกที่ขา อินพุต MC (Modulus Control)

#### 5.5 วงจรหารความถี่อินพุตแบบโปรแกรมค่าการหารได้ (Programmable Frequency Divider)

เมื่อสัญญาณอินพุตจากวงจรกำเนิดสัญญาณแบบปรับค่าความถี่ได้ตามแรงดันไฟฟ้าถูกหารความถี่ด้วย ฟริสเกลเลอร์แล้วความถี่ที่ได้ยังไม่สามารถนำไปเปรียบเทียบเฟสได้เนื่องจากความถี่ยังสูงอยู่ ความถี่ของสัญญาณอินพุตและควบคุมจำนวนครั้งในการหาร 64 หรือ 65 ของคูัลโมดูลัส ฟริสเกลเลอร์ ดังนั้นหากต้องการทราบกระบวนการในการหารความถี่ต้องพิจารณาทั้งสองควบคู่กันไป ค่าการหารความถี่สามารถโปรแกรมผ่านขา N9-N0 และ A5-A0

5.6 วงจรเปรียบเทียบเฟสและความถี่ (Phase-Frequency Detector) ทำหน้าที่เปรียบเทียบเฟสและความถี่ของสัญญาณสองสัญญาณ โดยสัญญาณหนึ่งคือสัญญาณอ้างอิงที่ได้จากการหารความถี่จากคริสตอลออสซิลเลเตอร์และอีกสัญญาณจากการหารความถี่จากวงจรกำเนิดสัญญาณแบบปรับค่าความถี่ได้ตามแรงดันไฟฟ้า (VCO)

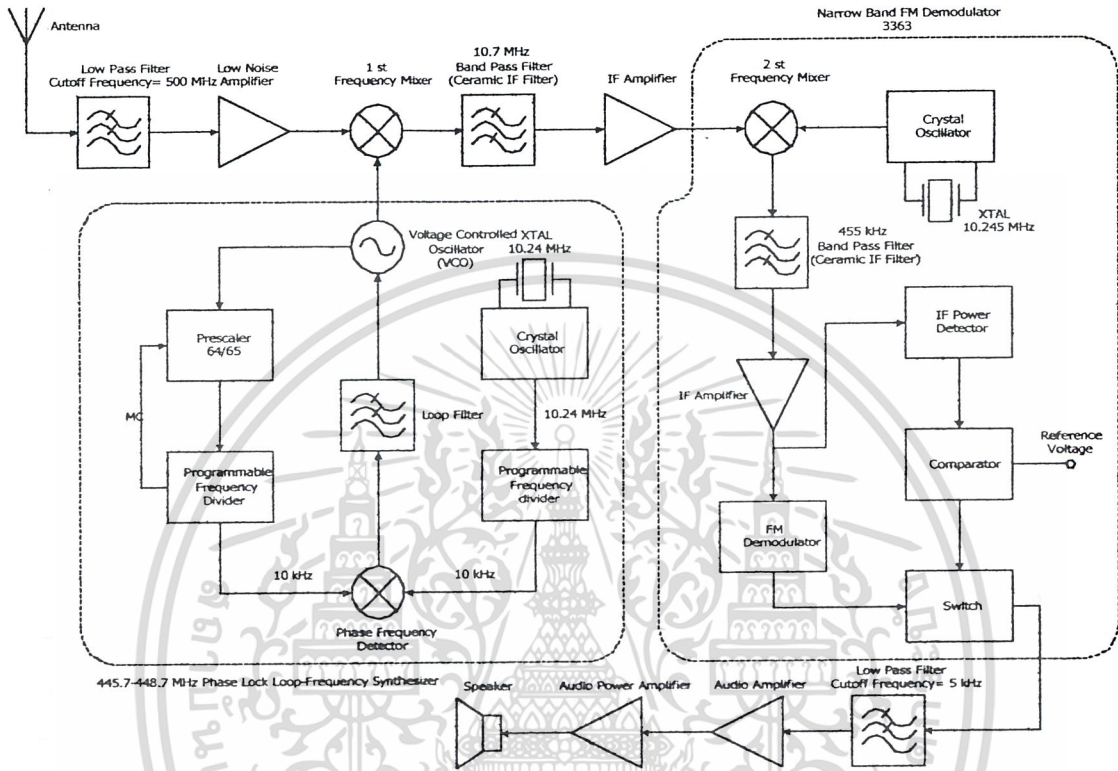
5.7 วงจรลูปฟิลเตอร์ (Loop Filter) เป็นวงจรกรองความถี่ต่ำผ่านแบบแอกทีฟที่สามารถกำหนดค่า  $\zeta$  (Damping Factor) และ  $\omega_n$  (Natural Frequency) ได้จากค่าองค์ประกอบของวงจรกรองความถี่ซึ่งในสัญญาณที่ได้จากวงจรเปรียบเทียบเฟสจะประกอบด้วยองค์ประกอบทางคิซี (dc) และเอซี (ac) โดยสิ่งที่ต้องการคือองค์ประกอบทางคิซี (เพื่อนำไปใช้ควบคุมความถี่ของวงจรถูกกำเนิดสัญญาณแบบปรับค่าความถี่ได้ตามแรงดันไฟฟ้า (VCO) ดังนั้นวงจรกรองความถี่ต่ำผ่านจึงถูกนำมาใช้เป็นวงจรลูปฟิลเตอร์นั่นเอง

5.8 วงจรรวมสัญญาณ (Adder) ทำหน้าที่รวมสัญญาณไฟตรงที่ได้จากลูปฟิลเตอร์เข้ากับสัญญาณเสียงที่มีการจำกัดแถบความถี่และลดทอนขนาดของสัญญาณแล้วเข้าด้วยกัน โดยขนาดสัญญาณเสียงจะมีผลต่ออัตราการใช้แบนความถี่ของการมอดูเลชันแบบเอฟเอ็ม ดังนั้นจึงต้องมีการปรับขนาดของสัญญาณเสียงที่เข้าตัวรวมสัญญาณให้เหมาะสมกับวงจรถอนขนาดสัญญาณเสียงก่อนเพื่อไม่ให้อัตราการเบี่ยงเบนความถี่มีค่าเกิน  $\pm 5$  กิโลเฮิรตซ์

6. วงจรขับกำลังความถี่วิทยุ (RF Driver Amplifier) วงจรขับกำลังความถี่วิทยุถูกนำมาใช้เพื่อขยายขนาดสัญญาณที่ได้จากวงจรสังเคราะห์ความถี่ด้วยเฟสล็อกก่อนนำไปเข้าวงจรขยายกำลังความถี่วิทยุ
7. วงจรขยายกำลังความถี่วิทยุ (RF Power Amplifier) ถูกนำมาใช้เป็นวงจรขยายกำลังภาคสุดท้ายก่อนส่งสัญญาณออกอากาศ

ภาครับ (Receiver)

ภาครับของเครื่องรับส่งสัญญาณวิทยุแบบเอฟเอ็มย่านความถี่ 435-438 เมกะเฮิร์ตซ์ แสดงได้ตามบล็อกไดอะแกรมในรูปที่ 1.2



รูปที่ 1.2 บล็อกไดอะแกรมด้านภาครับของเครื่องรับส่งสัญญาณวิทยุย่านความถี่ 435-438 เมกะเฮิร์ตซ์

ส่วนประกอบต่างๆตามบล็อกไดอะแกรมสามารถอธิบายหน้าที่การทำงานแบบพอสังเขปได้ดังนี้คือ

1. วงจรกรองความถี่แบบค่าผ่านที่มีความถี่คัทออฟที่ 500 เมกะเฮิร์ตซ์ (500 MHz Cutoff Frequency Low Pass Filter) ทำหน้าที่จำกัดแถบความถี่ของสัญญาณอินพุตที่เข้าสายอากาศเพื่อเลือกเฉพาะช่วงความถี่ที่ต้องการ
2. วงจรขยายสัญญาณที่มีระดับสัญญาณรบกวนต่ำ (Low Noise Amplifier) ทำหน้าที่ขยายสัญญาณความถี่วิทยุที่เข้ามาจากสายอากาศและผ่านการเลือกกรองช่วงความถี่แล้ว ให้มีขนาดสัญญาณแรงขึ้นเพื่อส่งต่อไปกับวงจรมิกเซอร์
3. วงจรมิกเซอร์ความถี่ตัวที่ 1 (1<sup>st</sup> Frequency Mixer) ทำหน้าที่เลื่อนแถบความถี่จากช่วงความถี่สูงของสัญญาณที่ต้องการ (435-438 เมกะเฮิร์ตซ์) โดยทำการผสมกับความถี่ที่ได้จากวงจรสังเคราะห์ความถี่ช่วง 445.7-448.7 เมกะเฮิร์ตซ์ มาเป็นช่วงความถี่ต่ำโดยมีความถี่กลาง (IF Frequency) ที่ 10.7 เมกะเฮิร์ตซ์
4. วงจรสังเคราะห์ด้วยเฟสล็อกช่วงความถี่ 445.7-448.7 เมกะเฮิร์ตซ์ ทำหน้าที่กำเนิดสัญญาณความถี่โลกอด (Local) โดยผลิตความถี่ในช่วง 445.7 ถึง 448.7 เมกะเฮิร์ตซ์ เพื่อเข้าไปผสมความถี่กับวงจร

- มิกเซอร์ความถี่ตัวที่ 1 ต่อไป องค์ประกอบภายในเหมือนกันกับวงจรสังเคราะห์ความถี่ด้วยเฟสล็อกคูลูปด้านภาคส่ง
5. วงจรกรองแถบความถี่ผ่านที่ 10.7 เมกะเฮิร์ตซ์ (IF Band Pass Filter 10.7 MHz) ใช้กรองแถบความถี่ต่ำที่ได้จากวงจรมิกเซอร์ความถี่ตัวที่ 1 โดยเลือกเอาผลต่างทางความถี่มาใช้งานจะได้เป็นความถี่กลางออกมาที่ 10.7 เมกะเฮิร์ตซ์
  6. วงจรขยายสัญญาณความถี่กลางที่ 10.7 เมกะเฮิร์ตซ์ (IF Amplifier 10.7 MHz) ทำหน้าที่ขยายสัญญาณที่ได้จากวงจรกรองแถบความถี่ผ่านช่วง 10.7 เมกะเฮิร์ตซ์ (วงจรกรองแถบความถี่กลาง)
  7. วงจรคริสตอลออสซิลเลเตอร์ความถี่ 10.245 เมกะเฮิร์ตซ์ (Crystal Oscillator 10.245 MHz) ทำหน้าที่กำเนิดสัญญาณความถี่ 10.245 เมกะเฮิร์ตซ์ เพื่อใช้ในการลดความถี่กลางจาก 10.7 เมกะเฮิร์ตซ์มาเป็นความถี่กลางค่าที่ 2 คือ 455 กิโลเฮิร์ตซ์ โดยวงจรจะเป็นส่วนหนึ่งในไอซี MC3363 เพียงทำการต่อคริสตอลจากภายนอกเพื่อให้วงจรสามารถทำงานได้เท่านั้น
  8. วงจรมิกเซอร์ความถี่ตัวที่สอง (2<sup>nd</sup> Frequency Mixer) ทำหน้าที่ผสมความถี่ของสัญญาณจากคริสตอลออสซิลเลเตอร์ความถี่ 10.245 เมกะเฮิร์ตซ์ กับความถี่กลางจากวงจรขยายสัญญาณความถี่กลาง 10.7 เมกะเฮิร์ตซ์ จะได้ความถี่ 10.945 เมกะเฮิร์ตซ์และ 455 เมกะเฮิร์ตซ์
  9. วงจรกรองแถบความถี่ผ่านช่วง 455 กิโลเฮิร์ตซ์ (IF Band Pass Filter 455 kHz) ใช้กรองแถบความถี่ต่ำที่ได้จากวงจรมิกเซอร์ความถี่ตัวที่ 2 โดยเลือกเอาผลต่างทางความถี่มาใช้งานจะได้เป็นความถี่กลางออกมาที่ 455 เมกะเฮิร์ตซ์
  10. วงจรดีมอดูเลตสัญญาณเอฟเอ็ม (FM Demodulator) เป็นวงจรดีมอดูเลเตอร์แบบคัควอดราเจอร์ (Quadrature) เพื่อให้ได้สัญญาณข่าวสารออกมา
  11. วงจรกรองความถี่แบบต่ำผ่านที่มีความถี่คัทออฟ 5 กิโลเฮิร์ตซ์ (5 kHz Cutoff Frequency Low Pass Filter) ใช้วงจรกรองความถี่แบบแอกทีฟเพื่อกรองเอาส่วนประกอบของสัญญาณอื่นๆที่ไม่ใช่สัญญาณเสียงซึ่งอาจมาจากวงจรดีมอดูเลเตอร์ทิ้งไปให้เหลือเพียงช่วงความถี่ที่ต้องการคือสัญญาณเสียงไม่เกิน 5 กิโลเฮิร์ตซ์
  12. วงจรขยายสัญญาณเสียง (Audio Amplifier) ทำหน้าที่ขยายสัญญาณเสียงซึ่งมีขนาดสัญญาณต่ำที่ผ่านการจำกัดแถบความถี่จากวงจรกรองความถี่ต่ำผ่านมาแล้วให้มีขนาดสัญญาณสูงขึ้น โดยใช้วงจรขยายสัญญาณที่สร้างจากออปแอมป์
  13. วงจรขยายกำลังสัญญาณเสียง (Power Audio Amplifier) ทำหน้าที่ขยายขนาดและกำลังของสัญญาณเสียงที่ได้จากการดีมอดูเลตให้มีกำลังเพียงพอที่จะสามารถทำให้ลำโพงดังได้

## บทที่ 2

### ทฤษฎีหรือหลักการ

#### 2.1 วงจรสังเคราะห์ความถี่โดยใช้เฟสล็อกลูป (Frequency Synthesizer)

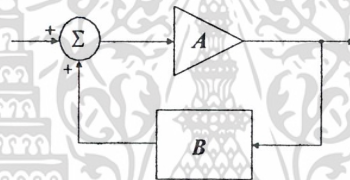
ประกอบด้วยวงจรต่างๆดังนี้

1. วงจรกำเนิดสัญญาณแบบปรับค่าความถี่ได้ตามแรงดันไฟฟ้า (VCO)
2. วงจรสังเคราะห์ความถี่ (Frequency Synthesizer)
3. ลูปฟิลเตอร์ (Loop Filter)
4. วงจรหารความถี่หรือพรีสเกลเลอร์ (Prescaler)

##### 2.1.1 วงจรกำเนิดสัญญาณแบบปรับค่าความถี่ได้ตามแรงดันไฟฟ้า (VCO)

การออกแบบวงจรกำเนิดสัญญาณอาศัยหลักการป้อนกลับแบบบวก (Positive Feedback)

ตามบล็อกไดอะแกรมในรูปที่ 2.1



รูปที่ 2.1 แสดงบล็อกไดอะแกรมของระบบป้อนกลับแบบบวก

โดย  $A$  คือ อัตราขยายของวงจรขยายในส่วนของฟอร์เวิร์ดพาท (Forward Path)

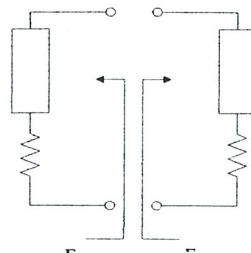
$B$  คือ อัตราส่วนการป้อนกลับ (Feedback Ratio) ในส่วนของฟีดแบ็กพาท (Feedback Path)

วงจรจะออสซิลเลตได้ต่อเมื่อ  $|AB| = 1$  (Barkhausen Criterion) และ  $\angle AB = 360^\circ$  ดังนั้นจาก

เงื่อนไขข้างต้น  $A_{r,m} = \frac{A}{1-AB}$  จะมีค่า  $= \infty$  เมื่อเกิดการออสซิลเลต วงจรขยาย(A)จะทำการขยาย

สัญญาณรบกวนซึ่งเป็นการเริ่มต้นให้วงจรเกิดการออสซิลเลต หลังจากนั้นความถี่ที่ถูกออสซิลเลตจะถูกเลือกโดยวงจรเรโซแนนซ์ซึ่งแบ่งออกได้เป็น 2 รูปแบบ คือ

#### วงจรเรโซแนนซ์แบบอนุกรม (Series Resonance)

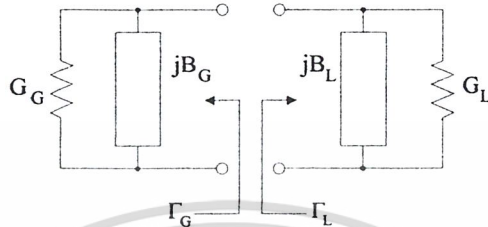


รูปที่ 2.2 วงจรเรโซแนนซ์แบบอนุกรม

เอกสารนี้เป็นเอกสารที่สงวนไว้สำหรับครูอาจารย์เท่านั้น ไม่อนุญาตให้นำไปใช้ประโยชน์ด้านการค้า  
ไม่ว่ากรณีใดๆ ทั้งสิ้น อีกทั้งห้ามมิให้ดัดแปลงเนื้อหา และต้องอ้างอิงถึงเจ้าของเอกสารทุกครั้งที่มีการนำไปใช้

สำหรับสถานะเริ่มต้นการออสซิลเลชัน (Start Up) จะได้  $|R_G| > R_L$  เมื่อ  $R_G$  มีค่าความต้านทานเป็นลบและสำหรับสถานะ Steady State จะได้  $R_G + R_L = 0$  และ  $X_G + X_L = 0$

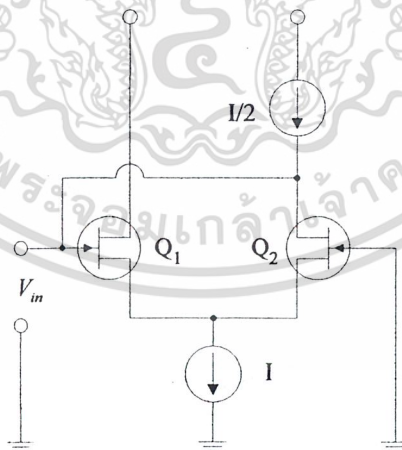
### วงจรรีโซแนนซ์แบบขนาน (Parallel Resonance)



รูปที่ 2.3 วงจรรีโซแนนซ์แบบขนาน

สำหรับสถานะเริ่มต้นการออสซิลเลชัน (Start Up) จะได้  $|G_G| > G_L$  เมื่อ  $G_G$  มีค่าความนำไฟฟ้าเป็นลบและสำหรับสถานะ steady state จะได้  $G_G + G_L = 0$  และ  $B_G + B_L = 0$

การออกแบบวงจรกำเนิดสัญญาณอาศัยหลักการของความต้านทานเชิงลบ (Negative Resistance) มาใช้อธิบายเพราะง่ายกว่า ตัวอย่างของวงจรที่จะขมมาอธิบายอาศัยการอธิบายในเชิงความต้านทานเชิงลบเช่นเดียวกัน โดยจากรูปที่ 2.4 แสดงวงจรกำเนิดสัญญาณ โดยหากต้องการหาเงื่อนไขที่แสดงการออสซิลเลชันสามารถคำนวณเริ่มต้นจาก



รูปที่ 2.4 วงจรกำเนิดสัญญาณที่ใช้วงจรขยายแบบคิฟเฟอร์เรเนียน

เริ่มต้นคำนวณหาค่าความต้านทานด้านอินพุต (Input Resistance)

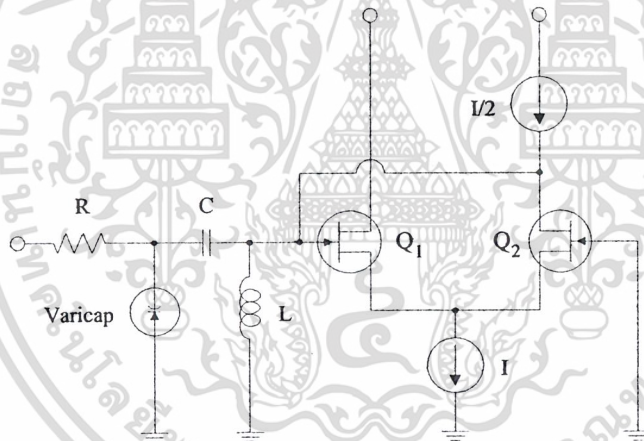
$$i = g_m \frac{V_i}{2} \quad (2.1)$$

เมื่อสมมติให้ความต้านทานอินพุตของเฟต (FET) และแหล่งจ่ายกระแสคงที่มีค่ามากๆ ดังนั้นแรงดันที่ตกคร่อมขาคัด (Gate) จะเป็น  $V_{gs} \approx \frac{-V_{in}}{2}$

$$\frac{V_{in}}{I_{in}} = \frac{-2}{g_m} \quad (2.2)$$

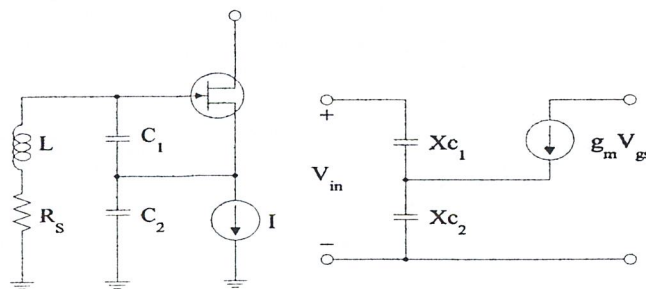
$$R_{in} = \frac{-2}{g_m} \quad (2.3)$$

ดังนั้นหากทำการใช้เรโซเนเตอร์ทางด้านอินพุตของออสซิลเลเตอร์ ( $V_{in}$ ) เพื่อเลือกความถี่และใช้วาริแคปแทนตัวเก็บประจุจะได้วงจรกำเนิดสัญญาณแบบปรับค่าความถี่ได้ตามแรงดันไฟฟ้า (VCO) ตามรูปที่ 2.5 โดยไอซีสำเร็จรูปที่อาศัยองค์ประกอบภายในเป็นออสซิลเลเตอร์ประเภทนี้ เช่น MC1648 ทำงานได้ดีที่ความถี่น้อยกว่า 500 เมกะเฮิรตซ์



รูปที่ 2.5 วงจรกำเนิดสัญญาณแบบปรับค่าความถี่ได้ตามแรงดันไฟฟ้า (VCO)

### วงจรเฟตออสซิลเลเตอร์ (FET Oscillator)



รูปที่ 2.6 วงจรเฟตออสซิลเลเตอร์

เอกสารนี้เป็นเอกสารที่สงวนไว้สำหรับการใช้งานเพื่อการศึกษาเท่านั้น ไม่อนุญาตให้นำไปใช้ประโยชน์ด้านการค้า ไม่ว่ากรณีใดๆ ทั้งสิ้น อีกทั้งห้ามมิให้ดัดแปลงเนื้อหา และต้องอ้างอิงถึงเจ้าของเอกสารทุกครั้งที่มีการนำไปใช้

$$V_{in} = i_m(X_{C_1} + X_{C_2}) + g_m V_{gs} X_{C_2} \quad (2.4)$$

$$V_{gs} = V_{X_{C_1}} = i_m X_{C_1} \quad (2.5)$$

$$V_{in} = i_m(X_{C_1} + X_{C_2}) + g_m i_m X_{C_1} X_{C_2} \quad (2.6)$$

$$\frac{V_{in}}{I_{in}} = X_{C_1} + X_{C_2} + g_m X_{C_1} X_{C_2} \quad (2.7)$$

$$Z_{in} = \frac{-g_m}{\omega^2 C_1 C_2} + \frac{1}{j\omega[C_1 C_2/(C_1 + C_2)]} \quad (2.8)$$

ซึ่งจะเห็นว่า ความต้านทานขาเข้าจะมีความต้านทานที่เป็นลบ

$$R_{in} = \frac{-g_m}{\omega^2 C_1 C_2} \quad (2.9)$$

ต่ออนุกรมอยู่กับ

$$C_{in} = \frac{C_1 C_2}{(C_1 + C_2)} \quad (2.10)$$

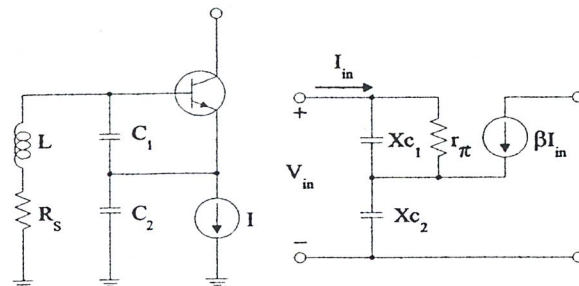
นำตัวเหนี่ยวนำ (L) มาต่อเข้ากับวงจรนี้โดย  $R_s$  คือความต้านทานแฝงที่อนุกรมอยู่กับตัวเหนี่ยวนำจะได้ว่าวงจรจะเริ่มทำงานได้โดยกำเนิดความถี่ที่

$$f_0 = \frac{1}{2\pi\sqrt{L\{C_1 C_2/(C_1 + C_2)\}}} \quad (2.11)$$

ผลรวมของ  $C_1$  และ  $C_2$  ในแบบอนุกรมจะมีค่ามากที่สุดเมื่อ  $C_1 = C_2 = C_m$  ดังนั้น

$$\sqrt{\frac{R_s}{g_m}} < \frac{1}{\omega C_m} \quad (2.12)$$

### วงจรไบโพลาร์ทรานซิสเตอร์ออสซิลเลเตอร์ (Bipolar Oscillator)



รูปที่ 2.7 วงจรกำเนิดสัญญาณ โดยใช้ทรานซิสเตอร์ชนิดไบโพลาร์

เอกสารนี้เป็นเอกสารที่สงวนไว้สำหรับการใช้งานเพื่อการศึกษาเท่านั้น ไม่อนุญาตให้นำไปใช้ประโยชน์ด้านการค้า ไม่ว่าจะกรณีใดๆ ทั้งสิ้น อีกทั้งห้ามมิให้ดัดแปลงเนื้อหา และต้องอ้างอิงถึงเจ้าของเอกสารทุกครั้งที่มีการนำไปใช้

หาค่าความต้านทานที่อินพุต

$$V_{in} = i_{in}X_{C_1} + i_{in}X_{C_2} - i_bX_{C_1} + i_bX_{C_2} \quad (2.13)$$

$$0 = -i_{in}X_{C_1} + i_bX_{C_1} + i_bX_{\pi} \quad (2.14)$$

$$i_b = i_{in} \left( \frac{X_{C_1}}{X_{C_1} + r_{\pi}} \right) \quad (2.15)$$

$$V_{in} = i_{in}X_{C_1} + i_{in}X_{C_2} + BX_{C_2} \frac{i_{in}X_{C_1}}{(X_{C_1} + r_{\pi})} - \frac{i_{in}X_{C_1}X_{C_1}}{(X_{C_1} + r_{\pi})} \quad (2.16)$$

$$\frac{V_{in}}{i_{in}} = X_{C_1} + X_{C_2} + \frac{BX_{C_2}X_{C_1}}{(X_{C_1} + r_{\pi})} - \frac{X_{C_1}X_{C_1}}{(X_{C_1} + r_{\pi})} \quad (2.17)$$

$$Z_{in} = \frac{(X_{C_1} + X_{C_2})(X_{C_1} + r_{\pi}) + BX_{C_1}X_{C_2} - X_{C_1}X_{C_1}}{(X_{C_1} + r_{\pi})} \quad (2.18)$$

$$Z_{in} = \frac{X_{C_1}X_{C_1} + X_{C_2}X_{C_1} + X_{C_1}r_{\pi} + X_{C_2}r_{\pi} + BX_{C_1}X_{C_2} - X_{C_1}X_{C_1}}{(X_{C_1} + r_{\pi})} \quad (2.19)$$

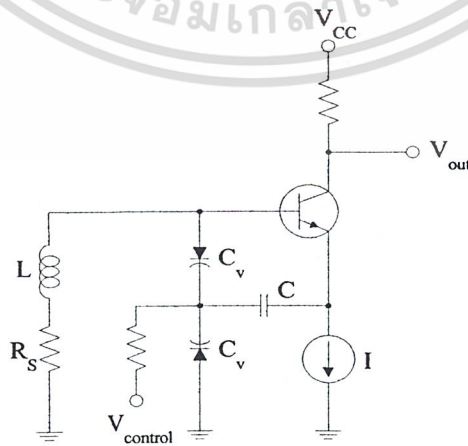
$$Z_{in} = \frac{(1+B)X_{C_1}X_{C_2} + r_{\pi}(X_{C_1} + X_{C_2})}{X_{C_1} + r_{\pi}} \quad (2.20)$$

ถ้า  $X_{C_1} \ll r_{\pi}$

$$Z_{in} \cong \frac{(1+B)}{r_{\pi}} X_{C_1}X_{C_2} + (X_{C_1} + X_{C_2}); g_m = B/r_{\pi} \quad (2.21)$$

$$\cong \frac{-g_m}{\omega^2 C_1 C_2} + \frac{1}{j\omega [C_1 C_2 / (C_1 + C_2)]} \quad (2.22)$$

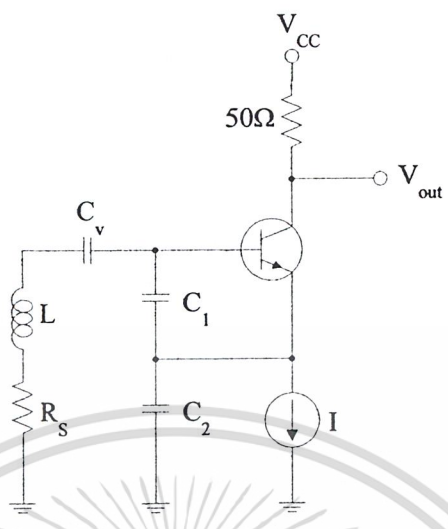
ดังนั้นหากต้องการวงจรที่ปรับแต่งความถี่ได้ตามแรงดันไฟฟ้า ก็สามารถทำได้โดยใช้วารีแคปคูแทน  $C_1$  และ  $C_2$  ดังนั้นจะได้วงจรกำเนิดสัญญาณแบบปรับค่าความถี่ได้ตามแรงดันไฟฟ้า ตามรูปที่ 2.8



รูปที่ 2.8 วงจรกำเนิดสัญญาณแบบปรับค่าความถี่ได้ตามแรงดันไฟฟ้าที่ใช้ทรานซิสเตอร์ชนิดไบโพลาร์

เอกสารนี้เป็นเอกสารที่สงวนไว้สำหรับการใช้งานเพื่อการศึกษาเท่านั้น ไม่อนุญาตให้นำไปใช้ประโยชน์ด้านการค้า ไม่ว่าจะกรณีใดๆ ทั้งสิ้น อีกทั้งห้ามมิให้ดัดแปลงเนื้อหา และต้องอ้างอิงถึงเจ้าของเอกสารทุกครั้งที่มีการนำไปใช้

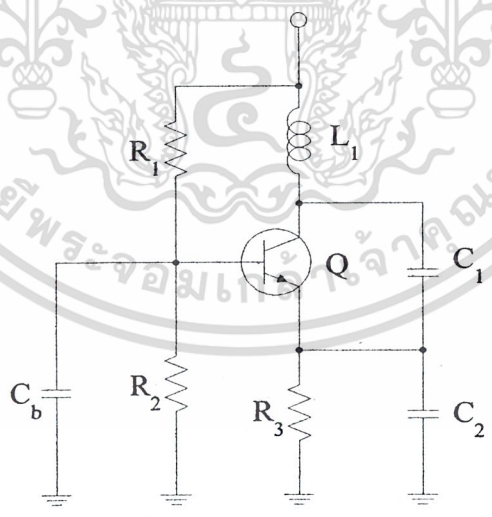
วงจรกำเนิดสัญญาณแบบแคลพฟ์-กอร์เรียท (Clapp-Gouriet Oscillator)



รูปที่ 2.9 วงจรกำเนิดสัญญาณแบบแคลพฟ์-กอร์เรียท

วงจรจะมีลักษณะเหมือนวงจรกำเนิดสัญญาณที่ใช้ทรานซิสเตอร์ในหัวข้อที่แล้วเพียงแต่เติม  $C_v$  เข้าไปเพื่อให้สามารถปรับแต่งความถี่ได้โดยค่า  $C_v$  จะต้องมีค่าน้อยกว่า  $C_1$  และ  $C_2$

วงจรกำเนิดสัญญาณแบบโคลพิตต์ส (Colpitts Oscillator)



รูปที่ 2.10 วงจรกำเนิดสัญญาณแบบโคลพิตต์ส

อาศัยการอธิบายเช่นเดียวกัน จะได้

$$f_0 = \frac{1}{2\pi\sqrt{L\{C_1C_2/(C_1+C_2)\}}} \tag{2.23}$$

เอกสารนี้เป็นเอกสารที่สงวนไว้สำหรับการใช้งานเพื่อการศึกษาเท่านั้น ไม่อนุญาตให้นำไปใช้ประโยชน์ด้านการค้า ไม่ว่าจะกรณีใดๆ ทั้งสิ้น อีกทั้งห้ามมิให้ตัดแปลงเนื้อหา และต้องอ้างอิงถึงเจ้าของเอกสารทุกครั้งที่มีการนำไปใช้

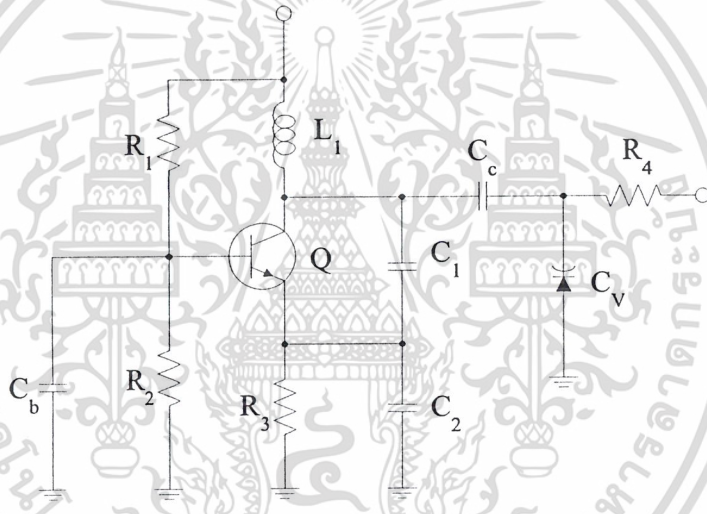
เมื่อ  $R_3$  มากกว่า  $X_{C_2}$  มากๆและ

$$R_{in} = \frac{-g_m}{\omega^2 C_1 C_2} \quad (2.24)$$

เมื่อ  $g_m = \frac{I_C}{V_T}; V_T \approx 25mV$  (ที่  $25^\circ C$ ) (2.25)

ดังนั้น  $Z_{in} = \frac{-g_m}{\omega^2 C_1 C_2} + \frac{1}{j\omega[C_1 C_2 / (C_1 + C_2)]}$  (2.26)

หากต้องการวงจรกำเนิดสัญญาณแบบปรับค่าความถี่ได้ตามแรงดันควบคุม สามารถใช้วารีแคปในการทำงานโดยวงจรจะอยู่ในรูปแบบของวงจรในรูปที่ 2.11 ทำหน้าที่บล็อกไฟตรง ดังนั้นจึงต้องมีค่ามากกว่าที่ความถี่สูงๆอาจมากกว่า  $0.1\mu F$



รูปที่ 2.11 วงจรกำเนิดสัญญาณแบบโคลพิตต์ส ที่ปรับความถี่ได้ตามแรงดันควบคุม

ดังนั้นความถี่ที่กำเนิดได้ คือ

$$f_0 = \frac{1}{2\pi \sqrt{L \left[ \left( \frac{C_1 C_2}{C_1 + C_2} \right) \parallel C_v \right]}} \quad (2.27)$$

เอาต์พุตสามารถเหนี่ยวนำกระแสที่ขดลวดเหนี่ยวนำไปใช้งานได้หรืออาจดึงจากขาคอลเล็กเตอร์ได้แต่ต้องระวังค่าตัวต้านทานด้วย มิฉะนั้นวงจรอาจไม่เกิดการออสซิลเลตได้เนื่องจากค่าความต้านทานที่เป็นลบน้อยกว่าความต้านทานของโหลดและที่สำคัญ  $Q$  ของตัวเหนี่ยวนำควรมีค่ามากๆเพื่อไม่ให้เกิดการสูญเสียในวงจรมากอาจเป็นสาเหตุให้ไม่เกิดการออสซิลเลตได้เช่นเดียวกัน

เอกสารนี้เป็นเอกสารที่สงวนไว้สำหรับการใช้งานเพื่อการศึกษาเท่านั้น ไม่อนุญาตให้นำไปใช้ประโยชน์ด้านการค้าไม่ว่ากรณีใดๆ ทั้งสิ้น อีกทั้งห้ามมิให้ดัดแปลงเนื้อหา และต้องอ้างอิงถึงเจ้าของเอกสารทุกครั้งที่มีการนำไปใช้

### 2.1.2 การออกแบบวงจรสังเคราะห์ความถี่

วงจรสังเคราะห์ความถี่มีมากมายให้เลือกใช้งาน ในที่นี้จะยกมาเพียง 1 เบอร์เท่านั้น เบอร์ที่ใช้ในการออกแบบวงจรคือ MC145152 ผลิตโดยบริษัทโมโตโรล่าภายในวงจรเป็นอุปกรณ์ที่ทำขึ้นจากเฟตเนื่องจากกินกำลังงานน้อย, ทำงานที่ความถี่สูงได้ดีกว่าและออกแบบง่าย การใช้งานนั้นเริ่มต้นจากเลือกสัญญาณอ้างอิงที่จะใช้ในการเปรียบเทียบเฟสโดยใช้คริสตอลเป็นตัวกำเนิดเนื่องจากคริสตอลมีค่า  $Q$  สูง หลังจากนั้นเลือกค่าของซาแนลสเปซซิ่ง คือ ความถี่ที่ถูกหารแล้วจากคริสตอลออสซิลเลเตอร์ ความถี่จากคริสตอลออสซิลเลเตอร์จะถูกหารลงมาโดยการตั้งหารที่ขา RA2 , RA1 และ RA0 ตามตารางที่ 2.1

| Reference Address Code |     |     | Total Divide |
|------------------------|-----|-----|--------------|
| RA2                    | RA1 | RA0 | Value        |
| 0                      | 0   | 0   | 8            |
| 0                      | 0   | 1   | 64           |
| 0                      | 1   | 0   | 128          |
| 0                      | 1   | 1   | 256          |
| 1                      | 0   | 0   | 512          |
| 1                      | 0   | 1   | 1024         |
| 1                      | 1   | 0   | 1160         |
| 1                      | 1   | 1   | 2048         |

ตารางที่ 2.1 ตารางแสดงการตั้งหารความถี่คริสตอลด้วย RA2 , RA1 และ RA0 เพื่อลงมาเป็นความถี่ของการเปรียบเทียบเฟสและใช้เป็นซาแนลสเปซซิ่ง

ความถี่ของคริสตอลที่ใช้ต้องสามารถหารด้วยเลขฐานสองได้ลงตัวเช่น 10.24 เมกะเฮิรตซ์, 6.4 เมกะเฮิรตซ์ เป็นต้น ยกตัวอย่างเช่นถ้าหากเลือกคริสตอลความถี่ 10.24 เมกะเฮิรตซ์ และเลือกซาแนลสเปซซิ่ง = 10 กิโลเฮิรตซ์ ดังนั้นจะต้องหารความถี่คริสตอลด้วย 1024 ดังนั้นต้องตั้ง RA2 = 1, RA1 = 0 และ RA0 = 1 (ตามตารางที่ 2.1) เมื่อนั้นคริสตอล 10.24 เมกะเฮิรตซ์ จะถูกหารด้วย 1024 ลงมาเหลือความถี่เพียง 10 กิโลเฮิรตซ์ เพื่อจะใช้ในการล็อกความถี่และเฟสของสัญญาณอินพุต ( $f_m$ )

ต่อไปจะเป็นการคำนวณหาค่าการหารโดยการตั้งค่าหารที่บิต N0 - N9 และ A0 - A5 โดย MC145152 สามารถรับสัญญาณอินพุตได้สูงสุด 26 เมกะเฮิรตซ์ ดังนั้นหากต้องการล็อกความถี่ของสัญญาณที่ความถี่สูงกว่า 26 เมกะเฮิรตซ์ ต้องใช้พรีสเกลเลอร์ช่วยในการทำงาน การคำนวณจะยกตัวอย่างให้เห็นเช่น

### ตัวอย่างที่ 1

หากต้องการล็อกความถี่และเฟสของสัญญาณจากวงจรกำเนิดสัญญาณที่ปรับค่าความถี่ได้ตามแรงดันไฟฟ้าควบคุมที่ความถี่ 10 เมกะเฮิร์ตซ์โดยใช้คริสตอลความถี่ 10.24 เมกะเฮิร์ตซ์และเลือกชานเนลสเปซซึ่ง เท่ากับ 10 กิโลเฮิร์ตซ์ ดังนี้

|                 |   |            |                             |   |
|-----------------|---|------------|-----------------------------|---|
| RA2 RA1 RA0     | = | 1          | 0                           | 1 |
| Channel Spacing | = | 10         | kHz                         |   |
| N9 – N0         | = | 10         | เมกะเฮิร์ตซ์                |   |
|                 | = | 1000       |                             |   |
|                 | = | 1111101000 |                             |   |
| A5 – A0         | = | 0          | (เนื่องจากหารลงตัวไม่มีเศษ) |   |
|                 | = | 000000     |                             |   |

จึงสรุปได้ว่าบิต N9 – N0 เป็นการตั้งค่าการหารตามจำนวนเต็มส่วนบิต A5 – A0 เป็นการตั้งค่าการหารตามเศษที่เหลือ ในกรณีที่สัญญาณอินพุตมีค่าน้อยกว่า 26 เมกะเฮิร์ตซ์ ค่า A5 – A0 จะเป็น 0 เสมอ ดังนั้นสัญญาณที่ขา MC (Modulus Control) ของ MC145152 จะเป็นลอจิก 1 เสมอและการหารจะหารได้สูงสุดเท่ากับ  $2^{10} = 2048$  เท่านั้น หากสัญญาณที่ต้องการล็อกความถี่มากกว่าความถี่ที่ MC145152 จะรับได้ต้องใช้พริสเกลเลอร์ในการทำงาน

### ตัวอย่างที่ 2

หากต้องการล็อกความถี่และเฟสของสัญญาณที่ความถี่ 100 เมกะเฮิร์ตซ์โดยใช้คริสตอลความถี่ 10.24 เมกะเฮิร์ตซ์ซึ่งเลือกชานเนลสเปซซึ่งที่ 10 กิโลเฮิร์ตซ์และเลือกพริสเกลเลอร์หาร 64/65

|                 |   |            |     |   |
|-----------------|---|------------|-----|---|
| RA2 RA1 RA0     | = | 1          | 0   | 1 |
| Channel Spacing | = | 10         | kHz |   |
| N9 – N0         | = | 156        |     |   |
|                 | = | 0010011100 |     |   |
| A5 – A0         | = | 16         |     |   |
|                 | = | 10000      |     |   |

การคำนวณหาค่าดิวตี้ไซเคิลบวก (Positive Duty Cycles) ของสัญญาณ MC สามารถคำนวณหาได้ตามสูตร Positive Duty Cycles of MC = (N-A) / N จากตัวอย่างที่แล้ว MC จะมีค่าดิวตี้ไซเคิลเท่ากับ  $(156-16) / 156 = 89.7\%$

เอกสารนี้เป็นเอกสารที่สงวนไว้สำหรับการใช้งานเพื่อการศึกษาเท่านั้น ไม่อนุญาตให้นำไปใช้ประโยชน์ด้านการค้าไม่ว่ากรณีใดๆ ทั้งสิ้น อีกทั้งห้ามมิให้ดัดแปลงเนื้อหา และต้องอ้างอิงถึงเจ้าของเอกสารทุกครั้งที่มีการนำไปใช้

ข้อจำกัดของการใช้พรีสเกลเลอร์นั้นคือ ค่า N ที่ได้จะต้องมากกว่า A เสมอ หากค่าที่ได้นั้นมีค่า N น้อยกว่า A แล้ว ต้องลดค่าการหารด้วยพรีสเกลเลอร์ลงมาเช่น จากตัวอย่างที่แล้วหากต้องการลือกความถี่ จากวงจรกำเนิดสัญญาณแบบปรับค่าความถี่ได้ตามแรงดันควบคุมที่ 30 เมกะเฮิร์ตซ์ โดยใช้ พรีสเกลที่มีการหาร 64/65 พบว่า

$$\begin{aligned} (N9 - N0) &= 46 \\ (A5 - A0) &= 56 \end{aligned}$$

ซึ่ง  $A > N$  ดังนั้นใช้งานไม่ได้จำเป็นต้องลดการหารของพรีสเกลเลอร์ลงมาเช่น ลงมาเหลือหาร 32/33 พรีสเกลเลอร์จะได้

$$\begin{aligned} (N9 - N0) &= 93 \\ (A5 - A0) &= 24 \end{aligned}$$

จะได้ค่า  $MC \text{ Duty Cycle} = \frac{(93-24)}{93} = 74.1\%$

ส่วนสัญญาณ  $\phi_R$  และ  $\phi_I$  จะถูกส่งต่อให้รูปฟิลเตอร์, LD เป็นสัญญาณที่แสดงสถานะการลือก ความถี่ หากความถี่ลือกแล้ว  $\phi_R, \phi_I$  และ LD จะมีลักษณะเป็นอิมพัลส์ด้านลบและส่วนใหญ่สัญญาณไม่ ลือกจะเกิดจากปัญหาเรื่องขนาดสัญญาณที่เข้าตัวหาร ดังนั้นจากวงจรกำเนิดสัญญาณควรมีวงจรมีวงจรมีฟ เฟอร์เพื่อกันการไหลลที่่จะเกิดขึ้นเมื่อไหลลมีการเปลี่ยนแปลงมากๆ

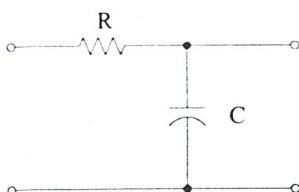
### 2.1.3 การเลือกใช้งานพรีสเกลเลอร์

จากหัวข้อที่ผ่านมาแล้วเราได้ทำการเลือกค่าของพรีสเกลเลอร์ที่ต้องการหารแล้วเช่น หาร 64/65 หาร 32/33 เป็นต้น นอกจากนั้นการเลือกใช้งานพรีสเกลเลอร์ยังต้องคำนึงถึงปัจจัยต่างๆดังต่อไปนี้

1. ค่าการหารของพรีสเกลเลอร์
2. ช่วงความถี่ที่ใช้งานโดยพรีสเกลเลอร์ซึ่งแต่ละตัวจะสามารถรองรับช่วงความถี่ได้ไม่เท่ากัน
3. ขนาดของสัญญาณอินพุต โดยพรีสเกลเลอร์จะสามารถหารความถี่ได้ถูกต้องเมื่อขนาดของ อินพุตอยู่ในช่วงใช้งาน ถ้าน้อยเกินไปจะหารผิดหรือไม่หารเลย ในทางตรงข้ามหากสูงเกินไป อาจพังเสียหายได้

### 2.1.4 การออกแบบวงจรรูปฟิลเตอร์

#### วงจรรูปฟิลเตอร์อันดับที่ 1



รูปที่ 2.12 วงจรรูปฟิลเตอร์อันดับที่ 1

$$F(S) = \frac{1}{ST + 1} \quad (2.28)$$

จะได้ทรานส์เฟอร์ฟังก์ชันแบบลูปปิด (Closed Loop Transfer Function) คือ

$$\begin{aligned} T(S) &= \frac{K_V (1/S\tau + 1)}{S + K_V (1/S\tau + 1)} \\ &= \left( \frac{K_V}{S(S\tau + 1) + K_V} \right) \\ &= \frac{K_V / \tau}{S^2 + S/\tau + K_V / \tau} \end{aligned} \quad (2.29)$$

เทียบกับทรานส์เฟอร์ฟังก์ชันมาตรฐานของวงจรรองความถี่ต่ำผ่าน

$$T(S) = \frac{\omega_n^2}{S^2 + 2\xi\omega_n S + \omega_n^2} \quad (2.30)$$

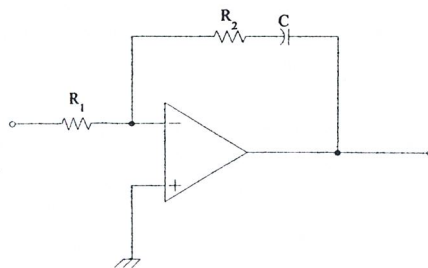
จะได้ว่า

$$\begin{aligned} \omega_n^2 &= \frac{K_V}{\tau} \\ 2\xi\omega_n &= \frac{1}{\tau} \\ \xi &= \frac{1}{2\sqrt{\tau K_V}} \end{aligned} \quad (2.31)$$

เมื่อ  $\omega_n$  = Natural Angular Frequency

$\xi$  = Damping Factor

วงจรรูปฟิลเตอร์อันดับที่ 2



รูปที่ 2.13 วงจรรูปฟิลเตอร์อันดับที่ 2

เอกสารนี้เป็นเอกสารที่สงวนไว้สำหรับการใช้งานเพื่อการศึกษาเท่านั้น ไม่อนุญาตให้นำไปใช้ประโยชน์ด้านการค้า  
ไม่ว่ากรณีใดๆ ทั้งสิ้น อีกทั้งห้ามมิให้ดัดแปลงเนื้อหา และต้องอ้างอิงถึงเจ้าของเอกสารทุกครั้งที่มีการนำไปใช้

แทน  $S = j\omega$  จะได้ว่า

$$T'(S) = \frac{K_1 F(S)}{S} = \frac{K_1 (S\tau_2 + 1)}{S^2 \tau_1} \quad (2.36)$$

Bode Plot จากฟังก์ชันการถ่ายโอนแบบเปิด (Open-loop Transfer Function)

จะเห็นว่าสามารถปรับค่า  $\omega_n$  และ  $\zeta$  เป็นอิสระจากกันได้ โดยการตรวจสมการโดยใส่

$$\zeta = \frac{2}{\tau_1} \sqrt{\frac{2}{\tau_2}} \quad \omega_n = \frac{2}{\tau_2} \quad (2.35)$$

$$2\zeta\omega_n = K_1 \frac{\omega_n^2}{\tau_1} = \frac{2}{\tau_1} \sqrt{\frac{2}{\tau_2}}$$

จะได้ว่า

$$T(S) = \frac{2\zeta\omega_n S + \omega_n^2}{S^2 + 2\zeta\omega_n S + \omega_n^2} \quad (2.34)$$

เทียบกับกรณีที่มีพหุนามตัวหาร

$$T(S) = \frac{K_1 F(S)}{S + K_1 F(S)} = \frac{K_1 (S\tau_2 + 1) / S\tau_1}{S + K_1 (S\tau_2 + 1) / S\tau_1} = \frac{S^2 + K_1 \frac{\tau_2}{\tau_1} S + \frac{K_1}{\tau_1}}{S^2 + K_1 \frac{\tau_2}{\tau_1} S + \frac{K_1}{\tau_1}} \quad (2.33)$$

จาก

$$F(S) = \frac{R_1}{SC} = \frac{SR_1 C}{SR_1 C + 1} = \frac{S\tau_1}{S\tau_2 + 1} \quad (2.32)$$

$$T'(S) = \frac{2\xi \frac{S}{\omega_n} + 1}{\left(\frac{S}{\omega_n}\right)^2} \quad (2.37)$$

เมื่อ  $\tau_1 = \frac{K_V}{\omega_n^2}$  และ  $\tau_2 = \frac{2\xi}{\omega_n}$

$$|\tau'(j\omega)| = \frac{K_V}{\tau_1 \omega^2} \sqrt{1 + \omega^2 \tau_2^2}$$

$$\left| \tau' \frac{(j\omega)}{\omega_n} \right| = \left( \frac{\omega_n}{\omega} \right)^2 \sqrt{1 + 4\xi^2 \left( \frac{\omega}{\omega_n} \right)^2} \quad (2.38)$$

พิจารณาเฟสจะได้ว่า

$$\phi \left( \frac{j\omega}{\omega_n} \right) = \tan^{-1} \left( 2\xi \frac{\omega}{\omega_n} \right) - 180^\circ \quad (2.39)$$

กำหนดให้  $X = \left( \frac{\omega}{\omega_n} \right)$

$$|T'(jX)| = \frac{1}{X^2} \sqrt{1 + 4\xi^2 X^2} \quad (2.40)$$

$$\phi(jX) = \tan^{-1}(2\xi X) - 180^\circ \quad (2.41)$$

คำนวณค่า  $X$  ในขณะที่

$$\left| T' \left( \frac{j\omega_1}{\omega_n} \right) \right| = 1$$

$$1 = \frac{1}{X^2} \sqrt{1 + 4\xi^2 X^2} \quad (2.42)$$

ยกกำลังสองแล้วจัดรูปใหม่

$$X^4 - 4\xi^2 X^2 - 1 = 0 \quad (2.43)$$

หารากคำตอบที่เป็นบวก

$$X = \frac{\omega_1}{\omega_n} = \sqrt{2\xi^2 + \sqrt{(4\xi^4 + 1)}} \quad (2.44)$$

แทน  $X$  ลงในสมการ

$$\theta(jX) = \tan^{-1} \left( 2\xi \sqrt{2\xi^2 + \sqrt{4\xi^4 + 1}} \right) \quad (2.45)$$

$$\begin{aligned}\theta_M(jX) &= \theta(jX) + 180^\circ \\ &= \tan^{-1}\left(2\xi\sqrt{2\xi^2 + \sqrt{(4\xi^4 + 1)}}\right)\end{aligned}\quad (2.46)$$

แบนด์วิดท์ -3 dB

$$|T(j\omega)| = \frac{2\xi\omega_n S + \omega_n^2}{S^2 + 2\xi\omega_n S + \omega_n^2}\quad (2.47)$$

$$|T(j\omega)| = \frac{\sqrt{(2\xi\omega_n)^2 \omega^2 + \omega_n^4}}{\sqrt{(\omega_n^2 - \omega^2)^2 + (2\xi\omega_n)^2 \omega^2}}$$

$$|T_B(j\omega)| = \frac{1}{\sqrt{2}}$$

$$= \frac{\sqrt{(2\xi\omega_n)^2 \omega_B^2 + \omega_n^4}}{\sqrt{(\omega_n^2 - \omega_B^2)^2 + (2\xi\omega_n)^2 \omega_B^2}}$$

$$(\omega_n^2 - \omega_B^2)^2 + (2\xi\omega_n)^2 \omega_B^2 = 2(2\xi\omega_n)^2 \omega_B^2 + 2\omega_n^4$$

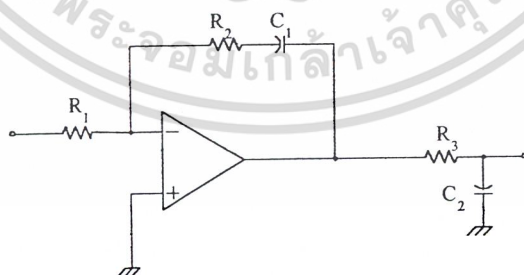
$$\omega_B^4 - (2\omega_n^2)\omega_B^2 + \omega_n^4 + (4\xi^2\omega_n^2)\omega_B^2 = 2(4\xi^2\omega_n^2)\omega_B^2 + 2\omega_n^4$$

$$\omega_B^4 - (\omega_n^2)(2 + 4\xi^2)\omega_B^2 - \omega_n^4 = 0$$

$$\omega_B^2 = \frac{(2 + 4\xi^2)(\omega_n^2) \pm \sqrt{\omega_n^2(2 + 4\xi^2)^2 + 4\omega_n^4}}{2}$$

$$\omega_{\text{bandwidth}} = \omega_n \sqrt{(1 + 2\xi^2) \pm \sqrt{2 + 4\xi^2 + 4\xi^4}}\quad (2.48)$$

วงจรรูปฟิลเตอร์อันดับ 3



รูปที่ 2.14 วงจรรูปฟิลเตอร์อันดับที่ 3

$$F(S) = \frac{S\tau_2 + 1}{S\tau_1} \frac{1}{S\tau_3 + 1}\quad (2.49)$$

เมื่อ  $\tau_1 = R_1 C_1$

เอกสารนี้เป็นเอกสารที่สงวนไว้สำหรับ  $\tau_2 = R_2 C_2$  งานเพื่อการศึกษาเท่านั้น ไม่อนุญาตให้นำไปใช้ประโยชน์ด้านการค้า  
ไม่ว่ากรณีใดๆ ทั้งสิ้น อีกทั้งห้ามมิให้ดัดแปลงเนื้อหา และต้องอ้างอิงถึงเจ้าของเอกสารทุกครั้งที่มีการนำไปใช้

$$\tau_3 = R_3 C_3$$

จะได้ทรานส์เฟอร์ฟังก์ชันแบบลูปปิด (Closed-Loop Transfer Function)

$$\begin{aligned}
 T(S) &= \frac{K_V F(S)}{S + K_V F(S)} \\
 &= \frac{K_V (S\tau_2 + 1)}{S\tau_1 (S\tau_3 + 1)} \\
 &= \frac{K_V (S\tau_2 + 1)}{S + \frac{K_V (S\tau_2 + 1)}{S\tau_1 (S\tau_3 + 1)}} \\
 &= \frac{K_V (S\tau_2 + 1)}{S(S\tau_1 (S\tau_3 + 1)) + K_V (S\tau_2 + 1)} \\
 &= \frac{K_V (S\tau_2 + 1)}{S^3 \tau_1 \tau_3 + S^2 \tau_1 + SK_V \tau_2 + K_V} \\
 &= K_V \left( \frac{\tau_2}{\tau_2 \tau_3} \right) \left( \frac{S + \frac{1}{\tau_2}}{S^3 + \frac{1}{\tau_3} S^2 + \frac{K_V \tau_2}{\tau_1 \tau_3} S + \frac{K_V}{\tau_1 \tau_3}} \right) \quad (2.50)
 \end{aligned}$$

ทรานส์เฟอร์ฟังก์ชันแบบลูปเปิดคือ

$$\begin{aligned}
 T'(S) &= \frac{K_V F(S)}{S} \\
 &= \frac{K_V F(S\tau_2 + 1)}{S \cdot S\tau_1 (S\tau_3 + 1)} \quad (2.51)
 \end{aligned}$$

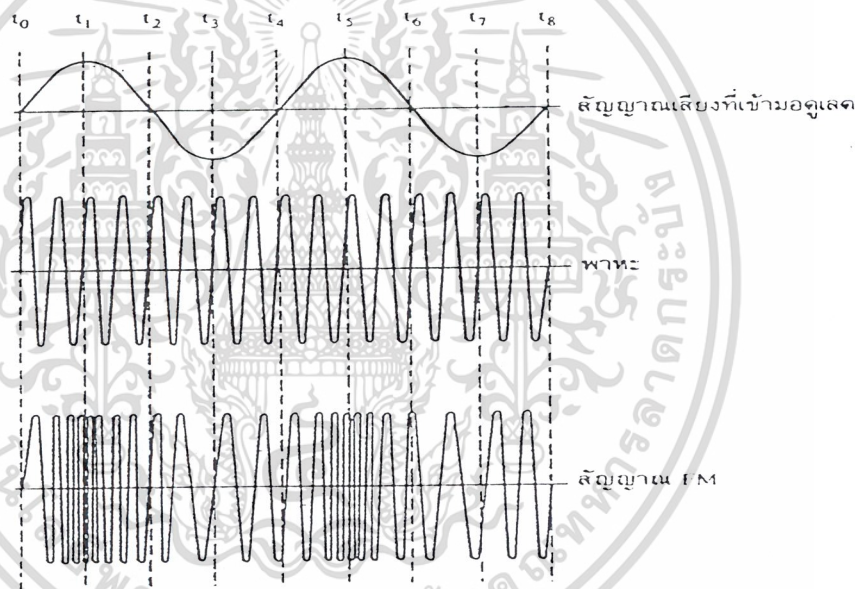
$$\phi(j\omega) = \tan^{-1}(\tau_2 \omega) - \tan^{-1}(\tau_3 \omega) - 180^\circ \quad (2.52)$$

การหาเสถียรภาพโดยวิธี bode จะได้ส่วนเฟส (Phase Margin)

$$\begin{aligned}
 \phi_M(j\omega) &= \phi(j\omega) + 180^\circ \\
 &= \tan^{-1}(\tau_2 \omega) - \tan^{-1}(\tau_3 \omega) \quad (2.53)
 \end{aligned}$$

## 2.2 การมอดูเลตทางความถี่ (Frequency Modulation: FM)

ในการมอดูเลตทางความถี่แอมพลิจูดของคลื่นพาหะจะไม่มีผลหรือไม่มีการเปลี่ยนแปลง แต่ความถี่ของคลื่นพาหะจะเกิดการเปลี่ยนแปลง โดยความถี่จะเกิดการเพิ่มขึ้นหรือลดลงตามแอมพลิจูดของสัญญาณความถี่ที่นำมาผสม (Modulating Signal) ความถี่ของคลื่นพาหะขณะที่ยังไม่มีการผสมเรียกว่า “ความถี่กึ่งกลาง (Center Frequency)” เมื่อแอมพลิจูดของสัญญาณมอดูเลตมีขนาดเพิ่มขึ้นทางบวก จะทำให้ความถี่ของคลื่นพาหะเพิ่มขึ้นและถ้าขนาดของสัญญาณมอดูเลตลดลง ความถี่ของคลื่นพาหะก็จะลดลงจนกระทั่งสัญญาณมอดูเลตลดลงเป็นศูนย์ ความถี่ของคลื่นพาหะก็จะจะเป็นความถี่กึ่งกลาง ในทำนองเดียวกันเมื่อสัญญาณที่ต้องการผสมเป็นลบ ความถี่ของสัญญาณคลื่นพาหะก็จะลดลงและความถี่ของคลื่นพาหะจะมีค่าต่ำสุดเมื่อสัญญาณมอดูเลตมีค่าขนาดลดลงถึงจุดต่ำสุด ความถี่คลื่นพาหะจะเป็นความถี่กึ่งกลางอีกครั้งก็ต่อเมื่อสัญญาณมอดูเลตผ่านครึ่งไซเคิลกลับไปถึงศูนย์



รูปที่ 2.15 สัญญาณเอฟเอ็ม

จะเห็นได้ว่าขนาดของคลื่นพาหะจะคงที่เสมอไม่ว่าสัญญาณเสียงจะเปลี่ยนแปลงอย่างไร ส่วนที่เปลี่ยนแปลงคือความถี่ของคลื่นพาหะเท่านั้น การเปลี่ยนแปลงของความถี่ตามความแรงของสัญญาณมอดูเลตนั้นเรียกว่า “การเบี่ยงเบนความถี่ (Frequency Deviation)” ถ้ามีการเปลี่ยนแปลงของความถี่พาหะมาก ค่าการเปลี่ยนแปลงความถี่จะมีค่าสูงเป็นอัตราส่วนโดยตรงต่อกัน นอกจากนี้สิ่งที่ควรจะทำ ความเข้าใจคือ การเปลี่ยนแปลงของแอมพลิจูดไปครบ 1 รอบ สัญญาณเอฟเอ็มก็จะเปลี่ยนตามไปครบ 1 รอบด้วย ถ้าค่าอัตราการเบี่ยงเบนสูงก็แสดงว่าความถี่ของสัญญาณมอดูเลตสูง ดังนั้นค่าอัตราการเบี่ยงเบนจึงขึ้นอยู่กับค่าความถี่ของสัญญาณมอดูเลต สัญญาณมอดูเลต  $e_m$  จะไปเปลี่ยนแปลงความถี่ของคลื่นพาหะ

สมมติให้ความถี่พาหะเปลี่ยนไป  $ke_m$  กำหนดให้  $k$  คือค่าคงที่ เรียกว่า “การเบี่ยงเบนความถี่คงที่ (Frequency Deviation Constant)” ดังนั้นความถี่พาหะชั่วครว (Instantaneous Deviation Constant) ที่เปลี่ยนไปคือ

$$f_i = f_c + ke_m \quad (2.54)$$

$f_c$  คือ ความถี่ของคลื่นพาหะที่ยังไม่มีการมอดูเลต ถ้า  $e_m$  เป็นคลื่นรูปไซน์ จะได้

$$e_m = E_m \sin \omega_m t \quad (2.55)$$

แทนค่าสมการ 2.54 ในสมการ 2.55 จะได้

$$f_i = f_c + kE_m \sin \omega_m t \quad (2.56)$$

ความถี่สูงสุดที่เปลี่ยนไปตามสัญญาณเสียงคือ

$$\Delta f = kE_m \quad (2.57)$$

ดังนั้นสมการ 2.56 จะกลายเป็น

$$f_i = f_c + \Delta f \sin \omega_m t \quad (2.58)$$

ให้คลื่นพาหะที่ยังไม่ได้มอดูเลต คือ คลื่นรูปไซน์

$$e_c = \sin(\omega_c t + \phi) \quad (2.59)$$

ความถี่เชิงมุมคงที่ (Constant Angular Velocity)  $= \omega = 2\pi f_c$  มีหน่วยเป็นเรเดียน/วินาที และ  $\phi$  คือ มุมเฟสคงที่ (Constant Phase Angle) มีหน่วยเป็นเรเดียน สมการทั่วไปของ 2.59 คือ

$$e_c = \sin \theta(t) \quad (2.60)$$

เมื่อความถี่เปลี่ยนไป เช่น ในกรณีของการมอดูเลตทางความถี่ ความถี่เชิงมุมชั่วขณะ (Instantaneous Angular Frequency)

$$\omega_i = 2\pi f_i = d\theta(t)/dt \quad (2.61)$$

อินทิเกรตสมการ 2.61 ตามเวลาจะได้

$$\theta(t) = \int \omega_i dt \quad (2.62)$$

ค่าของ  $f_i$  ช่วงนี้จะมีความสัมพันธ์กับการมอดูเลตตามสมการ 2.58 ความถี่เชิงมุมคงที่ (ในกรณีที่ยังไม่มีการมอดูเลต)

$$\begin{aligned} \theta(t) &= \int \omega_c dt \\ &= \omega_c t + \phi \end{aligned} \quad (2.63)$$

$\phi$  คือ ค่าคงที่ของการอินทิเกรต จะเห็นได้ว่าสมการที่ 2.60 ได้มาจากการแทนค่าของสมการ 2.63 ในสมการ 2.58 สำหรับการมอดูเลตคลื่นไซน์ แทนค่าสมการ 2.58 ในสมการ 2.62 จะได้

$$\begin{aligned} \theta(t) &= \int 2\pi(f_c + \Delta f \sin \omega_m t) dt \\ &= \omega_c t - \{\Delta f / f_m\} \cos \omega_m t + \phi \end{aligned} \quad (2.64)$$

และ  $\omega_m = 2\pi f_m$  คลื่นมอดูเลตไซน์สามารถหาได้จากการแทนค่าสมการ 2.64 ในสมการ 2.60 จะได้

$$e = \sin(\omega_c t - \{\Delta f / f_m\} \cos \omega_m t) \quad (2.65)$$

ดัชนีการมอดูเลต (Modulation Index) สำหรับการมอดูเลตทางความถี่คือ

$$m_f = \Delta f / f_m \quad (2.66)$$

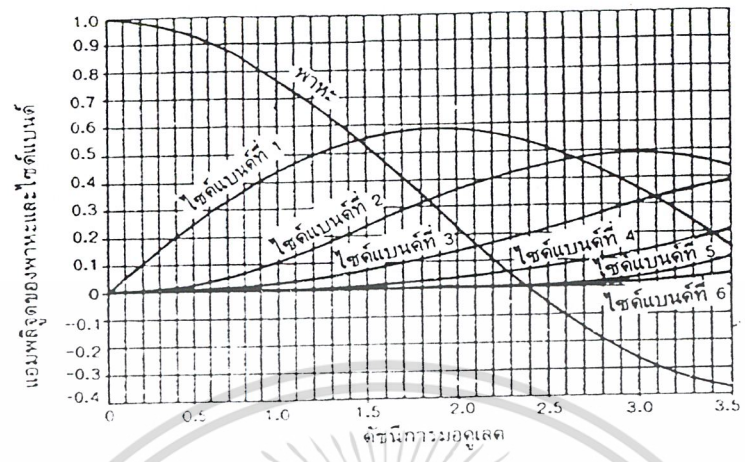
จากสมการ 2.65 จะได้

$$e = \sin(\omega_c t - m_f \cos \omega_m t) \quad (2.67)$$

สเปกตรัมจะประกอบด้วยคลื่นพาหะและฮาร์โมนิกข้างเคียงของความถี่มอดูเลต ความสูงของสเปกตรัมต่างๆ สามารถคำนวณได้จากฟังก์ชันของเบสเซล (Bessel's Function) จาก  $m_f$  คือดัชนีการมอดูเลตตามสมการ 2.66 และ  $n$  คือจำนวนความถี่ข้างเคียง และ  $J_0(m_f)$  คือความสูงของคลื่นพาหะ

ถ้า  $m_f = 0.5$  สเปกตรัมต่างๆ จะประกอบด้วย

|                          |                   |                   |
|--------------------------|-------------------|-------------------|
| คลื่นพาหะ ( $f_c$ )      | $J_0(0.5) = 0.94$ |                   |
| ความถี่ข้างเคียงตัวที่ 1 | $(f_c \pm f_m)$   | $J_0(0.5) = 0.24$ |
| ความถี่ข้างเคียงตัวที่ 2 | $(f_c \pm 2f_m)$  | $J_0(0.5) = 0.24$ |



รูปที่ 2.16 แอมพลิจูดของคลื่นพหุและไซด์แบนด์ของการมอดูเลตแบบเอฟเอ็ม

สเปกตรัมตามค่าต่างๆ ของ  $m_f$  ดังรูปที่ 2.17 ในกรณีนี้ ช่องไฟของแต่ละสเปกตรัมจะห่างเท่ากับ ความถี่ของสัญญาณมอดูเลต ( $f_m$ ) และช่วงกว้างคลื่น (Bandwidth) จะมีค่าเท่ากับ

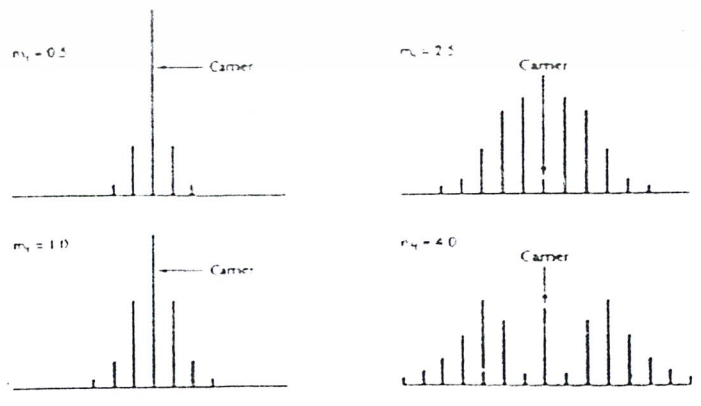
$$B_{FM} = 2mf_m \tag{2.68}$$

$m$  คือ จำนวนความถี่ข้างเคียงที่ต้องการ

$$B_{FM} = 2(m_f + 1)f_m \tag{2.69}$$

แทนค่า  $m_f$  จากสมการ 2.66 จะได้

$$B_{FM} = 2(\Delta f + f_m) \tag{2.70}$$



รูปที่ 2.17 สเปกตรัมของคลื่นมอดูเลตแบบเอฟเอ็ม เมื่อ  $m_f = 0.5, 1.0, 2.5$  และ  $4.0$

เอกสารนี้เป็นเอกสารที่สงวนไว้สำหรับใช้ในการเรียนการสอนเพื่อการศึกษาเท่านั้น ไม่อนุญาตให้นำไปใช้ประโยชน์ด้านการค้า ไม่ว่ากรณีใดๆ ทั้งสิ้น อีกทั้งห้ามมิให้ดัดแปลงเนื้อหา และต้องอ้างอิงถึงเจ้าของเอกสารทุกครั้งที่มีการนำไปใช้

ในการหาเปอร์เซ็นต์การมอดูเลตจะให้ความสนใจทางด้านความถี่โดยการตั้งมาตรฐานว่า ถ้าความถี่ของสัญญาณเปลี่ยนแปลงไปจนถึงค่าสูงสุดของการเบี่ยงเบนที่เรียกว่าครบ 100 เปอร์เซ็นต์ ดังนั้นสมมติว่า ค่าการเบี่ยงเบนทางความถี่สูงสุดเป็น 75 กิโลเฮิร์ตซ์และเมื่อป้อนสัญญาณมอดูเลตแล้ว ไม่มีการเบี่ยงเบนทางความถี่เพียง 37.5 กิโลเฮิร์ตซ์ การหาค่าเปอร์เซ็นต์การมอดูเลตได้ =  $(37.5/75)*100 = 50\%$

### 2.3 วงจรขยายสัญญาณอาร์เอฟขนาดเล็ก (Small Signal RF Amplifier)

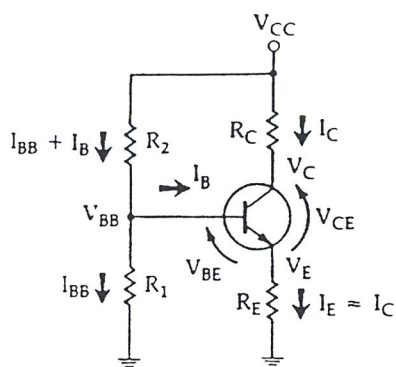
#### 2.3.1 การไบอัสทรานซิสเตอร์

คุณลักษณะภายในตัวทรานซิสเตอร์ที่อาจเปลี่ยนได้ตามอุณหภูมิคือ  $\Delta V_{BE}$  และ  $\Delta \beta$  จุดประสงค์ที่สำคัญในการไบอัสก็คือการลดอิทธิพลของอุณหภูมิที่มีผลต่อพารามิเตอร์ที่กล่าวไป เนื่องจากการเพิ่มขึ้นของอุณหภูมิทำให้  $V_{BE}$  ของทรานซิสเตอร์ลดลงในอัตราประมาณ  $2.5 \text{ mV}/^\circ\text{C}$  จากอุณหภูมิห้องปกติคือ  $0.7 \text{ V}$  และเนื่องจาก  $V_{BE}$  ลดลงทำให้  $I_C$  เพิ่มขึ้นและจะมีผลต่อค่าที่เราออกแบบไว้ (ค่าที่เรากำหนดตอนออกแบบคือ  $I_C$  และ  $V_{CE}$ ) นี่ก็คือสิ่งที่เราจะต้องป้องกันมิให้เกิดขึ้น โวลเตจที่เปลี่ยนแปลงซึ่งขึ้นกับอุณหภูมิที่เราเรียกว่า  $\Delta V_{BE}$  สิ่งที่เราจะนำมาลดผลกระทบของ  $\Delta V_{BE}$  ก็คือ  $V_E$  การลดลงของ  $V_{BE}$  ซึ่งเกิดจากอุณหภูมิจะทำให้กระแสอิมิตเตอร์เพิ่มขึ้น  $V_E$  จึงเพิ่มขึ้นด้วย การเพิ่มขึ้นของ  $V_E$  จะทำให้เกิดการป้อนกลับแบบลบทำให้เกิดรีเวิร์สไบอัสที่รอยต่อของเบส - อิมิตเตอร์ ดังนั้นกระแสคอลเลกเตอร์จึงลดลง และเนื่องจากการลดลงของ  $V_{BE}$  จะถูกชดเชยโดยการเพิ่มขึ้นของ  $V_E$  ดังนั้นกระแสคอลเลกเตอร์จะเพิ่มขึ้นไม่มาก พิจารณาจากสมการ

$$\Delta I_C \approx -\frac{\Delta V_{BE} I_C}{V_E} \tag{2.71}$$

- โดยที่  $\Delta I_C$  คือ การเปลี่ยนแปลงของกระแสคอลเลกเตอร์
- $I_C$  คือ กระแสคอลเลกเตอร์ที่ไม่มีการเปลี่ยนแปลง
- $\Delta V_{BE}$  คือ การเปลี่ยนแปลงของโวลเตจเบส - อิมิตเตอร์
- $V_E$  คือ โวลเตจอิมิตเตอร์ที่ไม่มีการเปลี่ยนแปลง

ถ้าหากเราออกแบบให้  $V_E$  เป็น 20 เท่าของ  $\Delta V_{BE}$  กระแสคอลเลกเตอร์จะเปลี่ยนแปลงเพียงแค่ 5%  $V_E$  ค่ามากกว่านี้ก็จะดีกว่าถ้าหากการออกแบบไม่ต้องคำนึงถึงจุดไบอัสที่เจาะจง แต่สิ่งที่เราต้องพิจารณาร่วมด้วยก็คือ ค่า  $V_E$  ที่มากจะทำให้สูญเสียกำลังงานมาก และยังทำให้แกนของสัญญาณเอซึลดลงเพื่อไม่ให้แกนต่ำลงสามารถใช้ตัวเก็บประจุบายพาสคร่อม  $R_E$  แต่ว่าการสูญเสียกำลังงานก็ยังคงมีอยู่โดยทั่วไปสมมติให้วงจรขยายทำงานในที่อุณหภูมิเปลี่ยนแปลงไม่เกิน  $\pm 50^\circ\text{C}$  เราจะได้ค่า  $V_E$  เท่ากับ  $2.5 \text{ V}$  ซึ่งจะให้  $I_C$  เปลี่ยนแปลงเพียง  $\pm 5\%$



รูปที่ 2.18 ตัวอย่างวงจรไบอัสทรานซิสเตอร์

### 2.3.2 การคำนวณวงจรขยายโดยใช้เอสพารามิเตอร์ (S Parameter)

ค่าของเอสพารามิเตอร์ที่ใช้ในการคำนวณสามารถหาได้จากค่าตัวชี้ของทรานซิสเตอร์ที่ใช้ ณ จุดไบอัสที่เราออกแบบไว้

#### 2.3.2.1 เสถียรภาพ (Stability)

ในการคำนวณเสถียรภาพของทรานซิสเตอร์ด้วยเอสพารามิเตอร์ขั้นแรกต้องคำนวณหาปริมาณ

$D_S$ :

$$D_S = S_{11}S_{22} - S_{12}S_{21} \quad (2.72)$$

ค่าของเสถียรภาพ ( $K$ ) หาได้จาก

$$K = \frac{1 + |D_S|^2 - |S_{11}|^2 - |S_{22}|^2}{2 \cdot |S_{21}| \cdot |S_{12}|} \quad (2.73)$$

ถ้าค่า  $K$  มากกว่า 1 ทรานซิสเตอร์จะอยู่ในสถานะอันคอนดิชันแนลีสเตเบิล (unconditionally stable) หมายความว่า ทรานซิสเตอร์จะมีเสถียรภาพทุกค่าอิมพีแดนซ์ของซอร์สและโหลด

ถ้าค่า  $K$  น้อยกว่า 1 ทรานซิสเตอร์จะอยู่ในสถานะโพเทนเชียลอันสเตเบิล (potentially unstable) หมายความว่า จะมีบางค่าของซอร์สและโหลดอิมพีแดนซ์ที่ทำให้วงจรขยายเกิดการออสซิลเลต แต่ไม่ได้หมายความว่า จะใช้ทรานซิสเตอร์ไม่ได้ เพียงแต่ต้องใช้ความระมัดระวังในการออกแบบ มีหลายวิธีเช่น เลือกจุดไบอัสทรานซิสเตอร์ใหม่, ใช้ทรานซิสเตอร์ตัวอื่น เป็นต้น

#### 2.3.2.2 ค่าการขยายสูงสุด (Maximum Available Gain: MAG)

เป็นเกนสูงสุดที่สามารถขยายได้ สามารถหาได้โดย

$$\text{MAG} = 10 \log \left| \frac{S_{21}}{S_{12}} \right| \quad (\text{dB}) \quad (2.74)$$

ในการหา MAG ค่า  $K$  ต้องมีค่ามากกว่า 1 มิฉะนั้นจะไม่สามารถหาค่าได้

### 2.3.2.3 การคอนจูเกตแมตชิง (Simultaneous Conjugate Match)

เป็นการหาค่าสัมประสิทธิ์การสะท้อนโหลด-ซอร์สของวงจรถยาย (load-source reflection coefficient) เพื่อใช้ในการแมตชิงอิมพีแดนซ์กับวงจรอื่น ๆ ซึ่งคำนวณตามขั้นตอนดังนี้

1) หาค่า  $C_2$ : 
$$C_2 = S_{22} - (D_S S_{11}^*)$$

2) หาค่า  $B_2$ : 
$$B_2 = 1 + |S_{22}|^2 - |S_{11}|^2 - |D_S|^2$$

3) เราจะได้ค่าขนาด (Magnitude) ของสัมประสิทธิ์การสะท้อนของโหลดจาก

$$|\Gamma_L| = \frac{B_2 \pm \sqrt{B_2^2 - 4|C_2|^2}}{2|C_2|} \quad (2.75)$$

- จะใช้เครื่องหมาย + หรือ - พิจารณาโดยใช้ค่าตรงกันข้ามกับเครื่องหมายของ  $B_2$

- มุมของสัมประสิทธิ์การสะท้อนของโหลดใช้ค่าของมุมของ  $C_2$  โดยใช้เครื่องหมายตรงกันข้าม

### 2.3.2.4 สัมประสิทธิ์การสะท้อนของซอร์ส (source reflection coefficient)

$$\Gamma_S = \left[ S_{11} + \frac{S_{12} S_{21} \Gamma_L}{1 - (\Gamma_L \cdot S_{22})} \right]^* \quad (2.76)$$

นำค่า  $\Gamma_S$  ที่ได้ไปหาอินพุตอิมพีแดนซ์และ  $\Gamma_L$  ไปหาเอาต์พุตอิมพีแดนซ์เพื่อนำไปสร้างวงจรแมตชิงอิมพีแดนซ์โดยอินพุตอิมพีแดนซ์หาจาก

$$Z_{in} = Z_S \times 50 \quad (2.77)$$

โดย

$$Z_S = \left[ \frac{1 + \Gamma_S}{1 - \Gamma_S} \right]$$

และเอาต์พุตอิมพีแดนซ์หาจาก

$$Z_{out} = Z_L \times 50 \quad (2.78)$$

โดย

$$Z_L = \left[ \frac{1 + \Gamma_L}{1 - \Gamma_L} \right]$$

### 2.3.2.5 การคำนวณโดยกำหนดค่าเกณฑ์ (Design for a Specified Gain)

เป็นการออกแบบโดยกำหนดค่าเกณฑ์ ๆ ซึ่งคำนวณโดยการหาวงกลมซึ่งมีเกณฑ์ที่ (constant gain circle) โดยพล็อตลงบนสมิทซ์ชาร์ทซึ่งสามารถคำนวณได้จาก

1. หาค่า  $D_S$ :

$$D_S = S_{11}S_{22} - S_{12}S_{21} \quad (2.79)$$

2. หาค่า  $D_2$ :

$$D_2 = |S_{22}|^2 - |D_S|^2 \quad (2.80)$$

3. หาค่า  $C_2$ :

$$C_2 = S_{22} - D_S S_{11}^* \quad (2.81)$$

4. หาค่า  $G$ :

$$G = \frac{\text{Gain desired (absolute)}}{|S_{21}|^2} \quad (2.82)$$

5. จุดศูนย์กลางของวงกลมซึ่งมีเกณฑ์ที่คือ

$$r_o = \frac{GC_2^*}{1 + D_2 G} \quad (2.83)$$

6. รัศมีของวงกลมที่มีเกณฑ์ที่คือ

$$p_o = \frac{\sqrt{1 - 2K|S_{12}S_{21}|G + |S_{12}S_{21}|^2 G^2}}{1 + D_2 G} \quad (2.84)$$

นำค่าที่ได้ไปวาดวงกลมลงบนสมิทซ์ชาร์ทซึ่งค่าของเอาต์พุตอิมพีแดนซ์ที่จะทำให้ได้เกณฑ์ตามต้องการจะต้องอยู่บนเส้นรอบวงของวงกลมนี้เท่านั้น เมื่อได้ค่าของ  $\Gamma_L$  แล้วก็จะได้ค่า  $\Gamma_S$  ซึ่งนำค่าต่างๆ ที่ได้นี้ไปสร้างวงจรแมตซ์อิมพีแดนซ์ต่อไป

### 2.3.2.6 วงกลมเสถียรภาพ (Stability Circles)

ในการคำนวณทรานซิสเตอร์ซึ่งอยู่ในสภาวะโพเทนเชียลอินสแตบิลิตี (ค่า  $K$  น้อยกว่า 1) จำเป็นต้องหาวงกลมเสถียรภาพของอินพุต (input stability circle) และวงกลมเสถียรภาพของเอาต์พุต (output stability circle) เพื่อใช้ในการหาเลือกค่า  $\Gamma_S$  และ  $\Gamma_L$  ที่เหมาะสมต่อไป ขั้นตอนการหาค่าวงกลมเสถียรภาพมีดังนี้

1. หาค่า  $D_S$

2. หาค่า  $C_1$ :

$$C_1 = S_{11} - D_S S_{22}^* \quad (2.85)$$

เอกสารนี้เป็นเอกสารที่สงวนไว้สำหรับการใช้งานเพื่อการศึกษานี้เท่านั้น ไม่อนุญาตให้นำไปใช้ประโยชน์ด้านการค้า ไม่ว่ากรณีใดๆ ทั้งสิ้น อีกทั้งห้ามมิให้ดัดแปลงเนื้อหา และต้องอ้างอิงถึงเจ้าของเอกสารทุกครั้งที่มีการนำไปใช้

3. หาค่า  $C_2$ :

$$C_2 = S_{22} - D_S S_{11}^* \quad (2.86)$$

4. หาจุดศูนย์กลางของวงกลมเสถียรภาพของอินพุต

$$r_{S1} = \frac{C_1^*}{|S_{11}|^2 - |D_S|^2} \quad (2.87)$$

5. หารัศมีของวงกลมเสถียรภาพของอินพุต

$$p_{S1} = \left| \frac{S_{12} S_{21}}{|S_{11}|^2 - |D_S|^2} \right| \quad (2.88)$$

6. หาจุดศูนย์กลางของวงกลมเสถียรภาพของเอาต์พุต

$$r_{S2} = \frac{C_2^*}{|S_{22}|^2 - |D_S|^2} \quad (2.89)$$

7. หารัศมีของวงกลมเสถียรภาพของเอาต์พุต

$$p_{S2} = \left| \frac{S_{12} S_{21}}{|S_{22}|^2 - |D_S|^2} \right| \quad (2.90)$$

### 2.3.3. อิมพีแดนซ์แมต칭 (Impedance Matching)

เมื่อเรากำหนดได้ค่าอินพุตอิมพีแดนซ์และเอาต์พุตอิมพีแดนซ์แล้ว เราต้องคำนวณวงจรแมต칭อิมพีแดนซ์เพื่อให้ได้การส่งกำลังงานที่มากที่สุด (Maximum power transfer) เราสามารถคำนวณได้จากสมการ

$$Q_S = Q_P = \sqrt{\frac{R_P}{R_S} - 1} \quad (2.91)$$

$$Q_S = \frac{X_S}{R_S} \quad (2.92)$$

$$Q_P = \frac{R_P}{X_P} \quad (2.93)$$

โดยที่  $Q_S$  คือ ค่า  $Q$  ของส่วนอนุกรม

$Q_P$  คือ ค่า  $Q$  ของส่วนขนาน

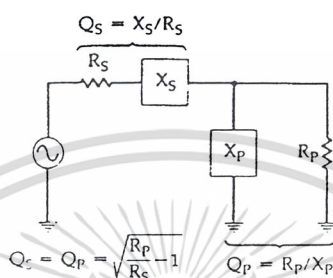
$R_p$  คือ ค่าของความต้านทานที่นำมาขนาน

$X_p$  คือ ค่ารีแอกแตนซ์ที่นำมาขนาน

$R_s$  คือ ค่าของความต้านทานที่นำมาอนุกรม

$X_s$  คือ ค่ารีแอกแตนซ์ที่นำมาอนุกรม

ซึ่งค่าของ  $X_p$  และ  $X_s$  อาจเป็นได้ทั้งค่าปาซิทีฟและอินดักทีฟ



รูปที่ 2.19 การแมตซิ่งอิมพีแดนซ์

ตัวอย่างเช่น ให้ออกแบบวงจรแมตซิ่งอิมพีแดนซ์ระหว่างความต้านทานของซอร์ส  $100 \Omega$  กับความต้านทานของโหลด  $1000 \Omega$  ที่ความถี่  $100$  เมกะเฮิร์ตซ์

วิธีทำ

$$Q_s = Q_p = \sqrt{\frac{1000}{100}} - 1 = \sqrt{9} = 3$$

จากสมการ

$$Q_s = \frac{X_s}{R_s}$$

$$X_s = Q_s R_s = 300 \Omega$$

จากสมการ

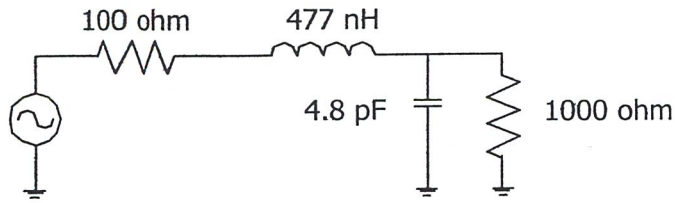
$$Q_p = \frac{R_p}{X_p}$$

$$X_p = \frac{R_p}{Q_p} = 333 \Omega$$

เราเลือกให้  $X_s$  เป็นอินดักทีฟและ  $X_p$  เป็นคาปาซิทีฟเนื่องจากค่าความถี่ที่  $100$  เมกะเฮิร์ตซ์ จะได้

$$L = \frac{X_s}{\omega} = \frac{300}{2\pi(100 \times 10^6)} = 477 \text{ nH}$$

$$C = \frac{1}{\omega X_p} = \frac{1}{2\pi(100 \times 10^6)(333)} = 4.8 \text{ pF}$$



รูปที่ 2.20 วงจรแมตซ์ชิงอิมพีแดนซ์จากตัวอย่าง

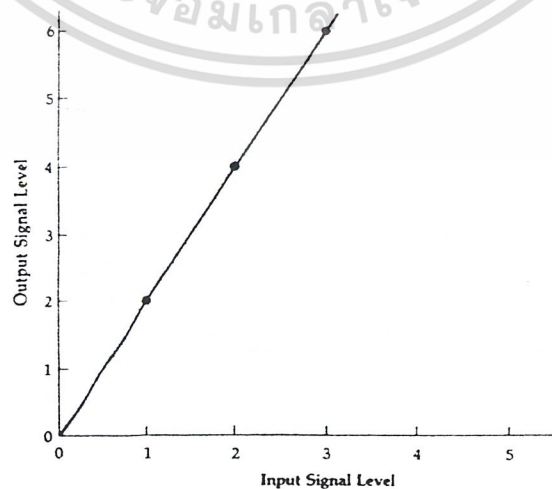
## 2.4 วงจรขยายกำลัง (Power Amplifier)

### 2.4.1 การไบอัสทรานซิสเตอร์

ชนิดของการไบอัสได้นำมาประยุกต์ใช้กับทรานซิสเตอร์ขยายกำลังและถูกกำหนดโดยชนิดของแอมพลิฟายเออร์ซึ่งขึ้นอยู่กับผู้ออกแบบ วงจรขยายมีคลาสต่าง ๆ มากมายให้ผู้ออกแบบเลือกและการเจาะจงคลาสสำหรับการออกแบบนั้นขึ้นอยู่กับกรนำไปใช้งาน

### 2.4.2 วงจรขยายแบบคลาสเอและความเป็นเชิงเส้น

คลาสเอเป็นวงจขยายที่ทำให้จำกัดความได้ว่าเป็นวงจขยายที่ถูกไบอัสเพื่อให้กระแสเอาต์พุตไหลได้ตลอดเวลา ดังนั้นการขับเคลื่อนสัญญาณอินพุตเพื่อขยายสัญญาณโดยที่ทรานซิสเตอร์ยังไม่ตัดออฟคือการทำให้ทรานซิสเตอร์นำสัญญาณได้เต็มรูปคลื่น วงจรขยายคลาสเอเป็นวงจรที่มีความเป็นเชิงเส้นที่สุดในชนิดของวงจขยายทั้งหมด ความเป็นเชิงเส้นจะทำให้การวัดง่ายขึ้นและทำให้สัญญาณเอาต์พุตมีความคล้ายคลึงกับสัญญาณอินพุต วงจรขยายเชิงเส้นเป็นวงจรหนึ่งที่สัญญาณเอาต์พุตเป็นอัตราส่วนกับสัญญาณอินพุตซึ่งแสดงได้ดังรูปที่ 2.21 สังเกตได้ว่าในกรณีนี้ระดับสัญญาณเอาต์พุตจะเป็น 2 เท่าของระดับสัญญาณอินพุตและความสัมพันธ์ของฟังก์ชันถ่ายโอนจากเอาต์พุตกับอินพุตจะเป็นเส้นตรง



รูปที่ 2.21 คุณสมบัติฟังก์ชันถ่ายโอนของวงจขยายสัญญาณเชิงเส้น

เอกสารนี้เป็นเอกสารที่สงวนไว้สำหรับการใช้งานเพื่อการศึกษาเท่านั้น ไม่อนุญาตให้นำไปใช้ประโยชน์ด้านการค้าไม่ว่ากรณีใดๆ ทั้งสิ้น อีกทั้งห้ามมิให้ดัดแปลงเนื้อหา และต้องอ้างอิงถึงเจ้าของเอกสารทุกครั้งที่มีการนำไปใช้

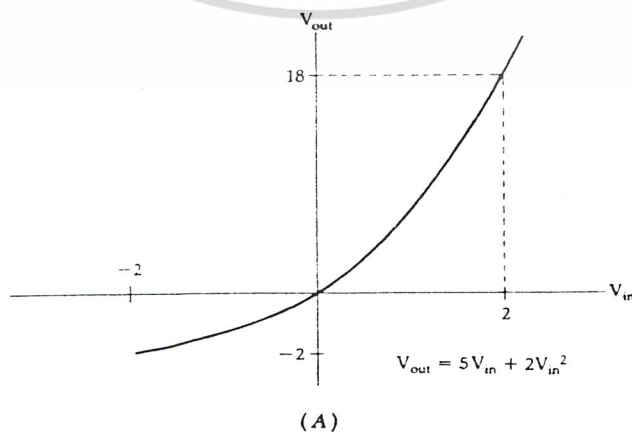
ไม่มีทรานซิสเตอร์ที่มีความเป็นเชิงเส้นสมบูรณ์ ดังนั้นสัญญาณเอาต์พุตของวงจรขยายจึงไม่เหมือนกับสัญญาณอินพุตทุกประการ โดยองค์ประกอบที่ผิดพลาดนั้นจะอยู่ในรูปของฮาร์โมนิกที่อยู่เสมอ หรือที่เรียกว่าความผิดเพี้ยนชนิดอินเตอร์มอดูเลชัน (Intermodulation Distortion: IMD) ความไม่เป็นเชิงเส้นของทรานซิสเตอร์นี้จะทำให้ความสัมพันธ์ของฟังก์ชันถ่ายโอนมีความเป็นเชิงเส้นในช่วงสั้นๆ ดังในรูปที่ 2.22(A) ความผิดเพี้ยนจะเป็นสาเหตุให้สัญญาณอินพุตของวงจรขยายเป็นดังรูปที่ 2.22(B) สังเกตได้ว่าช่วงที่ราบเรียบที่สุดของสัญญาณเอาต์พุตจะเกิดขึ้นเนื่องจากฮาร์โมนิกที่ 2 ที่ถูกสร้างขึ้นโดยวงจรขยายซึ่งความผิดเพี้ยนชนิดนี้ถูกเรียกว่าฮาร์โมนิกดิสทอร์ชัน (harmonic distortion) สามารถแสดงได้ดังนี้

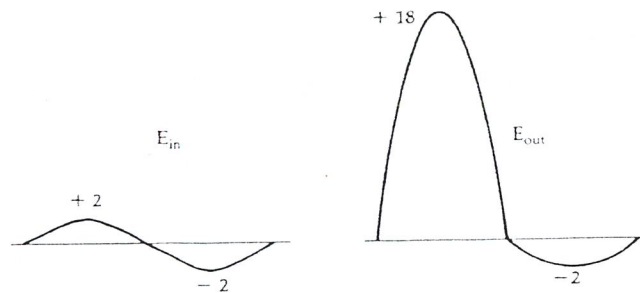
$$V_{out} = AV_{in} + BV_{in}^2 + CV_{in}^3 + \dots \quad (2.94)$$

เทอมที่ 2 ของสมการที่ 2.169 รู้จักกันดีว่าเป็นฮาร์โมนิกที่ 2 หรือความผิดเพี้ยนอันดับที่ 2 ส่วนเทอมที่ 3 ถูกเรียกว่าฮาร์โมนิกที่ 3 หรือความผิดเพี้ยนอันดับที่ 3 แน่นอนว่าวงจรขยายเชิงเส้นที่สมบูรณ์แบบนี้จะไม่ผลิตสัญญาณที่ผิดเพี้ยนอันดับที่ 2,3 หรือลำดับที่สูงๆออกมา สังเกตในรูปที่ 2.22 ซึ่งฟังก์ชันถ่ายโอนของวงจรขยายจะได้ว่า

$$V_{out} = 5V_{in} + 2V_{in}^2 \quad (2.95)$$

ซึ่งองค์ประกอบของความผิดเพี้ยนอันดับที่ 2 เพิ่มขึ้นเป็นกำลัง 2 ของสัญญาณอินพุต ดังนั้นการเพิ่มขึ้นของระดับสัญญาณอินพุตซึ่ง องค์ประกอบอันดับที่ 2 จะเพิ่มขึ้นเร็วมาก และเร็วกว่าองค์ประกอบพื้นฐานในสัญญาณเอาต์พุต ซึ่งในที่สุดขนาดขององค์ประกอบอันดับที่ 2 ในสัญญาณเอาต์พุตจะเท่ากับขนาดของสัญญาณพื้นฐาน ผลที่เกิดขึ้นนี้แสดงได้ดังกราฟรูปที่ 2.23 โดยจุดที่องค์ประกอบอันดับที่ 2 และอันดับที่ 1 ของสัญญาณเอาต์พุตมีค่าเท่ากันถูกเรียกว่า “จุดตัดอันดับที่ 2” ในกรณีนี้เทอมอันดับที่ 3 ถูกพล็อตตามอัตราขยายพื้นฐานของวงจรขยาย



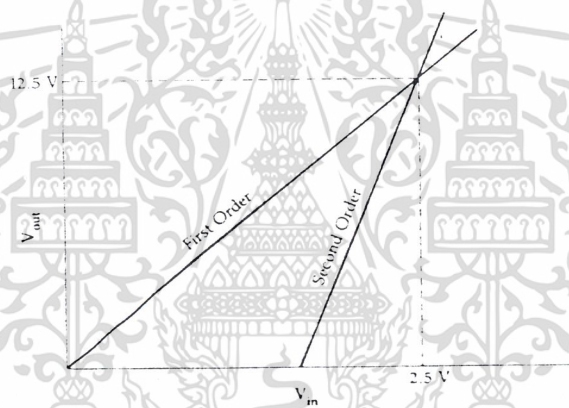


(B)

รูปที่ 2.22 คุณสมบัติของวงจรขยายที่ไม่เป็นเชิงเส้น

(A) คุณสมบัติของฟังก์ชันถ่ายโอน

(B) ผลลัพธ์ของรูปคลื่น



รูปที่ 2.23 จุดตัดอันดับที่ 2

ในรูปแบบนี้จุดตัดขององค์ประกอบอันดับที่ 3 ของวงจรขยายถูกใช้ในฐานะที่เป็นฟิกเกอร์ออฟเมริท (figure of merit) ซึ่งจุดตัดที่สูงกว่าจะเป็นวงจรขยายที่ดีกว่า คือสามารถขยายสัญญาณได้ขนาดใหญ่กว่า เมื่อสัญญาณอินพุตมีตั้งแต่ 2 สัญญาณขึ้นไป องค์ประกอบของอินเตอร์มอดูเลชันอันดับที่ 2,3 หรือสูงกว่า เป็นสาเหตุทำให้เกิดการรวมผลลัพธ์หรือความแตกต่างของผลลัพธ์ของแต่ละสัญญาณอินพุตพื้นฐานและฮาร์โมนิกที่เกี่ยวข้องของมัน ตัวอย่างเช่น เมื่อมีสัญญาณชายนุชอยคอลลที่สมบูรณ์แบบ  $\cos$  ความถี่  $f_1$  และ  $f_2$  คืออินพุตของวงจรขยายที่ไม่เป็นเชิงเส้น ตามองค์ประกอบของสัญญาณเอาต์พุตจะมีผลดังนี้

ความถี่พื้นฐาน :  $f_1, f_2$

อันดับที่ 2 :  $2f_1, 2f_2, f_1 + f_2, f_1 - f_2$

อันดับที่ 3 :  $3f_1, 3f_2, 2f_1 \pm f_2, 2f_2 \pm f_1$

+ เทอมอันดับที่สูงขึ้น

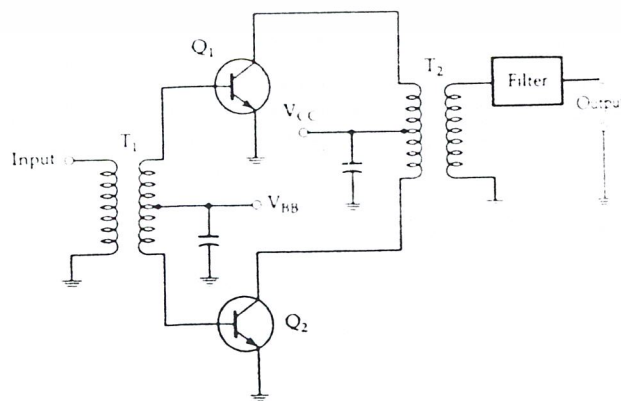
เอกสารนี้เป็นเอกสารที่สงวนไว้สำหรับการใช้งานเพื่อการศึกษาเท่านั้น ไม่อนุญาตให้นำไปใช้ประโยชน์ด้านการค้าไม่ว่ากรณีใดๆ ทั้งสิ้น อีกทั้งห้ามมิให้ดัดแปลงเนื้อหา และต้องอ้างอิงถึงเจ้าของเอกสารทุกครั้งที่มีการนำไปใช้

ภายใต้การปฏิบัติงานโดยทั่วไปของวงจร เทอมในอันดับที่ 2,3 หรืออันดับที่สูงกว่าจะมีระดับสัญญาณเล็กมากกว่าองค์ประกอบของสัญญาณพื้นฐาน และในแกนของเวลาจะถูกพบในรูปของความผิดเพี้ยน

ข้อสังเกต ถ้า  $f_1$  และ  $f_2$  เป็นความถี่ที่ใกล้กันมาก จะเห็นได้ว่าเทอมของ  $2f_1 \pm f_2$  และ  $2f_2 \pm f_1$  จะยังมีค่าเข้าใกล้เทอมของความถี่พื้นฐานทั้ง 2 ตัว นอกจากนี้ผลจากความผิดเพี้ยนจากฮาร์โมนิกที่ 3 จะมีผลด้วย ดังนั้นเป็นการยากยิ่งขึ้นในการจะกำจัดโดยผ่านการกรองเพียงครั้งเดียว โดยที่มันจะสร้างความผิดเพี้ยนขึ้นภายในวงจรขยายนั่นเอง ความต้องการของการไบอัสสำหรับวงจรขยายกำลังคลาสเอคล้ายคลึงกับวงจรขยายสัญญาณขนาดเล็ก โดยความแตกต่างระหว่างวงจรขยายกำลังคลาสเอคล้ายคลึงกับวงจรขยายสัญญาณขนาดเล็กแทบจะไม่มีเลย ซึ่งวัตถุประสงค์ในทางปฏิบัติทั้งสองแบบมีผลลัพธ์ที่เท่ากันยกเว้นระดับสัญญาณอินพุตและเอาต์พุต

### 2.4.3 วงจรขยายแบบคลาสบี

วงจรขยายคลาสบี คือ วงจรที่ทรานซิสเตอร์มีมุมนำสัญญาณประมาณ  $180^\circ$  ดังนั้นทรานซิสเตอร์จะนำสัญญาณเพียงแคครึ่งคาบเท่านั้น ทั้งครึ่งซีกบวกและครึ่งซีกลบและนี่ก็คือรูปแบบการนำดีซีมาไบอัสเพื่อนำไปใช้กับทรานซิสเตอร์ให้ทำงานแบบคลาสบี วงจรขยายคลาสบีมีประสิทธิภาพมากกว่าวงจรขยายคลาสเอ (70% และ 50%) อย่างไรก็ตามวงจรขยายคลาสบีนี้มีความเป็นเชิงเส้นน้อยมากดังนั้นวงจรขยายคลาสบีจะผลิตฮาร์โมนิกคิสทอร์ชันเพียงเล็กน้อยและจะถูกกรองจากสัญญาณที่ถูกขยาย ส่วนมากรูปร่างโดยทั่วไปของวงจรขยายคลาสบีคือเป็นแบบพุช-พูล ดังรูปที่ 2.24 ในรูปแบบนี้ทรานซิสเตอร์  $Q_1$  นำสัญญาณระหว่างครึ่งซีกบวกของสัญญาณอินพุต ขณะที่ทรานซิสเตอร์  $Q_2$  นำสัญญาณระหว่างครึ่งซีกลบในรูปแบบนี้สัญญาณอินพุตทั้งหมดจะถูกจำลองออกมาที่เซกชันคาร์รีจของทรานส์ฟอร์มเมอร์  $T_2$  ดังนั้นทั้ง  $Q_1$  และ  $Q_2$  จะไม่ผลิตโดยตัวมันเองแต่จะใช้การขยายสัญญาณที่มีรูปร่างเหมือนสัญญาณอินพุตแทนที่สัญญาณจะถูกแบ่งครึ่งโดยแต่ละครึ่งจะถูกขยายและนำมารวมกันใหม่ที่เอาต์พุตแน่นอนว่าทรานซิสเตอร์เพียงตัวเดียวอาจจะถูกใช้ในรูปแบบของคลาสบี สิ่งที่เราต้องการคือวงจรเรโซแนนซ์ต้องถูกแทนในโครงข่ายเอาต์พุตของทรานซิสเตอร์เพื่อจำลองอีกครั้งหนึ่งของสัญญาณอินพุต

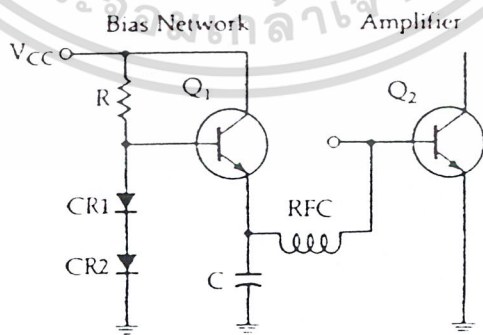


เอกสารนี้เป็นเอกสารที่สงวนไว้สำหรับรูปที่ 2.24 วงจรขยายคลาสบีแบบพุช-พูล นำไปใช้ประโยชน์ด้านการค้าไม่ว่ากรณีใดๆ ทั้งสิ้น อีกทั้งห้ามมิให้ดัดแปลงเนื้อหา และต้องอ้างอิงถึงเจ้าของเอกสารทุกครั้งที่มีการนำไปใช้

มีหลายวิธีสำหรับการไบอัสทรานซิสเตอร์สำหรับการทำงานของวงจรขยายคลาสบี วิธีหนึ่งที่ถูกใช้อย่างกว้างขวางแสดงในรูป 2.25 วิธีนี้ง่ายต่อการกำหนดไบอัสโวลต์เตจ (0.7V) บนทรานซิสเตอร์ การใช้ซิลิกอนไดโอดนั้นบ่อยครั้งที่ไดโอดถูกเพิ่มเข้าไปในทรานซิสเตอร์โดยที่มันจะช่วยป้องกันเทอร์มอลนอยส์ (thermal noise) ซึ่งเป็นปัญหาที่เกิดขึ้นบ่อยกับการไบอัสอย่างไม่ถูกต้องของวงจรขยายกำลัง บ่อยครั้งที่ไดโอด CR1 ทำหน้าที่หนักๆหลายอย่างเนื่องจากค่าของความต้านทานถูกนำมาใช้บ่อยๆ เพื่อว่ากระแสที่ผ่าน CR1 จะค่อนข้างสูง ความแน่นอนนี้ทำให้การไบอัสทรานซิสเตอร์ครั้งที่ ทางเลือกของเครือข่ายการไบอัสแสดงดังรูปที่ 2.26 แสดงไดโอดซิลิกอน 2 ตัวโดยการต่อฟอร์เวิร์ดไบอัส (forward bias) แบบอิมิตเตอร์ฟอลโลเวอร์ (emitter-follower) ซึ่งถูกใช้เป็นตัวขยายกระแส (current amplifier) โดยโวลต์เตจที่ขาอิมิตเตอร์ของ  $Q_1$  ดังนั้นที่เบสของ  $Q_2$  จะยังเป็น 0.7V เนื่องจาก  $V_{BE}$  ที่ตกคร่อมทรานซิสเตอร์  $Q_1$  โฉกและตัวเก็บประจุแสดงได้ดังรูปที่ 2.25 และ 2.26 ใช้ป้องกันการไหลของสัญญาณความถี่วิทยุไม่ให้เข้าไปยังวงจรที่ไบอัสแล้ว

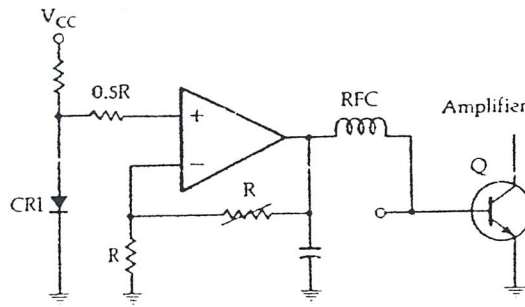


รูปที่ 2.25 การไบอัสอย่างง่ายโดยใช้ไดโอดของวงจรขยายคลาสบี



รูปที่ 2.26 การไบอัสแบบอิมิตเตอร์ฟอลโลเวอร์ของวงจรขยายคลาสบี

และยังมีการไบอัสแบบอื่นๆสำหรับคลาสบีที่แสดงในรูป 2.27 ซึ่งเป็นการไบอัสโวลต์เตจที่ทำให้  
 เอกสารนี้เป็นเอกสารที่สงวนไว้สำหรับใช้ในการเรียนเพื่ออรรถประโยชน์เท่านั้น ไม่อนุญาตให้นำไปใช้ประโยชน์ด้านการค้า  
 เกิดค่าหลายค่าเพื่อว่าจะ ได้ผลที่ดีที่สุดถูกค้นพบสำหรับ IMD performance  
 ไม่ว่าจะกรณีใดๆ ทั้งสิ้น อีกทั้งห้ามมิให้คัดแปลงเนื้อหา และต้องอ้างอิงถึงเจ้าของเอกสารทุกครั้งที่มีการนำไปใช้

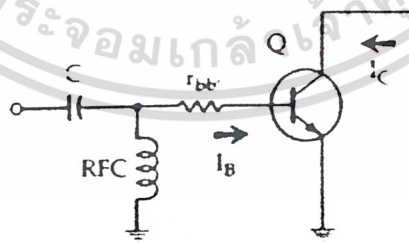


รูปที่ 2.27 การใช้โอปแอมป์ในการไบอัสของวงจรรขยายคลาสิค

ควรระวังในการเตรียมการ ไบอัสทั้ง 3 แบบเพื่อจะแน่ใจได้ว่า RFC คือ ไข้กที่ค่า  $\rho$  สำหรั้บการปฏิบัติงานที่คี่ที่สุด

2.4.4 วงจรรขยายแบบคลาสิค

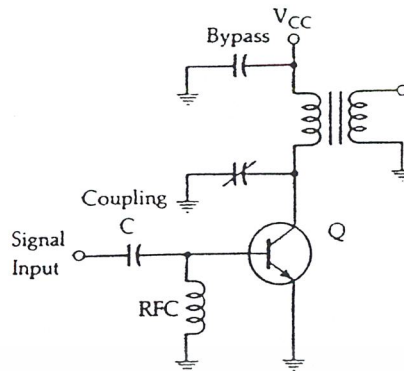
วงจรรขยายกำลังคลาสิค คือ วงจรที่ทรานซิสเตอร์มีมุมนำสัญญาณน้อยกว่า  $180^\circ$  ทรานซิสเตอร์ซึ่งถูกไบอัสภายใต้ภาวะคงที่และไม่มีกระแสไหลในขาคอลเลกเตอร์ ซึ่งเป็นทรานซิสเตอร์ที่ไม่มีตำแหน่งคัทออฟที่แน่นอน ความเป็นเชิงเส้นของวงจรรขยายคลาสิคคือจุดที่ค้อยที่สุดของวงจรรขยายชนิดต่างๆ โดยประสิทธิภาพของวงจรรขยายคลาสิคสามารถทำได้ถึง 85% ซึ่งคี่กว่าทั้งวงจรรขยายคลาสิคและคลาสิคเพื่อที่จะไบอัสทรานซิสเตอร์สำหรั้บการทำงานของคลาสิค รีเวอร์สไบอัส (Reverse Bias) คี่สิ่งที่จำเป็นระหว่างขาเบสและขาอีมีคเตอร์ การไบอัสภายนอกไม่ได้ถูกคี่องเสมอไป อย่งไรก็ตามเพราะว่ามันเป็นไปได้ในการบังคับให้ทรานซิสเตอร์ไบอัสตัวเอง คี่งแสดงคี่ในรูปที่ 2.28



รูปที่ 2.28 การไบอัสตัวเองของวงจรรขยายคลาสิค

ถ้าเบสของทรานซิสเตอร์ต่อลงกราวด์โดยผ่าน RFC กระแสเบสจะไหลผ่านความต้านทานภายใน ( $r_{bb}$ ) ซึ่งมีแนวโน้มที่จะรีเวอร์สไบอัสของรอยต่อ BE (BE junction) นี้เป็นผลที่ถูกต้องที่จะทำให้สำหรั้บแน่นอนว่ามันเป็นไปได้ที่จะเตรียมแหล่งกำเนิดไฟตรงภายนอกและการรีเวอร์สไบอัสที่รอยต่อ. แต่เป็นที่นำกังวลใจกับเวลาที่สูญเสียและความสิ้นเปลืองถ้าทรานซิสเตอร์จะให้ทุกสิ่งที่ต้องการ รูปที่ 2.29 แสดงการไบอัสวงจรรขยายคลาสิค

เอกสารนี้เป็นเอกสารที่สงวนไว้สำหรั้บการใช้งานเพื่อการศึกษาเท่านั้น ไม่อนุญาตให้นำไปใช้ประโยชน์ด้านการค้าไม่ว่ากรณีใดๆ ทั้งสิ้น อีกทั้งห้ามมิให้ดัดแปลงเนื้อหา และต้องอ้างอิงถึงเจ้าของเอกสารทุกครั้งที่มีการนำไปใช้



รูปที่ 2.29 วงจรแสดงการไบอัสตัวเองของวงจรขยายคลาสซี

#### 2.4.5 การออกแบบวงจรขยายกำลัง

##### ออฟติ멈คอลเลกเตอร์โหลดคริสตแตนซ์ (Optimum Collector Load Resistance)

การที่ไม่มีข้อมูลของความต้านทานเอาต์พุตที่ขาคอลเลกเตอร์ในคาต้าชีท กลายเป็นสิ่งจำเป็นสำหรับผู้ออกแบบเพื่อที่จะสามารถคำนวณได้ง่ายมากขึ้นในการหาค่าออฟติ멈โหลดคริสตแตนซ์ (optimum load resistance) สำหรับทรานซิสเตอร์ค่านี้ของโหลดคริสตแตนซ์ ขึ้นอยู่กับระดับกำลังงานของสัญญาณเอาต์พุตที่ต้องการ สามารถแสดงได้ดังนี้

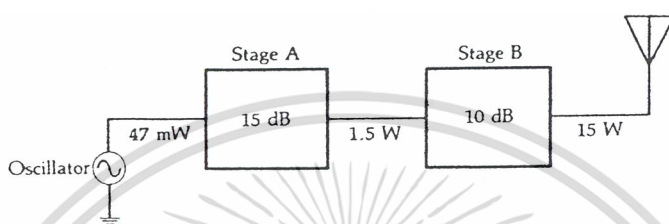
$$R_L = \frac{(V_{CC} - V_{sat})^2}{2P} \quad (2.96)$$

โดยที่  $V_{CC}$  = แหล่งกำเนิดแรงดัน  
 $V_{sat}$  = แรงดันอิ่มตัวของทรานซิสเตอร์  
 $P$  = ระดับกำลังงานเอาต์พุตที่ต้องการ

สังเกตได้ว่าสมการที่ 2.96 จะสามารถหาค่าได้แค่โหลดคริสตแตนซ์ (load resistance) เท่านั้นซึ่งมันไม่ได้แสดงค่าหลายอย่างเกี่ยวกับอัตราส่วนของค่ารีแอกทีฟของโหลด ซึ่งในคาต้าชีทผู้ผลิตจะจัดหาค่าของชัณฑ์เอาต์พุตคริสตแตนซ์ (shunt output resistance) ซึ่งตรงกันข้ามกับความถี่สำหรับทรานซิสเตอร์งานของผู้ออกแบบคือจัดหาโหลดสำหรับทรานซิสเตอร์ซึ่งสามารถซึมซับพาราซิติกคาปาซิแตนซ์ (parasitic capacitance) เพื่อว่าทรานซิสเตอร์จะสามารถทำงานได้เหมาะกับโหลดของมัน ฟังระลึกไว้เสมอว่าถ้าเอาต์พุตคริสตแตนซ์ไม่มีในคาต้าชีทการคำนวณ  $R_L$  จะสามารถทำได้ง่ายขึ้น โดยใช้สมการ (2.96) การคำนวณในครั้งนีทำให้เอาต์พุตแมตซ์เนตเวิร์กคือโหลด  $50\Omega$  ถูกเปลี่ยนไปในรูปอิมพีแดนซ์ที่ทรานซิสเตอร์จะสามารถมองเห็นได้ง่ายหากู้พาวเวอร์เอาต์พุต

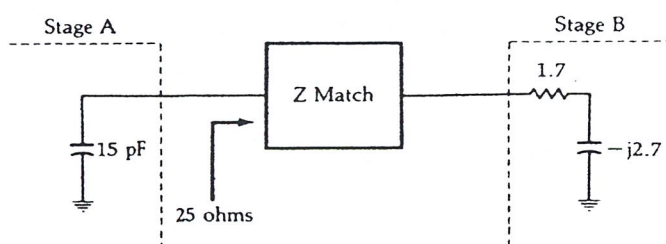
### วงจรขับกำลังและการแมตซิงหลายสเตจ (Driver Amplifier and Interstate Matching)

รูปแบบของการกระจายอัตราขยายสามารถแสดงได้ดังรูป 2.30 สังเกตได้ว่าระดับความต้องการของพาวเวอร์เอาต์พุตจากวงจรขยายอันดับสุดท้ายคือ 15 วัตต์ โดยทรานซิสเตอร์สเตจสุดท้ายถูกเลือกให้ปฏิบัติงานโดยมีอัตราขยาย 10 dB และ สเตจก่อนหน้านี้ทำการขยายกำลังได้ถึง 1.5 วัตต์ โดยทรานซิสเตอร์ทำการขยายได้ถึง 15 dB สัญญาณจากแหล่งกำเนิดซึ่งเป็นสิ่งจำเป็น ดังนั้นกำลังของสัญญาณ 47 มิลลิวัตต์นั้นเป็นความสามารถในการขับเคลื่อนกำลังจากภายในตัวออสซิลเลเตอร์เอง



รูปที่ 2.30 ระบบการขับสัญญาณในการส่งกำลัง 15 วัตต์

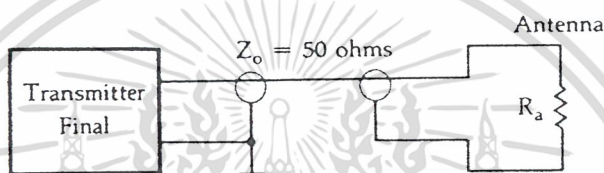
การตรวจสอบการแมตซิงกันระหว่างสเตจของสเตจเอและสเตจบี บ่อยครั้งที่เกี่ยวข้องกับวงจรขยายกำลังนั้นคือความไม่ชัดเจนหรือค่าอิมพีแดนซ์ที่ไม่แมตซิงกันซึ่งเกิดขึ้นระหว่างวงจรขยายกำลังและโหลดของวงจร อิมพีแดนซ์แมตซิงที่ถูกต้องสำหรับวงจรขยายซึ่งเกี่ยวกับโหลดของทรานซิสเตอร์โดยจะมีค่าคอนจูเกตที่ซับซ้อนของเอาต์พุตอิมพีแดนซ์ การออกแบบวงจรขยายกำลังนั้นเราสนใจในโหลดรีซิสแตนซ์ของทรานซิสเตอร์เพื่อที่จะกระจายอัตราขยายกำลังของแต่ละสเตจ นี่เป็นเรื่องที่ง่ายต่อการออกแบบซึ่งในรูปที่ 2.31 จะอธิบายตรงจุดนี้โดยสมมติว่าทรานซิสเตอร์ของสเตจบีมีอินพุตอิมพีแดนซ์ คือ  $Z = 1.7 - j2.7 \Omega$  และทำการสมมติสเตจเอด้วยเพื่อที่จะทำให้ได้กำลังขับ 1.5 วัตต์ซึ่งเป็นการต้องการของโหลดรีซิสแตนซ์  $25 \Omega$  บทบาทของอิมพีแดนซ์แมตซิงเน็ตเวิร์ก (Impedance matching network) นั่นคือการถ่ายโอนจากอินพุตอิมพีแดนซ์ระดับต่ำ (Low-input impedance) จากสเตจบีขึ้นไปยังระดับ  $25 \Omega$  ที่สเตจเอต้องการ นอกจากนี้การแมตซิงเน็ตเวิร์กต้องทำการเรโซแนนซ์กับเอาต์พุตคาปาซิแตนซ์ที่  $15 \text{ pF}$  ของสเตจเอ



รูปที่ 2.31 การต่ออิมพีแดนซ์แมตซิงเน็ตเวิร์ก

### การแมตซิ่งของสายโคแอกเซียล (Matching to coaxial feedlines)

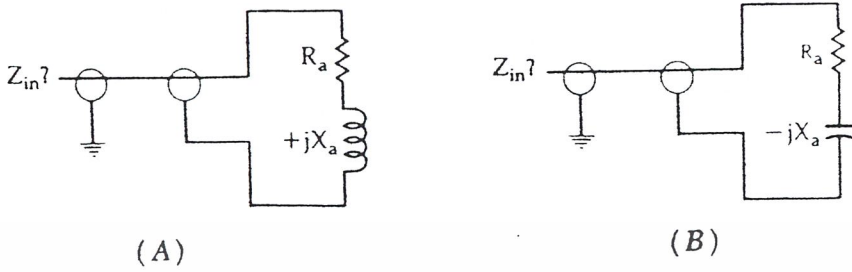
เนื่องจากวงจร  $T$  และ  $\mathcal{N}$  ใช้สำหรับการแมตซิ่งในสายโคแอกเซียลของวงจรขยายกำลัง ส่วนมากวงจรที่เป็นเช่นนี้จะมีจุดประสงค์ 2 ประการ โดยเฉพาะการประพุดิตัวเป็นวงจรรองความถี่ต่ำเพื่อทำการกดฮาร์โมนิกของทางด้านภาคส่ง รูปที่ 2.32 แสดงไดอะแกรมของการส่งผ่านสายโคแอกเซียลไปยังสายอากาศที่ความถี่เรโซแนนซ์ของสายอากาศ โดยความต้านทาน  $R_a$  คือ ความต้านทานในการแพร่กระจายคลื่นของสายอากาศ โดยที่ความยาวตามแนวตั้งของสายอากาศที่มีความยาว  $\lambda/4$  จะมีการทำงานที่ตรงข้ามกับกราวด์เพลนที่ดีมากซึ่งมีความต้านทานการแพร่กระจายคลื่นประมาณ  $35\Omega$  ขณะที่ความยาว  $\lambda/2$  ของโคโพลมีความต้านทานการแพร่กระจายคลื่นประมาณ  $70\Omega$  ณ ความถี่เรโซแนนซ์นี้คือความต้านทานอย่างง่ายที่สายโคแอกเซียลสามารถมองเห็นปลายสายอากาศได้



รูปที่ 2.32 ความต้านทานการแพร่กระจายสายอากาศที่เรโซแนนซ์

ณ ความถี่ที่เหนือและต่ำกว่าความถี่เรโซแนนซ์ของสายอากาศ ความต้านทานการแพร่กระจายคลื่นของมันเริ่มที่จะแสดงตัวเป็นอุปกรณรีแอกทีฟแสดงได้ดังรูป 2.33 ความถี่เหนือความถี่เรโซแนนซ์ (รูปที่ 2.33(A)) โดยสายอากาศประพุดิตัวเป็นอินดักทีฟ และความถี่ที่ต่ำกว่าความถี่เรโซแนนซ์ (รูปที่ 2.33(B)) สายอากาศประพุดิตัวเป็นตัวเก็บประจุ ที่ปลายทางด้านส่งของสายโคแอกเซียลอิมพีแดนซ์ซึ่งคือเอาต์พุตของทรานซิสเตอร์ที่สามารถพบได้อย่างแน่นอนซึ่งไม่เพียงแต่เป็นฟังก์ชันของความต้านทานการแพร่กระจายคลื่นของสายอากาศ แต่ยังเป็นฟังก์ชันของความยาวของสายโคแอกเซียลอิมพีแดนซ์ที่ยาวไปตามสายซึ่งเป็นขบวนการขอยคดลที่หลากหลายซึ่งสามารถกำจัดออกไปจากสายอากาศได้ ดังนั้นที่ระยะทางครึ่งหนึ่งของความยาวคลื่นวัดกลับมาจากสายอากาศอิมพีแดนซ์จะประพุดิตัวเป็นโคแอกเซียลซึ่งเสมือนเป็นความต้านทานของการแพร่กระจายคลื่นที่ระยะทางอื่น ๆ วัดจากสายอากาศ อย่างไรก็ตามโคแอกเซียลจะทำให้มีความแตกต่างของอินพุตอิมพีแดนซ์มากเพียงไรขึ้นอยู่กับระดับของความไม่เหมาะสมกันระหว่างสายอากาศและสายเคเบิล ดังนั้นเป็นการยากยิ่งในการประเมินค่าอินพุตอิมพีแดนซ์ที่แท้จริงของสายส่งโดยปราศจากการรู้ค่าอิมพีแดนซ์คุณลักษณะ กล่าวได้ว่าสายโคแอกเซียล  $50\Omega$  จะไม่เป็น  $50\Omega$  ที่อินพุตของมันถ้าไม่มีโหลดค่า  $50\Omega$  ที่ปลายสายเคเบิล ด้วยเหตุนี้จึงแทบจะไม่มีกรณีเมื่อการขับระบบสายอากาศในทางปฏิบัติ จึงไม่สะดวกมากนักในการออกแบบแมตซิ่งเนตเวิร์กโดยปราศจากการปรับเปลี่ยนค่า นอกจากนี้การติดตั้งสายอากาศจำนวนมากจะสามารถทำงานได้มากช่วงความถี่ ด้วยเหตุนี้เองความต้านทานการแพร่กระจายคลื่นของสายอากาศมิได้หลายค่าซึ่งแปรตาม

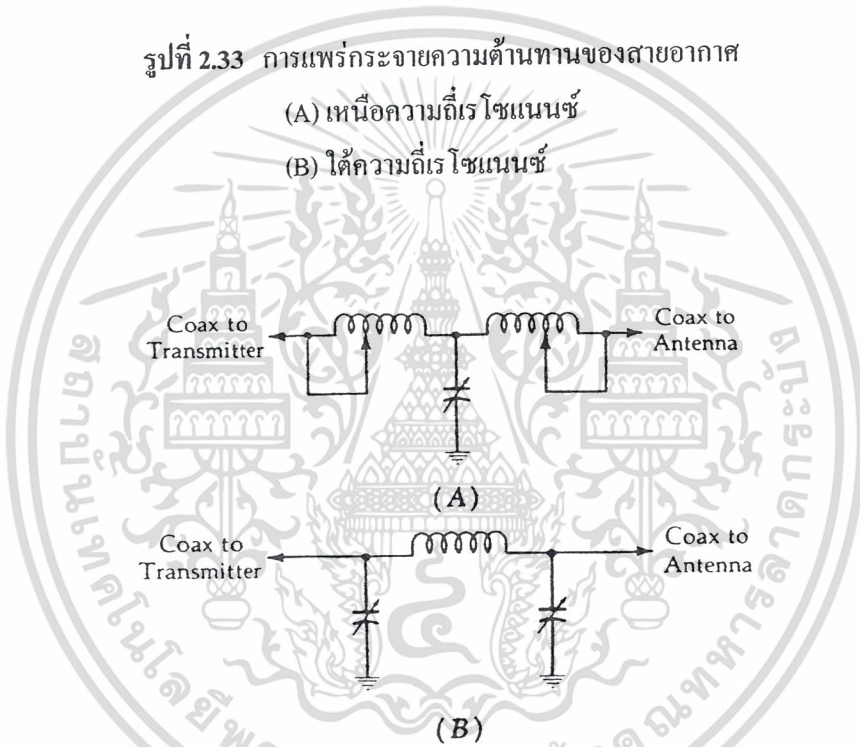
ความถี่อินพุตอิมพีแดนซ์ของสายเคเบิลต้องมีหลายค่าด้วยและการแมตชิงเนตเวิร์กต้องสามารถทดแทนค่าที่หลากหลายนี้ได้ด้วย



รูปที่ 2.33 การแพร่กระจายความต้านทานของสายอากาศ

(A) หนี้อิมพีแดนซ์เรโซแนนซ์

(B) ใต้ความถี่เรโซแนนซ์



รูปที่ 2.34 การเปลี่ยนแปลงค่าในสายโคแอกเซียลของแมตชิงเนตเวิร์ก

(A) เนตเวิร์กแบบที

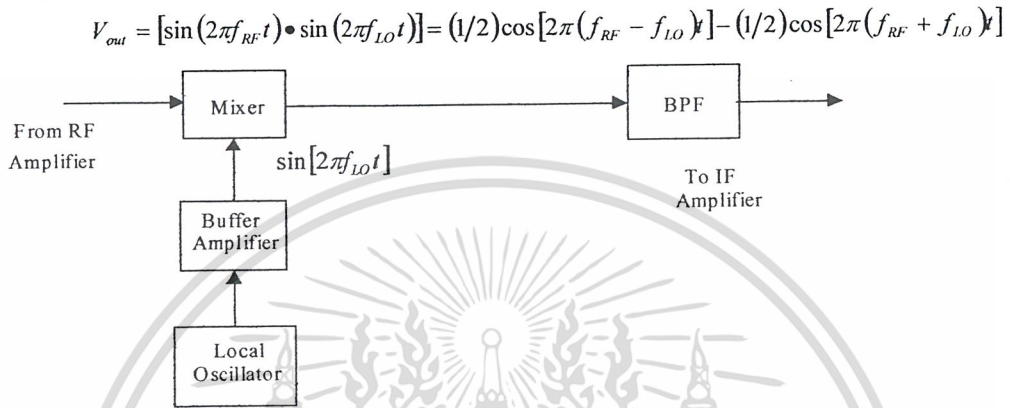
(B) เนตเวิร์กแบบพาย

รูปที่ 2.34 แสดงถึง 2 วิธีที่สามารถเป็นไปได้ของการปรับค่าอิมพีแดนซ์แมตชิงเนตเวิร์กสำหรับสายส่ง T เนตเวิร์กของรูปที่ 2.34(A) ใช้ทั้งขดลวดเหนี่ยวนำแบบแท็ปและตัวเก็บประจุที่สามารถปรับค่าได้ ส่วน  $\pi$  เนตเวิร์กในรูปที่ 2.34(B) ใช้เพียงตัวเก็บประจุแบบปรับค่าเท่านั้น สังเกตได้ว่าในทั้ง 2 กรณียังคงความถี่ถูกใช้เพื่อช่วยกดฮาร์โมนิกของสัญญาณที่ถูกส่ง จากรูปที่ 2.34 ถูกออกแบบเพื่อให้ฮาร์โมนิกของสัญญาณที่ถูกส่งต้องการให้มีระดับต่ำกว่าสัญญาณพื้นฐาน  $\approx 50\text{dB}$  และการออกแบบวงจรความถี่จะมีส่วนช่วยทำให้ได้คุณภาพที่ดีที่สุด

เอกสารนี้เป็นเอกสารที่สงวนไว้สำหรับใช้เพื่อการศึกษาเท่านั้น ไม่อนุญาตให้นำไปใช้ประโยชน์ด้านการค้าไม่ว่ากรณีใดๆ ทั้งสิ้น อีกทั้งห้ามมิให้ดัดแปลงเนื้อหา และต้องอ้างอิงถึงเจ้าของเอกสารทุกครั้งที่มีการนำไปใช้

2.5 วงจรมิกเซอร์

วงจรมิกเซอร์เป็นวงจรสำคัญที่นิยมใช้กันมากในวงจรเครื่องรับเครื่องส่งวิทยุ จุดประสงค์ของภาคมิกเซอร์นี้ใช้เพื่อทำการลดความถี่ลงมาจากความถี่วิทยุที่รับเข้ามาให้เป็นความถี่กลาง (Intermediate frequency)



รูปที่ 2.35 บล็อกไดอะแกรมหลักการทำงานของวงจรมิกเซอร์

หลักการทำงานของวงจรมิกเซอร์เป็นดังรูปที่ 2.35 สัญญาณ RF (Radio Frequency) จะถูกผสม (mix) เข้ากับสัญญาณ LO (Local Oscillator Frequency) ด้วยอุปกรณ์ที่ไม่เป็นเชิงเส้น จริงๆแล้ววงจรมิกเซอร์ก็คือวงจรขยายสัญญาณแบบไม่เชิงเส้น ทำงานคล้ายกับวงจรมอดูเลเตอร์เพียงแต่สัญญาณเอาต์พุตของวงจรบาลานซ์มิกเซอร์ที่ได้จะเป็นความถี่ผลต่างระหว่างความถี่ RF และความถี่ LO ซึ่งแสดงได้โดยสมการคณิตศาสตร์ดังนี้

$$V_{out} = (\sin 2\pi f_{RF}t)(\sin 2\pi f_{LO}t) \tag{2.97}$$

เมื่อ  $f_{RF}$  = ความถี่ของสัญญาณ RF (Hz)

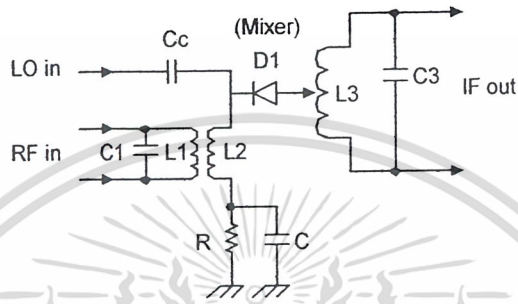
$f_{LO}$  = ความถี่ของสัญญาณ LO (Hz)

สามารถแปลงสมการโดยใช้ฟังก์ชันตรีโกณมิติ จะได้สัญญาณเอาต์พุตของมิกเซอร์เป็นดังนี้

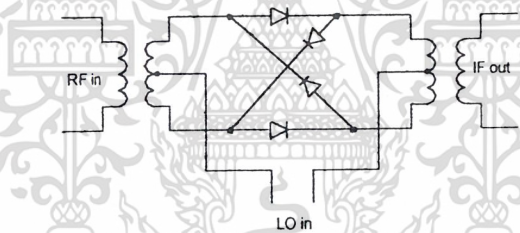
$$V_{out} = 1/2 \cos[2\pi(f_{RF} - f_{LO})t] - 1/2 \cos[2\pi(f_{RF} + f_{LO})t] \tag{2.98}$$

ค่า  $(f_{RF} - f_{LO})$  คือ ค่าความถี่ IF (Intermediate frequency) ออกแบบวงจรมิกเซอร์นิยมใช้ อุปกรณ์ไม่เชิงเส้น เช่นทรานซิสเตอร์หรือเฟตมากกว่าไดโอดเพราะวงจรแบบนี้จะสามารถขยายสัญญาณไปในตัวด้วย แต่วงจรมิกเซอร์แบบไดโอดสัญญาณเอาต์พุตจริงที่ได้จากวงจรมิกเซอร์เป็นความถี่แบบครอสโปรดักต์ (cross product) ซึ่งจะมีค่าความสูญเสียสุทธิ (net loss) ต่อสัญญาณเรียกว่า คอนเวอร์ชันลอส (conversion loss) เพราะเกิดการเปลี่ยนแปลงความถี่ขึ้นและในขณะเดียวกันแอมพลิจูด

ของสัญญาณ IF จะต่ำกว่าสัญญาณ RF โดยทั่วไปค่าคอนเวอร์ชันลอสจะมีค่าเท่ากับ 6 dB ตัวอย่างเช่น วงจรมิกเซอร์แบบ single-diode ดังในรูปที่ 2.36 วงจรมิกเซอร์อีกแบบหนึ่งที่นิยมใช้กันมากคือวงจรบาลานซ์ไดโอดมิกเซอร์ดังในรูปที่ 2.37 ซึ่งมีการใช้งานอย่างกว้างขวางในเครื่องรับ-ส่งแบบเอฟเอ็มและเอเอ็มบางที่อาจเรียกว่าบาลานซ์มอดูเลเตอร์ (balanced modulators) หรือโปรดักต์ดีเทกเตอร์ (product detector) เนื่องจากว่าวงจรบาลานซ์มิกเซอร์มี ข้อได้เปรียบกว่าวงจรมิกเซอร์ชนิดอื่นคือ ลดทอนสัญญาณรบกวน (noise reduction) และกำจัดคลื่นพาหะทิ้งไปได้ (carrier suppression)



รูปที่ 2.36 วงจรมิกเซอร์แบบ single - diode



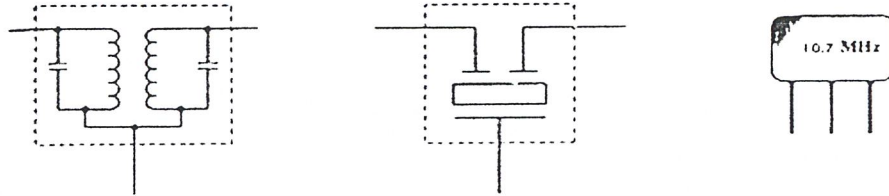
รูปที่ 2.37 วงจรบาลานซ์ไดโอดมิกเซอร์

2.6 เซรามิกฟิลเตอร์ (Ceramic Filter)

เซรามิกฟิลเตอร์เป็นอุปกรณ์ที่สร้างขึ้นมาสำหรับใช้แทนหม้อแปลงความถี่สูงซึ่งมีความถี่เฉพาะ เช่น หม้อแปลงความถี่กลางของเครื่องรับวิทยุและของเครื่องรับโทรทัศน์ เซรามิกฟิลเตอร์ทำจากสารพวกเพียโซอิเล็กทริกซึ่งจะมีค่าเรโซแนนซ์เฉพาะตัว เมื่อป้อนสัญญาณเข้าไปในเซรามิกฟิลเตอร์สัญญาณที่ผ่านได้คือความถี่ที่เรโซแนนซ์กับตัวมันเท่านั้น หากสัญญาณที่ป้อนเข้าไปมีความถี่ไม่ถูกต้องตามค่าเรโซแนนซ์ทางด้านเอาต์พุตจะไม่มีสัญญาณออกมา ตัวอย่างความถี่ของเซรามิกฟิลเตอร์เช่น 455 กิโลเฮิร์ตซ์สำหรับภาคความถี่กลางของเครื่องรับสัญญาณเอเอ็ม, ความถี่ 10.7 เมกะเฮิร์ตซ์ของเครื่องรับสัญญาณเอฟเอ็มและความถี่อื่นๆที่ใช้ในเครื่องรับสัญญาณโทรทัศน์ เช่น 5.5 เมกะเฮิร์ตซ์, 4.5 เมกะเฮิร์ตซ์, 38.9 เมกะเฮิร์ตซ์ เป็นต้น เซรามิกฟิลเตอร์มีขนาดเล็กสามารถใช้แทนหม้อแปลงที่เชื่อมโยงเฉพาะความถี่ได้โดยตรงทำให้สะดวกและประหยัดเวลาได้มาก เนื่องจากไม่ต้องถูกจูนหรือปรับแต่งความถี่แต่เซรามิกฟิลเตอร์เป็นอุปกรณ์พาสซีฟขยายสัญญาณไม่ได้ ดังนั้นสัญญาณที่ใส่เข้าไปจะสูญเสียภายในเซรามิกฟิลเตอร์ (insert loss) ไล่สัญญาณเอาต์พุตที่ออกมาจะถูกบั่นทอนลงไปประมาณ 30 เปอร์เซ็นต์ เซรามิก

เอกสารนี้เป็นเอกสารลิขสิทธิ์ของสถาบันวิจัยและพัฒนาเทคโนโลยีสารสนเทศภาคสื่อสาร (สวทช.) ไม่สามารถนำออกจำหน่ายหรือทำซ้ำโดยไม่ได้รับอนุญาต หากมีข้อผิดพลาดประการใดขออภัยเป็นอย่างสูง

ฟิลเตอร์แบบ 3 ขาใช้สำหรับส่งผ่านสัญญาณจะเรียกว่า ตัวคัปปลิงฟิลเตอร์ (coupling filter) อีกแบบหนึ่ง จะทำ 2 ขาเป็นตัวบายพาสฟิลเตอร์เพื่อการบายพาสความถี่ที่ไม่ต้องการทิ้ง



(A) หม้อแปลงเรโซแนนซ์ (B) สัญลักษณ์เซรามิกฟิลเตอร์ (C) รูปร่างเซรามิกฟิลเตอร์

รูปที่ 2.38 หม้อแปลงเรโซแนนซ์และเซรามิกฟิลเตอร์

2.7 วงจรคริสตอลออสซิลเลเตอร์ (Crystal Oscillator)

วงจรรออสซิลเลเตอร์แบ่งออกได้เป็นวงจรรออสซิลเลเตอร์คลื่นรูปซายน์และวงจรรออสซิลเลเตอร์ที่ไม่ใช่คลื่นรูปซายน์ เช่น รูปสี่เหลี่ยม พัลส์ เป็นต้น วงจรรออสซิลเลเตอร์คลื่นรูปซายน์ (Sine Wave Oscillator) จะให้กำเนิดสัญญาณคลื่นรูปซายน์ออกมาตลอดเวลาโดยมีขนาดและความถี่คงที่ ชนิดของการออสซิลเลเตอร์แบ่งได้จากอุปกรณ์ที่ใช้ ฉะนั้นวงจรรออสซิลเลเตอร์คลื่นรูปซายน์จะแบ่งได้เป็น

- 1) วงจรรออสซิลเลเตอร์ที่ใช้ LC
- 2) วงจรรออสซิลเลเตอร์ที่ใช้ CR
- 3) วงจรรออสซิลเลเตอร์ที่ใช้ก้อนผลึก (Crystal)

จากการแบ่งตามข้างบนนี้ ยังสามารถแบ่งออกไปเพื่อให้ชัดเจนยิ่งขึ้น ได้อีก ตามตารางที่ 2.2

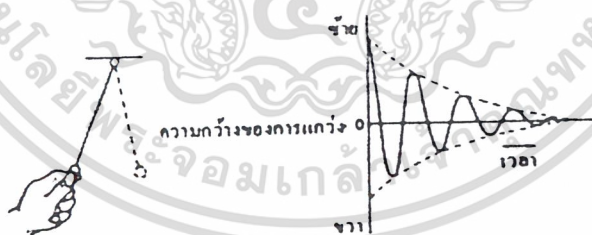
| องค์ประกอบของออสซิลเลเตอร์ | ชื่อของออสซิลเลเตอร์  | ลักษณะการใช้งาน   | การนำไปใช้งาน   |
|----------------------------|---|---|---|
| วงจรรออสซิลเลเตอร์แบบ LC   | <ol style="list-style-type: none"> <li>1. เลือกความถี่ที่คอลเลกเตอร์ (เดรน)</li> <li>2. เลือกความถี่ที่เบส (เกต)</li> <li>3. เลือกความถี่ที่อิมิตเตอร์</li> <li>4. ฮาร์ทเลย์</li> <li>5. โคลพิตคัส</li> </ol> | <ol style="list-style-type: none"> <li>1. ความถี่เปลี่ยนแปลงได้ง่าย</li> <li>2. โดยทั่วไปเสถียรภาพของความถี่ไม่ดี</li> <li>3. มักใช้กันโดยทั่วไป</li> <li>4. ใช้ในย่านความถี่สูง</li> </ol> | <ol style="list-style-type: none"> <li>1. ใช้ในเครื่องรับวิทยุที่วี เอฟเอ็ม ฯลฯ</li> <li>2. ใช้เป็นตัวออสซิลเลเตอร์ในการวัดทางด้านความถี่สูง</li> </ol> |
| องค์ประกอบของออสซิลเลเตอร์ | ชื่อของออสซิลเลเตอร์  | ลักษณะการใช้งาน   | การนำไปใช้งาน   |

|   |  |  |   |
|---|--|--|---|
| วงจร<br>ออสซิลเลเตอร์<br>แบบ CR         | 1. แบบเลื่อนเฟส<br>2. แบบเวนบริดจ์                                   | 1. ใช้ช่วงความถี่ต่ำ<br>2. ความถี่สามารถ<br>เปลี่ยนแปลงได้<br>3. เสถียรภาพของ<br>ความถี่ไม่ดี  | ใช้เป็นตัวออสซิลเล<br>เตอร์ในการวัดทางด้าน<br>ความถี่ต่ำ  |
| วงจร<br>ออสซิลเลเตอร์<br>แบบใช้ชิ้นผลึก | 1. ชิ้นผลึกต่อระหว่าง<br>B กับ E<br>2. ชิ้นผลึกต่อระหว่าง<br>C กับ B | 1. เสถียรภาพของ<br>ความถี่ดีเป็นพิเศษ :<br>$10^{-5}$ - $10^{-7}$ องศา<br>2. ใช้ในย่านความถี่สูง<br>3. การทำให้ความถี่<br>เปลี่ยนแปลงทำได้<br>ยาก | 1. ใช้ในเครื่องส่งวิทยุ<br>นาฬิกา เครื่องมือ<br>วัดต่างๆ ฯลฯ<br>2. เมื่อนำมาใช้ร่วมกับ<br>วงจรเฟสล็อกคูลูป<br>(PLL) จะนำมาใช้<br>งานได้อย่างกว้าง<br>ขวาง |

ตารางที่ 2.2 วงจรออสซิลเลเตอร์แบบคลื่นรูปไซน์

### 2.7.1 หลักการเบื้องต้นของการออสซิลเลต

#### 1. กระแสที่ช่วยให้เกิดการออสซิลเลตอย่างต่อเนื่อง

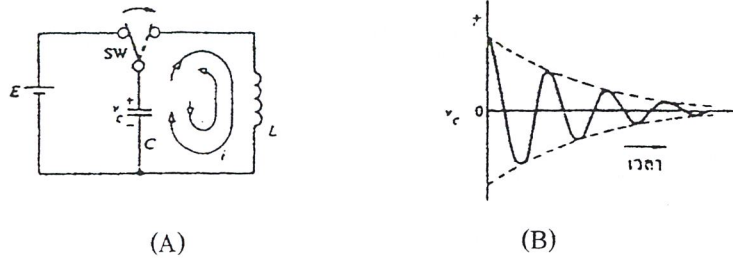


(A) ลูกตุ้มนาฬิกา (B) การออสซิลเลตแบบแอมป์ (damped oscillation)

รูปที่ 2.39 แสดงการออสซิลเลตทางกล

ตามรูปที่ 2.39(A) เมื่อลูกตุ้มนาฬิกาถูกปล่อยจากมือก็จะเกิดการแกว่งหรือออสซิลเลตด้วยค่าคงที่ ดังรูปที่ 2.39(B) แต่ต่อมาจากหรือระยะทางของการแกว่งจะลดลงเรื่อยๆจนกระทั่งหยุดลงเนื่องจาก ผลของการต้านของอากาศและความฝืดของจุดที่ยึดลูกตุ้มนาฬิกาไว้ ด้วยลักษณะแนวความถี่นี้สามารถนำมาใช้กับวงจรไฟฟ้าดังรูปที่ 2.39 ได้เหมือนกัน

เอกสารนี้เป็นเอกสารที่สงวนลิขสิทธิ์ไว้เพื่อการศึกษาเท่านั้น ไม่อนุญาตให้นำไปใช้ประโยชน์ด้านการค้า ไม่ว่ากรณีใดๆ ทั้งสิ้น อีกทั้งห้ามมิให้ดัดแปลงเนื้อหา และต้องอ้างอิงถึงเจ้าของเอกสารทุกครั้งที่มีการนำไปใช้

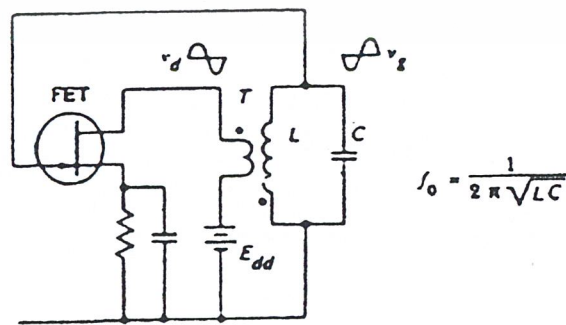


รูปที่ 2.40 แสดงการเกิดออสซิลเลตทางด้านวงจรไฟฟ้า

จากรูปที่ 2.40 (A) ถ้าสวิตช์ถูกเลื่อนออกมาด้านขวาหลังที่ทำการประจุตัวที่เก็บประจุ  $C$  เต็มแล้ว กระแส  $i$  จะเริ่มไหลออกจากตัวเก็บประจุผ่าน ไปยังขดลวด  $L$  แต่เนื่องจากขดลวดมีคุณสมบัติของการเฉื่อย หรือไม่สามารถที่จะเปลี่ยนแปลงอย่างทันทีทันใดคั้งนั้นเมื่อกระแสที่ไหลจากตัวเก็บประจุ  $C$  ไปยังขดลวด  $L$  หหมดแล้ว (คายประจุจนเป็นศูนย์) ก็เกิดกระแสไหลย้อนกลับทางกับทิศทางแรกเข้าที่การประจุตัวเก็บประจุอีกกลับไปกลับมาเช่นนี้ สภาวะการไหลของกระแสออสซิลเลตจะเป็นคั้งที่กล่าวมาแล้วข้างต้นเนื่องจากผลของความต้านทาน  $R$  ภายในวงจรทำให้เกิดการสูญเสียกำลังงานไปเป็น  $i^2 R$  นั้นหมายความว่า การออสซิลเลตจะถูกลดทอนลง ค่าศักดาที่ตกคร่อมตัวเก็บประจุ  $C$  จะสามารถเขียนมาเป็นกราฟได้คั้งรูปที่ 2.40(B) ซึ่งเหมือนกับกรออสซิลเลตทางกล (โดยที่เฟสของศักดาจะตามกระแสอยู่ 90 องศา)

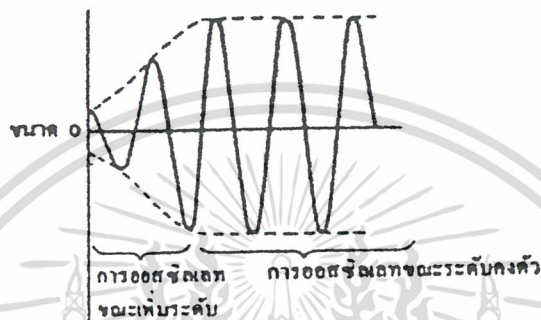
การออสซิลเลตในลักษณะที่ได้กล่าวมาแล้วนี้ เรียกว่า การออสซิลเลตแบบแฉมป์ (damped oscillation) เพื่อที่จะช่วยให้การออสซิลเลตเป็นไปอย่างต่อเนื่องจะต้องใส่กำลังเข้าไปในระบบมีค่าเท่ากับกำลังที่สูญเสียไปหรือกล่าวได้ว่า ลูกคัมมนาฬิกาจะต้องถูกผลักเล็กน้อยเมื่อเคลื่อนที่ไปจนถึงด้านซ้ายสุดของการแกว่ง ในกรณีของการออสซิลเลตทางไฟฟ้าสวิตช์จะต้องถูกผลักกลับมาทางด้านซ้ายมือทันทีที่ค่าศักดา  $V_C$  มีค่าสูงสุด เพื่อที่จะรับค่ากำลังทางด้านไฟฟ้าจากแหล่งจ่ายไฟแล้วทำการผลักลับตำแหน่งเดิม

โดยอาศัยหลักการออสซิลเลตทางกลมาทำความเข้าใจกับการออสซิลเลตทางไฟฟ้าลองมาพิจารณาจากวงจรจริง คั้งรูป 2.41



รูปที่ 2.41 วงจรออสซิลเลเตอร์แบบเลือกความถี่จากเกต

เมื่อเริ่มจ่ายไฟให้กับวงจรจะทำให้เกิดการกระชากของศักดาขึ้นยังผลให้เกิดกระแสอสซิลเลตอ่อนๆ ขึ้นในวงจร  $LC$  และเกิดศักดา  $V_g$  ขึ้นด้วยค่าศักดา  $V_g$  จะถูกขยายโดยเฟด ผลที่ได้ถูกป้อนไปยังขั้วป้อนภูมิของทรานฟอเมอร์มีค่าเป็น  $V_d$  (แหล่งจ่ายไฟตรงขนาดเมื่อคิกในแง่ของไฟสลับแล้วให้มีค่าเป็น  $V_d$ ) โดยผลอันนี้จะทำให้กำลังงานที่ป้อนไปให้วงจรเกิดอสซิลเลตได้ ขนาดของการอสซิลเลตจะเพิ่มขึ้นดังรูปที่ 2.42 และการอสซิลเลตในลักษณะแรกนี้เรียกว่า “การอสซิลเลตช่วงเริ่มแรก” หลังจากผ่านช่วงนี้ไปขนาดของสัญญาณจะเริ่มคงที่สภาวะนี้เรียกว่าการอสซิลเลตแบบต่อเนื่อง



รูปที่ 2.42 การอสซิลเลตในช่วงเริ่มแรกและการอสซิลเลตแบบต่อเนื่อง

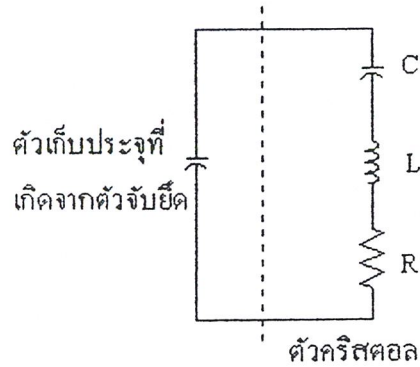
การอสซิลเลตตามที่ได้อธิบายมานี้กระแสที่ช่วยทำให้เกิดการอสซิลเลตอย่างต่อเนื่องได้รับมาจากกำลังงานที่จ่ายออกมาโดยแหล่งจ่ายไฟเลี้ยงวงจร

### 2.7.2 วงจรออสซิลเลเตอร์ใช้ผลึกควอตซ์หรือคริสตอล (Crystal Oscillator)

ในวงจรเครื่องส่งส่วนใหญ่ที่ต้องการให้เสถียรภาพทางความถี่ของเครื่องส่งมีความถี่สูงหรือความถี่ต่ำคงที่ตลอดเวลาเพื่อให้เครื่องรับสามารถจูนรับสถานีได้ถูกต้องและคลอคไป วงจรออสซิลเลเตอร์ที่ให้คุณสมบัติเด่นในเรื่องเสถียรภาพทางความถี่ได้แก่ วงจรคริสตอลออสซิลเลเตอร์ นอกจากนี้วงจรคริสตอลออสซิลเลเตอร์ยังใช้เป็นตัวสร้างสัญญาณที่มีความถี่มาตรฐานไว้สำหรับตรวจสอบเครื่องมือบางชนิดและยังใช้เป็นตัวสร้างแรงดันมาตรฐานใช้กับอุปกรณ์ที่ต้องการความเที่ยงตรง เช่น นาฬิกาอิเล็กทรอนิกส์

คริสตอลที่ใช้งานอยู่ทั่วไปทำมาจากผลึกควอตซ์เมื่อมีแรงดันตกคร่อมผลึกควอตซ์ ผลึกควอตซ์ก็จะเกิดการสั่นความถี่ที่สั่นได้จะมีค่าเกือบคงที่ซึ่งขึ้นอยู่กับความหนาของผลึกนั้น ความถี่ที่เกิดขึ้นจะยังคงเปลี่ยนแปลงได้อีกเล็กน้อยเนื่องจากอุณหภูมิ

โดยหลักการแล้วลักษณะสมบัติของคริสตอลมีลักษณะคล้ายคลึงกับวงจรเรโซแนนซ์ที่ สามารถเขียนวงจรสมมูลได้ดังรูป 2.43



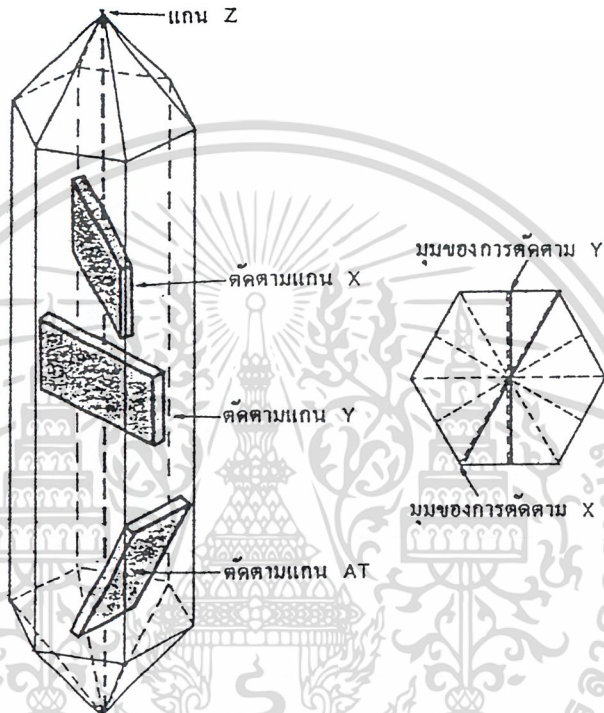
รูปที่ 2.43 วงจรสมมูลของผลึกคริสตอล

คริสตอลเป็นเพียงผลึกของควออร์ตซ์ที่ยังต้องอาศัยตัวจับยึดเข้ากับกระป๋องโลหะดังนั้นในส่วน  
ของตัวจับยึดคริสตอลจึงเกิดมีลักษณะเหมือนเป็นตัวเก็บประจุที่ขนานอยู่อีก 1 ตัว ดังวงจรสมมูลรูปที่  
2.43 แต่เนื่องจากตัวเก็บประจุในตัวผลึกของคริสตอลที่ต่ออนุกรมกับตัวเหนี่ยวนำมีค่าต่ำดังนั้นตัวเก็บ  
ประจุที่ต่อขนานอยู่ภายนอกจึงมีอิทธิพลต่อการตอบสนองของสัญญาณน้อยมากและในขณะเรโซแนนซ์  
นั้นส่วนของวงจรเรโซแนนซ์แบบอนุกรมและแบบขนานเกือบจะทำให้ความถี่เรโซแนนซ์เป็นความถี่เดียว  
กันผลึกควออร์ตซ์นี้เป็นวัสดุจำพวกซิงเกิลคริสตัลไดออกไซด์ที่มีลักษณะเหมือนแก้วในส่วนของผลึกจะมีรูปร่าง  
เป็น 6 ด้านเหมือนปริซึมโดยผลึกควออร์ตซ์ที่ใช้งานจะได้รับการตัดด้วยลักษณะของแกน 3 แกน ดังแสดง  
ในรูป 2.44

แกน X เป็นแกนที่ลากระหว่างมุมสองมุมของแท่งปริซึม ส่วนแกน Y จะเป็นแกนที่ลากตั้งฉาก  
กับผิวหน้าของตัวคริสตอลนั่นคือถ้าหากตัดคริสตอลตามแนวผลึกจากมุมหนึ่ง ไปยังอีกมุมหนึ่งที่อยู่ตรง  
ข้ามก็เรียกว่าการตัดแบบ X (X-cut) ซึ่งผลของการตัดแบบนี้จะทำให้ความถี่ที่ได้เปลี่ยนแปลงกับอุณหภูมิ  
ในลักษณะที่อุณหภูมิสูงขึ้นค่าความถี่จะลดลงแต่ถ้าตัดในแนวแกน Y ก็จะเป็นผลทำให้ความถี่ของการสั่น  
สูงขึ้นเมื่ออุณหภูมิสูงขึ้น จะเห็นได้ว่าไม่ว่าจะตัดในแกน X หรือ Y จะเป็นผลทำให้ความถี่ของการสั่น  
ของคริสตอล ขณะเรโซแนนซ์เปลี่ยนแปลงกับอุณหภูมิได้มากดังนั้นเราจึงต้องหาทางตัดแกนใดแกนหนึ่ง  
เพื่อให้ผลการเปลี่ยนแปลงกับอุณหภูมิน้อยที่สุดหรือแทบจะกล่าวได้ว่ามันไม่มีผลเลย แกนที่ใช้ในการตัด  
คือแกน AT ดังแสดงไว้ในรูปที่ 2.44 เราอาจจะตัดคริสตอลให้อยู่ในแกนอื่นๆก็ได้ ในแต่ละระนาบของ  
การตัดจะให้ผลการเปลี่ยนแปลงช่วงความถี่ต่ออุณหภูมิตลอดจนความถี่ฮาร์โมนิกที่ใช้งานแตกต่างกัน  
ส่วนความหนาของแผ่นคริสตอลจะเป็นตัวกำหนดความถี่ของการเรโซแนนซ์ถ้าแผ่นคริสตอลยิ่งบางก็  
หมายความว่าความถี่ของการเรโซแนนซ์มีค่าสูงขึ้น แผ่นคริสตอลที่ทำความถี่ได้สูงประมาณ  
15 เมกะเฮิรตซ์ไม่เกิน 50 เมกะเฮิรตซ์แต่ถ้าต้องการความถี่สูงกว่านี้ก็มักใช้ฮาร์โมนิกของสัญญาณนั่นเอง  
อุปกรณ์จำพวกคริสตอลเป็นอุปกรณ์ที่ค่อนข้างจะบอบบาง ดังนั้นคริสตอลจึงต้องทำงานที่ระดับพลังงาน  
ต่ำๆ หรือใช้งานเป็นตัวกระตุ้นในขณะที่ป้อนกลับระหว่างอินพุตกับเอาต์พุตจะต้องไม่ให้ระดับแรงดันตก  
คร่อมตัวมันมากเกินไป ซึ่งจะทำให้คริสตอลทำงานผิดความถี่และเกิดความร้อนกับตัวมันสูงสุดจนมันเสีย  
หายได้ จากที่กล่าวแล้วที่เราใช้คริสตอลกระตุ้นวงจรออสซิลเลเตอร์ก็เพื่อเหตุผลในเรื่องต้องการให้ได้

เอกสารนี้เป็นเอกสารที่สงวนไว้สำหรับการใช้งานเพื่อการศึกษาเท่านั้น ไม่ควรเผยแพร่ไปโดยไม่ได้รับอนุญาตจากเจ้าของลิขสิทธิ์  
ความถี่ที่มีเสถียรภาพสูง ค่าเสถียรภาพของวงจรออสซิลเลเตอร์สามารถหาได้จากการกำหนดค่า  $Q$  ของ  
ไม่ว่ากรณีใดๆ ทั้งสิ้น อีกทั้งห้ามมิให้ดัดแปลงเนื้อหา และต้องอ้างอิงถึงเจ้าของเอกสารทุกครั้งที่มีการนำไปใช้

ตัวคริสตอลและสัมประสิทธิ์การผันแปรทางความถี่กับอุณหภูมิ ค่า  $Q$  ของคริสตอลมักมีค่าสูงกว่าค่า  $Q$  ของวงจรจูนที่ประกอบด้วย  $RLC$  ถึง 100 เท่า 1000 เท่า คริสตอลที่มีขายกันในปัจจุบันมีค่า  $Q$  ประมาณ 5000 ถึง 30000 เราจึงพอจะเห็นแล้วว่าวงจรออสซิลเลเตอร์ที่ใช้คริสตอลจึงมีเสถียรภาพทางความถี่สูงกว่าวงจร  $LC$  ออสซิลเลเตอร์มาก



รูปที่ 2.44 แสดงผลึกควออร์ตซ์และการตัดผลึก

### 2.7.3 การออกแบบวงจรคริสตอลออสซิลเลเตอร์

คุณลักษณะของวงจรคริสตอลออสซิลเลเตอร์มีดังนี้

1. คุณสมบัติการเป็นวงจรแบบเชิงเส้น (linear property) ช่วยในการควบคุมค่าอัตราขยายของสัญญาณ (gain) และเฟสชิฟต์ของสัญญาณ (phase shift)
2. คุณสมบัติทางโอเวอร์โหลด (overload property) ช่วยในการควบคุมรูปร่างและขนาดแอมพลิจูดของสัญญาณที่ผลิตได้

สาเหตุที่มีวงจรคริสตอลออสซิลเลเตอร์หลายชนิดเนื่องจากการออกแบบวงจรมันขึ้นอยู่กับการเปลี่ยนแปลงค่าความต้านทานภายในของคริสตอล ซึ่งจะทำได้ความถี่ในช่วงกว้าง

ความถี่ของสัญญาณที่จะออสซิลเลตได้นั้นจะแปรค่าตามความต้านทานภายในของคริสตอล

การที่จะขับคริสตอลให้สามารถทำงานได้นั้นต้องทำให้ระดับอิมพีแดนซ์ของวงจรแมตช์กับค่า

เอกสารความต้านทานซึ่งค่อนุกรมอยู่ภายในคริสตอล ( $R_S$ ) ศึกษานั่น ไม่อนุญาตให้นำไปใช้ประโยชน์ด้านการค้า  
ไม่ว่ากรณีใดๆ ทั้งสิ้น อีกทั้งห้ามมิให้ดัดแปลงเนื้อหา และต้องอ้างอิงถึงเจ้าของเอกสารทุกครั้งที่มีการนำไปใช้

อย่างไรก็ตาม ไม่ว่าค่าความต้านทานภายในของคริสตอลจะมีค่าเท่าไรแต่ระดับอิมพีแดนซ์ของวงจรจะต้องเปลี่ยนแปลงตามให้แมตช์กันอย่างเหมาะสม ซึ่งขึ้นอยู่กับวงจรมันๆ คิวว่าสามารถทำงานได้ดีที่สุดในช่วงความถี่ใดเนื่องจากวงจรออสซิลเลเตอร์นั้นไม่มีรูปแบบที่แน่นอน

#### 2.7.4 ชนิดของวงจรออสซิลเลเตอร์ที่ใช้ควอตซ์คริสตอล

แบ่งได้ 3 ชนิดใหญ่ๆ ดังนี้

1. แบบพื้นฐาน ใช้ที่ความถี่ไม่เกิน 20 เมกะเฮิร์ตซ์ เช่น วงจรแบบ Pierce และค่า  $Q$  ในวงจรจะมีค่าเท่ากับ 90 % ของค่า  $Q$  ภายในของออสซิลเลเตอร์
2. แบบฮาร์โมนิก ใช้ในช่วงความถี่ 20 – 100 เมกะเฮิร์ตซ์ ประกอบด้วยวงจรแท่ง LC หรือเป็นระบบที่ใช้  $L$  และ  $C$  ในการเลือกฮาร์โมนิกที่ต้องการ โดยมีการใช้วงจรอิมิตเตอร์คัปเปิลเลอร์ฮาร์โมนิก (Emitter-coupled Harmonic) คือมีเสถียรภาพทางความถี่แบบช็อคเทอม (short-term) ดีที่สุด คือมีการรบกวนทางเฟส (phase noise) ต่ำที่สุดและค่า  $Q$  ในวงจรจะมีค่าเท่ากับ 80% ของค่า  $Q$  ภายในคริสตอล เงื่อนไขของวงจรแบบที่ 1 และ 2 คือต้องการส่วนประกอบของอุปกรณ์ที่เสถียรในระบบการเลื่อนเฟส (phase shift)
3. แบบบริดจ์ ใช้ในช่วงความถี่มากกว่า 100 เมกะเฮิร์ตซ์ เป็นวงจรที่มีความซับซ้อนมากกว่าสองแบบแรก แต่เป็นวงจรที่จะทำให้ได้ค่า  $Q$  ในวงจรมากกว่าค่า  $Q$  ภายในของคริสตอล มีหลักการคือการใช้การป้อนกลับแบบลบ เพื่อไปหักล้างกับส่วนของค่าความต้านทานภายในของคริสตอล โดยคิดค่า  $L$  และ  $C$  ภายในของคริสตอลด้วย มีลักษณะคือจะช่วยให้เสถียรภาพทางความถี่แบบช็อคเทอมสูงขึ้น ใช้วงจรบัฟเฟอร์ฟอลโลเวอร์ (Butler-follower)
 

เกณฑ์ที่ใช้ในการพิจารณาเลือกวงจรที่เราจะใช้ ประกอบด้วย

1. ค่าความถี่ที่เราต้องการในการออสซิลเลต
2. ค่า  $R_S$  ของคริสตอลที่เราใช้
3. ความเหมาะสมในด้านราคา
4. ปัญหาเนื่องจากความยุ่งยากซับซ้อนของวงจร

#### 2.8 ควอดราเจอร์ดีเทกชัน (Quadrature Detection)

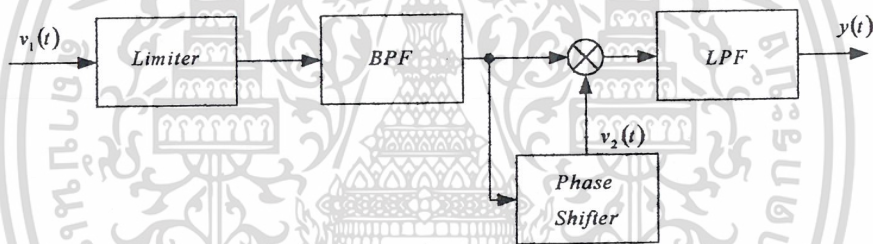
การคิมอคูเลตสัญญาณเอเฟเอ็มแบบควอดราเจอร์ดีเทกชันเป็นการใช้การแยกแยะเฟส (Phase discriminator) ในการคิงเอาสัญญาณเบสแบนด์ออกมาจากสัญญาณเอเฟเอ็ม ดังนั้นจึงต้องกล่าวถึงหลักการของวงจรแยกแยะเฟสเสียก่อนดังต่อไปนี้ วงจรแยกแยะเฟสจะอาศัยหลักการพื้นฐานของการดิฟเฟอเรนเชียล (differentiate) กล่าวคือแสดงการดิฟเฟอเรนเชียลให้อยู่ในรูปของการประมาณค่าดังนี้

$$\frac{d}{dt} \phi(t) = \frac{1}{\tau} [\phi(t) - \phi(t - \tau)] \quad (2.99)$$

ในกรณีของสัญญาณเอพเอ็มนั้น เนื่องจาก  $\phi(t) = k \int_{-\infty}^t m(t) dt$  ดังนั้นจะสามารถผูกพันสมการ (2.99) กับสัญญาณเบสแบนด์  $m(t)$  ได้ในรูปต่อไปนี้

$$[\phi(t) - \phi(t - \tau)] = \tau \frac{d}{dt} \phi(t) = k m(t) \quad (2.100)$$

นั่นคือสามารถสร้าง  $\phi(t - \tau)$  และสร้างวงจรที่จะให้ผลต่างระหว่าง  $\phi(t)$  และ  $\phi(t - \tau)$  สัญญาณขาออกที่ได้ก็จะแปรตรงกับสัญญาณเบสแบนด์  $m(t)$  การสร้างสัญญาณ  $\phi(t - \tau)$  จากสัญญาณเอพเอ็มก็ทำได้โดยใช้วงจรหน่วงเวลาหรือวงจรเลื่อนเฟสแบบเชิงเส้น (Linear phase shifter) นั้นเอง สำหรับการสร้างสัญญาณ  $\phi(t) - \phi(t - \tau)$  นั้นจะทำได้โดยนำสัญญาณเอพเอ็มเดิมกับสัญญาณเอพเอ็มที่ถูกหน่วงเวลามาเข้าวงจรคูณแล้วกรองด้วยวงจรกรองความถี่ต่ำผ่าน รูปที่ 2.45 แสดงบล็อกไดอะแกรมของกระบวนการที่กล่าวมานี้ วงจรลิมิตเตอร์และวงจรกรองความถี่เฉพาะผ่านมีไว้จัดการกับระดับสัญญาณที่อาจจะเปลี่ยนแปลงตามเวลาและให้ผ่านเฉพาะแถบความถี่ที่เกี่ยวข้องตามลำดับ



รูปที่ 2.45 บล็อกไดอะแกรมของระบบควอดราเจอร์ดีเทกชัน

ควอดราเจอร์ดีเทกชันนั้นเป็นชื่อเรียกระบบดีเทกชันข้างต้นที่ค้างการหน่วงเวลาของวงจรหน่วงเวลาให้มีค่า  $\tau$  ที่ทำให้  $\omega_c \tau = \pi/2$  ดังนั้นถ้าให้สัญญาณเอพเอ็มที่เข้ามาเขียนได้เป็น  $v_1(t) = \cos(\omega_c t + \phi(t))$  สัญญาณที่ผ่านวงจรหน่วงเวลาที่จะเขียนได้เป็น

$$v_2(t) = \cos[\omega_c(t - \tau) + \phi(t - \tau)] = \sin[\omega_c t + \phi(t - \tau)] \quad (2.101)$$

เมื่อคูณสัญญาณ  $v_1(t)$  และ  $v_2(t)$  ด้วยวงจรคูณแล้วผ่านวงจรกรองความถี่ต่ำผ่าน ผลที่ได้ออกมาก็จะเขียนได้เป็น

$$y(t) \approx \sin[\phi(t) - \phi(t - \tau)] \quad (2.102)$$

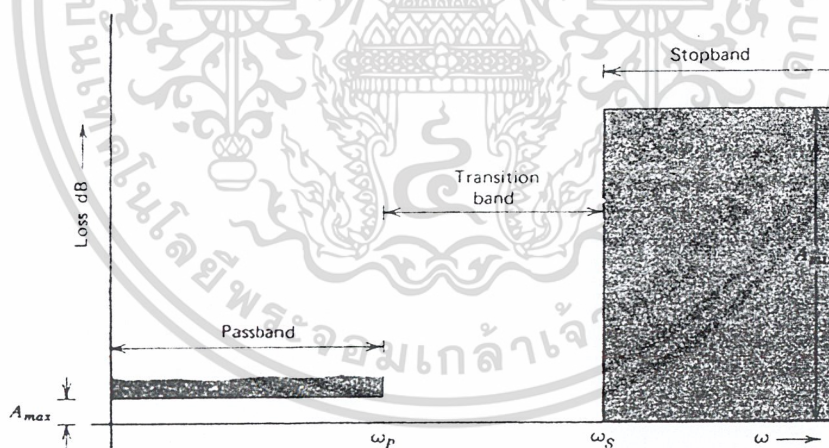
และเนื่องจาก  $\tau$  มีค่าเล็กมากทำให้  $\phi(t) - \phi(t - \tau) \ll \pi$  เราจึงสามารถประมาณค่าสมการ(2.102) เป็นดังนี้

$$y(t) \approx [\phi(t) - \phi(t - \tau)] = k\tau m(t) \quad (2.103)$$

จะเห็นได้ว่าสามารถแยกสัญญาณข้อมูลออกมาได้ด้วยวิธีแยกแยะเฟสนี้

## 2.9 วงจรกรองความถี่ต่ำผ่าน (Low Pass Filter)

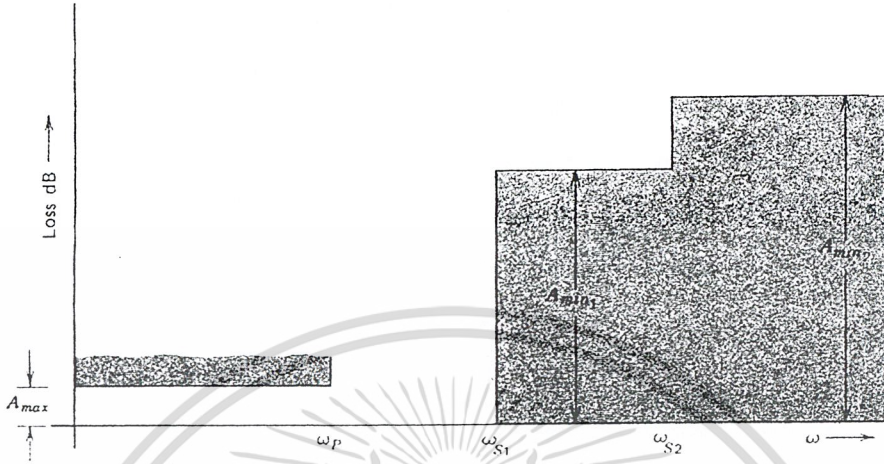
ฟังก์ชันพื้นฐานของวงจรกรองความถี่ต่ำผ่าน (Low Pass Filter: LPF) คือยอมให้ความถี่ต่ำผ่านไป โดยมีการสูญเสียน้อยที่สุดและลดทอนที่ความถี่สูง ลักษณะวงจรกรองความถี่ต่ำผ่านแสดงได้ดังรูป 2.46 คุณลักษณะของวงจรกรองความถี่ที่ต้องการอยู่ในบริเวณพื้นที่แรเงา วงจรกรองความถี่ต่ำต้องการให้สัญญาณผ่านได้ตั้งแต่สัญญาณไฟตรงจนถึงความถี่คutoff ( $\omega_p$ ) ซึ่งเป็นช่วงที่มีค่าการลดทอนเป็น  $A_{max}$  dB ช่วงของความถี่ตั้งแต่สัญญาณไฟตรงจนถึง  $\omega_p$  ถูกเรียกว่า “ช่วงผ่าน (pass band)” ส่วนความถี่ที่สูงกว่า  $\omega_p$  ซึ่งมีการลดทอนเป็น  $A_{min}$  dB ช่วงของความถี่ตั้งแต่  $\omega_s$  จนถึงอนันต์ถูกเรียกว่า “ช่วงหยุด (stop band)” และ  $\omega_s$  เป็นตำแหน่งขอบของความถี่ช่วงหยุด  $\omega_p$  จนถึง  $\omega_s$  ถูกเรียกว่า “ช่วงการส่งผ่าน (transition band)” ทั้ง 4 พารามิเตอร์คือ  $\omega_p$ ,  $\omega_s$ ,  $A_{min}$  และ  $A_{max}$  เป็นตัวบอกลักษณะวงจรกรองความถี่ต่ำผ่านดังรูปที่ 2.46



รูปที่ 2.46 วงจรกรองความถี่ต่ำที่ต้องการ

คุณลักษณะโดยทั่วไปของช่วงหยุดกล่าวได้ว่าเป็น ปริมาณที่มีค่าแตกต่างกันของการลดทอนในช่วงหยุดแสดงดังรูป 2.47 ในที่นี้การลดทอนจาก  $\omega_{s1}$  ถึง  $\omega_{s2}$  คือ  $A_{min1}$  ขณะที่การลดทอนจาก  $\omega_{s2}$  ถึงอนันต์คือ  $A_{min2}$  โดยส่วนมากการนำไปใช้จะใช้ช่วงผ่านที่มีระดับเดียว ฟังก์ชันอัตราขยายอันดับที่ 2 ซึ่งกล่าวถึงคุณลักษณะของวงจรกรองความถี่ต่ำดังนี้

$$Gain = \frac{V_o}{V_{in}} = \frac{b}{S^2 + aS + b} = \frac{\omega_p^2}{S^2 + \frac{\omega_p}{Q_p} S + \omega_p^2} \tag{2.104}$$

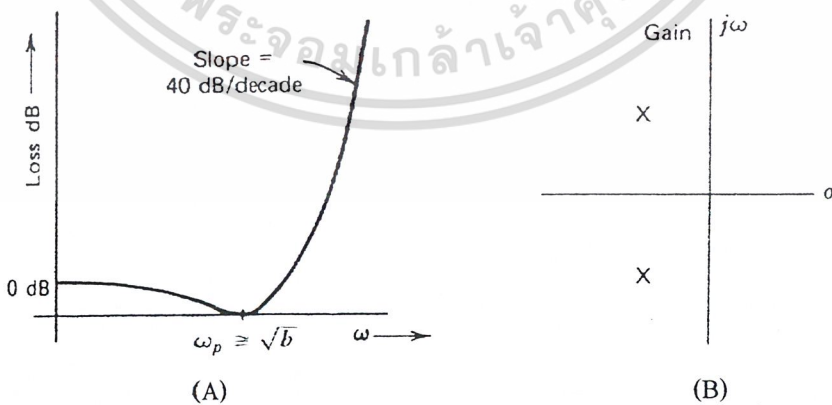


รูปที่ 2.47 วงจรกรองความถี่ต่ำผ่านที่มีช่วงหยุดไม่ราบเรียบ

ผลตอบสนองของฟังก์ชันการสูญเสียคือ

$$Loss = \frac{V_{in}}{V_o} = \frac{S^2 + aS + b}{b} \tag{2.105}$$

สามารถแสดงความสัมพันธ์ได้ดังรูป 2.48(A) ณ ความถี่ต่ำที่มีค่าความสูญเสียเข้าใกล้ 1 (0dB) ขณะที่ ณ ความถี่สูงการสูญเสียเพิ่มขึ้นเป็น  $S^2$  นั่นคือที่  $\approx 40$  dB/decade ฟังก์ชันอัตราขยายอันดับที่ 2 มี 1 คู่ของโพลที่เป็นค่าเชิงซ้อนดังรูป 2.48(B)



รูปที่ 2.48 ความสัมพันธ์ระหว่างความถี่และการสูญเสีย

(A) กราฟแสดงความสัมพันธ์ระหว่างความถี่และการสูญเสีย

(B) ตำแหน่งของโพลและอัตราขยาย

ซึ่งตำแหน่งของ pole เป็นตัวกำหนดลักษณะของการตอบสนองความถี่ในช่วงผ่าน

### 2.9.1 $\omega$ และเซนซิวิตีของ $Q$

จาก

$$T(S) = K \frac{S^2 + \frac{\omega_Z}{Q_Z} S + \omega_Z^2}{S^2 + \frac{\omega_P}{Q_P} S + \omega_P^2} \quad (2.106)$$

โดยเซนซิวิตีของระบบคือ ค่าของการเปลี่ยนแปลงของค่าปฏิบัติจากค่าปกติ ชั้นแรกเราพิจารณาเซนซิวิตีของความถี่ ณ จุดโพล ( $\omega_p$ ) ซึ่งเปลี่ยนแปลงกับค่า  $R$  ค่าโพลเซนซิวิตีนี้ยามว่า เปอร์ยูนิต (per-unit) ที่เปลี่ยนแปลงระหว่างความถี่ตำแหน่งโพล  $\Delta\omega_p/\omega_p$  กับหน่วยเปอร์ยูนิตที่เปลี่ยนแปลงของค่าความต้านทาน  $\Delta R, R$

$$S_R^{\omega_p} = \lim_{\Delta R \rightarrow 0} \frac{\frac{\Delta\omega_p}{\omega_p}}{\frac{\Delta R}{R}} \quad (2.107)$$

$$= \frac{R}{\omega_p} \frac{\partial \omega_p}{\partial R} \quad (2.108)$$

สมการสมมูลคือ

$$S_R^{\omega_p} = \frac{\partial(\ln \omega_p)}{\partial(\ln R)} \quad (2.109)$$

เซนซิวิตีของพารามิเตอร์  $\omega_z, Q_p, Q_z$  และ  $K$  จนถึงบางอุปกรณ์ของเครือข่ายนิยามได้ดังนี้

$$S_C^{\omega_p} = \frac{C}{\omega_p} \frac{\partial \omega_p}{\partial C} \quad S_R^{\omega_p} = \frac{R}{\omega_p} \frac{\partial \omega_p}{\partial R} \quad S_R^K = \frac{R}{K} \frac{\partial K}{\partial R} \quad (2.110)$$

จากสมการที่ (2.109) สามารถจัดรูปให้ง่ายต่อการคำนวณโดยเซนซิวิตีของพารามิเตอร์  $p$  ในรูปองค์ประกอบ  $x$  คือ

$$S_x^p = \frac{x}{p} \frac{\partial p}{\partial x} = \frac{\partial(\ln p)}{\partial(\ln x)} \quad (2.111)$$

ถ้า  $p$  ไม่ใช่ฟังก์ชันของ  $x$  (เช่น  $p$  เท่ากับค่าคงที่) ดังนั้น

$$S_x^p = 0 \quad (2.112)$$

ถ้า  $p = cx$  ซึ่ง  $c$  เป็นค่าคงที่

$$S_x^{cx} = \frac{\partial(\ln cx)}{\partial(\ln x)} = \frac{\partial(\ln c)}{\partial(\ln x)} + \frac{\partial(\ln x)}{\partial(\ln x)} = 1 \quad (2.113)$$

และจากความสัมพันธ์

$$S_x^p = -S_x^{1/p} \quad (2.114)$$

ตามสมการ (2.109) ดังนั้น

$$-S_x^{1/p} = -\frac{\partial(\ln 1/p)}{\partial(\ln x)} = -\frac{\partial(-(\ln p))}{\partial(\ln x)} = S_x^p \quad (2.115)$$

ในทำนองเดียวกันสามารถแสดงได้ว่า

$$S_x^p = -S_{1/x}^p \quad (2.116)$$

ความสัมพันธ์ที่สามารถนำมาใช้ได้ซึ่งพิสูจน์ได้ดังนี้

$$S_x^{p_1 p_2} = S_x^{p_1} + S_x^{p_2} \quad (2.116a)$$

$$S_x^{p_1 / p_2} = S_x^{p_1} - S_x^{p_2} \quad (2.116b)$$

$$S_x^{\frac{p}{n}} = \frac{1}{n} S_x^p \quad (2.116c)$$

$$S_x^{p^n} = n S_x^p \quad (2.116d)$$

$$S_x^{p_1 + p_2} = \frac{p_1 S_x^{p_1} + p_2 S_x^{p_2}}{p_1 + p_2} \quad (2.116e)$$

$$S_x^{f(x)} = S_x^{f(x)} \quad (2.116f)$$

ซึ่ง  $c$  ไม่ขึ้นกับ  $x$  และ  $f(x)$  เป็นฟังก์ชันของ  $x$  วงจรของความถี่มีหลายแบบซึ่งในที่นี้จะกล่าวถึง 2 แบบที่นิยมใช้ทั่วไปคือ แบบบัตเทอร์เวิร์ทและแบบเชบีเชฟ

## 2.9.2 วงจรของความถี่ต่ำแบบบัตเทอร์เวิร์ท

ความสัมพันธ์ของอัตราส่วนของวงจรความถี่ต่ำสามารถแสดงในรูปทั่วไปได้ดังนี้

$$\left| H(j\omega) \right|^2 = 1 + \left| K(j\omega) \right|^2 = 1 + \left| \frac{N(j\omega)}{D(j\omega)} \right|^2 \quad (2.117)$$

โดยที่  $H(S)$  คือฟังก์ชันการสูญเสีย (Loss) และ  $K(S) = \frac{N(S)}{D(S)}$  คืออัตราส่วนของฟังก์ชันในเทอม  $S$  เอกสารนี้เป็นเอกสารที่สงวนไว้สำหรับการใช้งานเพื่อการศึกษาเท่านั้น ไม่อนุญาตให้นำไปใช้ประโยชน์ด้านการค้า ไม่ว่าจะกรณีใดๆ ทั้งสิ้น อีกทั้งห้ามมิให้ตัดแปลงเนื้อหา และต้องอ้างอิงถึงเจ้าของเอกสารทุกครั้งที่มีการนำไปใช้

ฟังก์ชัน  $K(S)$  ถูกเลือกใช้ค่าที่มีขนาดต่ำในช่วงผ่านจึงทำให้ขนาดของ  $H(j\omega)$  มีค่าเข้าใกล้ 1 ส่วนในช่วงหยุดขนาดของ  $K(S)$  ต้องมีค่ามากๆเพื่อให้ได้ค่าสูญเสียในช่วงผ่านที่น่าพอใจแสดงในรูป 2.49

$$K(S) = P_n(S) = a_0 + a_1S + a_2S^2 + \dots + a_nS^n \tag{2.118}$$

สัมประสิทธิ์ของโพลิโนเมียล  $P_n(S)$  อันดับที่  $n$  จะเลือกค่าตอบสนองของฟังก์ชันการสูญเสีย  $H(S)$  ที่ให้ค่าของวงจรรองความถี่ที่ต้องการ



รูปที่ 2.49 ผลตอบสนองทางความถี่ของวงจรรองความถี่ต่ำ

บัตเตอร์เวิร์ทที่มีคุณลักษณะดังนี้

$$K(S) = P_n(S) = \mathcal{E} \left( \frac{S}{\omega_p} \right)^n \tag{2.119}$$

โดย  $\mathcal{E}$  คือค่าคงที่

$n$  คืออันดับของโพลิโนเมียล

และ  $\omega_p$  คือขอบเขตความถี่ของช่วงผ่าน สามารถแสดงผลตอบสนองฟังก์ชันการสูญเสียดังนี้

$$\left| H(j\omega) \right| = \left| \frac{V_{in}(j\omega)}{V_o(j\omega)} \right| = \sqrt{1 + \mathcal{E}^2 \left( \frac{\omega}{\omega_p} \right)^{2n}} \tag{2.120}$$

พิจารณาสัญญาณไฟตรง จากสมการ (2.120) ที่ซึ่งค่าการสูญเสียถูกมองเป็น 1 โดยความชันของฟังก์ชันที่สัญญาณไฟตรงที่เป็นอนุกรมไบ โนเมียล (ประมาณว่า  $\omega=0$ )

$$\mathcal{E}^2 \left( \frac{\omega}{\omega_p} \right)^{2n} \ll 1 \tag{2.121}$$

ดังนั้น

$$\left[ 1 + \varepsilon^2 \left( \frac{\omega}{\omega_p} \right)^{2n} \right]^{1/2} = 1 + \frac{1}{2} \varepsilon^2 \left( \frac{\omega}{\omega_p} \right)^{2n} - \frac{1}{8} \varepsilon^4 \left( \frac{\omega}{\omega_p} \right)^{4n} + \frac{1}{16} \varepsilon^6 \left( \frac{\omega}{\omega_p} \right)^{6n} + \dots \quad (2.122)$$

จากสมการ (2.122) แสดงได้ว่าค่าเบี่ยงเบนค่าแรกของการกระจายจำนวนที่  $2n-1$  มีค่าเท่ากับ 0 (ณ ตำแหน่ง  $\omega = 0$ ) เมื่อ  $K(S)$  ถูกเลือกให้เป็นโพลิโนเมียลอันดับที่  $n$  ซึ่งเป็นจำนวนที่สูงสุดของค่าเบี่ยงเบนที่ถูกทำให้เป็น 0 ดังนั้นจะมีความชันที่ราบเรียบเสมือนสัญญาณไฟตรงซึ่งแบบบัตเทอร์เวิร์ทน์รู้จักกันดี ที่เรียกว่า “แมกซ์ิมัลลีแฟลต(Maximally Flat)” จากสมการ (2.120) สามารถหาค่าการสูญเสียในหน่วย dB ได้ดังสมการ (2.33)

$$A(\omega) = 10 \log_{10} \left[ 1 + \varepsilon^2 \left( \frac{\omega}{\omega_p} \right)^{2n} \right] \quad (2.123)$$

โดยเฉพาะในช่วงขอบเขตความถี่ช่วงผ่าน  $\omega = \omega_p$  จะมีค่าสูญเสียเป็น

$$A(\omega_p) = 10 \log_{10} (1 + \varepsilon^2) \quad (2.124)$$

วงจรรองความถี่โดยทั่วไประบุค่าการสูญเสียนี้เป็น  $A_{max}$  dB ดังนั้นพารามิเตอร์  $\varepsilon$  สามารถแสดงความสัมพันธ์กับค่าการสูญเสียในช่วงผ่านนี้เป็น  $A_{max}$  ได้ดังสมการ (2.125)

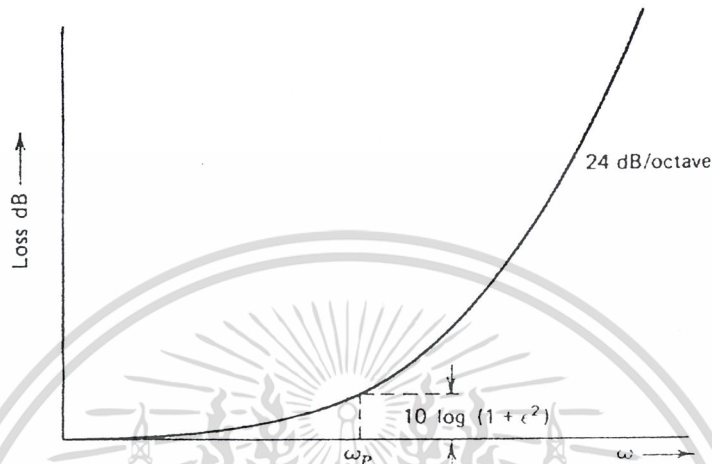
$$\varepsilon = \sqrt{10^{0.1 A_{max}} - 1} \quad (2.125)$$

ที่ความถี่สูง ( $\omega \gg \omega_p$ ) จะมีค่าการสูญเสียดังนี้

$$20 \log_{10} \varepsilon \left( \frac{\omega}{\omega_p} \right)^n \quad (2.126)$$

ค่าการสูญเสียจะเพิ่มขึ้นตามค่า  $n$  โดยสมการ (2.126) แสดงถึงที่ความถี่สูงจะมีความชันของการสูญเสีย  $\approx 6$  dB/Octave ดังนั้นในช่วงหยุดก็จะมีค่าการสูญเสียเพิ่มขึ้นตามค่า  $n$  ฟังก์ชันของการสูญเสียของบัตเทอร์เวิร์ทน์อันดับที่ 4 แสดงได้ดังรูปที่ 6 โดยมีคุณสมบัติซึ่งเรียบมากที่สุดของช่วงผ่าน ในทำนองเดียวกันกับการเพิ่มขึ้นตามธรรมชาติของการสูญเสียในช่วงหยุด ซึ่งจุดประสงค์ของการออกแบบคือ สะดวกต่อการพล็อตกราฟแสดงคุณสมบัติของค่า  $n$  ที่ต่างกันซึ่งแปรผกผันกับความถี่นอร์มัลไลซ์

$$\Omega = \epsilon^{1/n} \left( \frac{\omega}{\omega_p} \right) \tag{2.127}$$

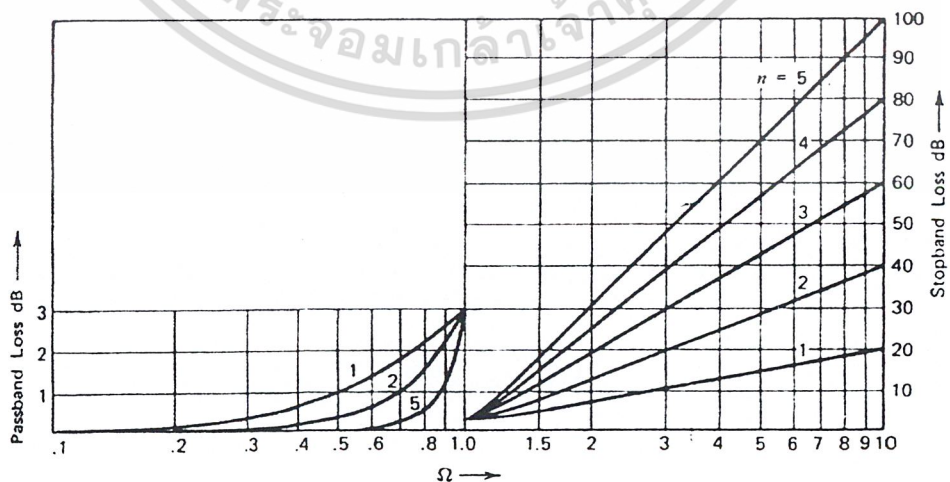


รูปที่ 2.50 กราฟความสัมพันธ์ระหว่างความถี่และอัตราการสูญเสีย

ในเทอมของความถี่นอร์มัลไลซ์สามารถหาค่าการสูญเสียได้จาก

$$A(\Omega) = 10 \log_{10} (1 + \Omega^{2n}) \tag{2.128}$$

ซึ่งฟังก์ชันที่พล็อตแสดงได้ดังรูปที่ 2.51 โดยกราฟที่ได้แสดงค่าถึงอันดับที่ 5



รูปที่ 2.51 ค่าการสูญเสียในเทอมของความถี่นอร์มัลไลซ์

บัตเทอร์เวิร์ทสามารถทราบได้โดยมีขนาดของฟังก์ชันของการสูญเสียซึ่งเรียกว่า  $|H(j\omega)|$  สามารถแสดงฟังก์ชันการสูญเสียในเทอมของ  $s$  โดเมน  $H(s)$  ซึ่งหาได้จากค่าของ  $|H(j\omega)|$  โดยสามารถแสดงฟังก์ชัน  $|H(j\omega)|$  ได้ในเทอมของส่วนของจำนวนจริงและส่วนจินตภาพดังนี้

$$|H(j\omega)| = \operatorname{Re} H(j\omega) + j \operatorname{Im} H(j\omega) \quad (2.129)$$

นำไปยกกำลังสองจะได้

$$\begin{aligned} |H(j\omega)|^2 &= (\operatorname{Re} H(j\omega))^2 + (j \operatorname{Im} H(j\omega))^2 \\ &= [\operatorname{Re} H(j\omega) + j \operatorname{Im} H(j\omega)][\operatorname{Re} H(j\omega) - j \operatorname{Im} H(j\omega)] \end{aligned} \quad (2.130)$$

และ

$$H(-j\omega) = \operatorname{Re} H(j\omega) - j \operatorname{Im} H(j\omega) \quad (2.131)$$

โดยที่

$$|H(j\omega)|^2 = H(j\omega)H(-j\omega) \quad (2.132)$$

ในทำนองเดียวกันในเทอมของนอร์มัลไลซ์ค่า  $\Omega$  จะได้ว่า

$$|H(j\Omega)|^2 = H(j\Omega)H(-j\Omega) \quad (2.133)$$

สมการ (2.133) อธิบายถึงทรานส์เฟอร์ฟังก์ชันของความถี่บนแกน  $j\Omega$  อันนำมาซึ่งความสัมพันธ์ในรูปแบบทั่วไปของ  $s$

$$|H(s)|^2 = H(s)H(-s) \quad (2.134)$$

โดยที่  $s$  คือความถี่นอร์มัลไลซ์ซึ่งแปรตาม  $\Sigma + j\Omega$  โดยรากของ  $H(s)$  ก็คือรากของ  $H(-s)$  ซึ่งเป็นการสะท้อนกับจุดกำเนิด โดยวงจรรองความถี่นั้นจุดโพลทั้งหมดต้องอยู่ด้านซ้ายของ  $s$  plan ซึ่งคือรากของ  $|H(s)|^2$  กับ  $|H(s)|$  ส่วนระนาบด้านขวาคือรากของ  $|H(-s)|^2$  กับ  $|H(-s)|$  สำหรับบัตเทอร์เวิร์ทแสดงได้ดังสมการ (2.45)

$$|H(j\Omega)|^2 = 1 + \Omega^{2n} = 1 + [-(j\Omega)^2]^n \quad (2.135)$$

กระจายในเทอมของโดเมน  $s$  ได้เป็น

$$|H(s)|^2 = 1 + (-s^2)^n \quad (2.136)$$

และรากของ  $|H(s)|^2$  หาได้จาก

$$1 + (-S^2)^n = 0 \quad (2.137)$$

ดังนั้น

$$S_k = \exp \left[ \frac{j\pi}{2} \left( \frac{2k+n-1}{n} \right) \right] \quad (2.138)$$

เมื่อ  $k = 1, 2, \dots, 2n$  รากที่  $2n$  จะอยู่บนวงกลมหนึ่งหน่วยและมีช่วงห่างกัน  $\pi/n$  เรเดียน สามารถเขียนในรูปของโดเมน  $S$  ได้ดังนี้

$$H(S) = \prod_j (S - S_j) \quad (2.139)$$

ซึ่ง  $S_j$  คือรากของระนาบทางด้านซ้ายของสมการ (2.138) รูปแบบของแพกเตอร์ของโพลีโนเมียลบัตเตอร์เวิร์ทที่นอร์มัลไลซ์แล้วสำหรับค่า  $n$  ตั้งแต่ 1 ถึง 5 แสดงได้ดังตารางที่ 2.3 โดยมีความถี่คutoff คือ  $\omega_p$  และการสูญเสียในช่วงผ่านที่มีค่าสูงที่สุดคือ  $A_{max}$  dB และแสดงความสัมพันธ์ได้ดังสมการ (2.140) และตารางที่ 2.3

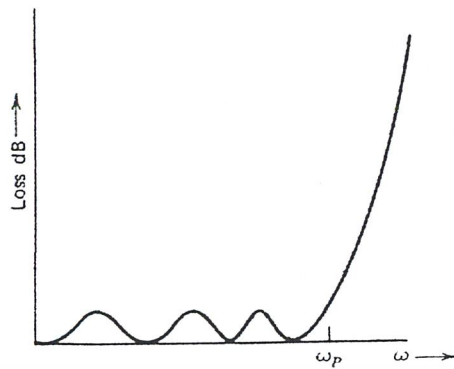
$$S \text{ by } S \left( \frac{\varepsilon^{1/n}}{\omega_p} \right) \quad (2.140)$$

| $n$ | $H(s)$  |
|-----|---|
| 1   | $s + 1$   |
| 2   | $s^2 + 1.414s + 1$                                |
| 3   | $(s^2 + s + 1)(s + 1)$                            |
| 4   | $(s^2 + 0.76537s + 1)(s^2 + 1.84776s + 1)$        |
| 5   | $(s^2 + 0.61803s + 1)(s^2 + 1.61803s + 1)(s + 1)$ |

ตารางที่ 2.3 ตารางลำดับค่าทรานส์เฟอร์ฟังก์ชัน

### 2.9.3 วงจรกรองความถี่ต่ำผ่านแบบเชบีเชฟ

คุณสมบัติที่สำคัญของแบบบัตเตอร์เวิร์ทคือมีการสูญเสียที่เรียบมากตั้งแต่จุดกำเนิดคัตออฟในช่วงผ่านจะมีความเรียบมากที่จุดกำเนิดและจะต่ำลงเมื่อเข้าใกล้  $\omega_p$  ยิ่งไปกว่านั้นการลทอนในช่วงหยุดจะมีค่าน้อยกว่าโพลีโนเมียลชนิดอื่น เช่น แบบเชบีเชฟ ซึ่งจะมีการลทอนที่เพิ่มขึ้นในช่วงหยุดโดยการเปลี่ยนเงื่อนไขในช่วงผ่าน หลักการที่ใช้ตั้งแต่การเปลี่ยนแปลงที่น้อยที่สุดจากคุณสมบัติความราบเรียบทางอุดมคติสามารถคุณสมบัติการริปเปิ้ลดังรูปที่ 2.52 โดยโพลีโนเมียลแบบเชบีเชฟนี้คุณสมบัติที่ถูกพัฒนาในทางอุดมคติแสดงได้ดังนี้



รูปที่ 2.52 การลดทอนของวงจรกรองความถี่ผ่านแบบเชบีเชฟ

ฟังก์ชันเชบีเชฟอันดับที่ n

$$C_n(\Omega) = \cos(n \cos^{-1} \Omega) \quad |\Omega| \leq 1 \quad (2.141a)$$

$$= \cosh(n \cosh^{-1} \Omega) \quad |\Omega| > 1 \quad (2.141b)$$

ซึ่ง  $\Omega$  คือความถี่นอร์มัลไลซ์

$$\Omega = \frac{\omega}{\omega_p}$$

ฟังก์ชันเชบีเชฟที่เป็นแบบโพลิโนเมียลในทอม  $\Omega$  จากสมการ (2.141a)

$$C_{n+1}(\Omega) + C_{n-1}(\Omega) = \cos((n+1) \cos^{-1} \Omega) + \cos((n-1) \cos^{-1} \Omega) \quad (2.142)$$

ใช้คุณสมบัติการเป็นเอกลักษณ์  $\cos(A+B) + \cos(A-B) = 2 \cos A \cos B$  โดยทางขวามือลดรูปได้เป็น

$$2 \cos(\cos^{-1} \Omega) \cos(n \cos^{-1} \Omega) = 2 \Omega C_n(\Omega) \quad (2.143)$$

จากความสัมพันธ์

$$C_{n+1}(\Omega) = 2 \Omega C_n(\Omega) - C_{n-1}(\Omega) \quad (2.144)$$

จากสมการ (2.141a) จะได้ว่า

$$C_0(\Omega) = 1$$

$$C_1(\Omega) = \Omega$$

สำหรับสมการโพลิโนเมียลที่มีอันดับสูงขึ้น จะหาค่าได้จากความสัมพันธ์ดังสมการ (2.144) ดังนี้

$$C_2(\Omega) = 2\Omega^2 - 1$$

$$C_3(\Omega) = 4\Omega^3 - 3\Omega$$

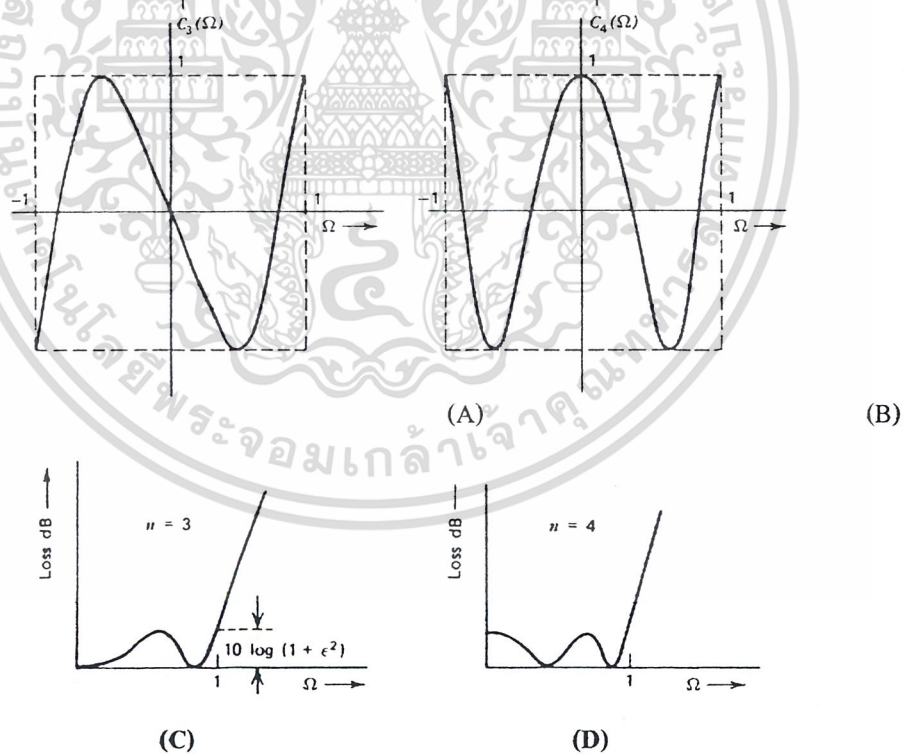
$$C_4(\Omega) = 8\Omega^4 - 8\Omega^2 + 1$$

$$C_5(\Omega) = 16\Omega^5 - 20\Omega^3 + 5\Omega \tag{2.145}$$

จากฟังก์ชันเชบีเชฟซึ่งแสดงรูปแบบของโพลิโนเมียลจะเห็นว่ามีรีปเปิ้ลอยู่ในช่วง  $-1 < \Omega < 1$  ฟังก์ชันการประมาณวงจรรองความถี่ต่ำแบบเชบีเชฟหาได้จากโพลิโนเมียลของเชบีเชฟดังนี้

$$\left| H(j\Omega) \right| = \frac{V_{in}(j\omega)}{V_o(j\omega)} = \sqrt{1 + \epsilon^2 C_n^2(\Omega)} \tag{2.146}$$

ฟังก์ชันการลดทอนของ  $n = 3, n = 4$  แสดงได้ดังรูป 2.53(C), 2.53(D) รีปเปิ้ลจะอยู่ระหว่างค่าต่ำสุดและค่าสูงสุดของ  $\sqrt{1 + \epsilon^2}$  สำหรับ  $|\Omega| \leq 1$  และจำนวนของค่าต่ำสุดของ  $\left| H(j\omega) \right|$  ในช่วง  $-1 < \Omega < 1$  จะเท่ากับจำนวนอันดับ  $n$



รูปที่ 2.53 รีปเปิ้ลและฟังก์ชันการลดทอน

พิจารณาค่าการลดทอนของ  $H(j\Omega)$  ที่ขอบของช่วงผ่านที่ความถี่  $\omega_p$  โดยให้ความถี่นอร์แมล

ไลซ์มีค่าเท่ากับ และค่า  $C_n(1) = 1$  ดังนั้นค่าการลดทอนจะเท่ากับ

เอกสารนี้เป็นเอกสารที่สงวนไว้สำหรับการใช้งานเพื่อการศึกษาเท่านั้น ไม่อนุญาตให้นำไปใช้ประโยชน์ด้านการค้า ไม่ว่าจะกรณีใดๆ ทั้งสิ้น อีกทั้งห้ามมิให้ดัดแปลงเนื้อหา และต้องอ้างอิงถึงเจ้าของเอกสารทุกครั้งที่มีการนำไปใช้

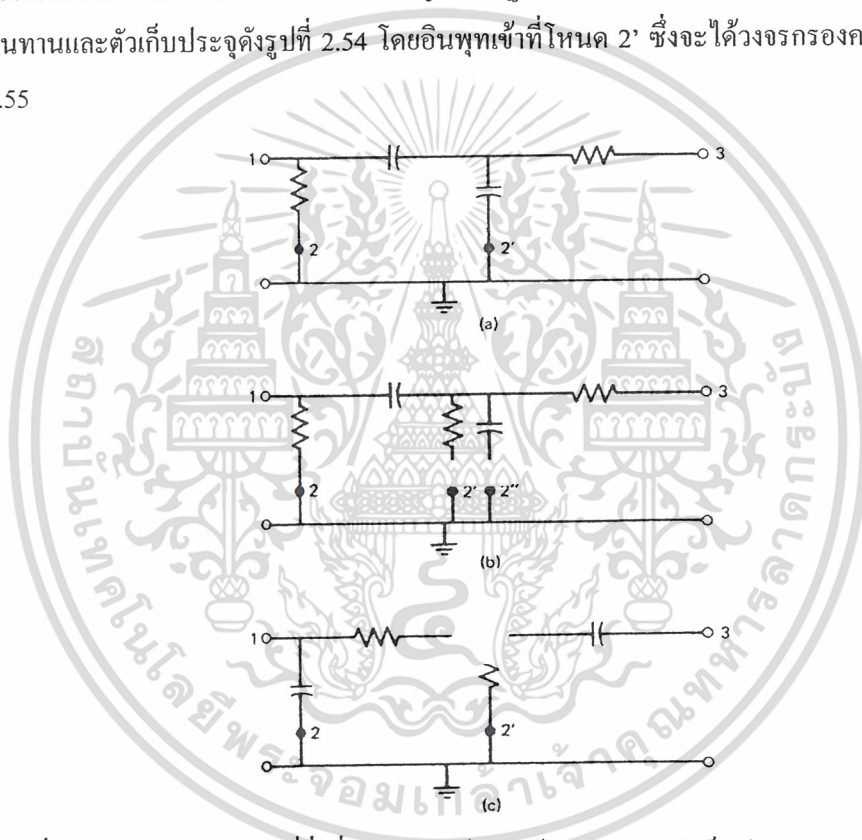
$$A_{max} = 10 \log_{10}(1 + \varepsilon^2) \quad (2.147)$$

เพราะฉะนั้น  $\varepsilon$  มีค่าเท่ากับ

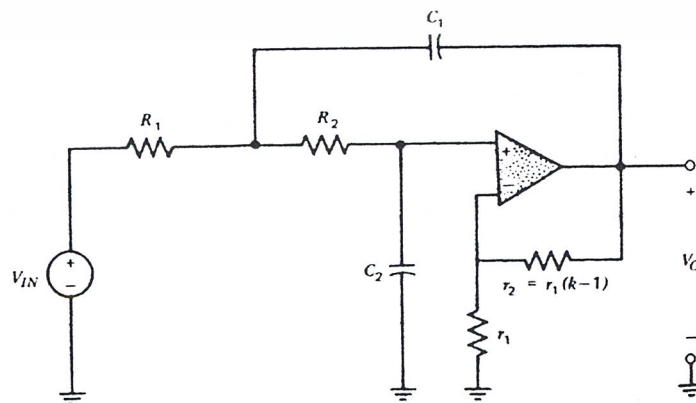
$$\varepsilon = \sqrt{10^{0.1A_{max}} - 1} \quad (2.148)$$

#### 2.9.4 วงจรกรองความถี่ต่ำผ่านแบบ Sallen and Key

วงจรกรองความถี่ต่ำผ่านแบบ Sallen and Key มีพื้นฐานจากการป้อนกลับแบบบวก วงจรประกอบด้วยตัวต้านทานและตัวเก็บประจุดังรูปที่ 2.54 โดยอินพุตเข้าที่โหนด 2' ซึ่งจะได้อัตราการกรองความถี่ต่ำผ่านดังรูปที่ 2.55



รูปที่ 2.54 วงจรกรองความถี่ต่ำซึ่งประกอบด้วยตัวต้านทานและตัวเก็บประจุ



รูปที่ 2.55 ตัวอย่างวงจรกรองความถี่ต่ำผ่านแบบแอคทีฟ

เอกสารนี้เป็นเอกสารที่สงวนไว้สำหรับใช้ภายในเท่านั้น ไม่ควรเผยแพร่โดยไม่ได้รับอนุญาตจากเจ้าของเอกสารทุกครั้งที่มีการนำไปใช้

ทรานส์เฟอร์ฟังก์ชันของวงจรแบบแอกทีฟ โดยพิจารณาให้ออปแอมป์เป็นออปแอมป์ทางอุดมคติคือ

$$T_V = \frac{k/R_1R_2C_1C_2}{S^2 + S\left(\frac{1}{R_1C_1} + \frac{1}{R_2C_1} + \frac{1-k}{R_2C_2}\right) + \frac{1}{R_1R_2C_1C_2}} \quad (2.149)$$

เมื่อ

$$k = 1 + \frac{r_2}{r_1}$$

พิจารณาการสังเคราะห์ฟังก์ชันของวงจรกรองความถี่ต่ำผ่านจะได้

$$T_{LP} = \frac{K}{S^2 + \frac{\omega_p}{Q_p}S + \omega_p^2} \quad (2.150)$$

พิจารณาพารามิเตอร์  $K, \omega_p, Q_p$  ของอุปกรณ์พาสซีฟ  $R_1, R_2, C_1, C_2, k$  จาก (2.59) และ (2.60) จะได้

$$\omega_p = \sqrt{\frac{1}{R_1R_2C_1C_2}} \quad (2.151)$$

$$Q_p = \frac{\omega_p}{(bw)_p} = \frac{\sqrt{\frac{1}{R_1R_2C_1C_2}}}{\frac{1}{R_1C_1} + \frac{1}{R_2C_1} + \frac{1-k}{R_2C_2}} \quad (2.152)$$

$$K = \frac{k}{R_1R_2C_1C_2} \quad (2.153)$$

จากความสัมพันธ์ของค่าเซนต์วิตตี้จะได้

$$S_{R_1, R_2, C_1, C_2}^{\omega_p} = -\frac{1}{2} \quad (2.154a)$$

$$S_k^{\omega_p} = 0 \quad (2.154b)$$

เอกสารนี้เป็นเอกสารที่สงวนไว้สำหรับใช้ประกอบการศึกษาเท่านั้น ไม่ควรนำออกไปใช้ประโยชน์ด้านการค้า  
ไม่ว่ากรณีใดๆ ทั้งสิ้น อีกทั้งห้ามมิให้ดัดแปลงเนื้อหา และต้องอ้างอิงถึงเจ้าของเอกสารทุกครั้งที่มีการนำไปใช้

$$= -\frac{1}{2} + Q_p \sqrt{\frac{R_2 C_2}{R_1 C_1}} \quad (2.154c)$$

ในทำนองเดียวกัน

$$S_{R_2}^{Q_p} = -\frac{1}{2} + Q_p \left( \sqrt{\frac{R_1 C_2}{R_2 C_1}} + (1-k) \sqrt{\frac{R_1 C_1}{R_2 C_2}} \right) \quad (2.154d)$$

$$S_{C_1}^{Q_p} = -\frac{1}{2} + Q_p \left( \sqrt{\frac{R_1 C_2}{R_2 C_1}} + \sqrt{\frac{R_2 C_2}{R_1 C_1}} \right) \quad (2.154e)$$

$$S_{C_2}^{Q_p} = -\frac{1}{2} + (1-k) Q_p \sqrt{\frac{R_1 C_1}{R_2 C_2}} \quad (2.154f)$$

$$S_{R_2}^{Q_p} = S_{R_1}^{Q_p} = -(1-k) Q_p \sqrt{\frac{R_1 C_1}{R_2 C_2}} \quad (2.154g)$$

$$S_{R_1, R_2, C_1, C_2}^K = -1 \quad (2.154h)$$

$$S_{R_2}^K = -S_{R_1}^K = -\left(\frac{1-k}{k}\right) \quad (2.154i)$$

เป้าหมายในการเลือกค่าของอุปกรณ์ก็คือค่าเซนซิวิตีจะต้องมีค่าเท่าที่จะเป็นไปได้ ในการเลือกค่าของ  $R_1, R_2, C_1, C_2, k$  ต้องเป็นไปตามสมการที่ (2.150) และ (2.151) โดยที่ค่า  $k$  เป็นเท่าใดก็ได้ ทางเลือกหนึ่งที่ทำให้ค่าเซนซิวิตีต่ำก็คือ

$$k=1 \quad R_1 = R_2 = 1 \quad (2.155a)$$

เพราะฉะนั้นค่าของอุปกรณ์ที่เหลือคือ

$$C_1 = \frac{2Q_p}{\omega_p} \quad C_2 = \frac{1}{2\omega_p Q_p} \quad (2.155b)$$

การสังเคราะห์แบบที่ 1 ค่าเซนซิวิตีตามสมการ (2.155) จะมีค่าต่ำมาก อย่างไรก็ตามในทางปฏิบัติจะมีข้อเสียที่ต้องการค่าตัวเก็บประจุที่มีช่วงกว้าง ( $C_1/C_2 = 4Q_p^2$ ) แต่ค่า  $Q$  ที่ได้มีค่าต่ำ ( $Q < 5$ ) จากข้อจำกัดนี้จึงทำให้ไม่เป็นที่นิยม สำหรับการสังเคราะห์แบบที่ 2 จะใช้ค่าตัวเก็บประจุเท่ากันคือ

$$C_1 = C_2 = 1 \quad R_1 = R_2 = R \quad (2.156a)$$

จากสมการที่ (2.150), (2.151) จะได้

$$R_1 = R_2 = \frac{1}{\omega_p} \quad k = 3 - \frac{1}{Q_p} \quad (2.156b)$$

โดยการสังเคราะห์แบบที่ 2 นี้ค่าเซนซิวิตี  $Q$  ที่ได้มีค่าสูงกว่าการสังเคราะห์แบบที่ 1 สำหรับการสังเคราะห์แบบที่ 3 ค่าเซนซิวิตี  $Q$  จะมีค่าต่ำกว่าการสังเคราะห์แบบที่ 2 โดยค่าของอุปกรณ์หาได้จาก

$$C_2 = 1 \quad C_1 = \sqrt{3}Q_p \quad \frac{R_2}{R_1} = \frac{Q_p}{\sqrt{3}} \quad (2.157a)$$

$$R_2 = \frac{1}{\sqrt{3}\omega_p} \quad R_1 = \frac{1}{Q_p\omega_p} \quad k = \frac{4}{3} \quad (2.157b)$$

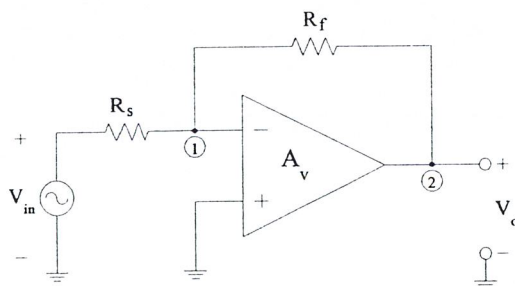
ค่าเซนซิวิตีของการสังเคราะห์แบบต่างๆจะได้ดังตารางที่ 2.4

|                                     | Design 1       | Design 2                  | Design 3 (Saraga)        |
|-------------------------------------|----------------|---------------------------|--------------------------|
| $S_{R_1, R_2, C_1, C_2}^{\omega_p}$ | $-\frac{1}{2}$ | $-\frac{1}{2}$            | $-\frac{1}{2}$           |
| $S_k^{\omega_p}$                    | 0              | 0                         | 0                        |
| $S_{R_1}^{Q_p}$                     | 0              | $-\frac{1}{2} + Q_p$      | $-\frac{1}{2} + 0.58Q_p$ |
| $S_{R_2}^{Q_p}$                     | 0              | $\frac{1}{2} - Q_p$       | $\frac{1}{2} - 0.58Q_p$  |
| $S_{C_1}^{Q_p}$                     | $\frac{1}{2}$  | $-\frac{1}{2} + 2Q_p$     | $\frac{1}{2} + 0.58Q_p$  |
| $S_{C_2}^{Q_p}$                     | $-\frac{1}{2}$ | $\frac{1}{2} - 2Q_p$      | $-\frac{1}{2} - 0.58Q_p$ |
| $S_{r_2}^{Q_p} = -S_{r_1}^{Q_p}$    | 0              | $2Q_p - 1$                | $0.58Q_p$                |
| $S_{R_1, R_2, C_1, C_2}^K$          | -1             | -1                        | -1                       |
| $S_{r_2}^K = -S_{r_1}^K$            | 0              | $1 - \frac{1}{3 - 1/Q_p}$ | $\frac{1}{4}$            |

ตารางที่ 2.4 ตารางแสดงค่าเซนซิวิตี

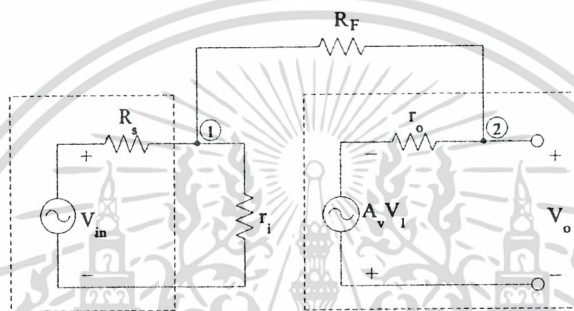
### 2.10 วงจรขยายสัญญาณแบบกลับเฟส (Inverting Amplifier)

วงจรขยายสัญญาณแบบกลับเฟสซึ่งให้อัตราขยายหลังการป้อนกลับที่คงที่และได้รับความนิยมมากแบบหนึ่ง

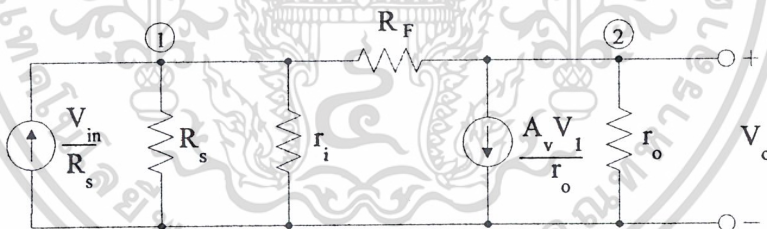


รูปที่ 2.56 วงจรขยายสัญญาณกลับเฟส (Inverting Amplifier)

เขียนวงจรสมมูลของออปแอมป์ที่มีการป้อนกลับจากเอาต์พุตมายังอินพุตในรูปที่ 2.56 โดยแทนวงจรสมมูลของออปแอมป์ในทางปฏิบัติจะได้วงจรสมมูลของวงจรขยายสัญญาณแบบกลับเฟสดังรูปที่ 2.57 เมื่อแทนแหล่งกำเนิดสัญญาณแรงดันและความต้านทานอนุกรมในรูปที่ 2.57 ด้วยแหล่งกำเนิดกระแสและความต้านทานขนานของนอร์ตัน (Norton's equivalent circuit) จะได้วงจรสมมูลดังรูปที่ 2.58 หลังจากนั้นใช้การวิเคราะห์แบบโหนด (nodal analysis) เพื่อหาค่าของอัตราส่วนระหว่างแรงดันเอาต์พุตกับแรงดันอินพุต (อัตราขยาย) ในรูปของความต้านทานอินพุต, ความต้านทานเอาต์พุต, ความต้านทานป้อนกลับและอัตรารายขยายของออปแอมป์



รูปที่ 2.57 วงจรสมมูลของวงจรขยายสัญญาณแบบกลับเฟส 180 องศา



รูปที่ 2.58 วงจรสมมูลในรูปที่ 2.57 เมื่อแทนด้วยแหล่งกำเนิดกระแสตามทฤษฎีของนอร์ตัน

Node 1: 
$$V_1 \left( \frac{1}{R_1} + \frac{1}{r_i} + \frac{1}{R_F} \right) - V_o \left( \frac{1}{R_F} \right) = \frac{V_{in}}{R_s} \tag{2.158}$$

Node 2: 
$$-V_1 \left( \frac{1}{R_F} \right) + V_o \left( \frac{1}{R_F} + \frac{1}{r_o} \right) = \frac{-A_v V_1}{r_o} \tag{2.159}$$

$$-V_1 \left( \frac{1}{R_F} - \frac{A_v}{r_o} \right) + \left( \frac{1}{R_F} + \frac{1}{r_o} \right) V_o = 0 \tag{2.160}$$

จากสมการที่ 2.158 และสมการที่ 2.160 สามารถเขียนความสัมพันธ์ในรูปของเมตริกซ์ได้คือ

เอกสารนี้เป็นเอกสารที่สงวนไว้สำหรับการใช้งานเพื่อการศึกษาเท่านั้น ไม่อนุญาตให้นำไปใช้ประโยชน์ด้านการค้า ไม่ว่ากรณีใดๆ ทั้งสิ้น อีกทั้งห้ามมิให้ดัดแปลงเนื้อหา และต้องอ้างอิงถึงเจ้าของเอกสารทุกครั้งที่มีการนำไปใช้

$$\begin{bmatrix} \frac{1}{R_S} + \frac{1}{r_i} + \frac{1}{R_F} & \frac{-1}{R_F} \\ \frac{-1}{R_F} + \frac{A_v}{r_o} & \frac{1}{R_F} + \frac{1}{r_o} \end{bmatrix} \begin{bmatrix} V_1 \\ V_2 \end{bmatrix} = \begin{bmatrix} \frac{V_{in}}{R_S} \\ 0 \end{bmatrix} \quad (2.161)$$

ใช้การแก้สมการด้วยวิธีของคราเมอร์ (Cramer's rule) เพื่อหาความสัมพันธ์ระหว่างสัญญาณเอาต์พุตต่อสัญญาณอินพุตด้วยเมทริกซ์ตามสมการที่ 2.161 จะได้

$$\frac{V_o}{V_{in}} = -\left[\frac{R_F}{R_S}\right] \times \frac{1}{1 + \frac{(1 + \frac{r_o}{R_F})(1 + \frac{R_F}{R_S} + \frac{R_F}{r_i})}{A_v(1 - \frac{r_o}{A_v R_F})}} \quad (2.162)$$

หากความต้านทานเอาต์พุต  $r_o$  มีค่าน้อยมากหรือเข้าใกล้ศูนย์ส่งผลให้สมการที่ 2.161 จะเหลือเพียง

$$\frac{V_o}{V_{in}} = \left[\frac{-R_F}{R_S}\right] \times \frac{1}{1 + \frac{1}{A_v} \left(1 + \frac{R_F}{R_S} + \frac{R_F}{r_i}\right)} \quad (2.163)$$

และหากอัตราขยายของออปแอมป์ที่ใช้มีค่าสูงมากสามารถประมาณสมการที่ 2.162 ได้เหลือเพียง

$$\frac{V_o}{V_{in}} = -\left(\frac{R_F}{R_S}\right) \quad (2.164)$$

จากสมการที่ 2.163 พบว่าอัตราขยายจะมีค่าเป็นลบซึ่งแสดงว่าสัญญาณเอาต์พุตกับสัญญาณอินพุตมีความต่างเฟสกันอยู่ 180 องศาซึ่งทั้งหมดนั้นวงจรขยายสัญญาณแบบกลับเฟสจะทำงานได้โดยสมมุติฐานบนสมมุติฐาน (assumption) ที่ว่าอัตราขยายของออปแอมป์มีค่าสูงมาก, ความต้านทานค่านอินพุตมีค่ามาก, ความต้านทานเอาต์พุตมีค่าน้อยมากจึงจะได้ความสัมพันธ์ตามสมการที่ 2.163

### บทที่ 3

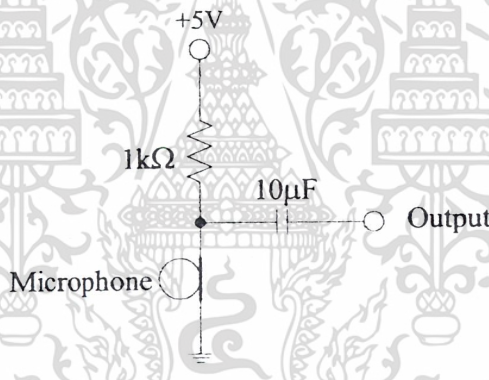
#### การคำนวณและการสร้าง

ในบทที่ 3 นี้จะเป็นเรื่องของ การคำนวณและการสร้างวงจรขึ้นมาโดยอาศัยบล็อกไดอะแกรมที่กล่าวมาในบทที่ 1 รวมถึงอาศัยทฤษฎีและหลักการในบทที่ 2 มาใช้ร่วมกันในการสร้างวงจร โดยการสร้างวงจรให้ได้ผลตอบสนองที่ใกล้เคียงกับทางทฤษฎีมากที่สุด การออกแบบวงจรแต่ละส่วนจะอาศัยบล็อกไดอะแกรมที่กล่าวไว้ในบทที่ 1 โดยใช้ทฤษฎีจากบทที่ 2 มาสร้างเป็นวงจรแทนแต่ละบล็อก การออกแบบการสร้างวงจรจะเริ่มต้นจาก

ภาคส่ง

#### 3.1 วงจรไมโครโฟน (Microphone)

ไมโครโฟนเลือกใช้ไมโครโฟนชนิดคอนเดนเซอร์และไมโครโฟนชนิดนี้ต้องการไบอัส ดังนั้นจึงต้องมีวงจรไบอัสซึ่งสามารถทำการต่อวงจรได้ดังนี้



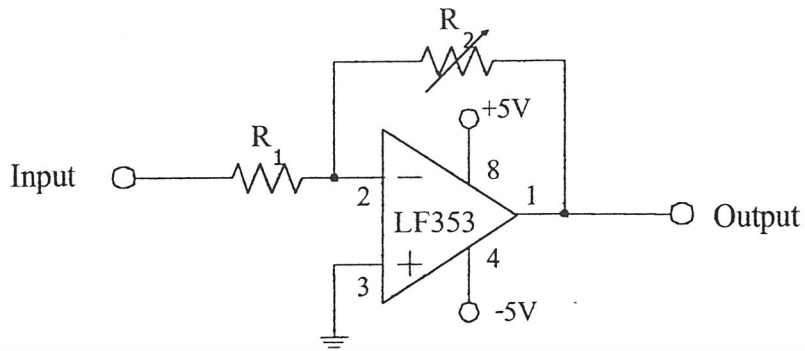
รูปที่ 3.1 วงจรไมโครโฟน

#### 3.2 การออกแบบวงจรขยายสัญญาณเสียง (Audio Amplifier)

เนื่องจากสัญญาณเสียงที่ได้จากไมโครโฟนมีขนาดต่ำจึงจำเป็นต้องมีวงจรขยายสัญญาณในส่วนนี้ให้มีขนาดสัญญาณแรงขึ้นเพื่อนำไปใช้ในส่วนอื่นต่อไป โดยใช้วงจรขยายสัญญาณแบบกลับเฟส (Inverting Amplifier) ในการทดลองนี้เลือกใช้ออปแอมป์ LF353 และสามารถคำนวณอัตราขยายได้จาก

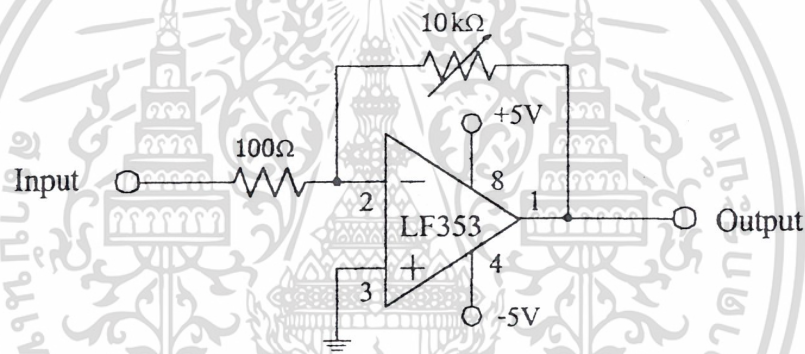
$$\begin{aligned} \text{อัตราขยายแรงดัน } A_{V(\max)} &= \frac{-R_2}{R_1} & (3.1) \\ &= \frac{-(10k\Omega)}{100\Omega} \\ &= -100 \end{aligned}$$

เอกสารนี้เป็นเอกสารที่สงวนลิขสิทธิ์ไว้เพื่อใช้ในการเรียนการสอนเท่านั้น ไม่สามารถเผยแพร่ไปใช้ประโยชน์ด้านการค้าไม่ว่ากรณีใดๆ ทั้งสิ้น อีกทั้งห้ามมิให้ตัดแปลงเนื้อหา และต้องอ้างอิงถึงเจ้าของเอกสารทุกครั้งที่มีการนำไปใช้



รูปที่ 3.2 วงจรขยายสัญญาณแบบกลับเฟส

โดยที่  $R_2 = 10k\Omega$  และ  $R_1 = 100\Omega$  ดังนั้นจะได้วงจรขยายสัญญาณเสียงดังรูป 3.3 โดยมีค่าอัตราการขยายสูงสุดเท่ากับ 100 เท่า (แบบกลับเฟส)



รูปที่ 3.3 วงจรขยายสัญญาณแบบกลับเฟสที่อัตราขยาย 100 เท่า

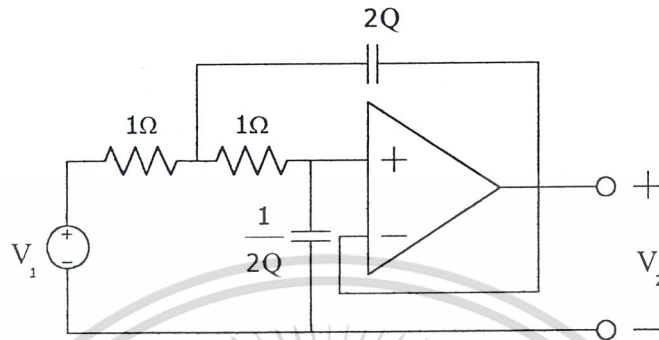
3.3 การออกแบบวงจรกรองความถี่ต่ำผ่านแบบแอคทีฟ (Active Low Pass Filter)

ทำการออกแบบเป็นวงจรกรองความถี่แบบบัตเตอร์เวิร์ทชนิดแอคทีฟ อันดับที่ 8 และให้มีความถี่คัทออฟที่ 5 กิโลเฮิรตซ์ โดยค่า  $Q$  ของวงจรกรองความถี่ต่ำผ่านแบบบัตเตอร์เวิร์ทที่อันดับต่างๆ แสดงได้ในตารางที่ 3.1 คือ

| Even-Order | 2    | 4    | 6    | 8    | 10   | Odd-Order | 3    | 5    | 7    | 9    | 11   |
|------------|------|------|------|------|------|-----------|------|------|------|------|------|
| $Q_1$      | 0.71 | 0.54 | 0.52 | 0.51 | 0.51 | $Q_1$     | 1.00 | 0.62 | 0.55 | 0.53 | 0.52 |
| $Q_2$      |      | 1.31 | 0.71 | 0.60 | 0.56 | $Q_2$     |      | 1.62 | 0.8  | 0.65 | 0.59 |
| $Q_3$      |      |      | 1.93 | 0.90 | 0.71 | $Q_3$     |      |      | 2.24 | 1.00 | 0.76 |
| $Q_4$      |      |      |      | 2.56 | 1.10 | $Q_4$     |      |      |      | 2.88 | 1.20 |
| $Q_5$      |      |      |      |      | 3.20 | $Q_5$     |      |      |      |      | 3.51 |

เอกสารนี้เป็นเอกสารที่ 3.1 ค่าของ  $Q$  แบบวงจรกรองความถี่ต่ำผ่านแบบบัตเตอร์เวิร์ทที่อันดับต่างๆ อันเนื่องจากการคำนวณที่ผิดพลาด อาจมีข้อผิดพลาดได้ทั้งนี้ทั้งนั้น หากมีให้ตัดแปลงเนื้อหา และต้องอ้างอิงถึงเจ้าของเอกสารทุกครั้งที่มีการนำไปใช้

เลือกใช้งานวงจรความถี่ต่ำผ่านที่มีอัตราการขยายเป็น 1 แบบ Sallen and Key ที่มีการนอ้มัลไลซ์ค่าความถี่ไว้ที่ 1 เรเดียน/วินาที และค่าอิมพีแดนซ์ที่ 1 โอห์ม มีวงจรต้นแบบเป็นดังรูปที่ 3.4



รูปที่ 3.4 วงจรต้นแบบของวงจรกรองความถี่ต่ำผ่านแบบ Sallen and Key

เมื่อ

$$\begin{aligned} C_1 &= 2Q \\ C_2 &= \frac{1}{2Q} \end{aligned} \quad (3.2)$$

เมื่อทำการคำนวณค่า  $C$  จากค่า  $Q$  ตามตารางที่ 3.1 แล้วทำการสเกลความถี่และสเกลค่าอิมพีแดนซ์ไปเป็นค่าที่ใช้งานจริงตามความถี่ที่ต้องการได้โดยใช้สมการคือ

$$R_{new} = R_{old} \times R_m \quad (3.3)$$

$$C_{new} = \frac{C_{old}}{2\pi f_c \times R_m} \quad (3.4)$$

เมื่อ  $f_c$  คือความถี่คัทออฟ และ  $R_m$  คือความต้านทานที่ต้องการเปลี่ยนค่าไปจากเดิมเป็นจำนวนเท่า วงจรกรองความถี่ต่ำผ่านแบบเอกที่ฟิลเตอร์อันดับที่ 8 มีค่า  $Q$  ทั้งหมด 4 ค่า ซึ่งมีการคำนวณดังนี้

$$\text{ที่ } Q_1 = 0.51 \text{ จะได้ } R = 1$$

$$C_1 = 2Q = 2(0.51) = 1.02$$

$$C_2 = 1/2Q = 1/2(0.51) = 0.98$$

$$\text{ที่ } Q_2 = 0.60 \text{ จะได้ } R = 1$$

$$C_1 = 2Q = 2(0.60) = 1.20$$

$$C_2 = 1/2Q = 1/2(0.60) = 0.83$$

$$\text{ที่ } Q_3 = 0.90 \text{ จะได้ } R = 1$$

$$C_1 = 2Q = 2(0.90) = 1.80$$

$$C_2 = 1/2Q = 1/2(0.90) = 0.56$$

ที่  $Q_4 = 2.56$  จะได้  $R = 1$

$$C_1 = 2Q = 2(2.56) = 5.12$$

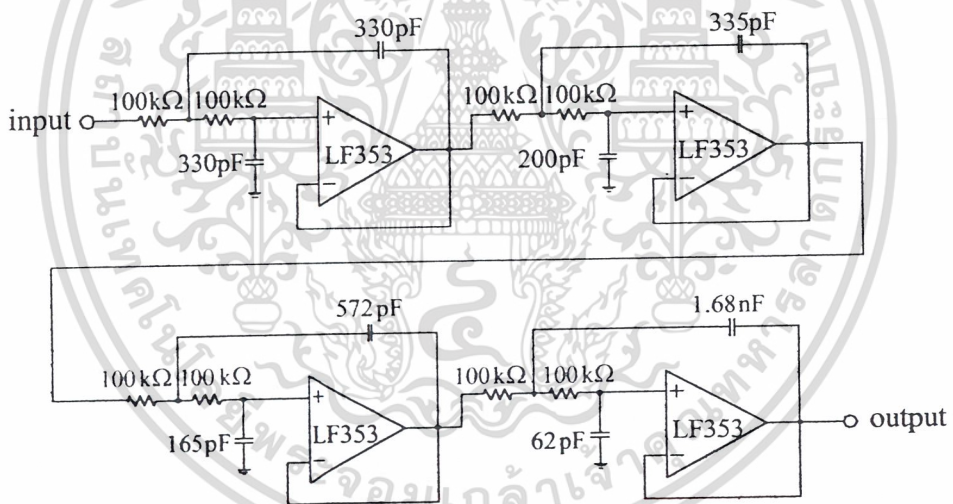
$$C_2 = 1/2Q = 1/2(2.56) = 0.195$$

เมื่อกำหนดค่า  $R_m = 100 \text{ k}\Omega$  และนำค่าที่ได้ไปแทนในสมการ 3.3 และ 3.4 ได้ผลดังตารางที่ 3.2

| ความถี่ |             | $Q_1$         | $Q_2$         | $Q_3$         | $Q_4$         |
|---------|-------------|---------------|---------------|---------------|---------------|
| 5 kHz   | $R_1 = R_2$ | 100k $\Omega$ | 100k $\Omega$ | 100k $\Omega$ | 100k $\Omega$ |
|         | $C_1$       | 324.6pF       | 382pF         | 572.9pF       | 1.62nF        |
|         | $C_2$       | 312pF         | 265pF         | 172pF         | 62pF          |

ตารางที่ 3.2 ค่าของอุปกรณ์ต่างๆที่ใช้ในวงจรกรองความถี่ต่ำผ่านที่ความถี่คัทออฟต่างๆ

เมื่อนำค่าต่างๆ ที่ได้จากการคำนวณมาทำการสร้างวงจรกรองความถี่ต่ำผ่านของแต่ละชุด จะได้วงจรในแต่ละชุดโดยออปแอมป์ในวงจรคือไอซีเบอร์ LF353 ดังรูป



รูปที่ 3.5 วงจรกรองความถี่ต่ำผ่านแบบแอกทีฟทางภาคส่งความถี่คัทออฟ 5 กิโลเฮิรตซ์

### 3.4 การออกแบบวงจรสังเคราะห์ความถี่โดยใช้เฟสล็อกที่ความถี่ 436.5 เมกะเฮิรตซ์

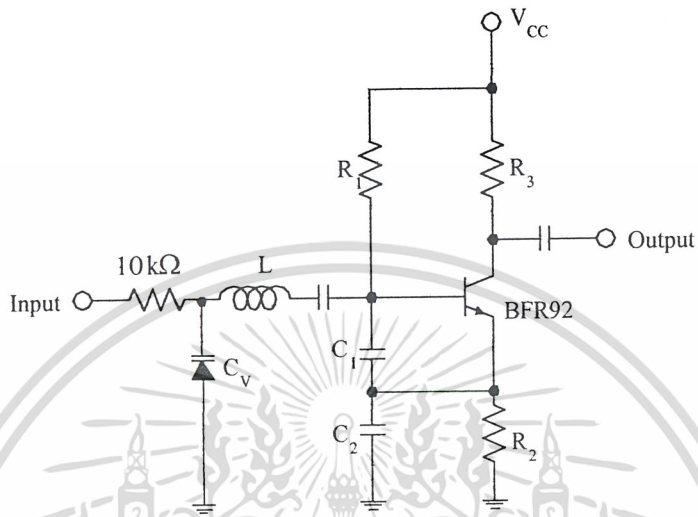
วงจรสังเคราะห์ความถี่โดยใช้เฟสล็อกถูกออกแบบประกอบด้วยวงจรต่างๆ ได้แก่

- 1 วงจรกำเนิดสัญญาณแบบปรับค่าความถี่ได้ตามแรงดันไฟฟ้า (VCO: Voltage Controlled Oscillator)
- 2 วงจรพริตเทิลเลอร์สองโมดูลัส (Dual Modulus Prescale) โดยใช้ไอซีเบอร์ MC12032
- 3 วงจรเฟสดีเทกเตอร์ (Phase Detector) ซึ่งอยู่ในไอซีเบอร์ MC145152-2
- 4 วงจรฟิลเตอร์ (Loop Filter) ใช้ออปแอมป์เบอร์ LM358

เอกสารนี้เป็นเอกสารที่จัดทำขึ้นเพื่อใช้ในการศึกษาเท่านั้น ไม่ควรนำเอกสารนี้ไปใช้ประโยชน์ด้านการค้า ไม่ว่ากรณีใดๆ ทั้งสิ้น อีกทั้งห้ามมิให้ดัดแปลงเนื้อหา และต้องอ้างอิงถึงเจ้าของเอกสารทุกครั้งที่มีการนำไปใช้

3.4.1 การออกแบบวงจรกำเนิดสัญญาณแบบปรับค่าความถี่ได้ตามแรงดันไฟฟ้า

เริ่มต้นจากการออกแบบสร้างวงจรถูกกำเนิดสัญญาณ ซึ่งในโครงการนี้ได้ใช้วงจรถูกกำเนิดสัญญาณแบบโคลพิตตส์ชนิดอิมิตเตอร์ร่วม (common emitter) ดังรูปที่ 3.6

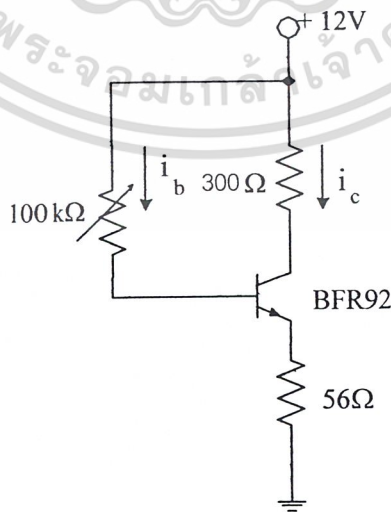


รูปที่ 3.6 วงจรถูกกำเนิดสัญญาณแบบโคลพิตตส์ (Colpitts Oscillator)

ทำการไบอัสโดยให้

$$R_1 = 100\text{k}\Omega$$

$$R_2 = 56\Omega$$



เอกสารนี้เป็นเอกสารที่สงวนไว้สำหรับรูปที่ 3.7 วงจรสมมูลทางคิซของวงจรถูกกำเนิดสัญญาณนำไปใช้ประโยชน์ด้านการค้า  
ไม่ว่ากรณีใดๆ ทั้งสิ้น อีกทั้งห้ามมิให้ดัดแปลงเนื้อหา และต้องอ้างอิงถึงเจ้าของเอกสารทุกครั้งที่มีการนำไปใช้

ต้องการ  $i_c = 10 \text{ mA}$

$$g_m = i_c / V_T = 0.35$$

เพราะฉะนั้นจาก

$$Z_{in} = \frac{-g_m}{\omega^2 C_1 C_2} + \frac{1}{j\omega(C_1 C_2 / C_1 + C_2)} \quad (3.5)$$

$$R_{in} = \frac{1}{(2\pi \times 436.5 \text{ MHz})^2 (10 \text{ pF} \times 10 \text{ pF})} \quad (3.6)$$

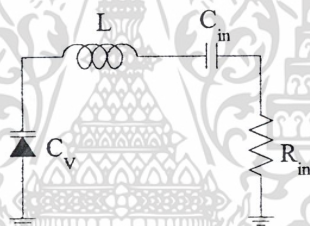
$$= -116.45 \ \Omega$$

ให้  $C_1 = C_2 = 10 \text{ pF}$  เพราะฉะนั้น

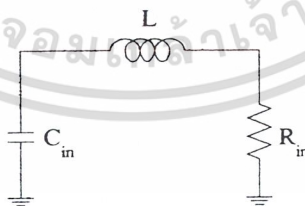
$$C_{in} = \frac{C_1 C_2}{C_1 + C_2}$$

$$= \frac{10 \text{ pF} \times 10 \text{ pF}}{10 \text{ pF} + 10 \text{ pF}}$$

$$= 5 \text{ pF}$$



รูปที่ 3.8 วงจรสมมูลที่ขาเบสของทรานซิสเตอร์ที่ต้องการออกแบบ  
จากรูปได้ว่า  $C_N = C_{in}$  อนุกรมกับ  $C_V$



รูปที่ 3.9 วงจรสมมูลเมื่อรวม  $C_{in}$  กับ  $C_V$

วาริแคปเบอร์ BB105 ซึ่งเลือกค่า  $C_V$  กลางๆ ประมาณ  $240 \text{ pF}$  ดังนั้นได้ค่า  $C_N$  และ  $L$  ดังนี้

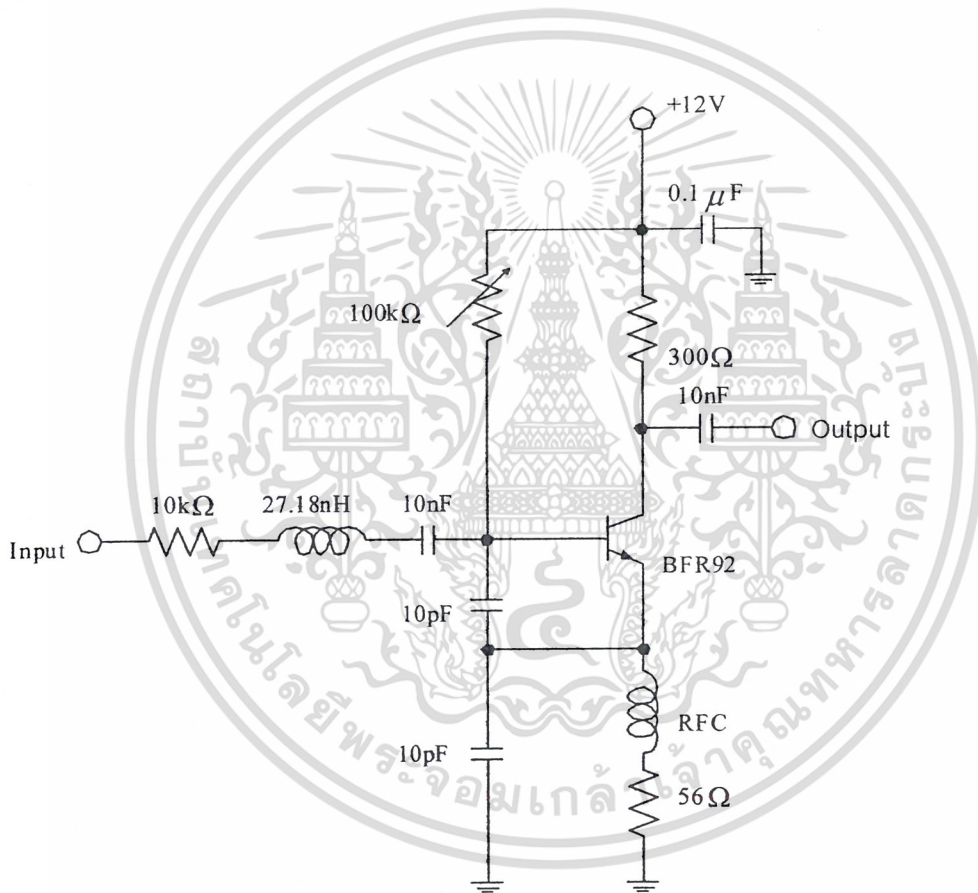
$$C_N = \frac{C_{in} C_V}{C_{in} + C_V}$$

$$\frac{5 \text{ pF} \times 240 \text{ pF}}{5 \text{ pF} + 240 \text{ pF}}$$

เอกสารนี้เป็นเอกสารที่สงวนไว้สำหรับใช้การศึกษาเท่านั้น ไม่อนุญาตให้นำไปใช้ประโยชน์ด้านการค้า  
ไม่ว่ากรณีใดๆ ทั้งสิ้น อีกทั้งห้ามมิให้ดัดแปลงเนื้อหา และต้องอ้างอิงถึงเจ้าของเอกสารทุกครั้งที่มีการนำไปใช้

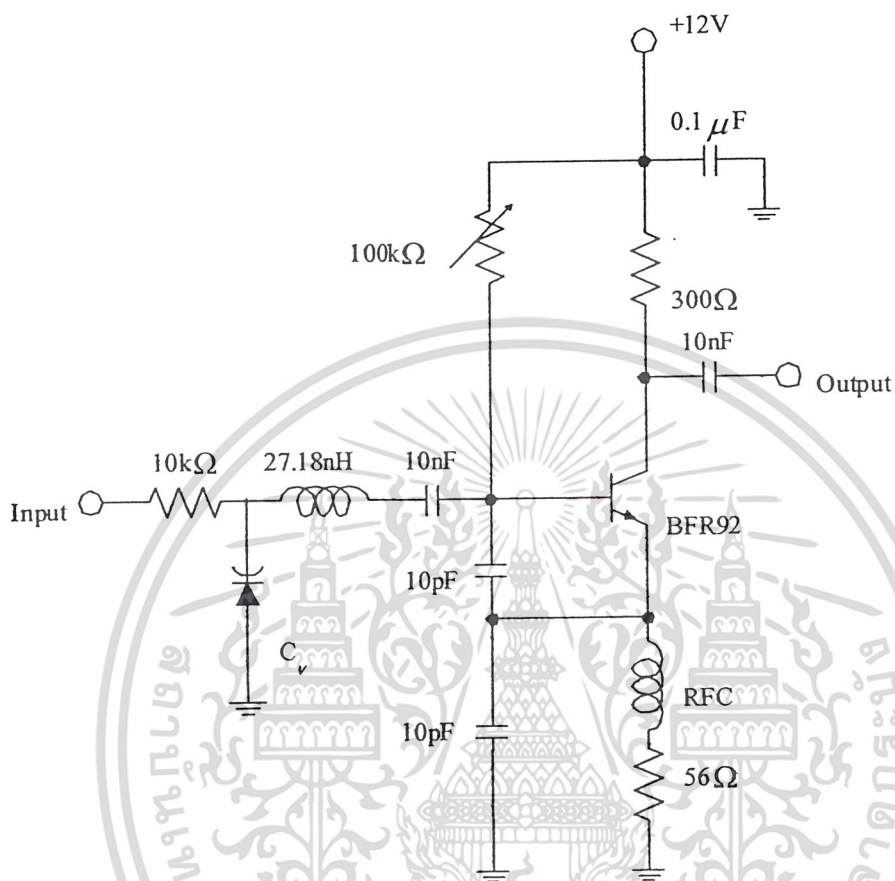
$$\begin{aligned}
 &= 4.89 \text{ pF} \\
 L &= \frac{1}{(2\pi f)^2 C_N} \\
 &= \frac{1}{(2\pi \times 436.5 \text{ MHz})^2 (4.89 \text{ pF})} \\
 &= 27.18 \text{ nH}
 \end{aligned}$$

เมื่อทำการใส่ค่าตามที่ได้คำนวณแล้วจะได้วงจรกำเนิดสัญญาณดังรูป 3.10



รูปที่ 3.10 วงจรกำเนิดสัญญาณ

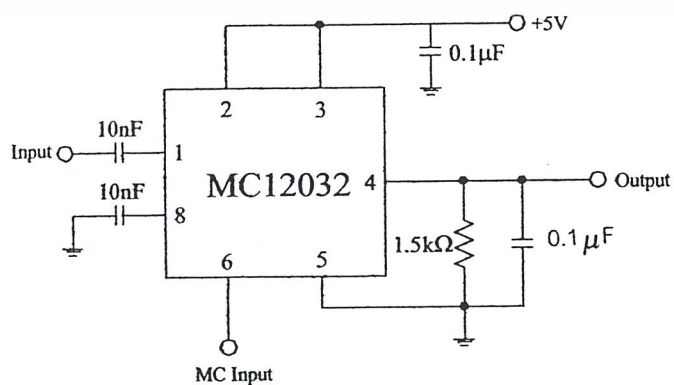
จากค่าภายในวงจรที่ได้ทำให้สามารถสร้างเป็นวงจรกำเนิดสัญญาณแบบปรับค่าความถี่ได้ตามแรงดันไฟฟ้าได้ดังรูป 3.11



รูปที่ 3.11 วงจรกำเนิดสัญญาณแบบปรับค่าความถี่ได้ตามแรงดันไฟฟ้า

### 3.4.2 การออกแบบวงจรพรีแอมพลิฟายเออร์แบบสองโมดูลัส

พรีแอมพลิฟายเออร์เป็นตัวหารความถี่ที่เข้ามาให้ต่ำลงเพื่อที่จะป้อนให้กับวงจรเฟสดีเทกเตอร์โดยใช้ไอซี MC12032 ซึ่งจะถูกระบุค่าเท่ากับ 64/65 โดยทำการต่อวงจรดังรูป 3.12

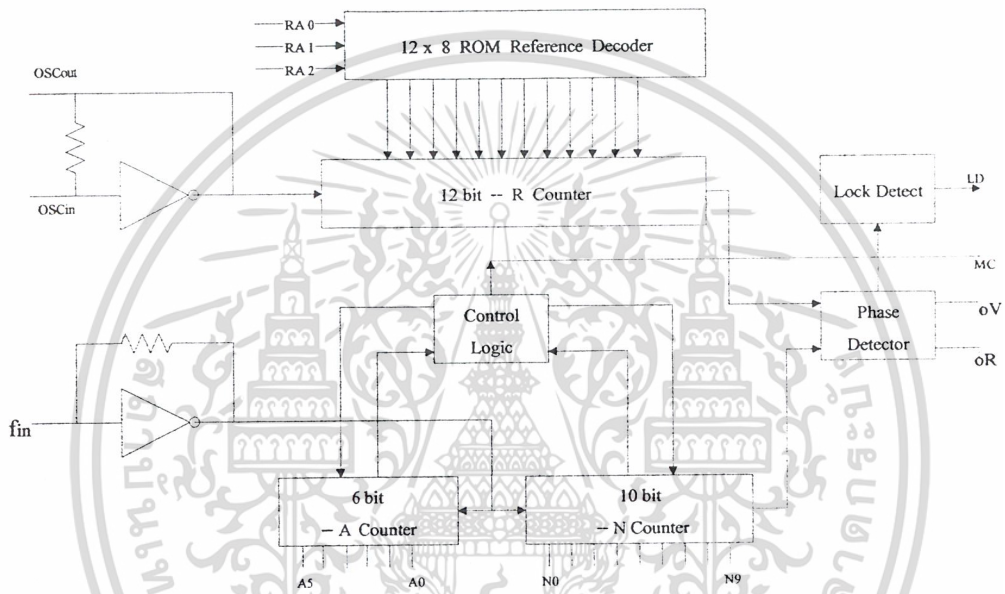


รูปที่ 3.12 การต่อวงจรของไอซี MC12032

เอกสารนี้เป็นเอกสารที่สงวนไว้สำหรับใช้ภายในเท่านั้น การนำเอกสารนี้ไปใช้ประโยชน์ด้านการค้าไม่ว่ากรณีใดๆ ทั้งสิ้น อีกทั้งห้ามมิให้ดัดแปลงเนื้อหา และต้องอ้างอิงถึงเจ้าของเอกสารทุกครั้งที่มีการนำไปใช้

### 3.4.3 การออกแบบวงจรเฟสดีเทกเตอร์และการตั้งโปรแกรมหารความถี่

ไอซี MC145152-2 ประกอบด้วยส่วนที่เป็นการโปรแกรมเพื่อหารความถี่ที่เข้ามาส่วนของความถี่อ้างอิงและส่วนของเฟสดีเทกเตอร์ดังแสดงได้ตามรูปที่ 3.13 ซึ่งไอซีนี้สามารถตั้งโปรแกรมเพื่อหารความถี่ที่เข้ามาให้ได้ 16 บิตแบบขนานโดย 10 บิตสำหรับตัวหาร N (10 bit / N Counter) และ 6 บิตสำหรับตัวหาร A (6 bit / A Counter) และมีโมดูลัสคอนโทรล (Modulus Control : MC) เพื่อส่งสัญญาณไปควบคุมการหารของไอซีเฟรีสเกลเลอร์ นอกจากนี้ยังมีล๊อคดีเทก (Lock Detect : LD) เพื่อใช้บอกสถานะการล๊อคของเฟสล๊อคอีกด้วย



รูปที่ 3.13 ส่วนประกอบต่างๆภายใน MC145152-2

ในส่วนความถี่อ้างอิงจะใช้คริสตอล 10.24 เมกะเฮิรตซ์ เป็นตัวอ้างอิงและหารความถี่ลงมาโดยกำหนดจากค่า  $RA_0$ ,  $RA_1$  และ  $RA_2$  ในวงจรส่วนนี้กำหนด  $RA_0$ ,  $RA_1$  และ  $RA_2$  เป็น “1 0 1” ซึ่งเท่ากับ การหารความถี่อ้างอิงจากคริสตอลด้วย 1024

$$\text{ฉะนั้นจะได้ความถี่อ้างอิงภายในตัวไอซีคือ } \frac{10.24\text{MHz}}{1024} = 10\text{kHz}$$

ในการตั้งโปรแกรมหารความถี่ มีวิธีการคำนวณดังนี้

1. ทำการหาค่าอัตราส่วนการหารทั้งหมด ( $N_t$ ) โดยคิดจากอัตราส่วนระหว่างค่าความถี่ของวงจรกำเนิดสัญญาณแบบปรับค่าความถี่ได้โดยใช้แรงดันไฟฟ้า ( $f_{vco}$ ) กับค่าความถี่อ้างอิง ( $f_{ref}$ ) ได้เป็นดังนี้

$$N_t = \frac{f_{vco}}{f_{ref}} = \frac{436.5\text{MHz}}{10\text{kHz}} = 43650$$

2. เปรียบเทียบค่าที่ได้กับสมการ  $N_f = NP + A$  จากค่าดัชนีของไอซี MC145152-2 โดยที่

N คือ ตัวโปรแกรม  $N_0 - N_9 = 10$  บิต ทารตั้งแต่ 3-1023

A คือ ตัวโปรแกรม  $A_0 - A_5 = 6$  บิต ทารตั้งแต่ 0-63

P คือ ตัวหารของพริสเกลเลอร์ทาร 64 และ 65

แทนค่าสมการเป็นดังนี้;  $43650 = (N * 64) + A$

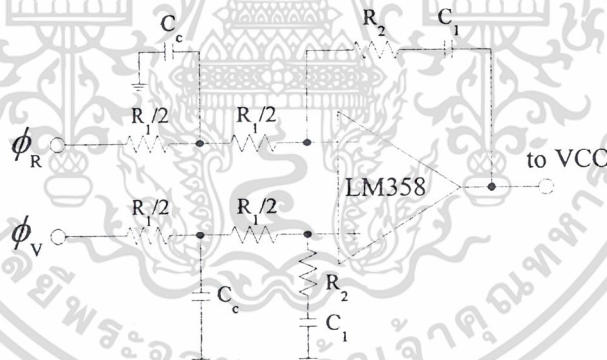
ดังนั้น  $N = 682$  แปลงเป็นเลขฐาน2ได้เป็น (MSB) 1010101010 (LSB)

$A = 2$  แปลงเป็นเลขฐาน2ได้เป็น (MSB) 000010 (LSB)

สังเกตว่าถ้าตัวหารมีค่ามากขึ้นจะทำให้ความถี่ของวงจรวงจรกำเนิดสัญญาณแบบปรับค่าความถี่ได้โดยใช้แรงดันไฟฟ้ามีค่ามากขึ้นและถ้าตัวหารน้อยลงก็จะทำให้ความถี่ของวงจรวงจรกำเนิดสัญญาณแบบปรับค่าความถี่ได้โดยใช้แรงดันไฟฟ้ามีค่าลดลงตามไปด้วยซึ่งค่าความถี่ที่เปลี่ยนแปลงไปนี้จะมีค่าเท่ากับความถี่อ้างอิง 10 kHz ต่อ 1 บิตของ A และจะเปลี่ยนแปลงไป 640 kHz ( $64 * 10 \text{ kHz}$ ) ต่อ 1 บิตของ N

### 3.4.4 การออกแบบวงจรูปฟิลเตอร์ (Loop Filter)

การออกแบบวงจรูปฟิลเตอร์ออกแบบโดยใช้ไอซี LM 358 มีโครงสร้างวงจรวงจรดังรูปที่ 3.14



รูปที่ 3.14 โครงสร้างวงจรูปฟิลเตอร์

ซึ่งมีการออกแบบโดยกำหนดให้

$$f_o = 436.5 \text{ MHz (local oscillator frequency)}$$

$$f_s = 10 \text{ kHz (channel spacing)}$$

$$f_b = 0.01 f_s \text{ (loop bandwidth)}$$

$$f_{rc} = 20 f_b \text{ (filter cut off frequency)}$$

$$\delta = 0.8 \text{ (loop damping factor)}$$

$$V_{DD} = 5 \text{ volts (PLL supply voltage)}$$

$$K_{vco} = 2\pi \frac{\Delta f_{vco}}{\Delta V_{vco}} \text{ (VCO gain , measured on VCO)}$$

$$C_1 = 0.1 \mu F \text{ (active integrator component)}$$

$$K_\phi = \frac{V_{DD}}{2\pi} \text{ (Phase detector gain)} \quad (3.7)$$

$$\omega_n = \frac{2\pi f_b}{\sqrt{2\delta^2 + 1 + \sqrt{((2\delta^2 + 1)^2 + 1)}}} \text{ (Natural frequency)} \quad (3.8)$$

$$N_t = \frac{f_o}{f_s} \text{ (Total Division ratio in feedback loop)} \quad (3.9)$$

$$R_1 = \frac{K_\phi K_{vco}}{C_1 \omega_n^2 N_t} \quad (3.10)$$

$$R_2 = \frac{2\delta}{\omega_n C_1} \quad (3.11)$$

$$C_c = \frac{4}{2R_1 f_{rc}} \quad (3.12)$$

จากสมการข้างต้น ส่วนที่จะหาค่าลงในวงจรคือ  $R_1$ ,  $R_2$  และ  $C_c$  เพราะฉะนั้นแทนค่าลงในสมการคือ

$$K_\phi = \frac{V_{DD}}{2\pi} = \frac{5}{2\pi} = 0.7957$$

$$K_{vco} = 2\pi \frac{\Delta f_{vco}}{\Delta V_{vco}} = 2\pi \frac{(579.8 - 402.5) \text{ MHz}}{12} = 92.83 \times 10^6 \text{ rad/V} \text{ (ได้จากการวัด)}$$

$$f_b = 0.01 f_s = 0.01 \times 10 \times 10^3 = 100 \text{ Hz}$$

$$\omega_n = \frac{2\pi \times 100}{\sqrt{2(0.8)^2 + 1 + \sqrt{((2(0.8)^2 + 1)^2 + 1)}}} = \frac{628.31}{2.184} = 287.69 \text{ rad/sec}$$

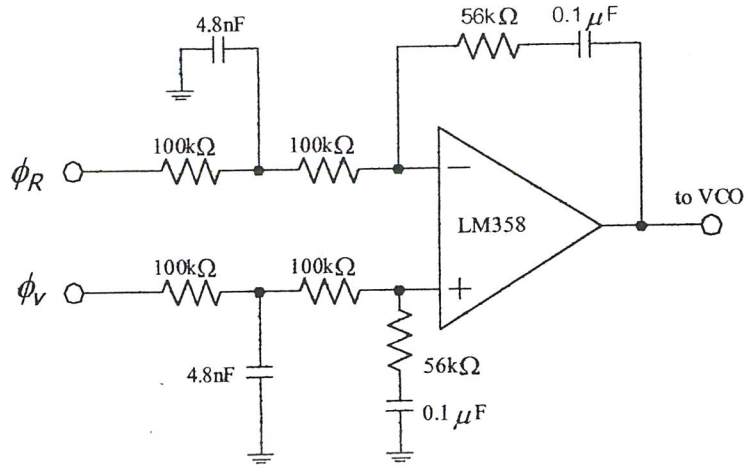
$$N_t = \frac{f_o}{f_s} = \frac{436.5 \times 10^6}{10 \times 10^3} = 43650$$

$$R_1 = \frac{0.7957 \times 92.83 \times 10^6}{0.1 \times 10^{-6} \times (287.69)^2 \times 43650} = 204.457 \text{ k}\Omega$$

$$R_2 = \frac{2\delta}{\omega_n C_1} = \frac{2 \times 0.8}{287.69 \times 0.1 \times 10^{-6}} = 55.61 \text{ k}\Omega$$

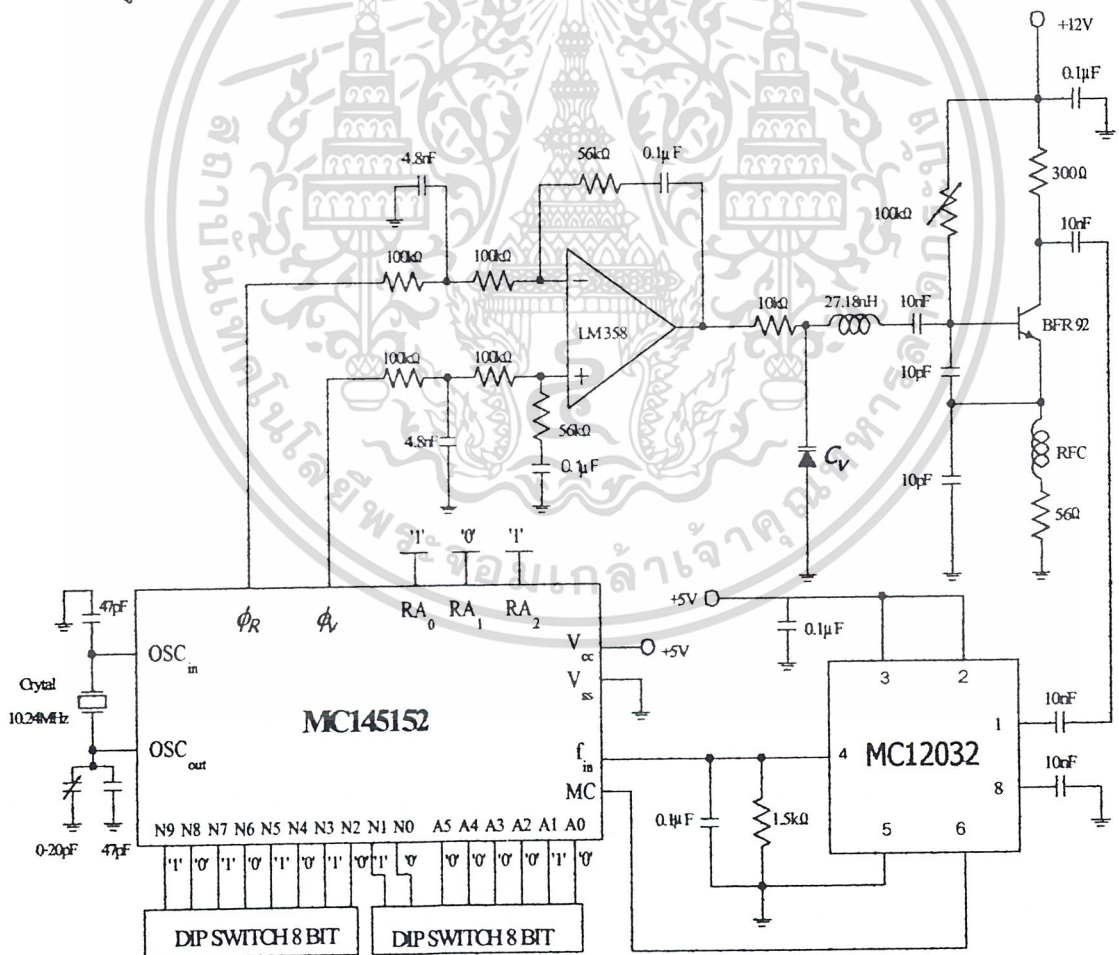
$$C_c = \frac{4}{2R_1 f_{rc}} = \frac{4}{2 \times 204.457 \times 10^3 \times 20 \times 100} = 4.8 \text{ nF}$$

ตามคำแนะนำ ให้  $R_1$  แบ่งเป็น 2 ตัว จึงได้ค่าประมาณคือ 100 k $\Omega$  และ 100 k $\Omega$  ตามลำดับ  $R_2$  ประมาณ 56 k $\Omega$  นำมาสร้างเป็นวงจรฟิลเตอร์ได้ดังวงจรในรูปที่ 3.15



รูปที่ 3.15 วงจรรูปฟิลเตอร์ที่ใช้งานจริง

หลังจากคำนวณได้คั้งนี้แล้วนำวงจรแต่ละส่วนรวมเข้าด้วยกันจะได้วงจรสังเคราะห์ความถี่ด้วยเฟสล็อกความถี่ 436.5 เมกะเฮิรตซ์ที่สมบูรณ์ดังรูปที่ 3.16



รูปที่ 3.16 วงจรสังเคราะห์ความถี่ด้วยเฟสล็อกความถี่ 436.5 เมกะเฮิรตซ์

เอกสารนี้เป็นเอกสารที่สงวนไว้สำหรับการใช้งานเพื่อการศึกษาเท่านั้น ไม่อนุญาตให้นำไปใช้ประโยชน์ด้านการค้า ไม่ว่าจะกรณีใดๆ ทั้งสิ้น อีกทั้งห้ามมิให้ดัดแปลงเนื้อหา และต้องอ้างอิงถึงเจ้าของเอกสารทุกครั้งที่มีการนำไปใช้

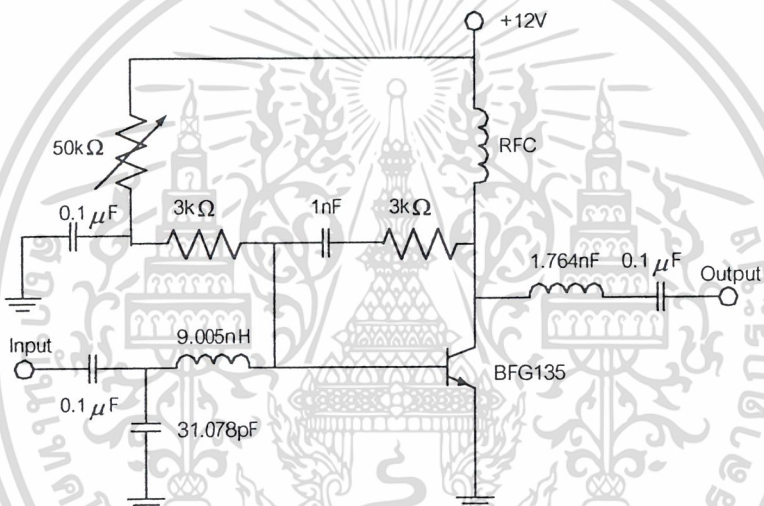
### 3.5 วงจรมอดูเลตความถี่เอฟเอ็ม

การมอดูเลตความถี่เอฟเอ็มในโครงการนี้จะทำการมอดูเลตโดยใช้วงจรสังเคราะห์ความถี่ซึ่งสามารถทำได้โดยใช้หลักการที่ว่าวิธีโอดจะเปลี่ยนความถี่เนื่องจากแรงดันควบคุม ดังนั้นถ้าเราป้อนสัญญาณเข้าไปพร้อมกับแรงดันควบคุมที่วงจรสังเคราะห์ความถี่ 436.5 เมกะเฮิร์ตซ์ก็จะสามารถทำการมอดูเลตความถี่เอฟเอ็มได้

### 3.6 วงจรขับกำลังสัญญาณความถี่วิทยุที่ความถี่ 436.5 เมกะเฮิร์ตซ์

(436.5 MHz RF Driver Amplifier)

ในการสร้างเราใช้ทรานซิสเตอร์เบอร์ BFG135 การออกแบบวงจรใช้โปรแกรมไมโครเวฟออฟฟิศช่วยในการออกแบบ ได้วงจรดังรูปที่ 3.17

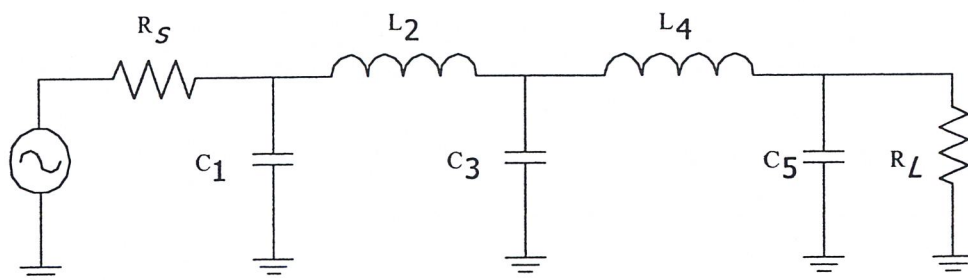


รูปที่ 3.17 วงจรขับกำลังสัญญาณความถี่วิทยุที่ความถี่ 436.5 เมกะเฮิร์ตซ์

ภาครับ

### 3.7 การออกแบบวงจรกรองความถี่ต่ำผ่านแบบเชบีเชฟ (Chebyshev)

ทำการออกแบบเป็นวงจรกรองความถี่ต่ำผ่านแบบเชบีเชฟ อันดับที่มี 5 มีค่าริบเบิล 0.5 dB และให้มีความถี่คัทออฟที่ 500 เมกะเฮิร์ตซ์



รูปที่ 3.18 วงจรต้นแบบของวงจรกรองความถี่ต่ำผ่านแบบเชบีเชฟ อันดับที่มี 5

เอกสารนี้เป็นเอกสารที่สงวนไว้สำหรับการใช้งานเพื่อการศึกษาเท่านั้น ไม่อนุญาตให้นำไปใช้ประโยชน์ด้านการค้าไม่ว่ากรณีใดๆ ทั้งสิ้น อีกทั้งห้ามมิให้ดัดแปลงเนื้อหา และต้องอ้างอิงถึงเจ้าของเอกสารทุกครั้งที่มีการนำไปใช้

| อันดับ | $R_S/R_L$ | $C_1$ | $L_2$ | $C_3$ | $L_4$ | $C_5$ |
|--------|-----------|-------|-------|-------|-------|-------|
| 5      | 1.000     | 1.807 | 1.303 | 2.691 | 1.303 | 1.807 |

ตารางที่ 3.3 ค่าพื้นฐานของวงจรกรองความถี่ต่ำผ่านแบบเชบีเชฟ อันดับที่ 5

$$C = \frac{C_n}{2\pi f_c R}$$

$$L = \frac{RL_n}{2\pi f_c}$$

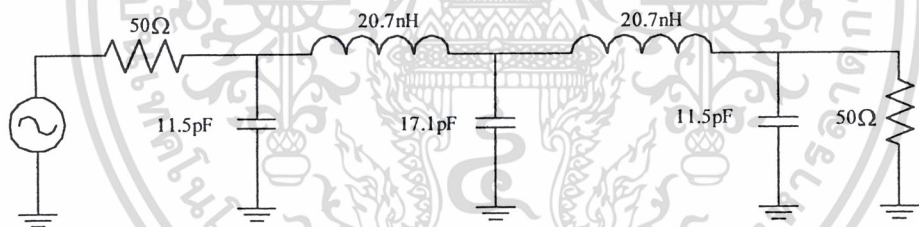
$$C_1 = \frac{1.807}{2\pi(500 \times 10^6)(50)} = 11.5 \text{ pF}$$

$$L_2 = \frac{1.303(50)}{2\pi(500 \times 10^6)} = 20.7 \text{ nH}$$

$$C_3 = \frac{2.691}{2\pi(500 \times 10^6)(50)} = 17.1 \text{ pF}$$

$$L_4 = \frac{1.303(50)}{2\pi(500 \times 10^6)} = 20.7 \text{ nH}$$

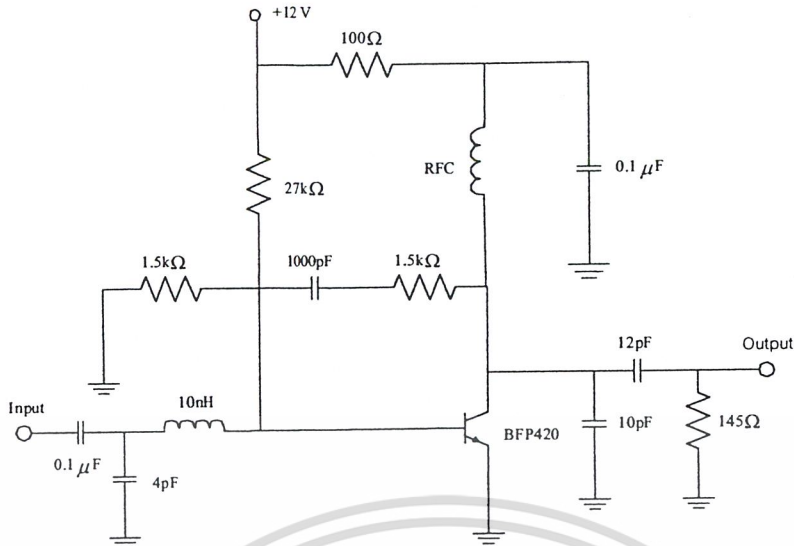
$$C_5 = \frac{1.807}{2\pi(500 \times 10^6)(50)} = 11.5 \text{ pF}$$



รูปที่ 3.19 วงจรกรองความถี่ต่ำผ่านชนิดเชบีเชฟ อันดับที่ 5 คัทออฟที่ 500 เมกะเฮิร์ตซ์

### 3.8 การออกแบบวงจรขยายสัญญาณที่มีระดับสัญญาณรบกวนต่ำ (Low Noise Amplifier)

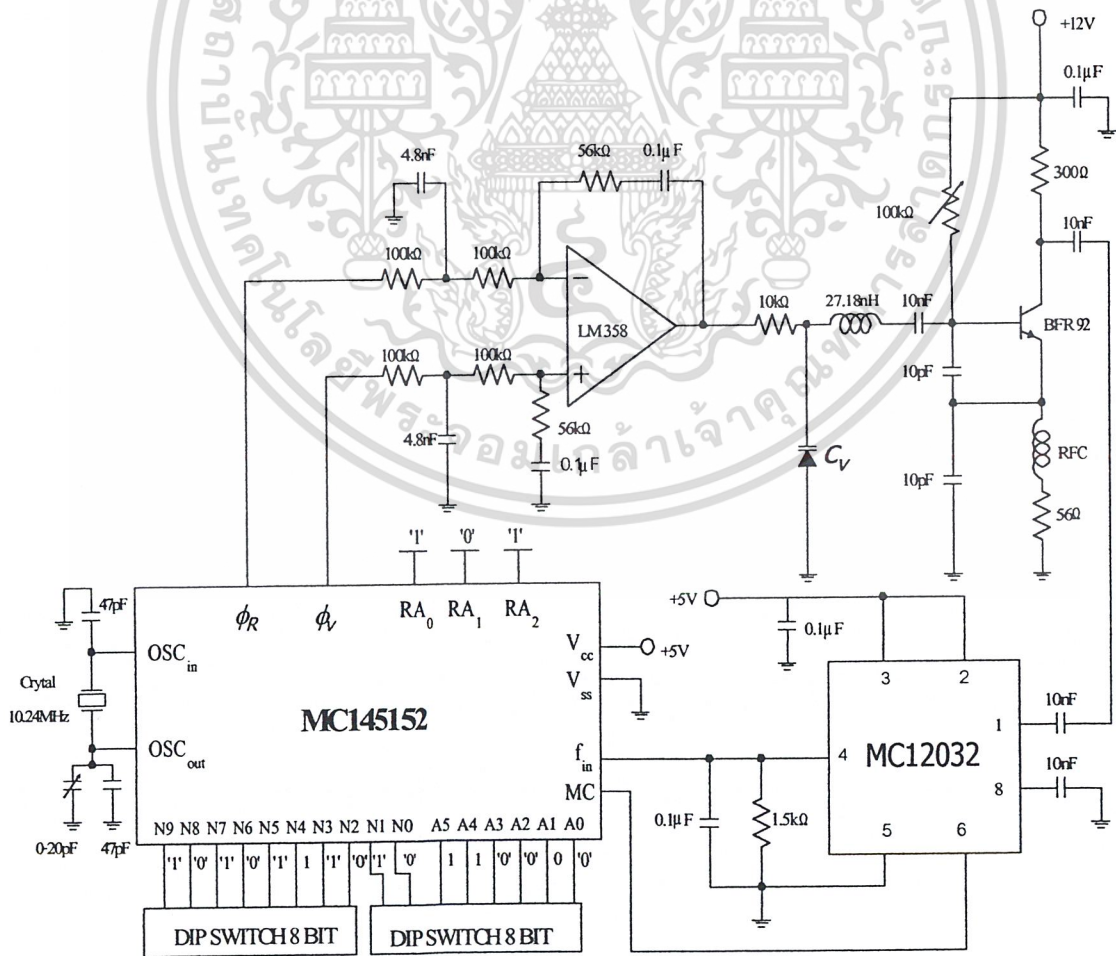
นำสัญญาณที่ได้จากวงจรกรองความถี่ผ่านไปทำการขยายขนาดสัญญาณ โดยในการสร้างเราเลือกใช้ทรานซิสเตอร์เบอร์ BFP420 ใช้โปรแกรมไมโครเวฟออฟฟิศช่วยในการออกแบบได้ดังรูปที่ 3.20



รูปที่ 3.20 วงจรขยายสัญญาณที่มีระดับสัญญาณรบกวนต่ำที่ความถี่ 436.5 เมกะเฮิรตซ์

3.9 การออกแบบวงจรสังเคราะห์ความถี่โดยใช้เฟสล็อกที่ความถี่ 447.2 เมกะเฮิรตซ์

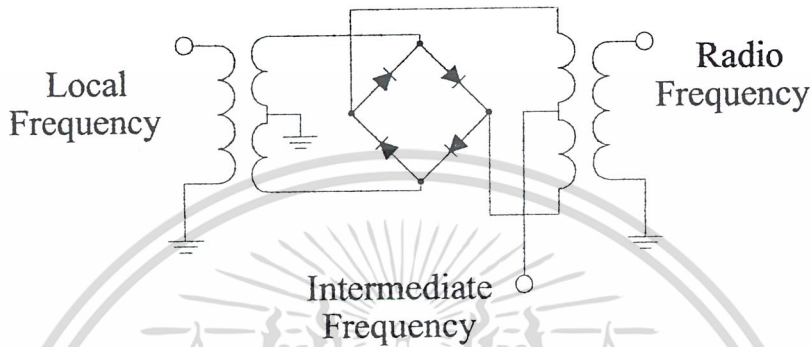
วิธีการออกแบบเหมือนกับหัวข้อ 3.4 เพื่อให้ได้ความถี่ตามที่ต้องการ จะเปลี่ยนค่า N เป็น(MSB) 1010111010 (LSB) และค่า A เป็น (MSB) 110000 (LSB)



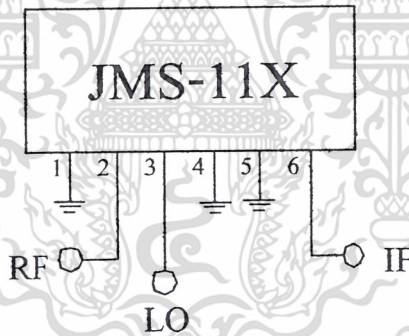
รูปที่ 3.21 วงจรสังเคราะห์ความถี่ด้วยเฟสล็อกที่ความถี่ 447.2 เมกะเฮิรตซ์

### 3.10 การออกแบบวงจรมิกเซอร์ (Mixer)

วงจรมิกเซอร์ใช้ JMS-11X โดยให้สัญญาณความถี่ 436.5 เมกะเฮิร์ตซ์ เป็นความถี่วิทยุและให้สัญญาณจากวงจรสังเคราะห์ความถี่ 447.2 เมกะเฮิร์ตซ์เป็นความถี่โลคอล การต่อวงจรแสดงได้ดังรูปที่ 3.22



รูปที่ 3.22 วงจรภายในของ JMS-11X

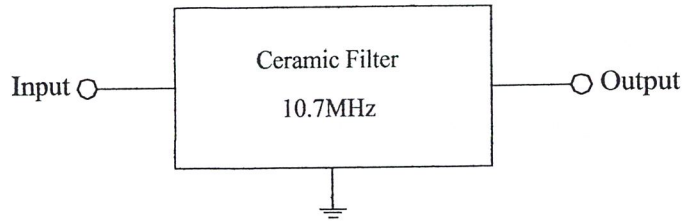


รูปที่ 3.23 วงจรมิกเซอร์ที่ให้ความถี่กลางที่ 10.7 เมกะเฮิร์ตซ์

จะได้เอาต์พุตเป็นค่าความถี่กลางออกมาซึ่งเราต้องการเฉพาะค่าผลต่างของความถี่วิทยุและความถี่โลคอลเท่านั้นดังนั้นจึงต้องนำเอาต์พุตจากวงจรนี้ไปผ่านวงจรกรองความถี่ผ่านอีกครั้งหนึ่งเพื่อให้ได้ช่วงความถี่ที่ต้องการ

### 3.11 การออกแบบวงจรเซรามิกฟิลเตอร์ที่ 10.7 เมกะเฮิร์ตซ์

สัญญาณที่ออกมาจากวงจรมิกเซอร์นั้นจะมีฮาร์โมนิกอื่น ๆ รวมอยู่ด้วยเพราะฉะนั้นจึงต้องมีวงจรกรองแถบความถี่ผ่านเพื่อกรองเอาเฉพาะความถี่ 10.7 เมกะเฮิร์ตซ์ออกมาโดยทำการต่อวงจรตามรูปที่ 3.24



รูปที่ 3.24 วงจรเซรามิกฟิลเตอร์ที่ 10.7 เมกะเฮิรตซ์

### 3.12 การออกแบบวงจรขยายความถี่กลางที่ความถี่ 10.7 เมกะเฮิรตซ์ (IF Amplifier 10.7 MHz)

สัญญาณที่ผ่านวงจรกรองแถบความถี่ผ่านจะมีขนาดสัญญาณเล็กจึงจำเป็นต้องมีวงจรขยายสัญญาณในส่วนนี้ให้มีขนาดสัญญาณแรงขึ้นเพื่อนำไปใช้ในส่วนอื่นต่อไป

จากสมการ

$$g_{m(\min)} = \frac{1 + |S_{21}|}{Z_o} \quad (3.13)$$

ต้องการ  $S_{21} = 30dB$  เพราะฉะนั้น

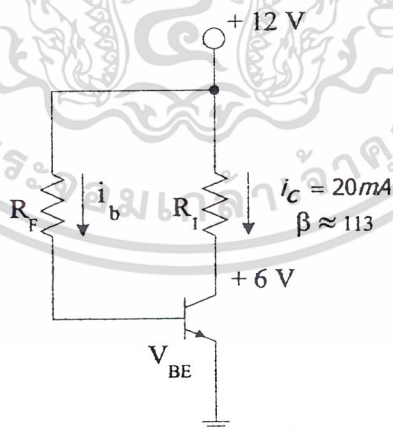
$$g_{m(\min)} = \frac{31}{50} = 0.62$$

เลือกใช้  $g_m = 0.8$  จะได้

$$i_c = g_m \times V_T = 0.8 \times 25mV = 20mA$$

(3.14)

พิจารณาวงจรสมมูลทางคิซี



รูปที่ 3.25 วงจรสมมูลทางคิซีของวงจรคอมมอนอิมิตเตอร์

กำหนดให้

$$V_{CC} = +12V_{dc}$$

$$V_C = +6V$$

$$V_{BE} = 0.7V$$

เอกสารนี้เป็นเอกสารที่สงวนไว้สำหรับการใช้งานเพื่อการศึกษาเท่านั้น ไม่อนุญาตให้นำไปใช้ประโยชน์ด้านการค้า ไม่ว่าจะกรณีใดๆ ทั้งสิ้น อีกทั้งห้ามมิให้ดัดแปลงเนื้อหา และต้องอ้างอิงถึงเจ้าของเอกสารทุกครั้งที่มีการนำไปใช้

$$\beta = 113 \text{ (ได้จากการวัด)}$$

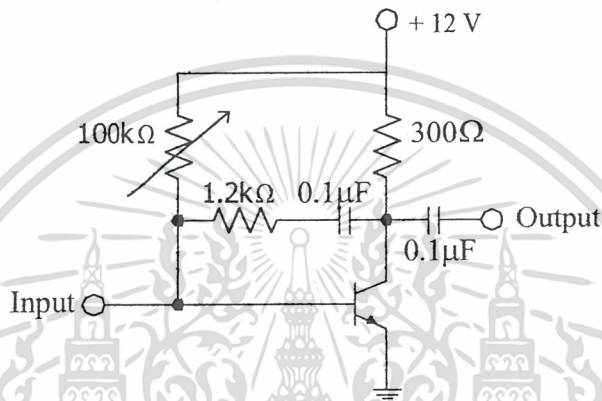
และ  $I_E \approx I_C = 20 \text{ mA}$

จะได้

$$R_1 = \frac{V_{CC} - V_C}{I_C} = 300 \Omega \quad (3.15)$$

$$R_F = \frac{V_{CC} - V_{BE}}{I_B} = 63.8 \text{ k}\Omega \quad (3.16)$$

จากการคำนวณจะได้รูปวงจรรขยายสัญญาณความถี่กลางดังรูป 3.26



รูปที่ 3.26 วงจรรขยายสัญญาณความถี่กลาง 10.7 เมกะเฮิรตซ์ ที่ใช้งานจริง

### 3.13 การออกแบบวงจรเอฟเอ็มดีมอดูเลเตอร์ (FM Demodulator)

เนื่องจากการมอดูเลตทางด้านภาคส่งทำการมอดูเลตแบบเอฟเอ็มดังนั้นจึงทำการออกแบบวงจรเอฟเอ็มดีมอดูเลเตอร์เพื่อให้ได้สัญญาณข่าวสารเดิมกลับคืนมา โดยในที่นี้เราใช้ไอซี MC3363 โดยต่อวงจรตามคำแนะนำในคาต้าลีท ซึ่งประกอบไปด้วย

3.13.1 วงจรคริสตอลออสซิลเลเตอร์ 10.245 เมกะเฮิรตซ์ (Crystal Oscillator)

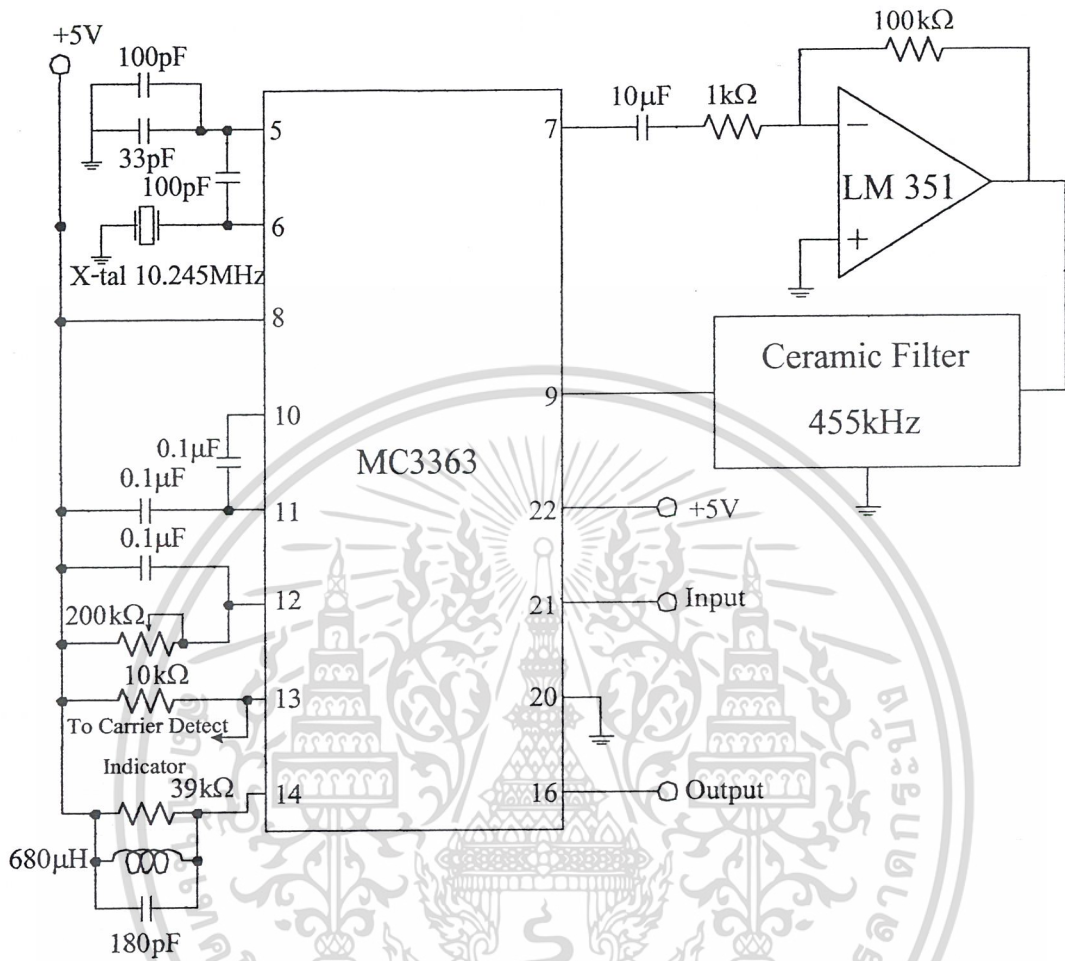
3.13.2 วงจรมิกเซอร์ (Mixer)

3.13.3 วงจรรขยายสัญญาณความถี่กลาง 455 กิโลเฮิรตซ์ (IF Amplifier)

3.13.4 วงจรกรองสัญญาณความถี่กลาง 455 กิโลเฮิรตซ์ (IF Filter)

3.13.5 วงจรเอฟเอ็มดีมอดูเลเตอร์ (FM Demodulator)

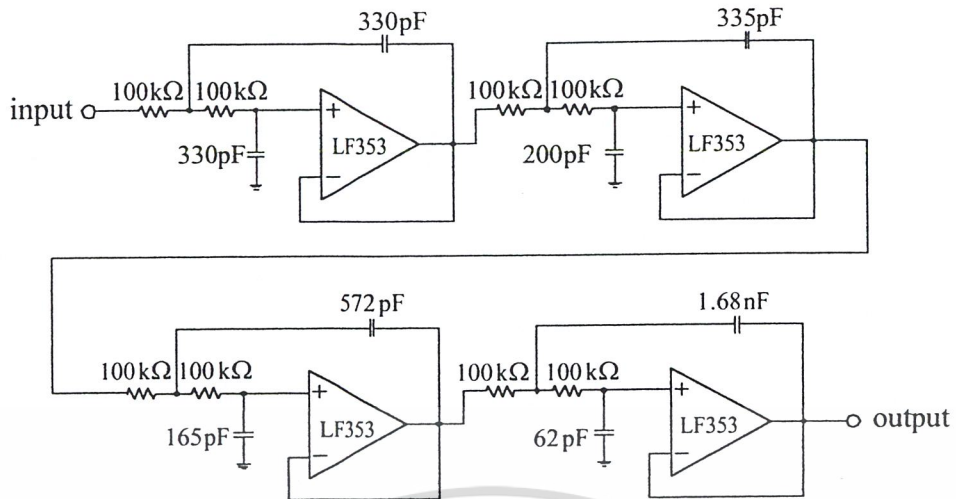
จากส่วนประกอบต่างๆสามารถแสดงวงจรรวมของวงจรถ่ายเฟรมเอ็มซีเอ็มไอแอลได้ดังรูป 3.27



รูปที่ 3.27 วงจรถ่ายเฟรมเอ็มซีเอ็มไอแอล

### 3.14 การออกแบบวงจรถ่ายความถี่ต่ำผ่านแบบแอคทีฟ (Active Low Pass Filter)

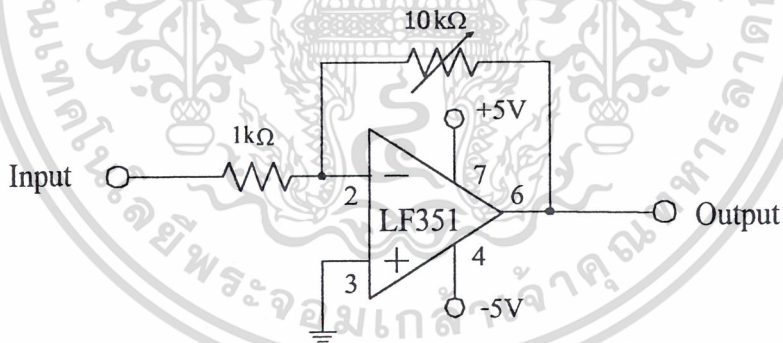
เนื่องจากเมื่อทำการคิมอดูเลตสัญญาณแล้วอาจมีสัญญาณอื่นมารบกวนสัญญาณข่าวสาร(เสียง)จึงทำการออกแบบวงจรถ่ายความถี่แบบบัตเทอร์เวิร์ทชนิดแอคทีฟ อันดับที่ 8 และให้มีความถี่คัทออฟที่ 5 กิโลเฮิร์ตซ์เพื่อกำจัดสัญญาณรบกวนที่สูงกว่า 5 กิโลเฮิร์ตซ์ทิ้งไป สามารถทำการออกแบบและคำนวณได้ตามหัวข้อที่ 3.2 สามารถแสดงวงจรถ่ายความถี่ต่ำผ่านได้ดังรูปที่ 3.28



รูปที่ 3.28 วงจรกรองความถี่ต่ำผ่านแบบแอกทีฟความถี่คัทออฟที่ 5 กิโลเฮิร์ตซ์

### 3.15 การออกแบบวงจรขยายสัญญาณเสียง(Audio Amplifier)

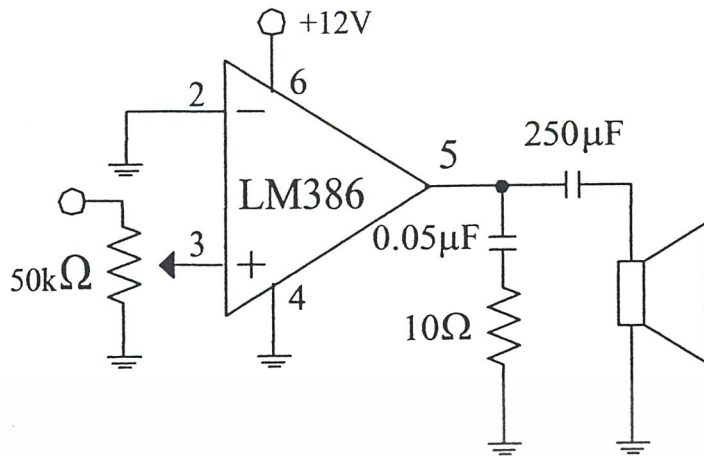
เนื่องจากสัญญาณที่ทำการคิมอูเลตให้ได้สัญญาณเคิมกลับคีนมายังมีขนาดเล็กจึงต้องทำการขยายสัญญาณให้มีขนาดสูงขึ้นโดยนำไปผ่านวงจรขยายสัญญาณแบบกลับเฟสซึ่งสามารถทำการออกแบบและคำนวณได้ตามหัวข้อ 3.2 สามารถแสดงวงจรขยายสัญญาณที่ออกแบบไว้ได้ดังรูป 3.29



รูปที่ 3.29 วงจรขยายสัญญาณเสียงแบบกลับเฟส

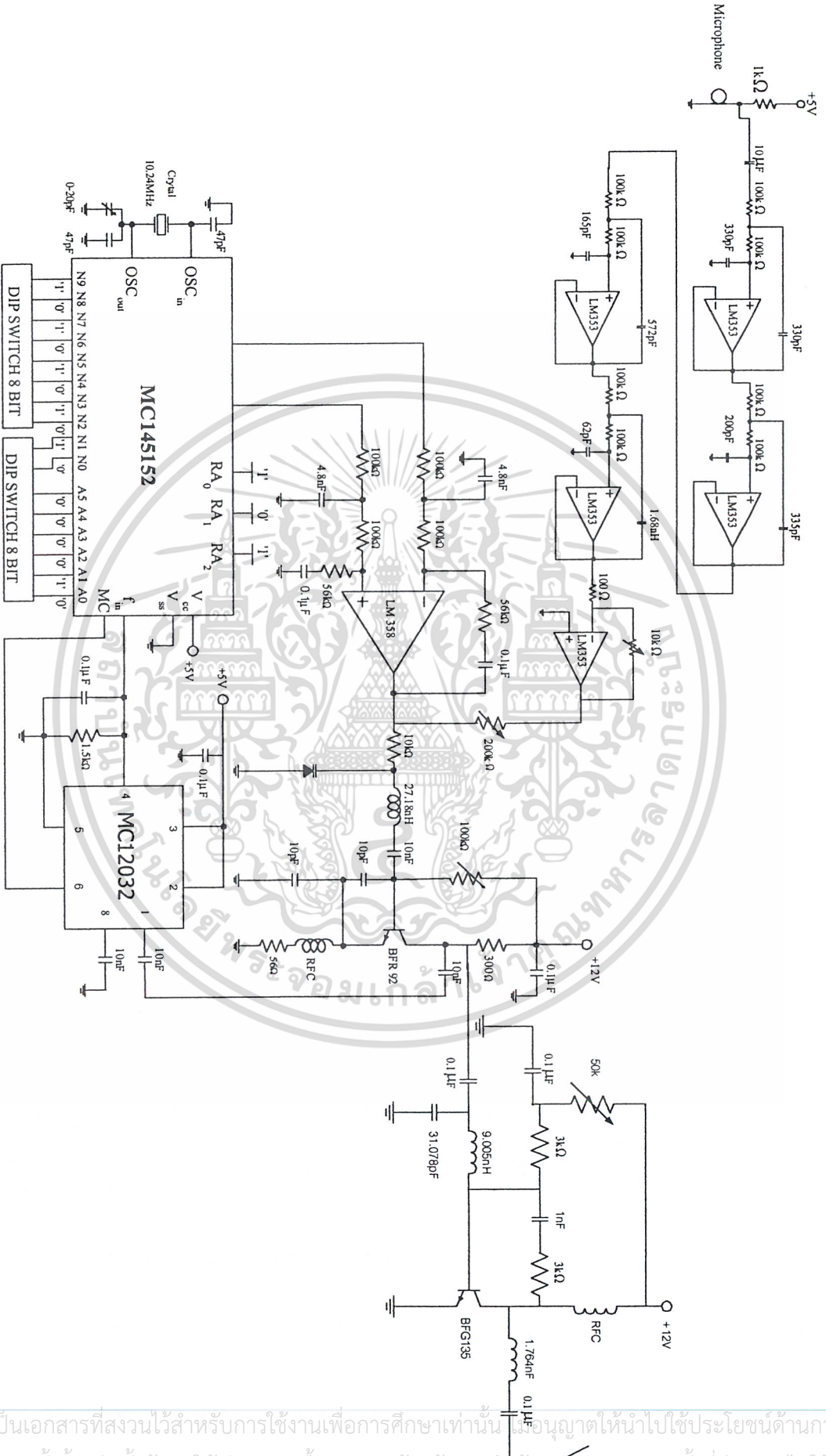
### 3.16 การออกแบบวงจรขยายกำลังสัญญาณเสียง (Power Audio Amplifier)

เนื่องจากสัญญาณที่ผ่านวงจรคิมอูเลเตอร์และวงจรกรองความถี่ต่ำผ่านยังมีขนาดเล็กไม่เพียงพอที่จะขับสัญญาณออกสู่ลำโพงดังนั้นเราจึงต้องทำการออกแบบวงจรขยายกำลังสัญญาณเสียงเพื่อให้สัญญาณมีกำลังมากเพียงพอที่จะขับออกสู่ลำโพงได้ สามารถทำการออกแบบได้ตามคาค่ารีทโดยมีอัตราการขยาย 20 เท่า วงจรที่ออกแบบสามารถแสดงได้ดังรูป 3.30



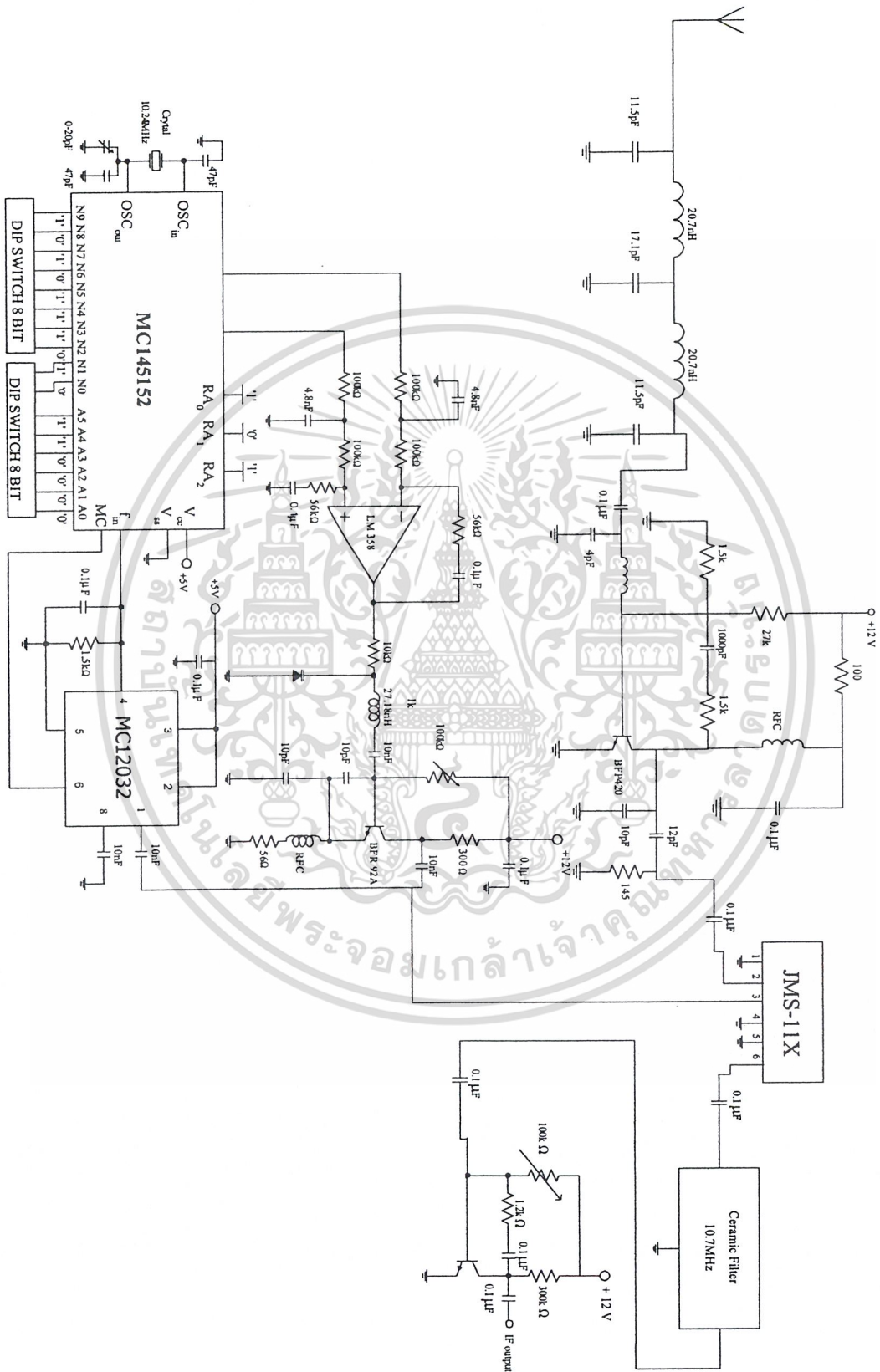
รูปที่ 3.30 วงจรขยายกำลังสัญญาณเสียง





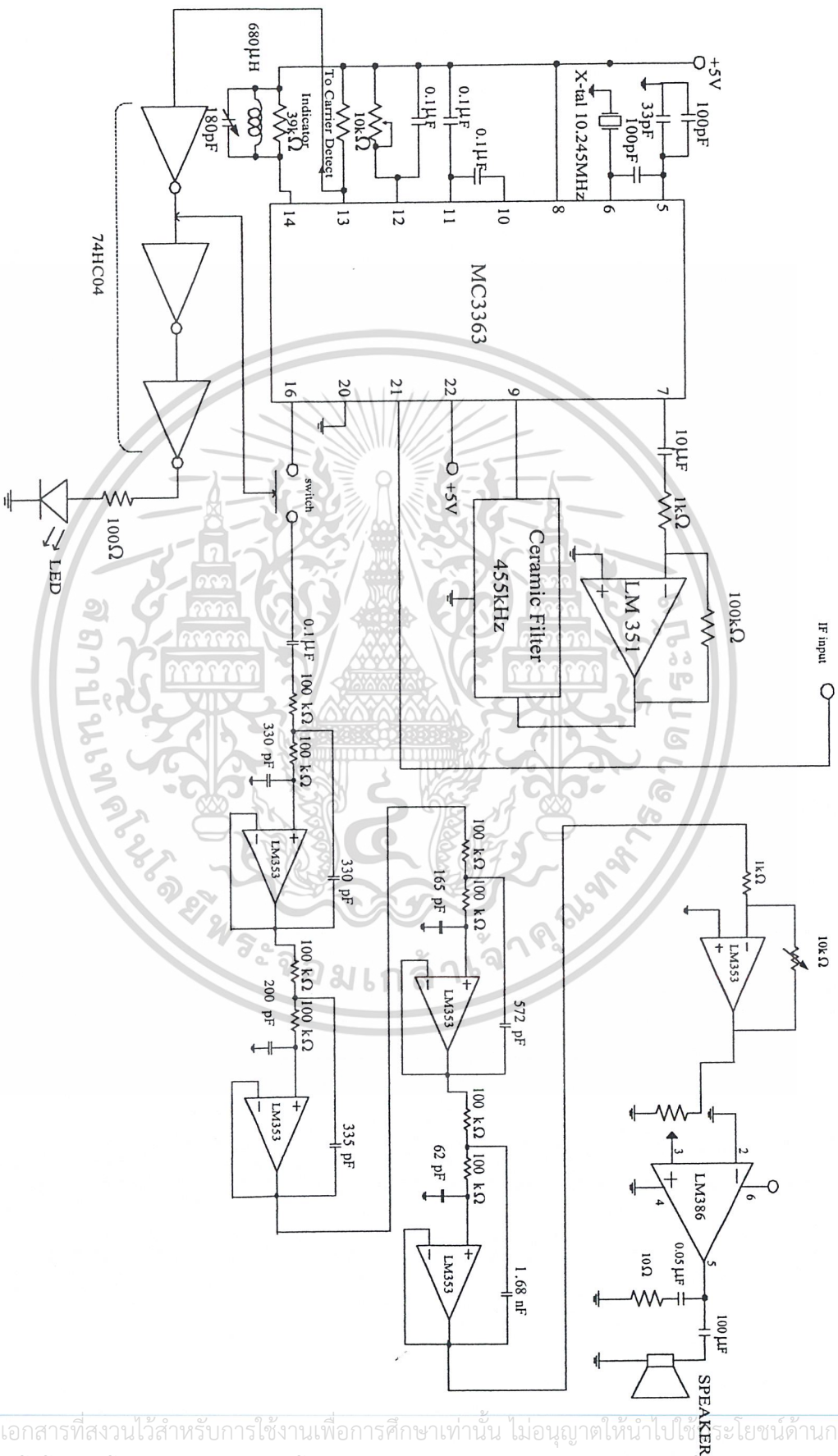
รูปที่ 3.31 วงจรรวมด้านส่งของเครื่องรับ-ส่งวิทยุย่านความถี่ UHF

เอกสารนี้เป็นเอกสารที่สงวนไว้สำหรับการใช้งานเพื่อการศึกษาเท่านั้น ไม่อนุญาตให้นำไปใช้ประโยชน์ด้านการค้า  
ไม่ว่ากรณีใดๆ ทั้งสิ้น อีกทั้งห้ามมิให้ดัดแปลงเนื้อหา และต้องอ้างอิงถึงเจ้าของเอกสารทุกครั้งที่มีการนำไปใช้



รูปที่ 3.32 วงจรรวมตัวนรับของเครื่องรับ-ส่งวิทยุย่านความถี่ UHF

เอกสารนี้เป็นเอกสารที่สงวนไว้สำหรับการใช้งานเพื่อการศึกษาเท่านั้น ไม่อนุญาตให้นำไปใช้ประโยชน์ด้านการค้า  
ไม่ว่ากรณีใดๆ ทั้งสิ้น อีกทั้งห้ามมิให้ดัดแปลงเนื้อหา และต้องอ้างอิงถึงเจ้าของเอกสารทุกครั้งที่มีการนำไปใช้



รูปที่ 3.33 วงจรรวมตัวนรับของเครื่องรับ-ส่งวิทยุผ่านความถี่ UHF (ต่อ)

เอกสารนี้เป็นเอกสารที่สงวนไว้สำหรับการใช้งานเพื่อการศึกษาเท่านั้น ไม่อนุญาตให้นำไปใช้ประโยชน์ด้านการค้า  
ไม่ว่ากรณีใดๆ ทั้งสิ้น อีกทั้งห้ามมิให้ดัดแปลงเนื้อหา และต้องอ้างอิงถึงเจ้าของเอกสารทุกครั้งที่มีการนำไปใช้

## บทที่ 4

### การทดลองและผลการทดลอง

จากที่กล่าวมาแล้วในบทที่ 3 เป็นการออกแบบวงจรเพื่อให้ได้วงจรที่มีผลตอบสนองเป็นไปตามต้องการ แต่ในทางปฏิบัตินั้นวงจรต่างๆที่มีการออกแบบไว้อาจไม่ให้เกิดตอบสนองที่ตรงกับทางทฤษฎีเสียทีเดียว โดยเฉพาะอย่างยิ่งในวงจรความถี่สูงคงเป็นไปได้ยากที่วงจรจะสามารถให้ผลตอบสนองที่สมบูรณ์ทุกอย่าง ผลการทดลองที่ได้จากวงจรตามที่ออกแบบไว้ในบทที่ 3 เป็นผลการทดลองที่เก็บผลโดยใช้ออสซิลโลสโคป (Oscilloscope) TDS380 ของ Tektronix, สเปกตรัมอานาไลเซอร์ (Spectrum Analyzer) HP8596E ของ Hewlett Packard และเครื่องกำเนิดสัญญาณ (Signal Generator) HP8648C ของ Hewlett Packard เช่นกัน ผลการทดลองในบทที่ 4 นี้สามารถแบ่งออกได้เป็น 2 ส่วนด้วยกันคือ

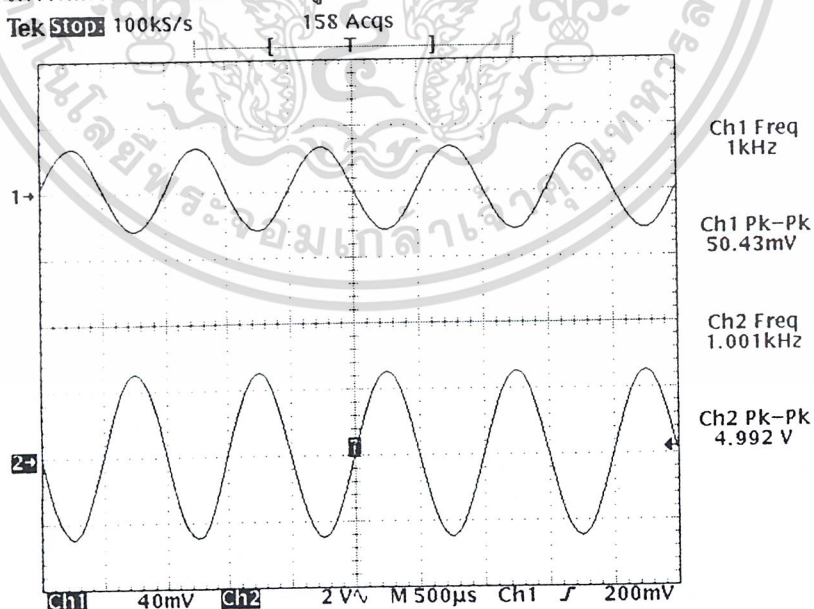
1. ผลการทดลองของวงจรภาคส่ง
- และ 2. ผลการทดลองของวงจรภาครับ

#### ภาคส่ง

#### Transmitter

#### 4.1 ผลการทดลองของวงจรขยายสัญญาณเสียง (Audio Amplifier)

วงจรขยายสัญญาณเสียงทำหน้าที่ขยายสัญญาณเสียงที่ได้รับมาจากไมโครโฟน เพื่อให้เอาต์พุตของสัญญาณมีขนาดแรงดันสูงขึ้น วงจรขยายสามารถปรับอัตราการขยายแรงดันได้โดยมีอัตราการขยายแรงดันสูงสุด 100 เท่า ผลการทดลองแสดงได้ดังรูปที่ 4.1



รูปที่ 4.1 เปรียบเทียบสัญญาณอินพุตและเอาต์พุตของวงจรขยายสัญญาณเสียง

Ch1: สัญญาณอินพุตความถี่ 1 กิโลเฮิร์ตซ์

Ch2: สัญญาณเอาต์พุตของวงจรขยายสัญญาณเสียง

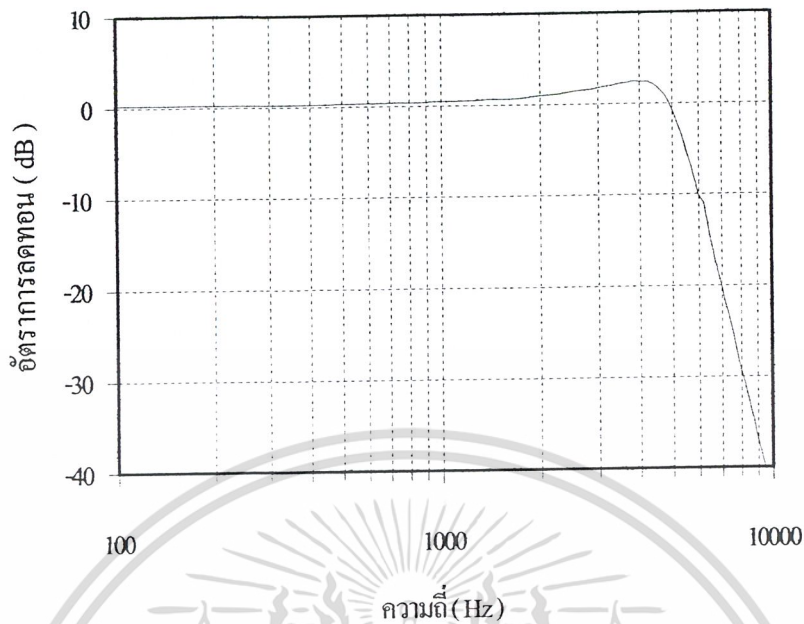
## 4.2 ผลการทดลองของวงจรกรองความถี่ต่ำผ่านแบบบัตเทอร์เวิร์ทชนิดเอกที่ 8

### ความถี่คัทออฟที่ 5 กิโลเฮิร์ตซ์ (Active Low Pass Filter)

ผลตอบสนองทางความถี่ของวงจรกรองความถี่ต่ำผ่านแบบบัตเทอร์เวิร์ทชนิดเอกที่ 8 โดยใช้วงจร Sallen and Key อันดับที่ 8 โดยมีความถี่คัทออฟที่ 5 กิโลเฮิร์ตซ์ ผลตอบสนองของวงจรกรองความถี่แสดงได้ดังตารางที่ 4.1 และรูปที่ 4.2

| ความถี่ (Hz) | อัตราการลดทอน (dB) | ความถี่ (Hz) | อัตราการลดทอน (dB) | ความถี่ (Hz) | อัตราการลดทอน (dB) |
|--------------|--------------------|--------------|--------------------|--------------|--------------------|
| 100          | 0.270              | 3200         | 1.979              | 6400         | -13.979            |
| 200          | 0.274              | 3400         | 2.144              | 6600         | -16.249            |
| 400          | 0.274              | 3600         | 2.278              | 6800         | -18.416            |
| 600          | 0.341              | 3800         | 2.463              | 7000         | -20.264            |
| 800          | 0.407              | 4000         | 2.411              | 7200         | -22.158            |
| 1000         | 0.473              | 4200         | 2.411              | 7400         | -23.876            |
| 1200         | 0.539              | 4400         | 2.089              | 7600         | -25.679            |
| 1400         | 0.668              | 4600         | 1.466              | 7800         | -27.535            |
| 1600         | 0.668              | 4800         | 0.603              | 8000         | -29.371            |
| 1800         | 0.796              | 5000         | -0.799             | 8200         | -30.752            |
| 2000         | 0.984              | 5200         | -2.383             | 8400         | -32.395            |
| 2200         | 1.107              | 5400         | -4.096             | 8600         | -33.979            |
| 2400         | 1.289              | 5600         | -6.09              | 8800         | -35.391            |
| 2600         | 1.467              | 5800         | -8.223             | 9000         | -37.077            |
| 2800         | 1.583              | 6000         | -10.228            | 10000        | -43.265            |
| 3000         | 1.812              | 6200         | -11.056            |              |                    |

ตารางที่ 4.1 ตารางผลตอบสนองทางความถี่ของวงจรกรองความถี่ต่ำผ่าน



รูปที่ 4.2 กราฟแสดงผลตอบสนองทางความถี่ของวงจรความถี่ต่ำผ่านแบบแอกทีฟ

#### 4.3 ผลการทดลองของวงจรสังเคราะห์ความถี่ด้วยเฟสล็อกลูป 436.5 เมกะเฮิร์ตซ์ (436.5 MHz Phase Lock Loop - Frequency Synthesizer)

วงจรสังเคราะห์ความถี่ด้วยเฟสล็อกลูปใช้ความถี่ที่ 436.5 เมกะเฮิร์ตซ์ ประกอบด้วยวงจรย่อยภายในระบบ 4 ส่วนด้วยกัน ผลการทดลองในวงจรต่างๆประกอบด้วย

- 4.3.1 ผลการทดลองของวงจรกำเนิดสัญญาณแบบปรับค่าความถี่ได้ตามแรงดันไฟฟ้า (Voltage Controlled Oscillator: VCO)
- 4.3.2 ผลการทดลองจากวงจรพรีสเกลเลอร์ (Prescaler)
- 4.3.3 ผลการทดลองจากวงจรสังเคราะห์ความถี่ด้วยเฟสล็อกลูป 436.5 เมกะเฮิร์ตซ์
  - คริสตัลออสซิลเลเตอร์ (Crystal Oscillator) ความถี่ 10.24 เมกะเฮิร์ตซ์
  - สัญญาณล็อกดีเทก (Lock Detect : LD)
  - $\phi_R$ ,  $\phi_V$
  - สัญญาณโมดูลัสคอนโทรล (Modulus Controlled :MC)
- 4.3.4 ผลการทดลองจากวงจรฟิลเตอร์ (Loop Filter)
- 4.3.5 ผลการทดลองวงจรรวมของการสังเคราะห์ความถี่ที่ 436.5 เมกะเฮิร์ตซ์

#### 4.3.1 ผลการทดลองของวงจรกำเนิดสัญญาณแบบปรับค่าความถี่ได้ตามแรงดันไฟฟ้า (Voltage Controlled Oscillator: VCO)

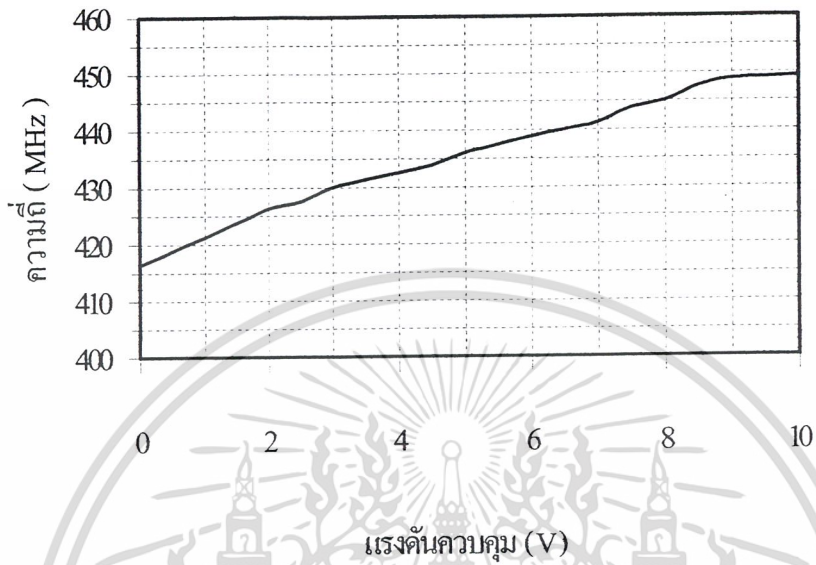
ผลการทดลองอยู่ในรูปแบบของตารางและกราฟแสดงความสัมพันธ์ระหว่างแรงดันที่ใช้ควบคุมกับความถี่และความถี่กับกำลังงานเอาต์พุตที่ได้ เพื่อนำไปใช้ในการสังเคราะห์ความถี่ด้วยเฟสล็อกลูปที่ 436.5 เมกะเฮิรตซ์อีกทีหนึ่ง ผลการทดลองแสดงได้ตามตารางที่ 4.2 และรูปที่ 4.3 - 4.4

| แรงดันควบคุม<br>(V) | ความถี่<br>(MHz) | แรงดันควบคุม<br>(V) | ความถี่<br>(MHz) |
|---------------------|------------------|---------------------|------------------|
| 0.0                 | 416.3            | 5.5                 | 437.4            |
| 0.5                 | 418.8            | 6.0                 | 438.8            |
| 1.0                 | 421.3            | 6.5                 | 440.0            |
| 1.5                 | 423.8            | 7.0                 | 441.3            |
| 2.0                 | 426.3            | 7.5                 | 443.8            |
| 2.5                 | 427.5            | 8.0                 | 445.0            |
| 3.0                 | 430.0            | 8.5                 | 447.5            |
| 3.5                 | 431.3            | 9.0                 | 448.8            |
| 4.0                 | 432.5            | 9.5                 | 449.0            |
| 4.5                 | 433.8            | 10.0                | 449.2            |
| 5.0                 | 436              |                     |                  |

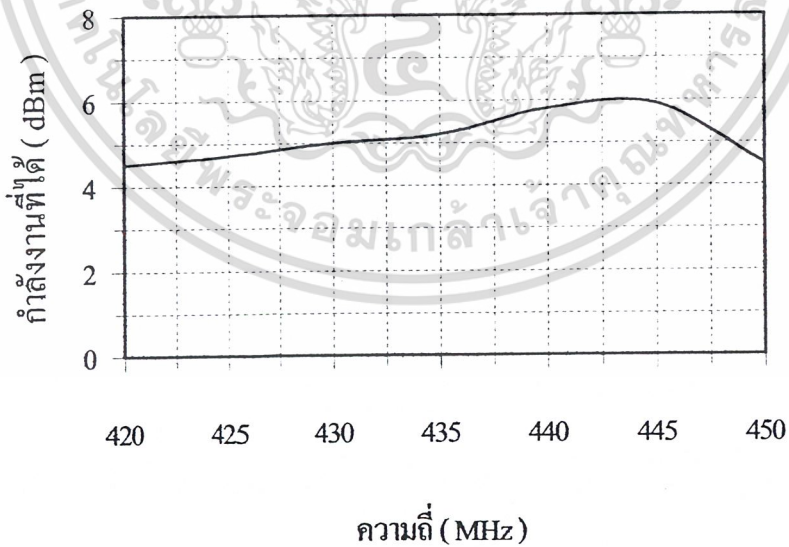
ตารางที่ 4.2 ความสัมพันธ์ระหว่างแรงดันควบคุมกับความถี่ที่ได้จากวงจรกำเนิดสัญญาณแบบปรับค่าความถี่ได้ตามแรงดันไฟฟ้า

| ความถี่<br>(MHz) | กำลังงาน<br>(dBm) |
|------------------|-------------------|
| 420              | 4.5               |
| 425              | 4.7               |
| 430              | 5                 |
| 435              | 5.2               |
| 440              | 5.8               |
| 445              | 5.9               |
| 450              | 4.5               |

ตารางที่ 4.3 ความสัมพันธ์ระหว่างความถี่กับกำลังงานเอาต์พุตที่ได้จากวงจรกำเนิดสัญญาณแบบปรับค่าความถี่ได้ตามแรงดันไฟฟ้า



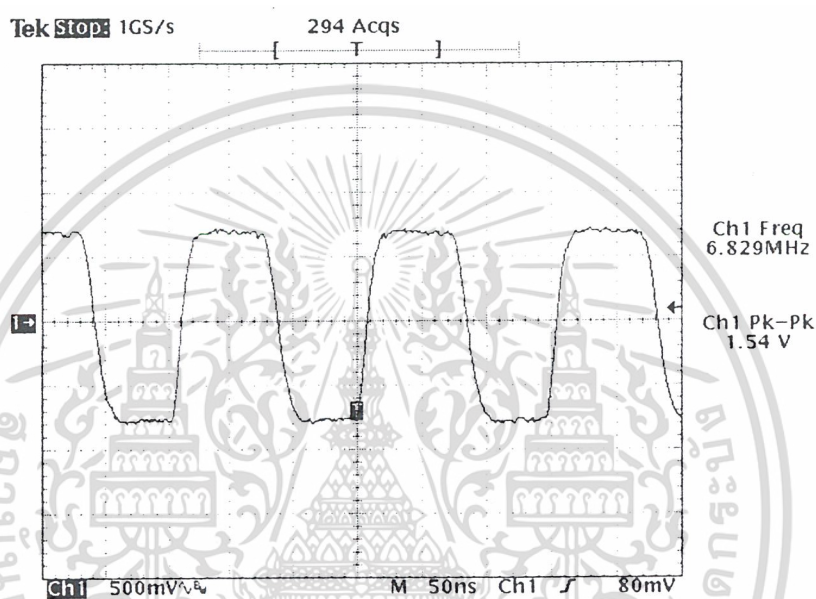
รูปที่ 4.3 กราฟความสัมพันธ์ระหว่างแรงดันควบคุมกับความถี่ที่ได้ จากวงจรกำเนิดสัญญาณแบบปรับค่าความถี่ได้ตามแรงดันไฟฟ้า



รูปที่ 4.4 กราฟความสัมพันธ์ระหว่างความถี่กับกำลังงานเอาต์พุตที่ได้ จากวงจรกำเนิดสัญญาณแบบปรับค่าความถี่ได้ตามแรงดันไฟฟ้า

### 4.3.2 ผลการทดลองจากวงจรพรีสเกลเลอร์ (Prescaler)

วงจรพรีสเกลเลอร์ MC12032 ทำการหารที่ความถี่ 64 / 65 โดยอินพุตของวงจรพรีสเกลเลอร์ได้มาจากวงจรกำเนิดสัญญาณแบบปรับค่าความถี่ได้ตามแรงดันไฟฟ้า (ในหัวข้อที่ 4.3.1) และเอาต์พุตที่ได้จากวงจรพรีสเกลเลอร์ จะถูกส่งต่อไปให้กับเฟสดีเทกเตอร์ (ขาที่ 1) ใน MC145152 โดยทำการทดลองป้อนความถี่ 245 เมกะเฮิร์ตซ์เป็นความถี่ที่ใช้ในการทดสอบได้ผลการทดลองของวงจรพรีสเกลเลอร์เป็นดังนี้



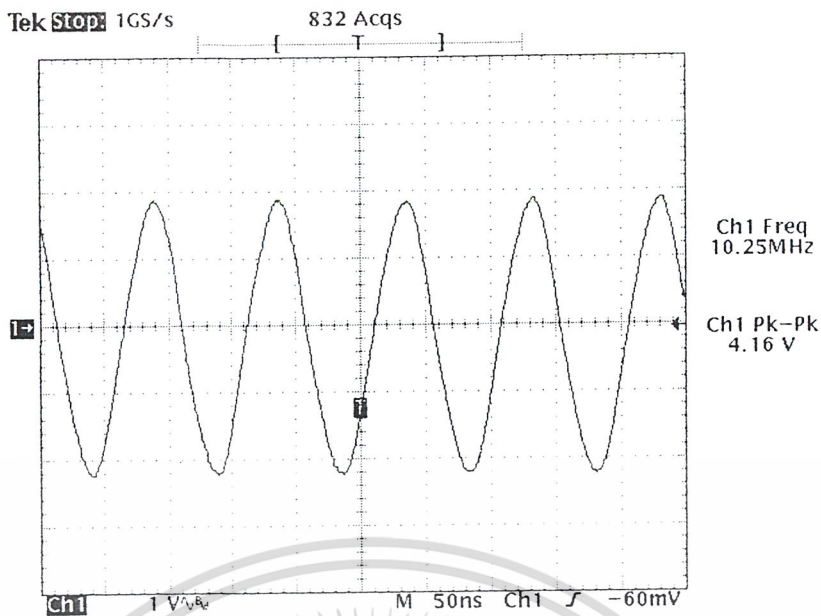
รูปที่ 4.5 สัญญาณเอาต์พุตจากวงจรพรีสเกลเลอร์

### 4.3.3 ผลการทดลองจากวงจรสังเคราะห์ความถี่ด้วยเฟสล็อกลูป 436.5 เมกะเฮิร์ตซ์

ในส่วนของวงจรสังเคราะห์ความถี่ด้วยเฟสล็อกลูปที่ความถี่ 436.5 เมกะเฮิร์ตซ์ใช้ไอซี MC145152 ประกอบด้วยผลการทดลองแยกเป็นส่วนตัวต่างๆ โดยเมื่อทำการล็อกความถี่แล้วมีผลการทดลองดังนี้

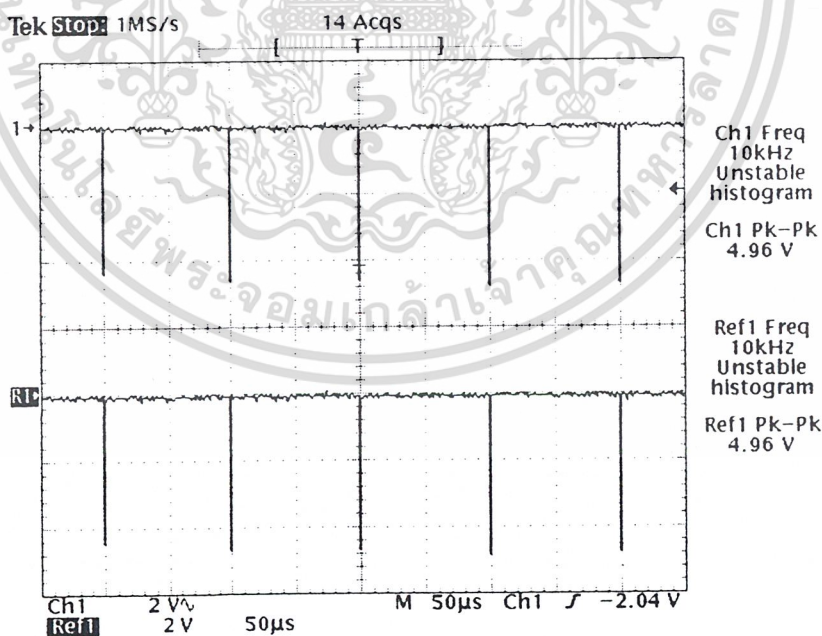
#### คริสตอลออสซิลเลเตอร์ 10.24 เมกะเฮิร์ตซ์

คริสตอลออสซิลเลเตอร์ความถี่ 10.24 เมกะเฮิร์ตซ์ใช้เป็นสัญญาณอ้างอิงในการเปรียบเทียบเฟสกับเอาต์พุตที่ได้จากพรีสเกลเลอร์ ผลการทดลองเป็นดังรูปที่ 4.6



รูปที่ 4.6 สัญญาณจากคริสตอลออสซิลเลเตอร์ความถี่ 10.24 เมกะเฮิร์ตซ์ (ขา 26) ของ MC 145152

สัญญาณ  $\phi_R$  และ  $\phi_V$   
 สัญญาณ  $\phi_R$  และ  $\phi_V$  ใช้ในการเปลี่ยนแปลงความถี่ขึ้นหรือลง หากวงจรสังเคราะห์ความถี่ล็อกความถี่แล้วจะได้รูปสัญญาณดังต่อไปนี้



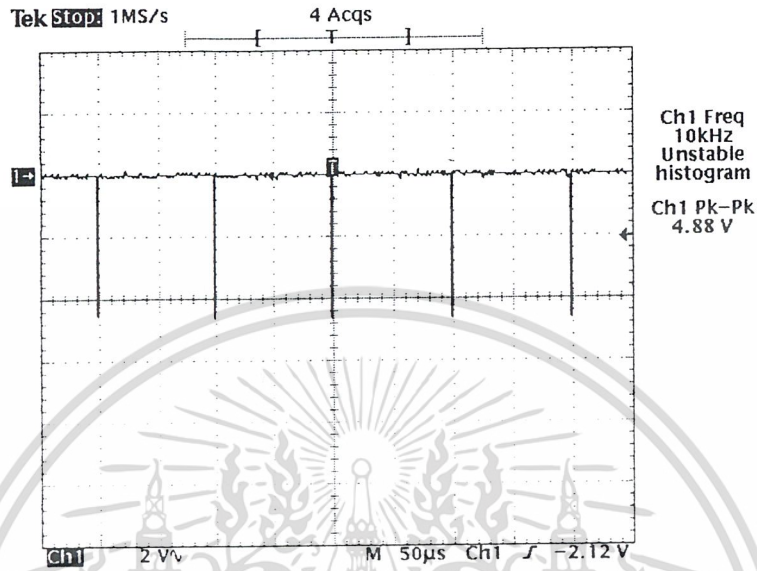
รูปที่ 4.7 แสดงสัญญาณที่ขา  $\phi_R$  (ขาที่ 7),  $\phi_V$  (ขาที่ 8) ของ MC145152

เมื่อ Ch1: สัญญาณที่ได้จากขา  $\phi_R$

Ref1: สัญญาณที่ได้จากขา  $\phi_V$

**สัญญาณล็อกคิตเทก (LD: Lock Detect)**

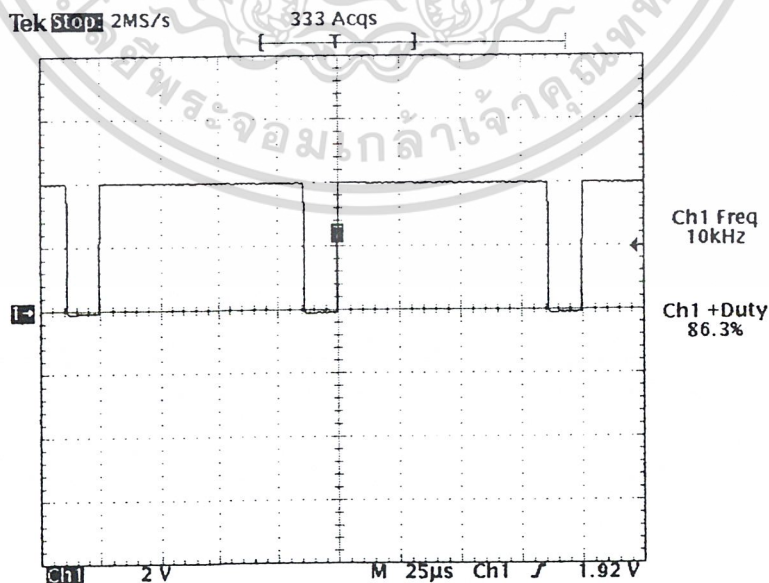
หากความถี่ในวงจรสังเคราะห์ความถี่ถูกล็อกความถี่แล้ว สัญญาณที่ได้จากขาล็อกคิตเทก(ขาที่ 28) ของ MC145152 แสดง ได้ดังรูปที่ 4.8



รูปที่ 4.8 รูปสัญญาณที่ได้จากขา Lock Detect (ขาที่ 28) ของ MC145152

**สัญญาณโมดูลัสคอนโทรล (MC: Modulus Control)**

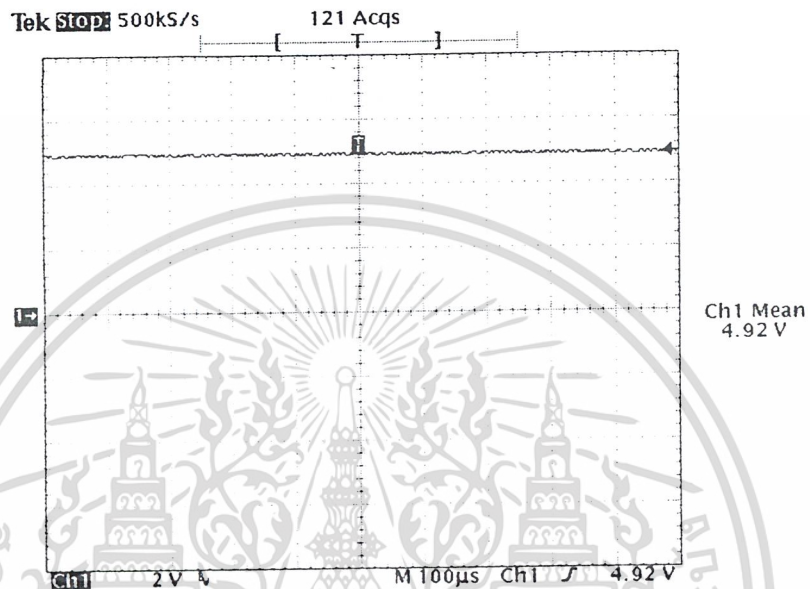
สัญญาณโมดูลัสคอนโทรลใช้ควบคุมการหารของพรีสเกลเลอร์โดยคิวตี้ไซเคิล (Duty cycle) ที่ได้จะมีความสัมพันธ์กับค่าการตั้งหารที่ขา  $A_0 - A_5$  และ  $N_0 - N_5$  และ สัญญาณที่ได้จากขาโมดูลัสคอนโทร แสดงดังรูปที่ 4.9



รูปที่ 4.9 สัญญาณที่ได้จากขา MC (ขาที่ 9) ของ MC145152

#### 4.3.4 ผลการทดลองจากวงจรรูปฟิลเตอร์ (Loop Filter)

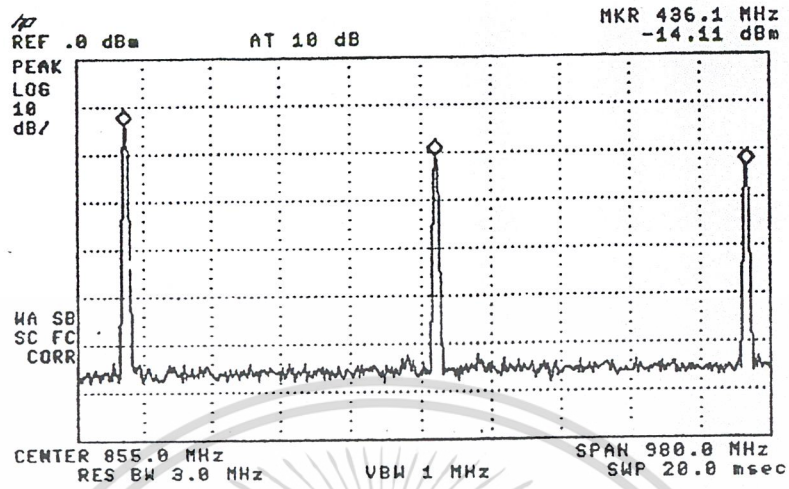
นำสัญญาณจากขา  $\phi_R$  (ขาที่ 7),  $\phi_V$  (ขาที่ 8) ของไอซี MC145152 ป้อนเป็นอินพุตให้กับวงจรรูปฟิลเตอร์เพื่อกรองเอาแต่ส่วนที่เป็นไฟตรงซึ่งใช้เป็นแรงดันการควบคุมป้อนกลับไปยังวงจรถ้าเนดสัญญาณแบบปรับค่าความถี่ได้ตามแรงดันไฟฟ้า เอาต์พุตที่ได้จากวงจรรูปฟิลเตอร์แสดงดังรูป 4.10



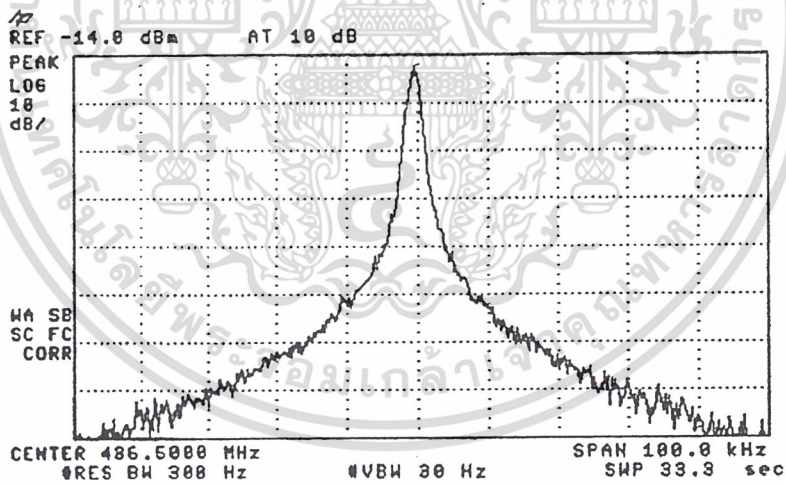
รูปที่ 4.10 ระดับแรงดันไฟตรงที่ได้จากรูปฟิลเตอร์ที่ความถี่ 436.5 เมกะเฮิรตซ์

#### 4.3.5 ผลการทดลองวงจรรวมของการสังเคราะห์ความถี่ที่ 436.5 เมกะเฮิรตซ์

สเปกตรัมของสัญญาณความถี่ 436.5 เมกะเฮิรตซ์หลังจากล็อกความถี่แล้วได้ผลเมื่อวัดด้วยสเปกตรัมอนาล็อกเซอร์เป็นดังรูป 4.11 ฮาร์โมนิกที่ 1 (ความถี่ 436.5 เมกะเฮิรตซ์) มีขนาด 5.9 dBm ฮาร์โมนิกที่ 2 (ความถี่ 873 เมกะเฮิรตซ์) มีขนาด 0 dBm และฮาร์โมนิกที่ 3 (ความถี่ 1309.5 เมกะเฮิรตซ์) มีขนาด -2.6 dBm



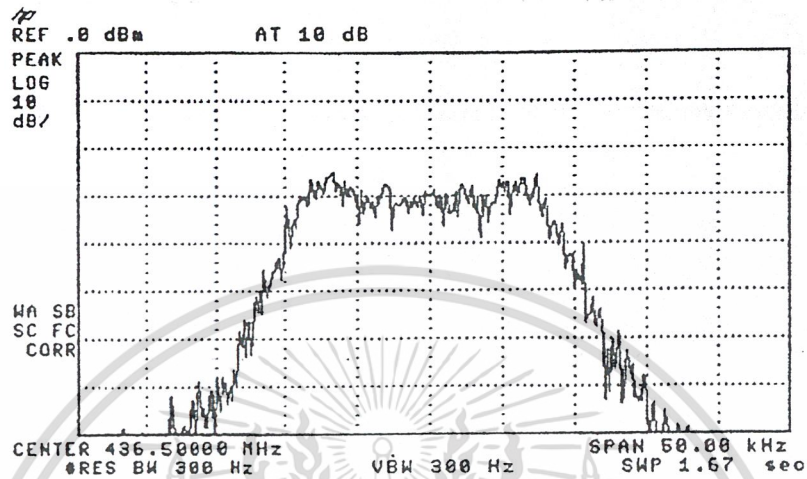
รูปที่ 4.11 สเปกตรัมแสดงฮาร์โมนิกของสัญญาณเอาต์พุตที่ได้จากวงจรสังเคราะห์ความถี่ด้วยเฟสล็อกที่ 436.5 เมกะเฮิร์ตซ์ (20 dB External Attenuation)



รูปที่ 4.12 สเปกตรัมของสัญญาณจากวงจรสังเคราะห์ความถี่ที่ 436.5 เมกะเฮิร์ตซ์

#### 4.4 ผลการทดลองเมื่อผ่านการมอดูเลตสัญญาณแบบเอฟเอ็ม (FM Modulator)

เมื่อทำการป้อนสัญญาณรูปไซน์ที่มีความถี่ 1 กิโลเฮิร์ตซ์ เข้าไปมอดูเลตแบบเอฟเอ็มกับสัญญาณพาหะที่มีความถี่ 436.5 เมกะเฮิร์ตซ์ ผลของสเปกตรัมเป็นดังรูปที่ 4.13



รูปที่ 4.13 สเปกตรัมของสัญญาณที่ถูกมอดูเลตแล้วกับความถี่ 1 กิโลเฮิร์ตซ์

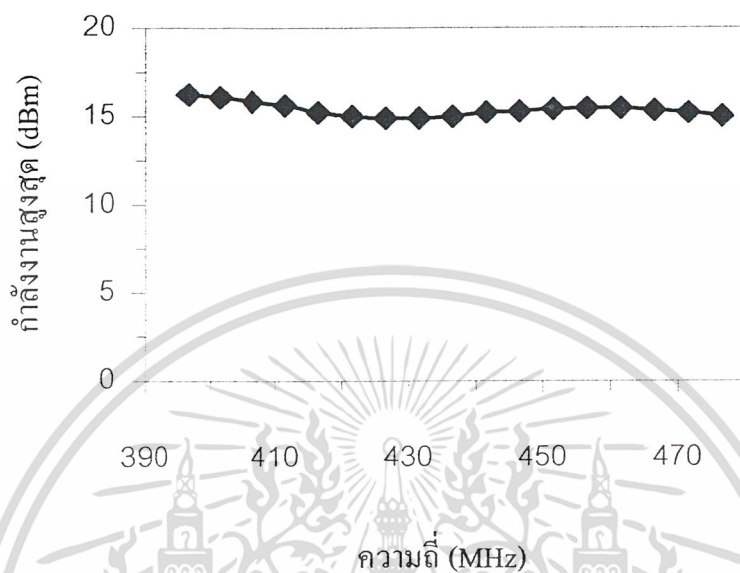
#### 4.5 ผลการทดลองของวงจรขับกำลังความถี่วิทยุ (RF Driver Amplifier)

สัญญาณที่มอดูเลตแล้วยังมีระดับสัญญาณต่ำ ดังนั้นจึงนำสัญญาณไปผ่านวงจรขับกำลังความถี่วิทยุเพื่อขยายสัญญาณให้มีขนาดกำลังที่สูงยิ่งขึ้น โดยทำการออกแบบตามที่ได้กล่าวไว้ในบทที่ 3 ซึ่งใช้ทรานซิสเตอร์ BFG135 ผลการทดลองระหว่างความถี่และกำลังงานสูงสุด ดังตาราง 4.4

| ความถี่ (MHz) | กำลังงานสูงสุด (dBm) | ความถี่ (MHz) | กำลังงานสูงสุด (dBm) |
|---------------|----------------------|---------------|----------------------|
| 396.5         | 16.23                | 441.5         | 15.21                |
| 401.5         | 16.08                | 446.5         | 15.28                |
| 406.5         | 15.83                | 451.5         | 15.42                |
| 411.5         | 15.63                | 456.5         | 15.47                |
| 416.5         | 15.21                | 461.5         | 15.45                |
| 421.5         | 15.01                | 466.5         | 15.33                |
| 426.5         | 14.9                 | 471.5         | 15.19                |
| 431.5         | 14.89                | 476.5         | 15                   |
| 436.5         | 14.97                |               |                      |

ตารางที่ 4.4 ตารางแสดงความสัมพันธ์ระหว่างความถี่กับกำลังงานสูงสุด  
ที่ได้จากวงจรขยายกำลังความถี่วิทยุ

จากตารางแสดงผลการทดลองนำกราฟความสัมพันธ์ระหว่างความถี่และกำลังงานสูงสุด  
ได้ดังรูป 4.14



รูปที่ 4.14 กราฟความสัมพันธ์ระหว่างความถี่และกำลังงานสูงสุด

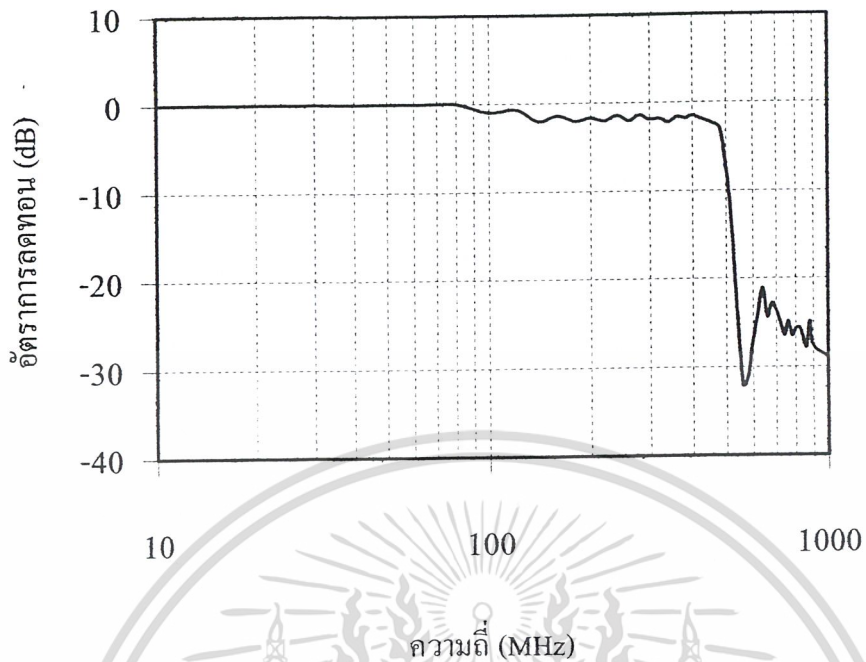
**ภาครับ**  
**Receiver**

**4.6 ผลการทดลองเมื่อผ่านวงจรกรองความถี่ต่ำผ่าน 500 เมกะเฮิรตซ์**

สัญญาณจากทางภาคส่งที่ส่งผ่านอากาศมาจะถูกลดทอนสัญญาณและเกิดสัญญาณรบกวนปะปนเข้ามาเราจึงต้องทำการกรองสัญญาณเฉพาะช่วงความถี่ต่ำกว่า 500 เมกะเฮิรตซ์เท่านั้นจึงนำวงจรกรองความถี่ต่ำผ่านมาใช้ ซึ่งผลการทดลองแสดงได้ดังตารางที่ 4.5 และรูปที่ 4.15

| ความถี่ (MHz) | อัตราการลดทอน (dB) | ความถี่ (MHz) | อัตราการลดทอน (dB) | ความถี่ (MHz) | อัตราการลดทอน (dB) |
|---------------|--------------------|---------------|--------------------|---------------|--------------------|
| 10            | 0                  | 320           | -1.8               | 640           | -21.1              |
| 20            | 0                  | 340           | -2.2               | 660           | -24.3              |
| 40            | 0                  | 360           | -1.6               | 680           | -22.8              |
| 60            | 0                  | 380           | -1.8               | 700           | -23.6              |
| 80            | 0                  | 400           | -1.5               | 720           | -24.9              |
| 100           | -1                 | 420           | -1.8               | 740           | -26.4              |
| 120           | -0.7               | 440           | -2.1               | 760           | -24.9              |
| 140           | -2                 | 460           | -2.4               | 780           | -26.5              |
| 160           | -1.4               | 480           | -3                 | 800           | -25.7              |
| 180           | -2                 | 500           | -7.3               | 820           | -25.6              |
| 200           | -1.7               | 520           | -14.1              | 840           | -26.5              |
| 220           | -2                 | 540           | -24.3              | 860           | -27.8              |
| 240           | -1.4               | 560           | -32                | 880           | -24.9              |
| 260           | -2                 | 580           | -31                | 900           | -27.6              |
| 280           | -1.4               | 600           | -27                | 1000          | -28.9              |
| 300           | -1.9               | 620           | -24                |               |                    |

**ตารางที่ 4.5 ผลการทดลองของวงจรกรองแถบความถี่ผ่าน 500 เมกะเฮิรตซ์**



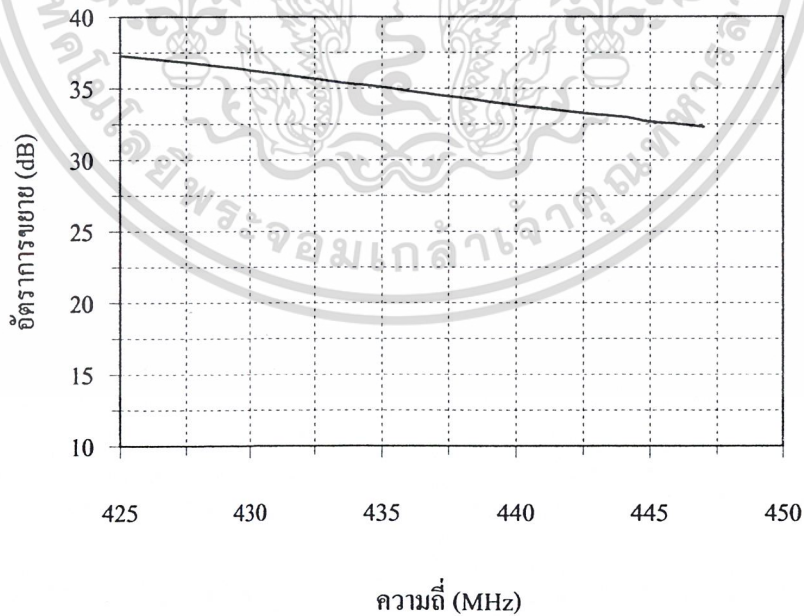
รูปที่ 4.15 กราฟแสดงความสัมพันธ์ระหว่างความถี่และอัตราการลดทอน

#### 4.7 การทดลองของวงจรขยายที่มีระดับสัญญาณรบกวนต่ำ (Low Noise Amplifier)

สัญญาณที่รับได้ทางค่านภากรับมีระดับสัญญาณต่ำมากเนื่องจากเกิดการลดทอนจากการเดินทางผ่านอากาศจึงต้องทำการขยายสัญญาณให้มีระดับสัญญาณสูงเพียงพอเพื่อที่จะส่งไปยังวงจรต่อไปได้โดยใช้ทรานซิสเตอร์ BFP420 ต่อ 2 สเตจทำการออกแบบในบทที่ 3 ผลการทดลองดังตาราง 4.6 และรูปที่ 4.16

| ความถี่<br>(MHz) | อัตราขยาย<br>(dB) | ความถี่<br>(MHz) | อัตราขยาย<br>(dB) |
|------------------|-------------------|------------------|-------------------|
| 425              | 37.27             | 437              | 34.56             |
| 426              | 37.09             | 438              | 34.32             |
| 427              | 36.89             | 439              | 34.03             |
| 428              | 36.7              | 440              | 33.8              |
| 429              | 36.49             | 441              | 33.6              |
| 430              | 36.24             | 442              | 33.37             |
| 431              | 36.03             | 443              | 33.16             |
| 432              | 35.79             | 444              | 33.02             |
| 433              | 35.53             | 445              | 32.68             |
| 434              | 35.29             | 446              | 32.52             |
| 435              | 35.08             | 447              | 32.29             |
| 436              | 34.8              |                  |                   |

ตารางที่ 4.6 ตารางผลตอบสนองทางความถี่ของวงจรขยายที่มีระดับสัญญาณรบกวนต่ำ

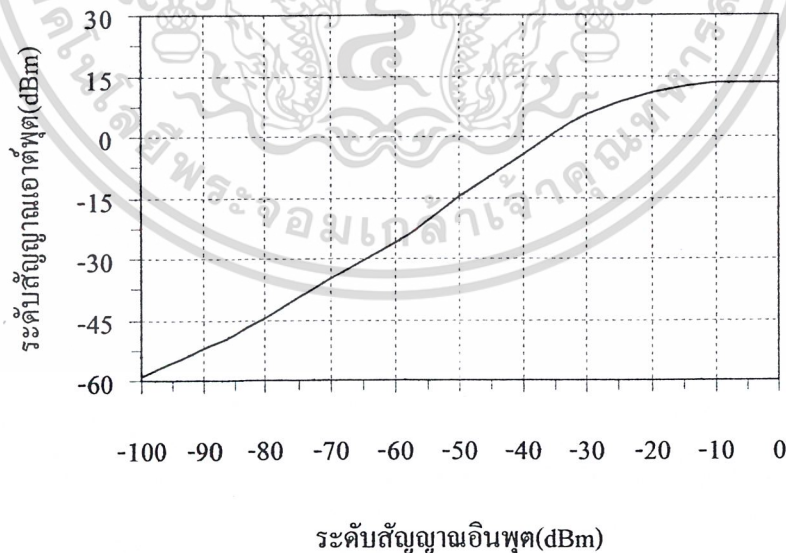


รูปที่ 4.16 กราฟผลตอบสนองทางความถี่ของวงจรขยายที่มีระดับสัญญาณรบกวนต่ำ

ทำการเปรียบเทียบระหว่างระดับสัญญาณอินพุตกับสัญญาณเอาต์พุตที่ความถี่ 436.5 เมกะเฮิร์ตซ์  
ได้ผลการทดลองดังตารางที่ 4.7 และรูปที่ 4.17

| ระดับสัญญาณอินพุต<br>(dBm) | ระดับสัญญาณเอาต์พุต<br>(dBm) |
|----------------------------|------------------------------|
| 0                          | 13.36                        |
| -10                        | 13.05                        |
| -20                        | 10.7                         |
| -30                        | 5.28                         |
| -40                        | -4.57                        |
| -50                        | -14.83                       |
| -60                        | -26.12                       |
| -70                        | -34.97                       |
| -80                        | -44.62                       |
| -90                        | -52.32                       |
| -100                       | -58.81                       |

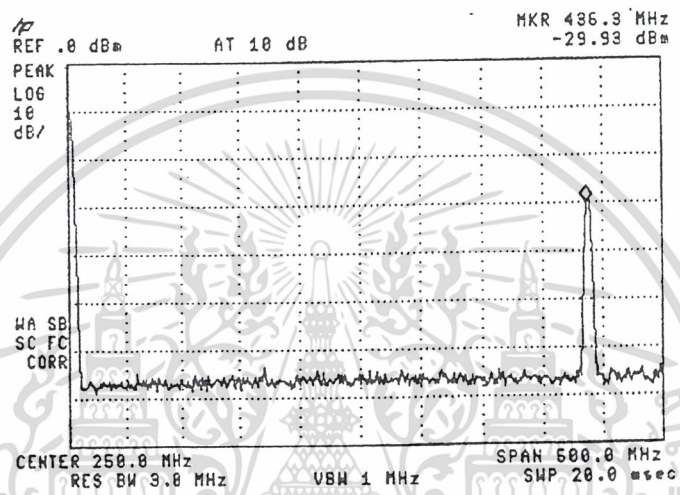
ตารางที่ 4.7 ตารางเปรียบเทียบระหว่างระดับสัญญาณอินพุตกับระดับสัญญาณเอาต์พุต



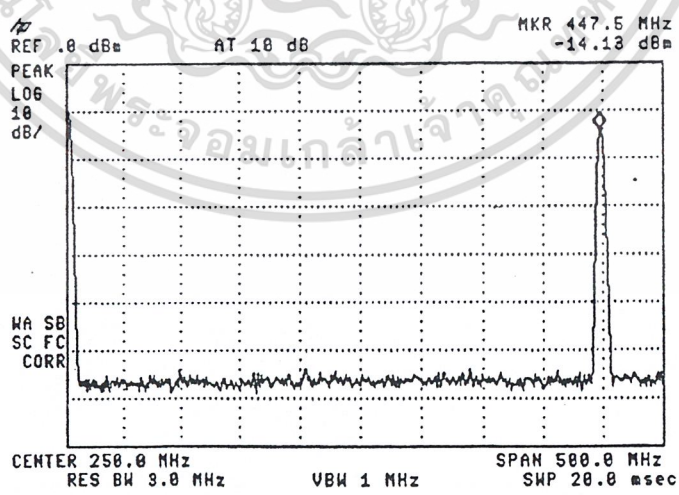
รูปที่ 4.17 กราฟเปรียบเทียบระหว่างระดับสัญญาณอินพุตกับสัญญาณเอาต์พุตที่ความถี่ 436.5 เมกะเฮิร์ตซ์

4.8 วงจรมิกเซอร์ (Mixer)

วงจรมิกเซอร์ทำหน้าที่ลดความถี่จาก 436.5 เมกะเฮิร์ตซ์ มาเป็นความถี่ที่ 10.7 เมกะเฮิร์ตซ์ (ความถี่กลาง) แล้วทำการวัดผลด้วยสเปกตรัมอนาลิเซอร์ ได้ผลการทดลองของวงจรมิกเซอร์เมื่อเปรียบเทียบระหว่างสัญญาณอินพุต(สัญญาณความถี่วิทยุที่รับได้และสัญญาณจากวงจรสังเคราะห์ความถี่ด้วยเฟสล็อกกลูป) กับสัญญาณเอาต์พุตของวงจรมิกเซอร์แสดงได้ตามรูปที่ 4.18 – 4.20 (ในที่นี้เราป้อนสัญญาณวิทยุมาจากเครื่องซิกแนลเจนเนอเรเตอร์ที่ความถี่ 436.5 เมกะเฮิร์ตซ์)

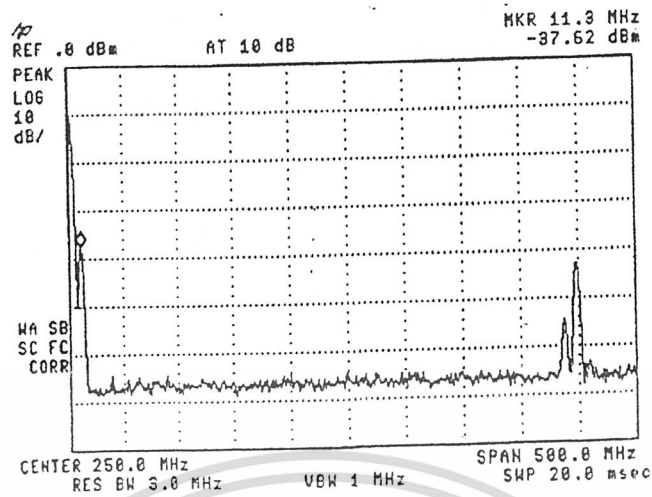


รูปที่ 4.18 สเปกตรัมของสัญญาณวิทยุความถี่ 436.5 เมกะเฮิร์ตซ์ ซึ่งใช้เป็นสัญญาณวิทยุ (20 dB Ext. Att.)



รูปที่ 4.19 สเปกตรัมของวงจรสังเคราะห์ความถี่ 447.2 เมกะเฮิร์ตซ์

เอกสารนี้เป็นเอกสารที่สงวนไว้สำหรับใช้ใช้เป็น โลกออนไลน์สซิทเลเตอร์(20 dB Ext. Att.) นำไปใช้ประโยชน์ด้านการค้าไม่ว่ากรณีใดๆ ทั้งสิ้น อีกทั้งห้ามมิให้ดัดแปลงเนื้อหา และต้องอ้างอิงถึงเจ้าของเอกสารทุกครั้งที่มีการนำไปใช้



รูปที่ 4.20 สเปกตรัมของสัญญาณเอาต์พุตที่ได้จากวงจรมิกเซอร์ (20 dB Ext. Att.)

4.9 วงจรกรองแถบความถี่ 10.7 เมกะเฮิรตซ์ (Band Pass Filter 10.7 MHz)

ผลการวัดการตอบสนองความถี่ของวงจรกรองแถบความถี่โดยใช้เซรามิกฟิลเตอร์แสดงได้ตามตารางที่ 4.8 และกราฟตามรูปที่ 4.21

| ความถี่ ( MHz ) | อัตราการลดทอน ( dB ) | ความถี่ ( MHz ) | อัตราการลดทอน ( dB ) |
|-----------------|----------------------|-----------------|----------------------|
| 10.00           | -70.10               | 10.60           | -8.75                |
| 10.05           | -69.70               | 10.65           | -12.11               |
| 10.1.0          | -68.90               | 10.70           | -11.36               |
| 10.15           | -67.30               | 10.75           | -12.39               |
| 10.20           | -64.20               | 10.80           | -18.72               |
| 10.25           | -59.10               | 10.85           | -23.26               |
| 10.30           | -53.50               | 10.90           | -31.83               |
| 10.35           | -46.70               | 10.95           | -41.90               |
| 10.40           | -39.60               | 11.00           | -50.60               |
| 10.45           | -30.30               | 11.05           | -58.70               |
| 10.50           | -18.59               | 11.10           | -65.80               |
| 10.55           | -9.07                | 11.20           | -70.00               |

ตารางที่ 4.8 ตารางผลตอบสนองทางความถี่ของวงจรกรองแถบความถี่ที่ 10.7 เมกะเฮิรตซ์

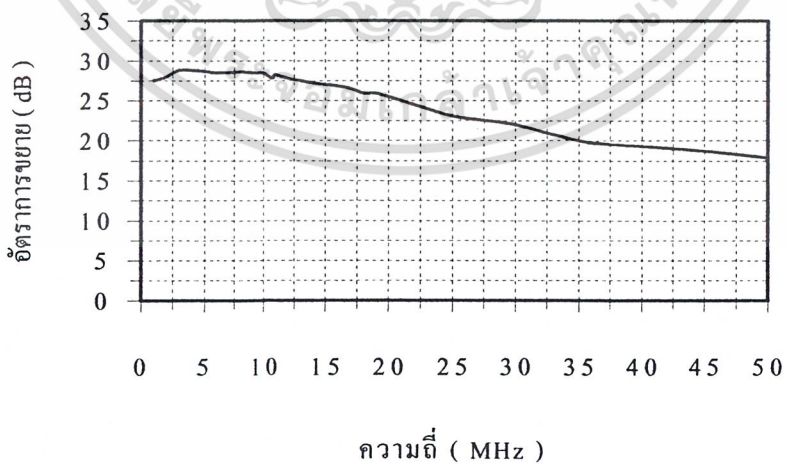


#### 4.10 วงจรขยายสัญญาณความถี่กลางที่ 10.7 เมกะเฮิรตซ์ (IF Amplifier 10.7 MHz)

ผลตอบสนองทางความถี่เมื่อป้อนสัญญาณอินพุต  $-20$  dBm ได้ผลตามตารางที่ 4.9 และรูปที่ 4.23

| ความถี่ (MHz) | อัตราขยาย (dB) | ความถี่ (MHz) | อัตราขยาย (dB) |
|---------------|----------------|---------------|----------------|
| 1             | 27.5           | 14            | 27.2           |
| 2             | 28             | 15            | 27             |
| 3             | 28.8           | 16            | 26.8           |
| 4             | 28.8           | 17            | 26.5           |
| 5             | 28.7           | 18            | 25.9           |
| 6             | 28.5           | 19            | 25.9           |
| 7             | 28.5           | 20            | 25.5           |
| 8             | 28.6           | 25            | 23.1           |
| 9             | 28.5           | 30            | 22             |
| 10            | 28.45          | 35            | 20             |
| 10.7          | 27.8           | 40            | 19.3           |
| 11            | 28.2           | 45            | 18.7           |
| 12            | 27.8           | 50            | 17.9           |
| 13            | 27.5           |               |                |

ตารางที่ 4.9 ตารางผลตอบสนองทางความถี่ของวงจรขยายสัญญาณความถี่กลาง

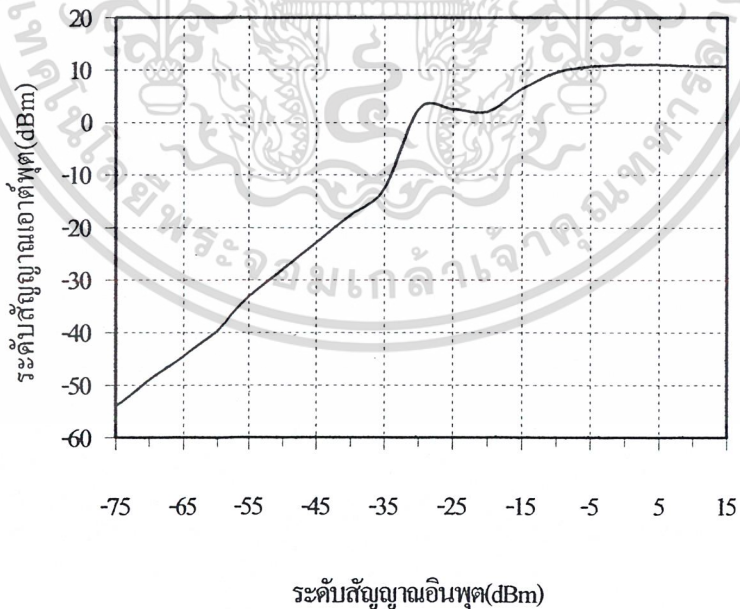


รูปที่ 4.23 กราฟผลตอบสนองทางความถี่ของวงจรขยายสัญญาณความถี่กลางที่ 10.7 เมกะเฮิรตซ์

ทำการเปรียบเทียบระหว่างระดับสัญญาณอินพุตกับสัญญาณเอาต์พุตที่ความถี่ 10.7 เมกะเฮิร์ตซ์  
ได้ผลการทดลองดังตารางที่ 4.10 และรูปที่ 4.24

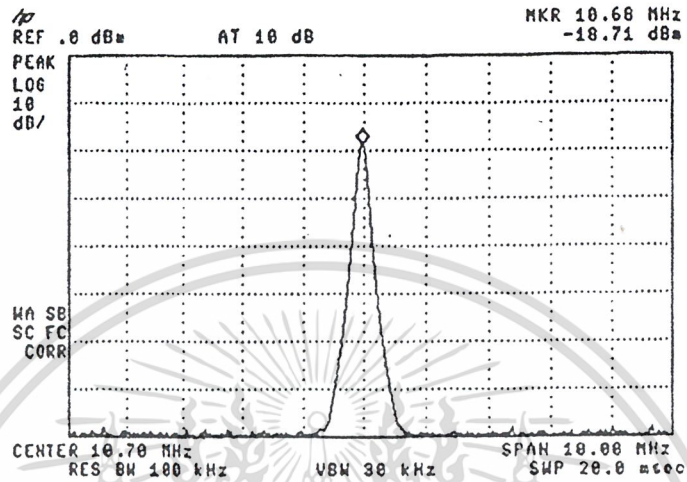
| ระดับสัญญาณอินพุต<br>(dBm) | ระดับสัญญาณเอาต์พุต<br>(dBm) | ระดับสัญญาณอินพุต<br>(dBm) | ระดับสัญญาณเอาต์พุต<br>(dBm) |
|----------------------------|------------------------------|----------------------------|------------------------------|
| -75                        | -54                          | -25                        | 2.6                          |
| -70                        | -49                          | -20                        | 2.1                          |
| -65                        | -44.5                        | -15                        | 6.4                          |
| -60                        | -39.6                        | -10                        | 9.5                          |
| -55                        | -33.2                        | -5                         | 10.7                         |
| -50                        | -28                          | 0                          | 11                           |
| -45                        | -22.9                        | 5                          | 11                           |
| -40                        | -17.6                        | 10                         | 10.8                         |
| -35                        | -12.6                        | 15                         | 10.7                         |
| -30                        | 2.6                          |                            |                              |

ตารางที่ 4.10 ตารางเปรียบเทียบระหว่างระดับสัญญาณอินพุตกับสัญญาณเอาต์พุต



รูปที่ 4.24 กราฟเปรียบเทียบระหว่างระดับสัญญาณอินพุตกับสัญญาณเอาต์พุตที่ความถี่ 10.7 เมกะเฮิร์ตซ์

เมื่อผ่านวงจรกรองแถบความถี่แล้วสัญญาณจะถูกลดทอนไปอย่างมากแต่นำสัญญาณมา  
 เข้าวงจรขยายสัญญาณความถี่กลางทำให้กำลังของสัญญาณเพิ่มขึ้น จากผลการทดลองพบว่าขนาดของ  
 สัญญาณเพิ่มขึ้นจาก  $-28$  dBm เป็น  $1.3$  dBm

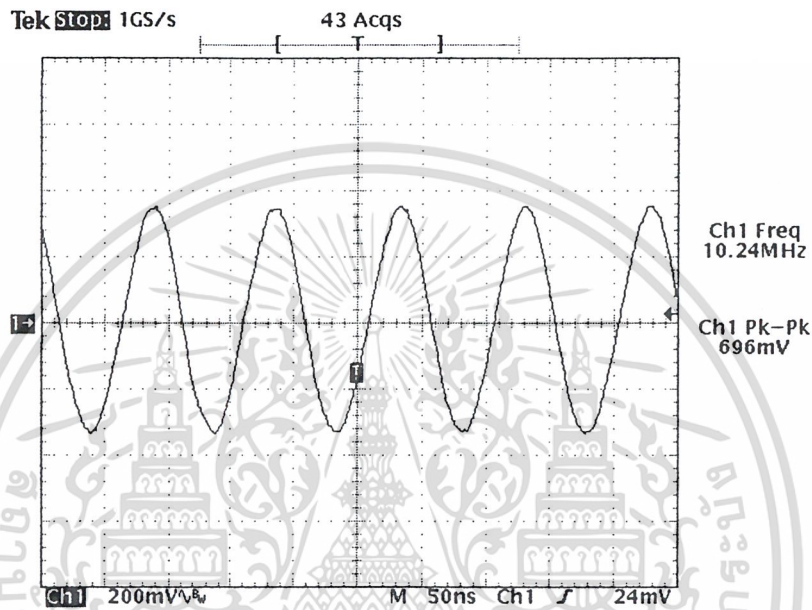


รูปที่ 4.25 แสดงสเปกตรัมสัญญาณเอาต์พุตที่ได้จากวงจรขยายสัญญาณความถี่กลางที่ 10.7 เมกะเฮิร์ตซ์  
 (20 dB External Attenuation)

#### 4.11 ผลการทดลองจากวงจรดีมอดูเลเตอร์โดยใช้ไอซี MC3363

##### 4.11.1 คริสตอลออสซิลเลเตอร์ความถี่ 10.245 เมกะเฮิร์ตซ์

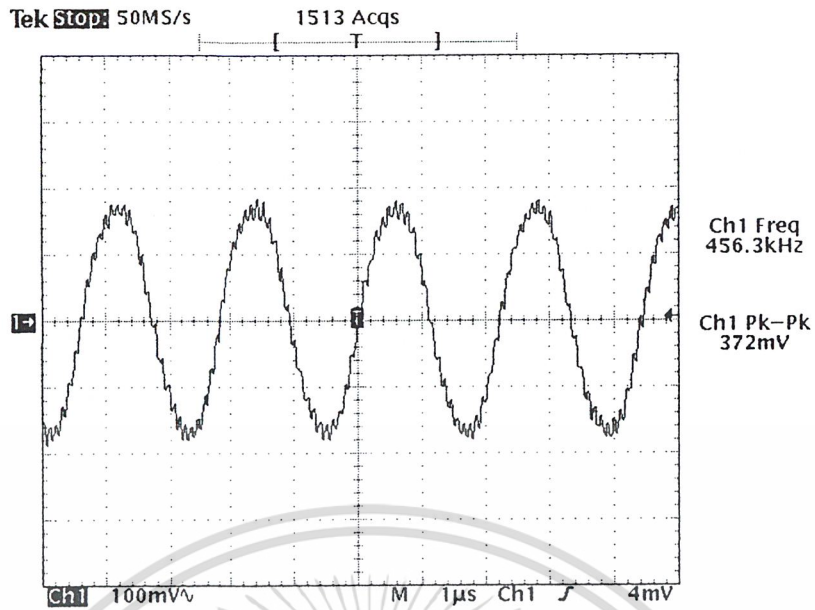
สัญญาณที่ผ่านจากวงจรถ่ายสัญญาณความถี่กลางแล้วจะทำการลดความถี่ลงมาจาก 10.7 เมกะเฮิร์ตซ์มาเป็นความถี่ 455 กิโลเฮิร์ตซ์โดยมีคริสตอลออสซิลเลเตอร์ความถี่ 10.245 เมกะเฮิร์ตซ์เป็นตัวกำเนิดสัญญาณ โลกอลออสซิลเลเตอร์



รูปที่ 4.26 สัญญาณจากคริสตอลออสซิลเลเตอร์ความถี่ 10.245 เมกะเฮิร์ตซ์ (ขา 6) ของ MC3363

##### 4.11.2 วงจรมิกเซอร์

เนื่องจากไอซี MC3363 มีวงจรที่ทำหน้าที่เป็นมิกเซอร์อยู่ภายใน เมื่อป้อนสัญญาณความถี่ 10.7 เมกะเฮิร์ตซ์เข้าที่ขา 17 และคริสตอลออสซิลเลเตอร์ซึ่งต่ออยู่ที่ขา 6 ผลการทดลองของมิกเซอร์ ดังรูปที่ 4.27



รูปที่ 4.27 สัญญาณเอาต์พุตจากวงจรมิกเซอร์ (ขา 7) ของ MC3363

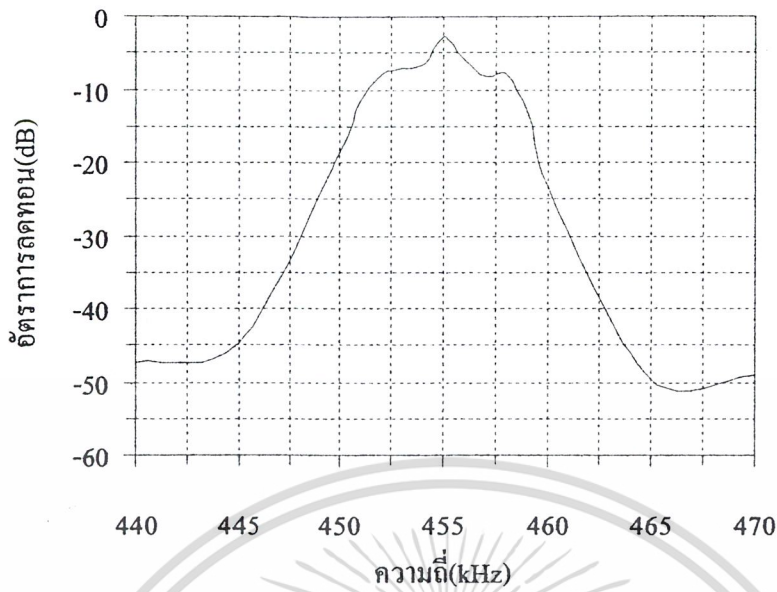
4.11.3 วงจรกรองแถบความถี่ผ่าน (Band Pass Filter ที่ 455 กิโลเฮิรตซ์)

ผลการวัดการตอบสนองของความถี่ของวงจรกรองแถบความถี่โดยใช้เซรามิกฟิลเตอร์แสดงได้ตามตารางที่ 4.11 และกราฟตามรูปที่ 4.28

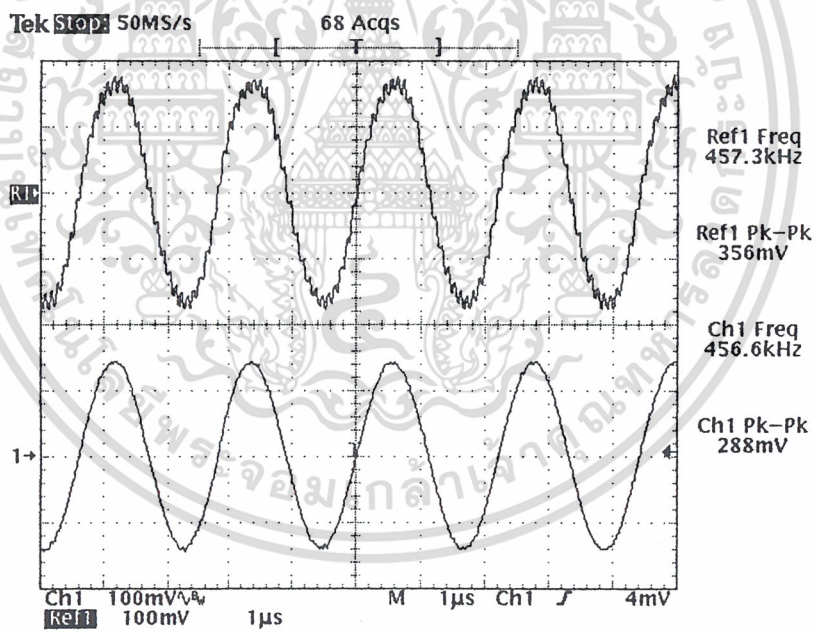
| ความถี่ (kHz) | อัตราการลดทอน (dB) |
|---------------|--------------------|
| 440           | -47.2903           |
| 445           | -44.7916           |
| 450           | -18.533            |
| 451           | -11.7005           |
| 452           | -7.9588            |
| 453           | -7.13095           |
| 454           | -6.52116           |
| 455           | -2.85335           |

| ความถี่ (kHz) | อัตราการลดทอน (dB) |
|---------------|--------------------|
| 456           | -5.8486            |
| 457           | -8.13428           |
| 458           | -7.9588            |
| 459           | -13.5556           |
| 460           | -23.2989           |
| 465           | -49.4732           |
| 470           | -49.0691           |

ตารางที่ 4.11 ตารางผลตอบสนองทางความถี่ของวงจรกรองแถบความถี่ที่ 455 กิโลเฮิรตซ์



รูปที่ 4.28 กราฟผลตอบสนองทางความถี่ของวงจรกรองความถี่ที่ 455 กิโลเฮิร์ตซ์

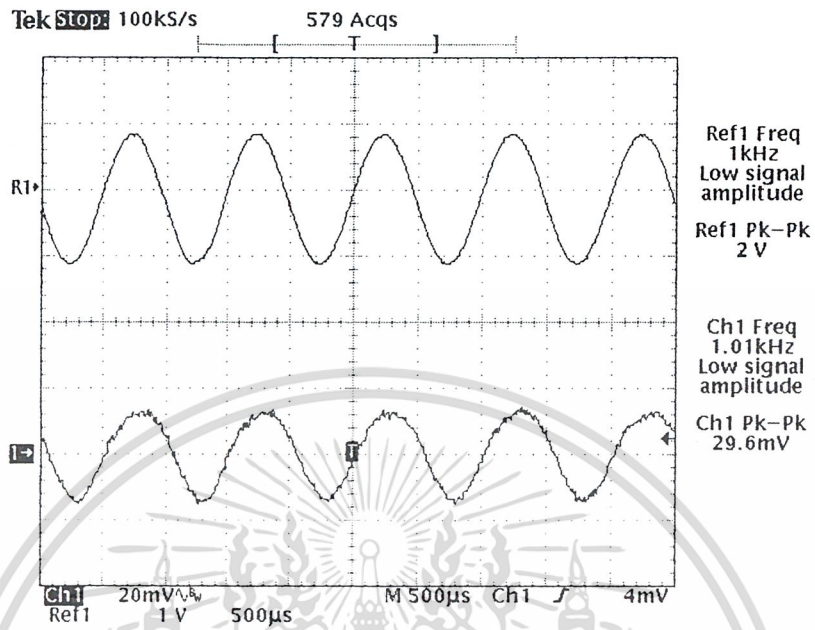


รูปที่ 4.29 สัญญาณอินพุตและเอาต์พุตของวงจรกรองแถบความถี่ที่ 455 กิโลเฮิร์ตซ์

เมื่อ Ref 1 : สัญญาณอินพุตของวงจรกรองแถบความถี่ที่ 455 กิโลเฮิร์ตซ์

Ch 1 : สัญญาณเอาต์พุตของวงจรกรองแถบความถี่ที่ 455 กิโลเฮิร์ตซ์

### 4.11.4 วงจรดีมอดูเลเตอร์



รูปที่ 4.30 สัญญาณก่อนทำการมอดูเลตและสัญญาณเอาต์พุตของวงจรดีมอดูเลเตอร์(ขา 16)ของMC3363

เมื่อ Ref1 : สัญญาณรูปซายน 1 กิโลเฮิรตซ์ก่อนทำการมอดูเลต

Ch1 : สัญญาณเอาต์พุตจากวงจรดีมอดูเลเตอร์

#### 4.12 วงจรกรองความถี่ต่ำผ่านแบบบัตเตอร์เวิร์ทชนิดแอกทีฟอันดับที่ 8

##### ความถี่คัทออฟที่ 5 กิโลเฮิรตซ์ (Active Low Pass Filter)

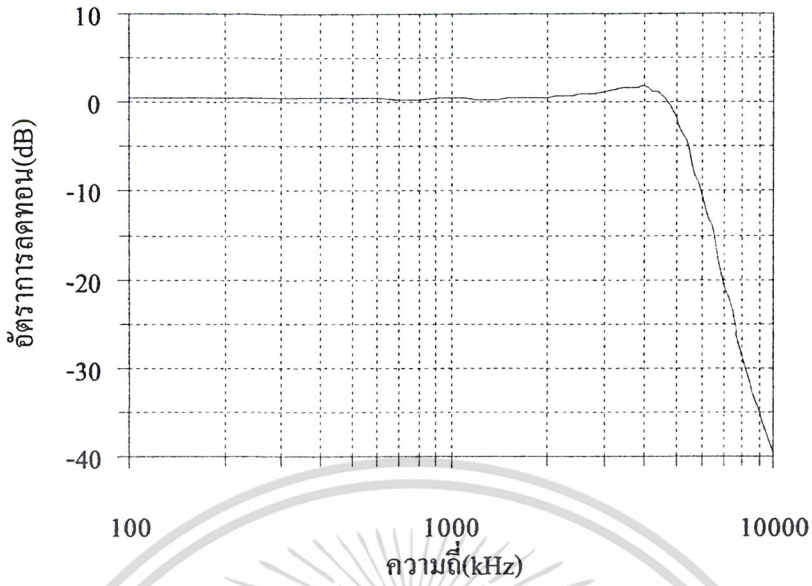
ผลตอบสนองทางความถี่ของวงจรกรองความถี่ต่ำผ่านแบบบัตเตอร์เวิร์ทชนิดแอกทีฟโดยใช้วงจร Sallen and Key มีความถี่คัทออฟที่ 5 กิโลเฮิรตซ์มีผลการทดลองเช่นเดียวกับทางด้านภาคส่ง นำสัญญาณที่ผ่านการคิมอูเลตแล้วมาทำการกรองความถี่ ผลการทดลองแสดงได้ดังตาราง 4.12 และรูป 4.31

| ความถี่<br>(Hz) | อัตราการลดทอน<br>(dB) | ความถี่<br>(Hz) | อัตราการลดทอน<br>(dB) |
|-----------------|-----------------------|-----------------|-----------------------|
| 100             | 0.539                 | 4800            | -0.427                |
| 200             | 0.473                 | 5000            | -1.766                |
| 400             | 0.473                 | 5200            | -3.557                |
| 600             | 0.407                 | 5400            | -5.036                |
| 800             | 0.341                 | 5600            | -7.132                |
| 1000            | 0.407                 | 5800            | -8.922                |
| 1200            | 0.341                 | 6000            | -10.692               |
| 1400            | 0.341                 | 6200            | -12.396               |
| 1600            | 0.407                 | 6400            | -13.973               |
| 1800            | 0.473                 | 6600            | -16.363               |
| 2000            | 0.539                 | 6800            | -18.862               |
| 2200            | 0.668                 | 7000            | -20.72                |
| 2400            | -0.796                | 7200            | -21.928               |
| 2600            | 0.922                 | 7400            | -23.344               |
| 2800            | 1.046                 | 7600            | -25.547               |
| 3000            | 1.107                 | 7800            | -27.131               |
| 3200            | 1.408                 | 8000            | -28.683               |
| 3400            | 1.526                 | 8200            | -30.343               |
| 3600            | 1.641                 | 8400            | -31.568               |
| 3800            | 1.699                 | 8600            | -32.691               |
| 4000            | 1.812                 | 8800            | -33.979               |
| 4200            | 1.164                 | 9000            | -35.091               |
| 4400            | 1.229                 | 10000           | -39.659               |
| 4600            | 0.539                 |                 |                       |

ตารางที่ 4.12 ตารางผลตอบสนองทางความถี่ของวงจรกรองความถี่ต่ำผ่านแบบแอกทีฟ

เอกสารนี้เป็นเอกสารที่สงวนไว้สำหรับการใช้งานเพื่อการศึกษาเท่านั้น ไม่อนุญาตให้นำไปใช้ประโยชน์ด้านการค้า

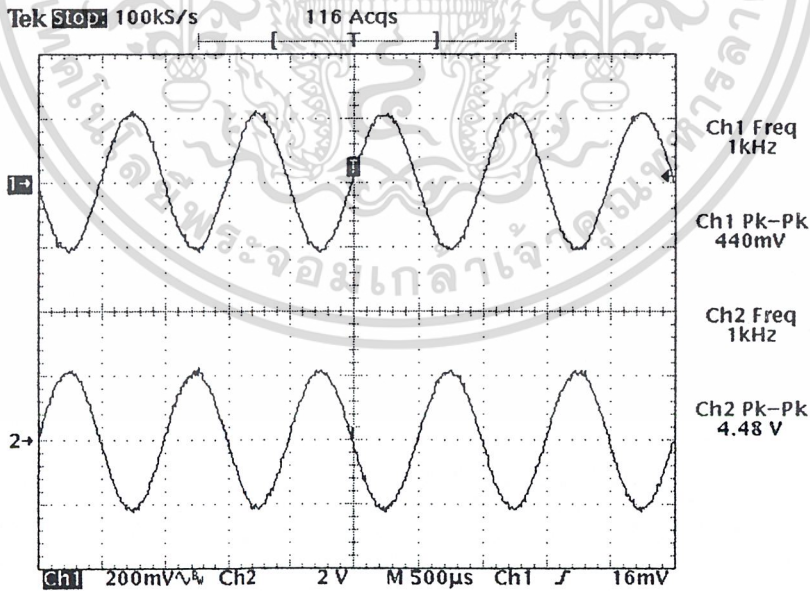
ไม่ว่ากรณีใดๆ ทั้งสิ้น อีกทั้งห้ามมิให้ดัดแปลงเนื้อหา และต้องอ้างอิงถึงเจ้าของเอกสารทุกครั้งที่มีการนำไปใช้



รูปที่ 4.31 กราฟผลตอบสนองทางความถี่ของวงจรกรองความถี่ต่ำผ่านแบบแอกทิฟ

### 4.13 วงจรขยายสัญญาณเสียง (Audio Amplifier)

สัญญาณที่ผ่านวงจรคัปเปิลเตอร์และวงจรกรองความถี่ต่ำผ่านยังมีขนาดสัญญาณที่เล็กอยู่จึงนำสัญญาณมาเข้าวงจรขยายสัญญาณเสียงเพื่อให้มีขนาดสัญญาณสูงขึ้น โดยมีอัตราขยาย 10 เท่า ผลการทดลองดังรูป 4.32



รูปที่ 4.32 สัญญาณที่ผ่านวงจรกรองความถี่ต่ำผ่านเทียบกับสัญญาณเอาต์พุตจากวงจรขยายสัญญาณเสียง

เมื่อ **Ch1** : สัญญาณอินพุตเข้าวงจรขยายสัญญาณเสียง

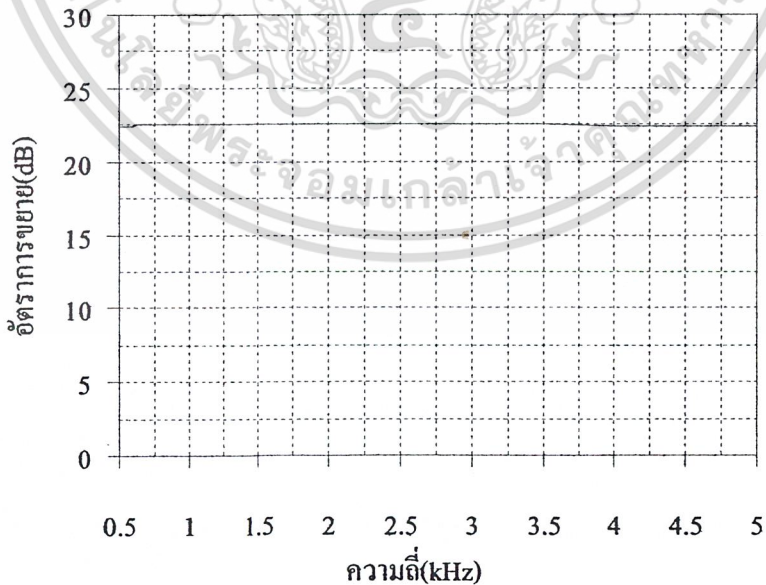
**Ch2** : สัญญาณเอาต์พุตจากวงจรขยายสัญญาณเสียง

#### 4.14 วงจรขยายกำลังสัญญาณเสียง(Power Audio Amplifier)

สัญญาณเอาต์พุตจากวงจรขยายสัญญาณเสียงยังมีกำลังไม่มากเพียงพอที่จะขับออกสู่ลำโพงคังนั้นจึงต้องนำสัญญาณมาผ่านวงจรขยายกำลังสัญญาณเสียงโดยมีอัตราขยายประมาณ 20 dB ผลการทดลองแสดงได้ดังตารางที่ 4.13-4.14 และรูปที่ 4.33-4.34

| ความถี่<br>(kHz) | อัตราขยาย<br>(dB) |
|------------------|-------------------|
| 0.5              | 22.344            |
| 0.6              | 22.402            |
| 0.7              | 22.575            |
| 0.8              | 22.575            |
| 0.9              | 22.575            |
| 1                | 22.575            |
| 2                | 22.518            |
| 3                | 22.518            |
| 4                | 22.461            |
| 5                | 22.461            |

ตารางที่ 4.13 ผลตอบสนองทางความถี่ของวงจรขยายกำลังสัญญาณเสียง



รูปที่ 4.33 กราฟผลตอบสนองทางความถี่ของวงจรขยายกำลังเสียง

## บทที่ 5 บทวิจารณ์และบทสรุป

จากการทดลองที่ผ่านมาคงได้นำเสนอไปแล้วเป็นการทดลองสร้างเครื่องรับส่งสัญญาณวิทยุ ย่านความถี่ 436.5 เมกะเฮิรตซ์ทั้งในส่วนของเครื่องรับและเครื่องส่ง ซึ่งในภาคการศึกษานี้ได้ทำการ อินทิเกรตวงจรโดยใช้โปรแกรมโปรเทลและทำการต่อวงจรลงบนแผ่นพีซีบี ซึ่งสามารถสรุปผลการทดลองได้ ดังนี้คือ

### เครื่องส่ง

- เครื่องส่งสามารถปรับความถี่ได้ในช่วง  $436.5 \text{ MHz} \pm 1.5 \text{ MHz}$
- สามารถรับส่งสัญญาณเสียงในช่วงความถี่ไม่เกิน 5 กิโลเฮิรตซ์
- เครื่องส่งใช้แรงดัน 12 โวลต์
- เครื่องส่งมีกำลังสูงสุดประมาณ 100 mW

### เครื่องรับ

- สามารถมีอคูเลตสัญญาณเสียงกลับคืนมาได้
- เครื่องรับใช้แรงดัน 12 โวลต์

### ปัญหาที่พบ

- การออกแบบที่และทำการวางอุปกรณ์โดยใช้อุปกรณ์ชนิดเซอร์เฟสเมาท์ อุปกรณ์ที่มีประสิทธิภาพสูงหายากและมีราคาแพงเนื่องจากค่าใช้จ่ายในการจัดทำปริญญานิพนธ์มีจำกัด จึงทำให้ไม่สามารถเลือกอุปกรณ์และการจัดทำเป็นไปอย่างเต็มที่
- วงจรที่ทำการออกแบบและทำการสร้างนั้นยังมีขนาดใหญ่อยู่
- การบัดกรีอุปกรณ์ชนิดเซอร์เฟสเมาท์ที่มีขนาดเล็กทำได้ยาก
- เกิดสัญญาณรบกวนกันเนื่องจากการออกแบบลายวงจรที่ยังไม่ดีพอ

### การแก้ปัญหา

- พยายามวางลายวงจรให้ดีและเรียบร้อยโดยไม่วางขดลวดเหนียวน่าให้เกิดการเหนียวนำกันเอง ภายในวงจรจะมีส่วนช่วยให้สัญญาณไม่เกิดการรบกวนกันได้มากขึ้น
- การบัดกรีต้องทำด้วยความระมัดระวังและเรียบร้อยเพื่อไม่ให้เกิดการลัดวงจร
- การวางลายวงจรจะต้องทำให้มีขนาดเล็กมากที่สุดเท่าที่จะทำได้
- หากต้องการวงจรที่มีขนาดเล็กมากอาจต้องใช้อุปกรณ์ที่มีการรวมวงจรสำเร็จจำนวนหลายวงจรในตัวเดียวกัน
- ใช้อุปกรณ์เช่นทรานซิสเตอร์ที่สามารถทำงานที่ระดับไฟเลี้ยงต่ำ (Low Voltage) แต่สามารถให้กำลังงานเอาต์พุตได้สูง

## กิตติกรรมประกาศ

ปริญญานิพนธ์นี้สามารถทำสำเร็จได้ด้วยคำปรึกษาและแนะนำให้ความช่วยเหลือของบุคคลต่าง ๆ ดังต่อไปนี้

1. ดร.ทองทอด วานิชศรี อาจารย์ที่ปรึกษาโครงการ
2. นายณฤทธิ์ ญิงนิศรา ให้การช่วยเหลือและให้คำแนะนำทำให้การทำงานสำเร็จลุล่วงไปด้วยดีและบุคคลอื่นที่มีได้กล่าวถึงในที่นี้ ในโอกาสนี้จึงขอขอบพระคุณทุกท่านเป็นอย่างยิ่ง



## หนังสืออ้างอิง

1. Chris Bowick, “RF Circuit Design”, Howard W. Sams & Company, 1990
2. Roland E. Best, “ Phase Lock Loop ”, McGraw-Hill Book Company , 1984
3. Frank R. Dungan, “ Electronic communication system” , Delmar Publishers Inc., 1987.
4. รศ.ดร.วิวัฒน์ กิรานนท์, “วิศวกรรมการสื่อสาร” , อักษรสยามการพิมพ์ , 2540
5. สุชาติ กังวารจิตต์, “ เครื่องรับส่งวิทยุและระบบวิทยุสื่อสาร” , บริษัท ซีเอ็ดดูเคชั่น จำกัด , กรุงเทพฯ, 2536

